



دانشگاه صنعتی شاہزاده

## دانشکده: مهندسی معدن و ژئوفیزیک

پایان نامه کارشناسی ارشد

## عنوان

# مدلسازی ژئوالکتریکی یک و دو بعدی آلودگی در محل دفن زباله ها در منطقه امان آباد اراک

اساتید راهنمای

دکتر فرامرز دولتی دکتر محمود میرزائی

استاد مشاور

دکتر علی مرادزاده

محقق

امیدسراج

تاسبستان ۱۳۸۵

## تشکر و قدردانی

اینجانب برخود لازم می دارم که از زحمات و راهنمایی های استاد راهنمای خودم آقایان دکتر محمود میرزایی و دکتر فرامرز دولتی و استاد مشاور آقای دکتر علی مرادزاده تشکر کنم.  
آقای مهندس احمد باقری، خانم مهندس مشهدی و آقای مینا نیز در این پایان نامه کمکهای مفیدی به اینجانب کرده اند که بجاست از زحماتشان کمال تشکر به عمل آید.

## چکیده:

روند افزاینده رشد جمعیت و افزایش مواد مصرفی و استفاده نادرست از آن به خصوص در کشورهای در حال توسعه و غیر صنعتی در سالهای اخیر موجب افزایش چشمگیر زباله شده و از طرف دیگر توجه به محیط زیست، حفظ و نگهداری جوامع بشری از آلودگی ها، باعث توجه خاص مجتمع علمی به معطل زباله گردیده است.

در این تحقیق، هدف اصلی بر این است تا وضعیت محل دفن زباله های شهر اراک با استفاده از داده های ژئوفیزیکی مقاومت ویژه، اطلاعات موجود از حفاریها، زمین شناسی منطقه و هیدرولوژی منطقه، دست به مدلسازی یک بعدی، دو بعدی و سه بعدی داده های مقاومت ویژه زده و از نتایج به دست آمده از آن، مدل تقریبی سه بعدی حرکت آلودگی را در منطقه پیش بینی کنیم، تا بتوان با دید به سرعت و جهت حرکت آلودگی، تمهیدات لازم برای جلوگیری از گسترش آن انجام شود.

در منطقه دفن زباله های شهر اراک حدود ۵۰ سونداز الکتریکی توسط نرم افزار *IXID*، بصورت یک بعدی مدلسازی شدند و نتایج آن با اطلاعات زمین شناسی منطقه مقایسه شدند سپس با استفاده از نرم افزار *Res2DINV*، مدل دو بعدی پروفیلهای مقاومت ویژه به دست آمد که این مدلها با توجه به اطلاعات زمین شناسی در منطقه بهینه شدند. با استفاده از نتایج مدلسازی دو بعدی، مدل شبیه سه بعدی با استفاده از نرم افزار *Rockwork2004* حاصل شد. تا بتوان روند تغییرات مقاومت ویژه را به صورت سه بعدی مورد مطالعه قرار داد. همچنین داده های مقاومت ویژه با استفاده از نرم افزار *Res3DINV*، مدلسازی سه بعدی شد.

نتایج حاصل از تفسیر مدلسازی های ژئوفیزیکی همچون سنگ کف و جنس لایه ها، جهت مدلسازی سه بعدی حرکت آلودگی در منطقه با استفاده از نرم افزار *GMS*، استفاده شد. به کمک این نرم افزار جهت و تغییرات زمانی حرکت آلودگی پیش بینی شد، که با واقعیت منطقه تطبیق دارد.

در کل نتایج نشان می دهد که عمق سنگ کف در منطقه دفن زباله کم است و در حدود ۲۰ متر می باشد، همچنین مشخص است که حرکت آبهای زیرزمینی از سمت غربی منطقه صورت می گیرد. حرکت آلودگی از سمت غربی منطقه دفن زباله به علت شیب سنگ کف صورت می گیرد و می تواند چاههای آب شرب منطقه را تا ۴۰ سال آینده آلوده کند.

# فهرست مطالب

عنوان	شماره صفحه
فصل اول	۱
کلیات	۱
۱-۱ مقدمه	۱
۲-۱ آلودگی آبهای زیرزمینی	۲
۲-۱-۱ آلودگی فیزیکی آب	۲
۲-۱-۲ آلودگی شیمیایی	۲
۳-۱ آلودگی فیزیولوژیکی	۲
۴-۱ آلودگی بیولوژیکی	۳
۵-۱ لنوفیلها	۳
۶-۱ سیال حاصل از شستشوی لنوفیل	۴
۳-۱ فاکتورهای مهم	۵
۱-۱ شرایط طبیعی منطقه	۶
۱-۲ چهره (ظاهر) فرهنگی	۷
۱-۳ آلودگیهای خطرناک	۷
۱-۴ برهم کنش متقابل آلاینده‌ها و طبیعت	۸
۱-۵ برداشت و مکان یابی محل	۹
۱-۶ ایمنی	۱۰
۱-۷ ترابری و غیره	۱۱
۱-۸ جنبه قانونی	۱۱
۱-۹ جنبه اجتماعی	۱۲
۱-۱۰ جنبه اقتصادی	۱۲
۴-۱ روش مقاومت ویژه	۱۲
۴-۱ ارتباط بین زمین شناسی و مقاومت ویژه	۱۲
۶-۱ رسانندگی الکتریکی سنگها	۱۲
۷-۱ انتشار جریان در زمین همگن	۱۶
۸-۱ اندازه گیری مقاومت ویژه	۱۹
۹-۱ روش‌های تفسیر	۲۱
۱۰-۱ منحنی‌های کمکی	۲۱

۱۱-۱ مدلسازی رایانه ای (عددی)	۲۲
۱-۱۱-۱ اصول مدلسازی معکوس	۲۴
۱۲-۱ حرکت آبهای زیرزمینی	۲۸
۱۳-۱ حرکت آلودگی در سیستم جریان آبهای زیرزمینی	۲۸
۱۴-۱ انتقال همراه با جریان	۲۹
۱-۱۴-۱ پراکندگی	۲۹
۲-۱۴-۱ تاخیر	۳۱
۳-۱۴-۱ واکنش شیمیایی	۳۲
۱۵-۱ سوابق مطالعات انجام شده و ضرورت آن	۳۳
۱۶-۱ اهداف	۳۴
۱۷-۱ روش تحقیق	۳۵
۱۸-۱ ساختار پایان نامه	۳۶
<b>فصل دوم</b>	۳۷
<b>موقعیت جغرافیایی و زمین شناسی منطقه</b>	۳۷
۱-۲ مقدمه	۳۷
۲-۲ موقعیت جغرافیایی منطقه	۳۷
۳-۲ راههای دسترسی	۳۷
۴-۲ زمین شناسی منطقه	۳۹
۵-۲ چینه شناسی :	۴۰
۱-۵-۲ واحد اسلیت و آهک متلور (Ksl) :	۴۰
۲-۵-۲ واحد شیل آهکی کرتاسه فوقانی (Ku) :	۴۱
۳-۵-۲ واحد گرانوپیوریت و دیوریت (d) :	۴۲
۴-۵-۲ واحد پادگانه های آبرفتی قدیمی (QT1) :	۴۲
۵-۵-۲ واحد پادگانه های آبرفتی جدید (Qt2) :	۴۲
۶-۲ نفوذپذیری و خصوصیات هیدرودینامیکی واحدهای زمین شناسی حوزه:	۴۳
۱-۶-۲ واحد اسلیت و آهک کریستالین (Ksl) :	۴۳
۲-۶-۲ واحد شیل آهکی (Ku) :	۴۳
۳-۶-۲ واحدهای آبرفتی (Qt1-Qt2) :	۴۴
۷-۲ ژئومورفولوژی	۴۴
۱-۷-۲ واحد کوهستان (کد ۱)	۴۴
۱-۱-۷-۲ رخساره نوع اول	۴۴
۲-۱-۷-۲ رخساره نوع دوم	۴۵

۴۵	۳-۱-۷-۲ واحد تپه (کد ۲)
۴۵	۴-۱-۷-۲ رخساره با پوشش تخریبی ۵۰-۷۵ درصد
۴۶	۵-۱-۷-۲ واحد آبرفت کدهای (۳، ۴ و ۹/۵)
۴۷	۸-۲ بررسی وضعیت واحدهای سنگی در محدوده دفن زباله
۴۸	۹-۲ بررسی منابع آبی منطقه
۵۰	۱۰-۲ بارندگی
۵۲	<b>فصل سوم</b>
۵۲	ارائه و تفسیر داده های ژئوفیزیکی
۵۲	۱-۳ ارائه داده ها
۵۴	۲-۳ تفسیر کیفی داده های مقاومت ویژه
۵۴	A ۱-۲-۳ پروفیل
۵۶	B ۲-۲-۳ پروفیل
۵۷	C ۳-۲-۳ پروفیل
۵۸	D ۴-۲-۳ پروفیل
۶۰	E ۵-۲-۳ پروفیل
۶۱	F ۶-۲-۳ پروفیل
۶۲	GFEDCB ۷-۲-۳ پروفیل
۶۳	۳-۳ تفسیر دستی داده ها
۶۳	۴-۳ مدلسازی و تفسیر با نرم افزار IX1D
۶۵	۳-۳ مدل سازی و تفسیر با نرم افزار Res2DINV
۶۵	۳-۳ توپوگرافی و تصحیح اثرات آن توسط نرم افزار RES2DINV
۶۶	۷-۳ تفسیر نتایج مدل سازی های یک و دو بعدی
۶۷	A ۱-۷-۳ پروفیل
۶۹	B ۲-۷-۳ پروفیل
۷۱	C ۳-۷-۳ پروفیل
۷۳	D ۴-۷-۳ پروفیل
۷۵	E ۵-۷-۳ پروفیل
۷۷	F ۶-۷-۳ پروفیل
۷۹	G ۷-۷-۳ پروفیل
۸۱	۸-۳ مدل شبه سه بعدی محل دفن زباله ها
۸۴	۹-۳ عمق سنگ کف
۸۴	۱۰-۳ مدلسازی و تفسیر با استفاده از نرم افزار RES3DINV

۸۴	۱-۱۰-۳ آرایه های مورد استفاده در برداشت سه بعدی
۸۶	۱۱-۳ شبکه بندی داده ها
۹۰	فصل چهارم
۹۰	مدل سازی حرکت آلودگی
۹۰	۱-۴ مقدمه
۹۰	۴-۲ شبیه سازی کمی منطقه
۹۰	۳-۴ طراحی مدل
۹۰	۱-۳-۴ محدوده انتخابی از لحاظ مختصات UTM
۹۱	۲-۳-۴ شبکه بندی آبخوان
۹۱	۳-۳-۴ تعیین توپوگرافی و ارتفاع سنگ کف
۹۳	۴-۳-۴ شرایط مرزی
۹۴	۵-۳-۴ شرایط اولیه
۹۴	۶-۳-۴ پارامترهای ورودی
۹۴	۷-۳-۴ ورودی و خروجی منطقه
۹۴	۸-۳-۴ اجرای مدل
۹۴	۹-۳-۴ بهینه سازی مدل
۹۵	۴-۴ مدلسازی کیفی حرکت آلودگی
۱۰۱	فصل پنجم
۱۰۱	نتیجه گیری و پیشنهادات
۱۰۱	۱-۵ نتیجه گیری
۱۰۷	۲-۵ پیشنهادات
۱۰۸	منابع
۱۱۰	پیوست الف: موقعیت سوندمازها و آمار مربوط به چاههای، قنوات و چشمه های منطقه سوارآباد
۱۱۵	پیوست ب: روش کار ، نمونه فایل و مدل ساخته شده RESIX IP
۱۱۷	مدل های ساخته شده نرم افزار IX1D

# فهرست شکلها

عنوان		شماره صفحه
شکل ۱-۱: منابع سیالاتی که موجب شستشوی لندفیل می شوند. [دولتی و همکاران ۱۳۸۴]	۵	
شکل ۲-۱: فاکتورهایی که در بررسی سایت تاثیر گذار هستند. [بنسون ۱۹۸۰]	۶	
شکل ۱-۳: الکترودهای نقطه ای $A$ و $B$ ، الکترودهای جریان بوده و الکترودهای $M$ و $N$ الکترودهای اندازه گیری پتانسیل می باشند.	۲۰	
شکل ۱-۴: آرایه متقارن شولومبرژ	۲۱	
شکل ۱-۵: فلوچارت مراحل انجام شده در پایان نامه	۳۵	
شکل ۱-۶: موقعیت محل دفن زباله های شهر اراک در نقشه ایران [GoogleEarth 2006]	۳۸	
شکل ۲-۲: راههای دسترسی به محل دفن زباله های شهر اراک [سازمان نقشه برداری ۱۳۷۸]	۳۹	
شکل ۲-۳: زمین شناسی و نقشه واحدهای سنگی شامل محل جمع آوری زباله شهر اراک [میرزایی، ۱۳۸۲]	۴۱	
شکل ۴-۲: واحدهای ژئومورفولوژی (تیپ اراضی) حوزه محل جمع آوری زباله امروزی شهر اراک [میرزایی، ۱۳۸۲]	۴۶	
شکل ۵-۲: موقعیت چاهها ( $W$ ), قنوات ( $K$ ) و چشمه ها ( $S$ ) در منطقه سوار آباد	۴۹	
شکل ۲-۶: نقشه ایزوفیز بررسی خطوط جریان آب با استفاده از اطلاعات چاهها و قنوات در محدوده دفن زباله شهر اراک [میرزایی ۱۳۸۲]	۵۰	
شکل ۱-۳: تصویر ماهواره ای منطقه مورد مطالعه و محل سوندایهای برداشت شده	۵۲	
شکل ۲-۳: نمایی از منطقه دفن زباله	۵۳	
شکل ۳-۳: نمایی از غرب منطقه دفن زباله ها	۵۳	
شکل ۳-۴: شبیه مقطع مقاومت ویژه پروفیل $A$	۵۴	
شکل ۳-۵: نمودار تغییرات مقاومت ویژه ظاهری بر حسب نصف فاصله الکترود های جریان $AB/2$ در پروفیل $A$	۵۵	
شکل ۳-۶: شبیه مقطع مقاومت ویژه پروفیل $B$	۵۶	

شکل ۷-۳: نمودار تغییرات مقاومت ویژه ظاهری بر حسب نصف فاصله الکترود های جریان $AB/2$	۵۷
.....درپروفیل <i>B</i>	
شکل ۸-۳: شبه مقطع مقاومت ویژه پروفیل <i>C</i>	۵۷
شکل ۹-۳: نمودار تغییرات مقاومت ویژه ظاهری بر حسب نصف فاصله الکترود های جریان $AB/2$	۵۸
.....درپروفیل <i>C</i>	
شکل ۱۰-۳: نمودار تغییرات مقاومت ویژه ظاهری بر حسب نصف فاصله الکترود های جریان $AB/2$	۵۹
.....درپروفیل <i>D</i>	
شکل ۱۱-۳: شبه مقطع مقاومت ویژه پروفیل <i>D</i>	۵۹
شکل ۱۲-۳: شبه مقطع مقاومت ویژه پروفیل <i>E</i>	۶۰
شکل ۱۳-۳: نمودار تغییرات مقاومت ویژه ظاهری بر حسب نصف فاصله الکترود های جریان $AB/2$	۶۰
.....درپروفیل <i>E</i>	
شکل ۱۴-۳: شبه مقطع مقاومت ویژه پروفیل <i>F</i>	۶۱
شکل ۱۵-۳: نمودار تغییرات مقاومت ویژه ظاهری بر حسب نصف فاصله الکترود های جریان $AB/2$	۶۲
.....درپروفیل <i>F</i>	
شکل ۱۶-۳: شبه مقطع مقاومت ویژه پروفیل <i>GFEDCB</i>	۶۲
شکل ۱۷-۳: نمودار تغییرات مقاومت ویژه ظاهری بر حسب نصف فاصله الکترود های جریان $AB/2$	۶۳
.....درپروفیل <i>GFEDCB</i>	
شکل ۱۸-۳: سونداز <i>F3</i> که لایه اول به علت هوازدگی قسمت سطحی به صورت دو لایه در نظر گرفته شده است، ضخامت لایه هوازده در حدود یک متر است.	۶۵
.....در <i>N</i>	
شکل ۱۹-۳: تاثیر توپوگرافی بر روی سطوح هم پتانسیل و خطوط جریان [ فوکس و همکارانش،	۶۶
[ ]	۱۹۸۰
شکل ۲۰-۳: مدل دوبعدی پروفیل <i>A</i> همراه شبه مقطع مقاومت ویژه ظاهری حاصل از مدل و داده های صحراibi	۶۸
.....در <i>N</i>	
شکل ۲۱-۳: مدل یک بعدی سونداز <i>B3</i> با استفاده از نرم افزار <i>IXID</i>	۶۹
شکل ۲۲-۳: مدل دوبعدی پروفیل <i>B</i> همراه شبه مقطع مقاومت ویژه ظاهری حاصل از مدل و داده های صحراibi	۷۰



شکل ۱-۴: نمایش توپوگرافی و محدوده مدلسازی، محدوده دفن زباله از ارتفاع بیشتری نسبت به منطقه برخوردار است.	۹۲
شکل ۲-۴: محدوده مدلسازی، سلولهای سیاه رنگ فعال هستند و سلولهای قرمز رنگ غیر فعال هستند.	۹۳
شکل ۳-۴ نحوه محاسبه خطأ در چاههای پیزومتری	۹۵
شکل ۴-۴: چاههای پیزومتری در منطقه مدلسازی و خطوط هم تراز آب زیرزمینی. در این شکل چاههای منطقه با شماره نشان داده شده اند و چاههای آب شرب با یک شماره در کنار <i>W</i> نشان داده شده است، چاه رنگرزی بنام <i>factory</i> مشخص شده است.	۹۷
شکل ۵-۴: حرکت آلودگی پس از ۲۲ سال از ابتدای انباشت زباله	۹۸
شکل ۶-۴: حرکت آلودگی پس از ۴۶ سال از ابتدای انباشت زباله	۹۹
شکل ۷-۴: حرکت آلودگی پس از ۶۶ سال از ابتدای انباشت زباله	۱۰۰
شکل ۱-۵: پروفیل <i>B4C4D3E2F3</i> افتادگی شدید آبرفتها در <i>C4</i>	۱۰۲
شکل ۲-۵: پروفیل <i>B3C3D2E1F2</i> افتادگی آبرفتها در <i>C3</i>	۱۰۳
شکل ۳-۵: پروفیل <i>B6C6D5F5</i> ، افزایش عمق آبرفت از سوندazer <i>D5</i>	۱۰۴
شکل ۴-۵: نمایش سطح آب زیرزمینی در منطقه به صورت سه بعدی	۱۰۵
شکل ۵-۵: نمایش مسیر حرکت آلودگی از سمت غرب در ۲۰ سال آینده	۱۰۶
شکل ۶-۵: پیش بینی حرکت آلودگی در ۴۰ سال آینده	۱۰۶
شکل ب-۱: صفحه اصلی برنامه <i>IXID</i> که داده های مقاومت ویژه، <i>TEM sounding</i> <i>MT sounding</i> <i>EM Conductivity sounding</i> <i>sounding</i> یک بعدی کند.	۱۱۵
شکل ب-۲: تعیین نوع آرایه ای که داده ها با آن برداشت شده است.	۱۱۶
شکل ب-۳: مدل یک بعدی سوندazer <i>A1</i> حاصل از معکوس سازی داده های مقاومت ویژه ظاهری توسط نرم افزار <i>IXID</i>	۱۱۷
شکل ب-۴: مدل یک بعدی سوندazer <i>A2</i> حاصل از معکوس سازی داده های مقاومت ویژه ظاهری توسط نرم افزار <i>IXID</i>	۱۱۸
شکل ب-۵: مدل یک بعدی سوندazer <i>A3</i> حاصل از معکوس سازی داده های مقاومت ویژه ظاهری	۱۱۹

۱۱۸.....	توسط نرم افزار <i>IXID</i>
شکل ب - ۶ : مدل یک بعدی سونداز A4 حاصل از معکوس سازی داده های مقاومت ویژه ظاهری	
۱۱۹.....	توسط نرم افزار <i>IXID</i>
شکل ب - ۷ : مدل یک بعدی سونداز A5 حاصل از معکوس سازی داده های مقاومت ویژه ظاهری	
۱۱۹.....	توسط نرم افزار <i>IXID</i>
شکل ب - ۸ : مدل یک بعدی سونداز A6 حاصل از معکوس سازی داده های مقاومت ویژه ظاهری	
۱۲۰.....	توسط نرم افزار <i>IXID</i>
شکل ب - ۹ : مدل یک بعدی سونداز A7 حاصل از معکوس سازی داده های مقاومت ویژه ظاهری	
۱۲۰.....	توسط نرم افزار <i>IXID</i>
شکل ب - ۱۰ : مدل یک بعدی سونداز A8 حاصل از معکوس سازی داده های مقاومت ویژه ظاهری	
۱۲۱.....	توسط نرم افزار <i>IXID</i>
شکل ب - ۱۱ : مدل یک بعدی سونداز A9 حاصل از معکوس سازی داده های مقاومت ویژه ظاهری	
۱۲۱.....	توسط نرم افزار <i>IXID</i>
شکل ب - ۱۲ : مدل یک بعدی سونداز A10 حاصل از معکوس سازی داده های مقاومت ویژه ظاهری	
۱۲۲.....	توسط نرم افزار <i>IXID</i>
شکل ب - ۱۳ : مدل یک بعدی سونداز B1 حاصل از معکوس سازی داده های مقاومت ویژه ظاهری	
۱۲۲.....	توسط نرم افزار <i>IXID</i>
شکل ب - ۱۴ : مدل یک بعدی سونداز B2 حاصل از معکوس سازی داده های مقاومت ویژه ظاهری	
۱۲۳.....	توسط نرم افزار <i>IXID</i>
شکل ب - ۱۵ : مدل یک بعدی سونداز B4 حاصل از معکوس سازی داده های مقاومت ویژه ظاهری	
۱۲۳.....	توسط نرم افزار <i>IXID</i>
شکل ب - ۱۶ : مدل یک بعدی سونداز B5 حاصل از معکوس سازی داده های مقاومت ویژه ظاهری	
۱۲۴.....	توسط نرم افزار <i>IXID</i>
شکل ب - ۱۷ : مدل یک بعدی سونداز B6 حاصل از معکوس سازی داده های مقاومت ویژه ظاهری	
۱۲۴.....	توسط نرم افزار <i>IXID</i>
شکل ب - ۱۸ : مدل یک بعدی سونداز B7 حاصل از معکوس سازی داده های مقاومت ویژه ظاهری	

۱۲۵	شکل ب - ۱۹ : مدل یک بعدی سونداز C1 حاصل از معکوس سازی داده های مقاومت ویژه ظاهری توسط نرم افزار IXID
۱۲۶	شکل ب - ۲۰ - مدل یک بعدی سونداز C2 حاصل از معکوس سازی داده های مقاومت ویژه ظاهری توسط نرم افزار IXID
۱۲۶	شکل ب - ۲۱ - مدل یک بعدی سونداز C3 حاصل از معکوس سازی داده های مقاومت ویژه ظاهری توسط نرم افزار IXID
۱۲۷	شکل ب - ۲۲ - مدل یک بعدی سونداز C4 حاصل از معکوس سازی داده های مقاومت ویژه ظاهری توسط نرم افزار IXID
۱۲۷	شکل ب - ۲ - مدل یک بعدی سونداز C6 حاصل از معکوس سازی داده های مقاومت ویژه ظاهری توسط نرم افزار IXID
۱۲۸	شکل ب - ۲ - مدل یک بعدی سونداز C7 حاصل از معکوس سازی داده های مقاومت ویژه ظاهری توسط نرم افزار IXID
۱۲۸	شکل ب - ۲ - مدل یک بعدی سونداز D1 حاصل از معکوس سازی داده های مقاومت ویژه ظاهری توسط نرم افزار IXID
۱۲۹	شکل ب - ۲ - مدل یک بعدی سونداز D2 حاصل از معکوس سازی داده های مقاومت ویژه ظاهری توسط نرم افزار IXID
۱۲۹	شکل ب - ۲ - مدل یک بعدی سونداز D3 حاصل از معکوس سازی داده های مقاومت ویژه ظاهری توسط نرم افزار IXID
۱۳۰	شکل ب - ۲ - مدل یک بعدی سونداز D5 حاصل از معکوس سازی داده های مقاومت ویژه ظاهری توسط نرم افزار IXID
۱۳۰	شکل ب - ۲ - مدل یک بعدی سونداز E1 حاصل از معکوس سازی داده های مقاومت ویژه ظاهری توسط نرم افزار IXID
۱۳۱	شکل ب - ۳۰ - : مدل یک بعدی سونداز E2 حاصل از معکوس سازی داده های مقاومت ویژه ظاهری توسط نرم افزار IXID
	شکل ب - ۲ - مدل یک بعدی سونداز E4 حاصل از معکوس سازی داده های مقاومت ویژه ظاهری

۱۳۱.....	توسط نرم افزار <i>IXID</i>
شکل ب - ۲- مدل یک بعدی سونداز <i>E5</i> حاصل از معکوس سازی داده های مقاومت ویژه ظاهری	
۱۳۲.....	توسط نرم افزار <i>IXID</i>
شکل ب - ۲- مدل یک بعدی سونداز <i>E6</i> حاصل از معکوس سازی داده های مقاومت ویژه ظاهری	
۱۳۲.....	توسط نرم افزار <i>IXID</i>
شکل ب - ۲- مدل یک بعدی سونداز <i>F1</i> حاصل از معکوس سازی داده های مقاومت ویژه ظاهری	
۱۳۳.....	توسط نرم افزار <i>IXID</i>
شکل ب - ۲- مدل یک بعدی سونداز <i>F2</i> حاصل از معکوس سازی داده های مقاومت ویژه ظاهری	
۱۳۳.....	توسط نرم افزار <i>IXID</i>
شکل ب - ۲- مدل یک بعدی سونداز <i>F4</i> حاصل از معکوس سازی داده های مقاومت ویژه ظاهری	
۱۳۴.....	توسط نرم افزار <i>IXID</i>
شکل ب - ۳۷- مدل یک بعدی سونداز <i>F5</i> حاصل از معکوس سازی داده های مقاومت ویژه ظاهری	
۱۳۴.....	توسط نرم افزار <i>IXID</i>
شکل ب - ۳۸- مدل یک بعدی سونداز <i>F6</i> حاصل از معکوس سازی داده های مقاومت ویژه ظاهری	
۱۳۵.....	توسط نرم افزار <i>IXID</i>
شکل ب - ۳۹- مدل یک بعدی سونداز <i>G2</i> حاصل از معکوس سازی داده های مقاومت ویژه ظاهری	
۱۳۵.....	توسط نرم افزار <i>IXID</i>
شکل ب - ۴۰- مدل یک بعدی سونداز <i>G3</i> حاصل از معکوس سازی داده های مقاومت ویژه ظاهری	
۱۳۶.....	توسط نرم افزار <i>IXID</i>
شکل ب - ۴۱- مدل یک بعدی سونداز <i>G4</i> حاصل از معکوس سازی داده های مقاومت ویژه ظاهری	
۱۳۶.....	توسط نرم افزار <i>IXID</i>
شکل ب - ۴۲- مدل یک بعدی سونداز <i>H2</i> حاصل از معکوس سازی داده های مقاومت ویژه ظاهری	
۱۳۷.....	توسط نرم افزار <i>IXID</i>

# فهرست جداول

عنوان	شماره صفحه
جدول ۱-۱: رها شدگی آلاینده ها به آبهای سطحی و زیرزمینی [دولتی و همکاران ۱۳۸۴]	۹
جدول ۲-۱: تغییر مقاومت ویژه با محتوای آب [تلغورد ۱۳۷۵]	۱۵
جدول ۳-۱: مقاومت ویژه برخی سنگها، کانیها و عناصر شیمیایی معمول. [پاترا ۱۳۸۲-۱]	۱۶
جدول ۱-۲: متوسط بارندگی سی ساله در ایستگاههای موجود [میرزایی ۱۳۸۲]	۵۱
جدول ۱-۴: مقادیر پارامترهای ورودی مدل کیفی	۹۶

## فصل اول

### کلیات

#### ۱-۱ مقدمه

روند افزایینده رشد جمعیت و افزایش مواد مصرفی و استفاده نادرست از آن به خصوص در کشورهای در حال توسعه و غیر صنعتی در سالهای اخیر، موجب افزایش چشمگیر زباله شده و از طرف دیگر توجه به محیط زیست، حفظ و نگهداری جوامع بشری از آلودگی‌ها باعث توجه خاص مجتمع علمی به معضل زباله گردیده است.

بسط و توسعه شهرنشینی و پیدایش کلان شهرها در چند قرن اخیر، مسئله دفع زباله و یا استفاده مجدد از برخی زباله‌ها را به صورت قابل توجهی جلوه‌گر ساخته است. با توجه به حجم زباله‌های تولید شده در شهرها، از بین روش‌های دفع زباله، دفن، کارآمدترین و در عین حال ساده‌ترین و ارزانترین روشی می‌باشد که برای حجم بالایی از زباله‌های تولید شده می‌تواند مورد استفاده قرار گیرد.

بطور خلاصه می‌توان گفت در ایران سه روش دفع زباله تجربه شده است:

۱. روش سوزاندن که چندان مورد استقبال قرار نگرفت.

۲. هزینه زیادی در کشور صرف روش‌های بازیافت و تبدیل زباله مثل کمپوست شده است، لیکن هنوز این روش‌ها جوابگو درصد قابل توجهی از نیازهای دفع زباله در کشور نمی‌باشند.

۳. دفن زباله متداولترین روش دفع مواد زائد جامد در ایران محسوب می‌شود. شاید بتوان اظهار نمود که در مقایسه آماری با سایر روش‌ها، دفن تنها روش دفع زباله در ایران است.

با توجه به اینکه هم اکنون دفن زباله تقریباً تنها روش عمده در کشور است و پیش‌بینی می‌شود که تا آینده نزدیک نیز روش دیگری قادر به برطرف کردن درصد قابل توجهی از نیازهای دفع زباله نباشد، بنابراین باید مشکلات دفن زباله در ایران شناخته شده و قدم‌های لازم در جهت حل آنها صورت گیرد. دفن زباله در ایران دفن مهندسی و بهداشتی نیست. زباله به صورت سنتی در گودال ریخته می‌شود.

شود و روی آن با اندکی خاک پوشیده می گردد. شیرآبه زباله که آلودگی بسیار زیادی دارد، در زمین نفوذ کرده و موجب آلودگی های منابع آب و خاک می گردد.

انتشار آلودگی با اتمام شیرآبه خاتمه نمی یابد زیرا بارندگی و سایر نزولات جوی وارد زباله شده و انتشار آلودگی را استمرار می دهند. پوشش سطحی نیز در روش سنتی به صورت اصولی اجرا نمی شود و بوی تعفن زباله موجب بیماری و عدم رضایت ساکنان مجاور می گردد.

مطالعات تاثیرنشست شیرآبه احتمالی تشکیل شده از زباله های دفن شده در منطقه امان آباد اراک نیاز اساسی در شناخت ساختار زیرسطحی را از طریق مطالعات ژئوفیزیک در این منطقه اجتناب ناپذیرنموده است.

## ۱-۲ آلودگی آبهای زیرزمینی<sup>۱</sup>

آلودگی آب عبارت است از، تغییرات نامطلوب کیفیت یا خصوصیات فیزیکی، شیمیایی، فیزیولوژیکی و بیولوژیکی آب که حیات انسان و دیگر موجودات زنده را تهدید می کند.[پرویز کردوانی ۱۳۷۴]

### ۱-۲-۱ آلودگی فیزیکی آب

در مورد آلودگی فیزیکی آب موارد زیر مورد بررسی قرار می گیرد:  
رنگ، مواد متعلق در آب، مواد رادیواکتیو، حرارت و کف.

### ۱-۲-۲ آلودگی شیمیایی

ورود ناخالصیها مانند مواد شیمیایی که در صنعت و کشاورزی روزمره بکار می رود، از آن جمله مواد نفتی، روغنی و مواد معدنی از قبیل سرب، روی، مس، سموم دفع آفات، سموم علف کش، کودهای شیمیایی، مواد پاک کننده و بطور کلی تمام مواد معدنی و آلی که بطور طبیعی و مصنوعی وجود دارند.

### ۱-۲-۳ آلودگی فیزیولوژیکی

در آلودگی فیزیولوژیکی، بو و طعم بد نشانه آلودگی است.

---

<sup>۱</sup> - groundwater contamination

## ۴-۲-۱ آلدگی بیولوژیکی

کلیه موجودات زنده که وارد آب می شوند و به سلامت دیگر موجودات زنده زیان وارد می کنند، مانند باکتریها، قارچها، ویروسها، انگل ها و غیره آلدگی بیولوژیکی آب را تولید می کنند. مشکل آلدگی آبهای زیرزمینی در نواحی صنعتی، شهری، روستایی و مناطق معدنی دیده می شود. منابع آلدگی آبهای زیرزمینی و نوع آلاینده ها بیشمار می باشند. حللهای<sup>۱</sup> صنعتی معمول مانند تری کلرو اتیلن، تری کلرو اتان، تترا کلرواتان، بنزن، تترا کلرید کربن در نواحی وسیع یافت می شوند. در نواحی شهری آبهای زیرزمینی حاوی غلظت بالای نیترات هستند که علت آن استفاده از کودهای گیاهی و همچنین تخلیه های مربوط به تانکهای فاضلاب<sup>۲</sup> می باشد.

در مناطق کشاورزی درصد بالایی از کود و ترکیبات شیمیایی مصنوعی در آب زیرزمینی یافت می شوند. محل دفن زباله ها به صورت لندفیل در نواحی شهری و روستایی از منابع آلدگی تلقی می شوند [دولتی و همکاران ۱۳۸۴].

## ۴-۲-۱ لندفیل ها

لندفیل ها جهت دفن زباله ها احداث می گردند. بطور کلی می توان لندفیلها را از لحاظ نوع زباله

دفن شده به سه دسته تقسیم بنندی کرد:

۱. لندفیل جهت دفن زباله های خطرناک
۲. لندفیل جهت زباله های غیر خطرناک
۳. لندفیل جهت زباله های راکد و ساکن

دفن زباله ها در یک محل عموماً به معنی جا دادن زباله شهری، خاکستر، برگ گیاهان، زباله های حاصل از تخریب و لجن فاضلاب های شهری و آب های آلوده صنعتی می باشد. باطله های خطرناک، سمی و رادیواکتیو نیز بدین صورت دفن می شوند. باران و نزولات جوی که در زباله ها نفوذ می کند می تواند با مایعات داخل آن مخلوط شده و ترکیبات و آلاینده ها را از باطله های جامد شستشو دهد. مواد شسته شده که به این طریق ایجاد می گردد باعث آلدگی آب زیرزمینی می شود. چنانچه زباله ها

<sup>1</sup> - industrial solvents

<sup>2</sup> - septic tank

زیر سطح آب زیرزمینی مدفون شده باشند، حرکت آب زیرزمینی می‌تواند ترکیبات باطله را شسته و آلوده شود. مواد شسته شده از لندفیل‌ها می‌توانند شامل غلظت‌های بالایی از مواد آلی و معدنی باشند. بعضاً محلول شسته شده از یک لندفیل با آب زیرزمینی مخلوط شده و در مسیر جریان آب زیرزمینی توسعه می‌یابد. با دور شدن از منبع آلودگی بسته به توزیع هیدرودینامیکی و فرآیند تأخیر غلظت آلاینده کاهش می‌یابد. حجم مایعاتی که از یک لندفیل شسته می‌شود تابع میزان آب نفوذی از میان زباله‌ها می‌باشد.

## ۱-۲-۶ سیال حاصل از شستشوی<sup>۱</sup> لندفیل<sup>۲</sup>

شیرابه مایعی بوده که از داخل مواد زاید به خارج تراویش کرده و حاوی مواد محلول و معلق می‌باشد. در اغلب زمینهای دفن، شیرابه از تجزیه مواد آلی و یا مایعی که ممکن است از منابع خارجی مثل زهکشی آبهای سطحی، آب باران، آبهای ناشی از منابع زیرزمینی وارد مواد زائد شود، به وجود می‌آید.

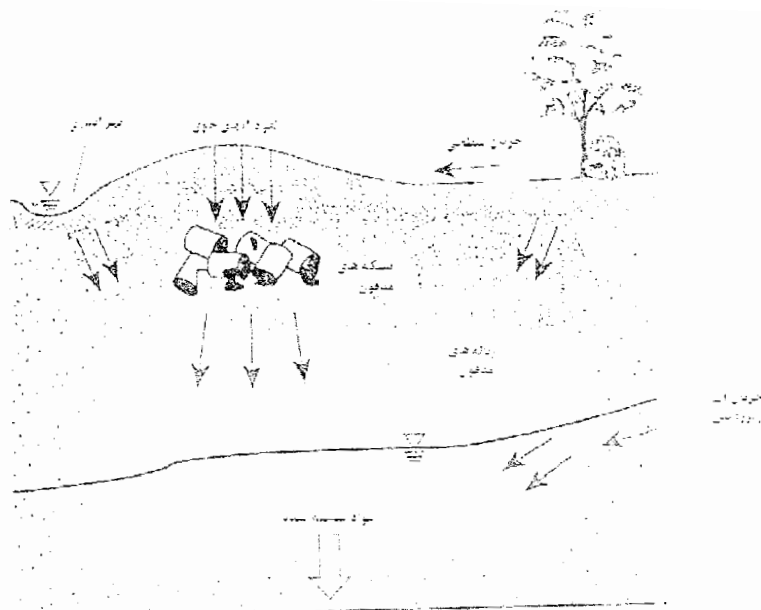
اگر میزان رطوبت مواد داخل محل دفن از یک مقدار خاصی بیشتر شد شیرابه شروع به تولید شدن میکند و به طرف پایین حرکت خواهد کرد که این مقدار خاص را با اسم ظرفیت نگهداری می‌شناسند [جلالوندی ۱۳۷۹].

شکل ۱-۱ سیالات مختلفی که ممکن است در شستن آلاینده‌های لندفیل نقش داشته باشند را نشان می‌دهد. این آبهای عبارتند از:

۱. نزولات جوی که مستقیماً روی لندفیل می‌بارند و ممکن است به داخل آن نفوذ نمایند.
۲. جریان آب سطحی که در روی لندفیل عبور می‌کند
۳. جریان آب از بین بخشی از لندفیل که زیر سطح ایستابی آبهای زیرزمینی قرار می‌گیرد.
۴. بخش مواد مایع دفن شده در لندفیل (در گذشته از لندفیل برای دفن باطله‌های مایع به صورت فله‌ای یا در داخل بشکه‌ها استفاده می‌کردند).

<sup>1</sup> Leachate

<sup>2</sup> Landfill



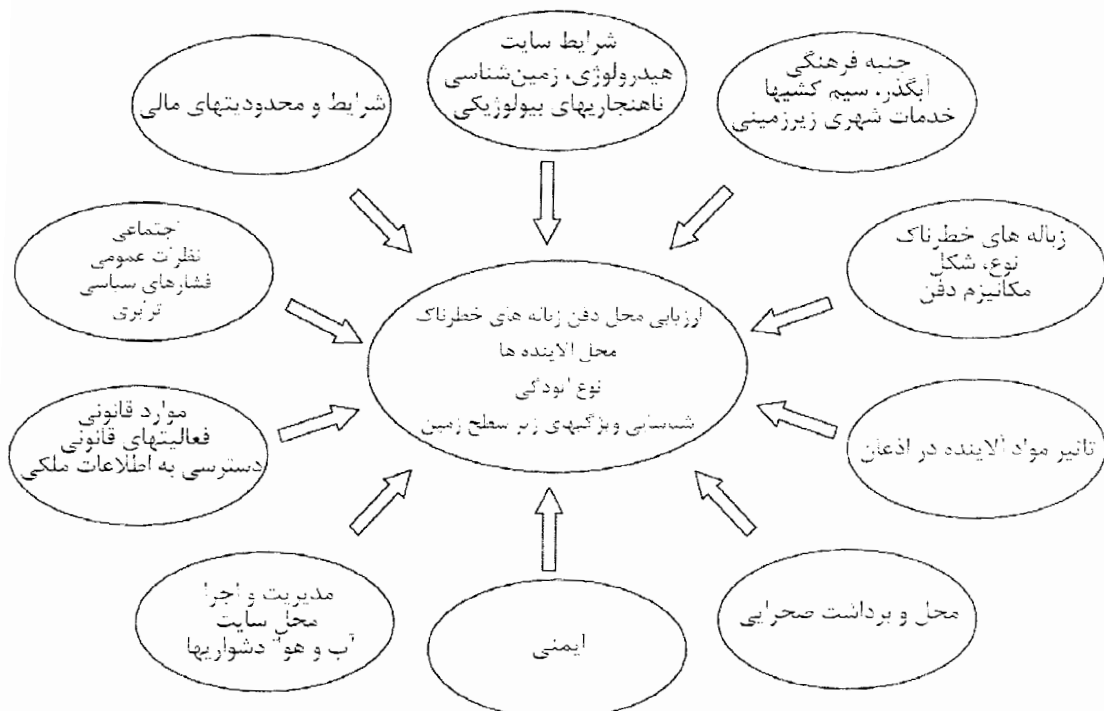
شکل ۱-۱: منابع سیالاتی که موجب شستشوی لنگفیل می شوند [دولتی و همکاران ۱۳۸۴].

### ۱-۳ فاکتورهای مهم

شکل ۲-۱ بعضی از عواملی که در طراحی و ارزیابی مناطق دارای باطله های خطرناک (*HWS*)<sup>۱</sup> تأثیر دارند، را نشان می دهد. سه مورد از اهداف اصلی که در ارزیابی صحرایی *HWS* مد نظر می باشد، در مرکز شکل دیده می شود که عبارتند از:

- محل دفن زباله ها ، شامل تفکیک پذیری ، مقدار و نوع آنها.
- شناخت توده آلوده موجود ، جهت ، سرعت حرکت آن و انتشار آلاینده ها.
- شناسایی شرایط طبیعی هیدرولوژی و موارد ایجاد شده توسط انسانها.

<sup>1</sup> Hazardous waste site



شکل ۱-۲: فاکتورهایی که در بررسی سایت تاثیر گذار هستند [بنسون<sup>۱</sup>].

در زیر مروری بر این متغیرها خواهیم داشت:

### ۱-۳-۱ شرایط طبیعی منطقه

اگر زیر سطح زمین از لایه رس یکنواخت تشکیل شده باشد، ارزیابی آن می‌تواند به طور نسبی ساده و مستقیم باشد. به هر حال در بیشتر موارد این حالت رخ نمی‌دهد. برای مثال، تغییر کمی در محتویات خاک رس و شن می‌تواند تراوایی (نفوذ پذیری) هیدرولیکی را ده برابر تغییر دهد. بنابراین، محقق باید تغییرات بسیار ناچیز را مورد توجه قرار دهد زیرا ممکن است باعث خطاهاي غیر قابل پیش بینی شود. تغییرات ناچیز در طبقات زیر سطح زمین در بعضی از موارد به سختی قابل شناسایی است.

تاثیرات روزانه و فصلی دما و بارش می‌تواند بر روی مهاجرت و توازن آلاینده‌ها تاثیر بگذارد. همچنین سطح آب زیرزمینی بسیار مهم است زیرا آلاینده‌ها به سادگی می‌توانند در سیستم آب زیرزمینی وارد شوند. تغییرات جزئی در تراوایی (نفوذ پذیری) سبب می‌شود تا جریان آب زیرزمینی، در

<sup>1</sup> Benson

جهت و با سرعت خاصی به راه بیفتند.

### ۱-۳-۲- چهره فرهنگی

پیشرفتهای فرهنگی و تغییرات جزئی آن نیز بر روی *HWS* تاثیرگذار است. سطوح آسفالت شده و شبکه فاضلاب سبب جمع شدن آب های سطحی می شود. زه کشیهایی که برای قرار دادن لوله ها، شبکه فاضلاب ، خطوط تلفن و بقیه خدمات شهری انجام می شود معمولاً توسط موادی پر می شوند که از فشردگی کم برخوردار هستند یا نفوذپذیری بالاتری نسبت به سنگ و خاک طبیعی دارند. این مسیر می تواند به عنوان یک آبراه بالقوه برای افزایش سرعت حرکت آلودگی ها باشد. وجود کانال ها و پمپاژ آبهای زیرزمینی در مهاجرت آلودگیها در روی زمین و زیرزمین تاثیر به سزاوی دارند . به علاوه ، نشت از بسیاری از لوله ها یا تانکها می تواند به عنوان منابع آلوده کننده به حساب آیند.

### ۱-۳-۳- آلدگیهای خطرناک

نوع، فرم، روش دور ریختن، حفظ منابع طبیعی و فعالیتهای بازیافت زباله های خطرناک *HWS* در صورتی که درست مدیریت نشوند به عنوان عوامل مهم و اصلی در آسیب زدن به سلامتی و محیط زیست خواهد بود. توصیف زباله های خطرناک دارای ۴ ویژگی زیر می باشد :

- قابل احتراق
- فرسایشگر
- قابل فعل شدن مجدد
- سمی بودن

در صورتی که زباله ها باعث خطر واقعی و جدی برای انسان و محیط زیست باشند، فاکتورهای دیگری نیز باید در نظر گرفته شود:

- درجه سمیت
- چگالی و تمرکز
- پتانسیل آلاینده ها در مهاجرت به محیط زیست
- احتمال عدم مدیریت صحیح
- کمیت زباله ها

## • ثبت تاریخی سلامتی انسان و آسیب‌های محیط زیست

تخلیه کنترل نشده آلینده‌ها هم در آبهای سطحی و هم در آبهای زیرزمینی صورت می‌گیرد. مواد شسته شده و زهکش شده آلوده از لنوفیل‌ها نمونه‌هایی از تخلیه کنترل نشده به آبهای سطحی و زیرزمینی است. در محل‌های دفن زباله تخلیه نتیجه یک مکانیزم طبیعی است که در آن آلینده‌ها توسط آب‌های سطحی شسته شده و وارد منابع آب غیرآلوده می‌شوند. [دولتی و همکاران ۱۳۸۴]

تخلیه کنترل نشده آلینده‌ها هم در آبهای سطحی و هم در آبهای زیرزمینی صورت می‌گیرد. مواد شسته شده و زهکش شده آلوده از لنوفیل‌ها نمونه‌هایی از تخلیه کنترل نشده به آبهای سطحی و زیرزمینی است. در لنوفیل‌ها تخلیه نتیجه یک مکانیزم طبیعی است که در آن آلینده‌ها توسط آب‌های سطحی شسته شده و وارد منابع آب غیرآلوده می‌شوند.

نمونه‌هایی از تخلیه آلینده‌های عمدی که به آبهای سطحی و زیرزمینی روی می‌دهد را نشان می‌دهد که حجم رهاسازی، غلظت آلینده‌ها و نوع عواملی که طبیعت تخلیه شدگی را تحت تأثیر قرار می‌دهند مقایسه می‌کند.

تخلیه کنترل نشده آلینده‌ها هم در آبهای سطحی و هم در آبهای زیرزمینی صورت می‌گیرد. مواد شسته شده و زهکش شده آلوده از لنوفیل‌ها نمونه‌هایی از تخلیه کنترل نشده به آبهای سطحی و زیرزمینی است. در لنوفیل‌ها تخلیه نتیجه یک مکانیزم طبیعی است که در آن آلینده‌ها توسط آب‌های سطحی شسته شده و وارد منابع آب غیرآلوده می‌شوند.

### ۱-۳-۴- برهمنش متقابل آلینده‌ها و طبیعت

بسیاری از آلینده‌ها توسط جریان آب حرکت می‌کنند و بطور مکانیکی و پخش مولکولی منتشر می‌شوند. این رویه نه تنها سبب انتشار آلودگی در مسیر حرکت بلکه در اطراف مسیر نیز پراکندگی صورت می‌گیرد.

برای بعضی از آلینده‌ها این امکان وجود دارد که مسیر طولانی را طی کند و در فضای وسیعی پراکنده شوند. برای نمونه، بعضی از توده‌های آلودگی بیش از ۸ مایل در طول ۳۵ سال مهاجرت کرده‌اند و فضایی بیشتر از ۱۰ مایل مربع را آلوده کرده‌اند.

جدول ۱-۱: رها شدگی آلاینده ها به آبهای سطحی و زیرزمینی [دولتی و همکاران ۱۳۸۴]

منبع	حجم تخلیه شدگی	غلظت آلاینده	عواملی که روی مانیزم تخلیه شدگی موثرند
حمل و نقل ریخته شدن	جزیی تا تمام محتویات تانکر حمل کننده	بالا (اغلب محصول خالص)	حوادث مریوط به آمد و شد (ترافیک)
انبار ریخته شدن	جزیی تا تمام محتویات تانکرهای انبار کننده	بالا (اغلب محصول خالص)	گسیختگی ساختمانی تانک
نشتی ها	نرخ خیلی کم	بالا (اغلب محصول خالص)	تناوب بازدیدها و نگهداری، سن تجهیزات انبار کننده
تصفیه آب خروجی	متغیر، اغلب بالا	پایین (نیاز به اجزاء از مسئولین تصمیم گیرنده)	ورودی آبهای باطله، طراحی و عملکرد تجهیزات
لندهای سطحی شستن و نفوذ از طریق قاعده	بطور ممکن وسیع، بستگی به بارندگی	متوسط تا بالا	بزرگی و گسترش لایه پوشاننده، شبیب، سیلاب ، ظرفیت نگهداری مشخصات لایه پوشاننده لندهای (شبیب و تراوایی)، جدا نمودن و حذف مواد شسته شده از لندهای (مشابه بالا به علاوه نفوذپذیری قاعده لندهای)
لاگون ها جريان سطحی	جزیی تا تمام محتویات نرخ خیلی کم تا کم در لندهایی که کف آنها آستریندی شده، متوسط تا بالا برای لندهایی که کف آنها آستریندی نشده است	بالا (باطله های خطرناک انبار شده) بالا (باطله های خطرناک انبار شده)	گسیختگی ساختاری، جریان سیلاب نفوذ پذیری قاعده، عمق سیال

همانند تغییرات در نفوذ پذیری خاک، تاثیر جریانهای آب زیرزمینی محلی و منطقه ای معمولاً در پمپاژ آب، وجود کanal، دریاچه متفاوت است. آهنگ جریان که معمولاً بر اساس نفوذ پذیری سنگ و خاک است توسط سنجش های آزمایشگاهی به دست می آید، که معمولاً کمتر از نفوذپذیری واقعی است . علاوه بر این، نفوذ پذیری معمولاً به درجه خلوص آب نیز مربوط است، زیرا نفوذ پذیری به ترکیبات شیمیایی خاص که معمولاً با هم تفاوت زیادی دارند، بستگی دارد. مهاجرت بعضی از ترکیبات شیمیایی مشاهده شده ده برابر سریعتر از آب زیرزمینی است. علاوه بر آهنگ جریان، ترکیبات شیمیایی خاصی با تاثیر بر روی سنگ و خاک سبب ایجاد شیار در آنها شده و نفوذ پذیری آنها را افزایش می

دهد، بنابراین علاوه بر شناخت آلودگی باید از محیط اطراف آن نیز اطلاعات کافی در اختیار داشت. ویژگیهای فیزیکی و شیمیایی سنگ و خاک و فاکتورهای بیولوژیکی بر روی حرکت و تمرکز بسیاری از مواد آلاینده خطرناک تاثیر به سزایی دارد. بعضی از آلاینده‌ها ضمن حرکت در خاک و یا آب رقیق تر، یا پیشروی آنها کند تر می‌شود. بعضی از مواد مانند فلزات سنگین بلافصله به علت جذب ته نشین می‌شوند. اگر این مواد از خاک رس یا ساختارهای طبیعی مانند کود حیوانی یا گیاهی عبور کند زودتر از حرکت در شن و ماسه باز می‌ایستند. شن و ماسه تمیز و ریز از شن و ماسه درشت یا سنگ آهک نفوذ پذیر، میرایی بیشتری را موجب می‌شود. این امر سبب به تاخیر افتادن گسترش آلاینده‌ها می‌شود.

مواد اسیدی با  $pH$  پایین توسط سنگ آهک طبیعی و یا توسط اثر خنثی سازی آب دریا از بین می‌روند یا اثرشان بسیار کم می‌شود. خاصیت قلیایی محیط، باعث کاهش یا از حرکت انداختن فلزات سنگین می‌شود، در صورتیکه محیط اسیدی سبب افزایش سرعت فلزات می‌شود.

### ۱-۳-۵ برداشت و مکان یابی محل

بسیار ضروری است که فرد محقق محل و موقعیت منطقه مورد مطالعه را تعیین نموده و اطلاعات را با دقت مناسب برداشت نماید. به علاوه این اطلاعات باید به گونه‌ای باشد که افراد دیگر بتوانند موقعیت این اطلاعات را با همان دقت به دست آورند. بنابراین ممکن است اطلاعاتی که توسط افراد مختلف گردآوری شده‌اند، با هم اختلاف داشته باشند. از طرف دیگر، در صورتیکه دقت بسیار بالا نیاز نباشد، نباید هزینه و زمان زیادی را صرف نقشه برداری محل کرد.

ضرورت و نیاز مقدار دقت و درستی اطلاعات به نوع اکتشاف و برداشت و اینکه چگونه قرار است از این اطلاعات استفاده شود بستگی دارد. در بعضی حالات، تغییرات در حدود ۱۰ فوت کمتر یا زیادتر مشکلی ایجاد نمی‌کند و در بعضی موارد دیگر تغییرات در حدود چند اینچ نیز بسیار مهم است. بعضی اوقات جستجوی نامنظم بدون جستجوی اولیه برای پیدا کردن یک توده دفن شده نیاز می‌باشد. اگر محل دفن توده به درستی شناسایی شود، ممکن است محدوده آن نیز اکتشاف شود.

### ۱-۳-۶ ایمنی

در عملیات *HWS* سلامت افراد و اقدامات احتیاطی باید در نظر گرفته شود . در ابتدا محل برداشت باید شناسایی شود، تا از لحاظ ایمنی و سلامتی مناسب شناخته شود. آموزش‌های ویژه، تجهیزات و استانداردها باید در فعالیتهای صحرایی در نظر گرفته شود . باید در نظر داشت که با افزایش درجه ایمنی مورد نیاز هزینه برداشت صحرایی افزایش پیدا می کند.

با افزایش تعداد حفاریها در منطقه، احتمال برخورد با محل دفن زباله های خطرناک (*HWS*) بالاتر می رود. بنابراین می توان با استفاده از روش‌های رئوفیزیکی سطحی از محدوده محل دفن زباله ها آگاهی پیدا کرد تا محل حفاریها در محل مناسبی قرار گیرند.

### ۱-۳-۷ تراپری و غیره

از نظر موقعیت *HWS* می تواند در یک محل بسیار شلوغ واقع شده باشد و یا چندین کیلومتر تا شهر فاصله داشته باشد. امکانات و قدرت دسترسی به آن در برداشتهای *HWS* بسیار مهم است. در یک برنامه باید امکاناتی مانند فرودگاه، هتل، رستوران و همچنین بیمارستان، آتش نشانی و پلیس باید در نظر گرفته شود. آب برای نوشیدن و سرویس بهداشتی می تواند توسط تانکهای آب در محل تامین شود. شرایط آب و هوایی بر روی فعالیتهای افراد و مسائل تکنیکی تاثیر می گذارد. در صورت امکان بهتر است کار صحرایی در فصلهای مناسب سال انجام شود .

شرایط زمین در منطقه بر روی فعالیتهای افراد تاثیر گذار است. شبیب تنده، پوشش گیاهی زیاد و زمین نمناک و خیس می تواند در حرکت افراد و تجهیزات مشکل ایجاد کند. نه تنها دسترسی به منطقه آلوده، بلکه به اطراف آن برای دنبال کردن گسترش آلودگی و به دست آوردن اطلاعات اولیه مورد نیاز است.

### ۱-۳-۸ جنبه قانونی

فرد محقق باید قبل از شروع به کار، جنبه قانونی بودن پروژه را مورد بررسی قرار دهد . با آنکه بررسی های اولیه نیاز به رسیدگی زیادی ندارد ، اما برای ادامه کار و تحقیقات بیشتر روی منطقه باید از لحاظ قانونی مورد بررسی قرار گیرد. در صورتیکه بررسی ها برای مرجع قضایی صورت گیرد، توجه به اسناد و مدارک مناسب، قابل پیگیری بودن نمونه ها ، کالیبراسیون و آنالیز می تواند بسیار مهم باشد.

### **۱-۳-۹ جنبه اجتماعی**

جنبه سیاسی و اجتماعی بررسی مناطق *HWS* بسیار مهم است. باید بررسی شود که آیا افراد محلی، اشخاص خاص یا صنایع با حضور افراد در محل موافق هستند یا خیر؟ آیا گزارش کار لازم است یا خیر؟ آیا فرد خاصی برای پاسخگویی لازم است یا خیر؟ آیا افراد و اشخاص مختلف می‌توانند در ارتباط با فعالیتهای سایت باشند یا خیر؟

### **۱-۳-۱۰ جنبه اقتصادی**

در بعضی از موارد به علت پیچیدگیهای منطقه *HWS* و شرایط پیش‌بینی نشده، نمی‌توان امکانات و بودجه مورد نظر را به طور دقیق تعیین کرد، بنابراین بودجه و امکانات باید قابل تغییر باشد.

### **۱-۴ روش مقاومت ویژه**

روش مقاومت ویژه برای اهدافی مانند مسائل هیدرولوژیکی، اکتشاف معدن، بررسی‌های ژئوتکنیکی و به تازگی در مسائل محیط زیست نیز بکار گرفته می‌شود [مونی، ۱۹۸۰]. با استفاده از روش مقاومت-ویژه می‌توان لایه‌های زیر سطح زمین را تعیین کرد [لوك، ۲۰۰۰]. همچنین از این روش بررسی و مطالعه سیستم‌های هیدروژئولوژی و شناسایی زونهای آلوده و زباله‌های مدفون استفاده می‌شود.

### **۱-۵ ارتباط بین زمین‌شناسی و مقاومت ویژه**

ابتدا قبل از بحث در مورد برداشت‌های مقاومت ویژه یک بعدی و دو بعدی، به مقادیر مقاومت ویژه سنگها، خاکها و دیگر کانی‌های معمول می‌پردازیم. برداشت‌های مقاومت ویژه تصویری از توزیع مقاومت ویژه زیر سطح زمین را می‌دهند. برای برگردان تصویر مقاومت ویژه به تصویر زمین‌شناسی به برخی اطلاعات در مورد مقادیر مقاومت ویژه انواع مختلف کانی‌های زیر سطحی و زمین‌شناسی منطقه برداشت شده نیاز است.

### **۱-۶ رسانندگی الکتریکی سنگها**

هدایت الکتریکی سنگ‌ها بیشتر به جنس کانی‌های تشکیل دهنده آنها بستگی دارد. مقاومت الکتریکی اغلب کانی‌ها زیاد است. مقاومت الکتریکی با درجه تراکم سنگ افزایش می‌یابد، و وجود خلل و فرج موجود در سنگ‌ها سبب تغییر در مقاومت ویژه الکتریکی آنها می‌باشد.

به طور کلی عواملی که در هدایت الکتریکی سنگ‌ها موثرند عبارتند از:

۱. وضع قرار گرفتن خلل و فرج سنگ و چگونگی ارتباط آنها با یکدیگر
۲. حجم خلل و فرج مورد در سنگ و میزان شکستگی‌ها
۳. قابلیت هدایت الکتریکی آب موجود در سنگ
۴. حجمی از خلل و فرج سنگ که حاوی آب باشد
۵. جنس کانی‌های تشکیل دهنده سنگ

بنابراین مقادیر مقاومت ویژه الکتریکی یک لایه به وضعیت زمین‌شناسی منطقه مورد مطالعه بستگی دارد. به عبارت دیگر تفکیک لایه‌ها بر حسب جنس آنها از نظر زمین‌شناسی تنها با به دست آوردن مقاومت ویژه الکتریکی آنها میسر نمی‌باشد و در هر منطقه باقیتی مقاومت ویژه تشکیلات زمین‌شناسی موجود در آن منطقه بطور جداگانه تعیین شود.

جريان الکتریکی به سه طریق ممکن است در سنگها و کانیها منتشر شود:

۱. رسانش الکترونی (اهمی)
۲. رسانش الکتروولیتی
۳. رسانش دی الکتریکی

مورد اول نوع معمول عبور جريان از مواد دارای الکترونهاي آزاد مانند فلزات است. در الکتروولیتها جريان را يونها با آهنگ آرام برقرار می‌كنند. رسانش دی الکتریک در رساناهای ضعیف یا رساناهایی که تعداد بسیار محدودی الکترون آزاد دارند یا اصلاً ندارند انجام می‌پذیرد [تلفوردد ۱۳۷۵].

بیشتر سنگها رساناهای الکتروولیتی هستند. سنگهایی که متخلخل نیستند ویا در صورت وجود تخلخل درز و شکافهای آن، با سیالهایی همچون آب پر نشده‌اند، مقاومت ویژه بسیار بالایی دارند. در اینجا انتشار جريان، توسط رسانش یونی صورت می‌گیرد. بنابراین مقاومت ویژه با تحرک، تراکم و درجه جدایی<sup>۱</sup> یونها تغییر می‌کند، که عامل اخیر به ثابت دی الکتریک حلال بستگی دارد.

رسانندگی یک سنگ متخلخل با حجم، آرایش خلل و فرج و حتی به مقدار زیادتری با میزان آب

<sup>۱</sup> Dissociation

جدول ۱-۲: تغییر مقاومت ویژه با محتوای آب [تلفورد ۱۳۷۵]

$\rho(\Omega m)$	درصد آب(%)	سنگ	$\rho(\Omega m)$	درصد آب(%)	سنگ
$4.4 \times 10^3$	0.31	گرانیت	$1.5 \times 10^4$	0.54	<sup>۱۲</sup> سیلستون
$1.8 \times 10^6$	0.19	گرانیت	$8.4 \times 10^6$	0.44	سیلستون
$1.3 \times 10^8$	0.06	گرانیت	$5.6 \times 10^8$	0.38	سیلستون
$10^{10}$	0.00	گرانیت	$9.6 \times 10^5$	0.39	ماسه سنگ دانه درشت
$4 \times 10^4$	0.95	بازالت	$10^8$	0.18	ماسه سنگ دانه درشت
$9 \times 10^5$	0.49	بازالت	$4.2 \times 10^3$	1.00	ماسه سنگ دانه متوسط
$3 \times 10^7$	0.26	بازلت	$3.2 \times 10^6$	1.67	ماسه سنگ دانه متوسط
$1.3 \times 10^8$	0.00	بازلت	$1.4 \times 10^8$	0.10	ماسه سنگ دانه متوسط
			$5.3 \times 10^3$	2.00	دولومیت
			$6 \times 10^3$	1.30	دولومیت
			$8 \times 10^3$	0.96	دولومیت

مقادیر مقاومت ویژه چندین آلینده صنعتی نیز در جدول ۳-۱ ارائه شده است. عناصری از قبیل آهن، مقادیر مقاومت ویژه خیلی پایینی دارند. ترکیبات شیمیایی که الکتروولیت قوی تشکیل می‌دهند از قبیل کلرید پتاسیم و کلرید سدیم می‌توانند مقاومت ویژه آبهای زیرزمینی را تا  $zir - m - ohm$  ۱ حتی با تمرکز نسبتاً کم‌شان کاهش دهند. در عوض اثر الکتروولیتهای ضعیف از قبیل اسید استیک در مقایسه کمتر است. هیدروکربنها از قبیل اگزلن<sup>۱۲</sup> نوعاً مقادیر مقاومت ویژه بالایی دارند. محدوده تغییرات مقاومت ویژه در مقایسه با دیگر کمیتهای فیزیکی از دیگر روش‌های ژئوفیزیکی به مراتب بزرگتر است. مقاومت ویژه سنگها و خاکها در یک منطقه برداشت می‌تواند تا چندین برابر، تغییرات داشته باشد. در مقایسه مقادیر چگالی استفاده شده در برداشتهای گرانی-سنگی معمولاً در ضریبی کمتر از ۲ تغییر می‌کند و سرعت امواج لرزه‌ای معمولاً بیش از ۱۰ برابر تغییر نمی‌کند.

<sup>۱۲</sup> Siltstone

<sup>۱۳</sup> Xylene

جدول ۱-۳: مقاومت ویژه برخی سنگها، کانیها و عناصر شیمیایی معمول [پاتر-۱۳۸۲].

عناصر	مقاطومت ویژه ( $\Omega m$ )	رسانندگی ( $Siemen/m$ )
سنگهای آدرین و دگرگونی		
گرافیت	$5 \times 10^3 - 10^6$	$10^{-6} - 2 \times 10^{-4}$
بازالت	$10^3 - 10^6$	$10^{-6} - 10^{-3}$
سلیت	$6 \times 10^2 - 4 \times 10^7$	$2.5 \times 10^{-8} - 1.7 \times 10^{-3}$
ماربل	$10^2 - 2.5 \times 10^8$	$4 \times 10^{-9} - 10^{-2}$
کوارتزیت	$10^2 - 2 \times 10^8$	$5 \times 10^{-9} - 10^{-2}$
سنگهای رسوبی		
ماسه سنگ	$8 - 4 \times 10^3$	$2.5 \times 10^{-4} - 0.125$
شیل	$20 - 2 \times 10^3$	$5 \times 10^{-4} - 0.05$
سنگ آهک	$50 - 4 \times 10^2$	$2.5 \times 10^{-3} - 0.02$
خاکها و آبهای		
خاک رس	$1 - 100$	$0.01 - 1$
آبرفت	$10 - 800$	$1.25 \times 10^{-3} - 0.1$
آب قابل شرب	$10 - 100$	$0.01 - 0.1$
آب دریا	0.2	5
عناصر شیمیایی		
آهن	$9.074 \times 10^{-8}$	$1.102 \times 10^7$
کلرید پتاسیم	0.708	1.413
کلرید سدیم	0.843	1.185
اسید استیک	6.13	0.163
اگزولین	$6.998 \times 10^{16}$	$1.429 \times 10^{-17}$

## ۷-۱ انتشار جریان در زمین همگن

انتشار جریان در حالت معمولی بر اساس بقاء بار الکتریکی و به وسیله رابطه زیر پایه گذاری شده

است:

$$\vec{\nabla} \cdot \vec{J} = -\frac{\partial \rho'}{\partial t} \quad (2-1)$$

که در آن،  $\vec{J}$  چگالی جریان ( $A/m^2$ ) و  $\rho'$  چگالی بار ( $C/m^3$ ) است. رابطه (۲-۱) همچنین به عنوان معادله پیوستگی شناخته می شود. برای جریان پایا معادله (۲-۱) به معادله (۳-۱) تبدیل می گردد، یعنی:

$$\vec{\nabla} \cdot \vec{J} = 0 \quad (3-1)$$

اگر  $\rho$  مقاومت ویژه ( $ohm-m$ ) و  $\vec{J}$  چگالی جریان باشد. این دو پارامتر توسط رابطه (۴-۱) به

شدت میدان الکتریکی  $E(V/m)$  مربوط می‌شوند که به وسیله قانون اهم به صورت زیر بیان می‌شود:

$$\vec{J} = \frac{\vec{E}}{\rho} = -\frac{\vec{\nabla}V}{\rho} \quad (4-1)$$

که  $V$  پتانسیل می‌باشد.

برای محیط ایزوتropیک (همسانگرد)،  $\rho$  یک تابع اسکالر و  $J$  و  $E$  دو بردار هم جهت هستند. در محیط آنیزوتropیک (ناهمسانگرد) در حالت کلی  $J$  و  $E$  هم جهت نیستند. در محیط آنیزوتropیک قانون اهم در شرایط رسانندگی با یک تانسور ۶ مؤلفه‌ای متناسب است. برای یک محیط ایزوتropیک از معادله (۳-۱) و (۴-۱) داریم:

$$\vec{\nabla} \cdot \left[ \frac{1}{\rho} \vec{\nabla} V \right] = 0 \quad (5-1)$$

$$\vec{\nabla} \left[ \frac{1}{\rho} \right] \times \vec{\nabla} V + \frac{1}{\rho} \vec{\nabla} \cdot (\vec{\nabla} V) = 0 \quad (6-1)$$

این یک معادله اساسی برای بررسی وضعیت انتشار جریان مستقیم می‌باشد. که در یک زمین همگن با مقاومت ویژه  $\rho$  مستقل از جهت مختصات بوده و از این رو:

$$\nabla^2 V = 0 \quad (7-1)$$

معادله (۷-۱) به معادله لاپلاس معروف است.

قبل از پرداختن به شرح انتشار جریان در زمین، معادله لاپلاس در مختصات قطبی و استوانه‌ای می‌مورد بررسی قرار می‌گیرد.

در حالت کلی معادله لاپلاس، در مختصات دکارتی، استوانه‌ای و کروی به صورت زیر می‌باشد:

$$\nabla^2 V = \frac{1}{h_1 h_2 h_3} \left[ \frac{\partial}{\partial u_1} \left( \frac{h_2 h_3}{h_1} \frac{\partial V}{\partial u} \right) + \frac{\partial}{\partial u_2} \left( \frac{h_1 h_3}{h_2} \frac{\partial V}{\partial u} \right) + \frac{\partial}{\partial u_3} \left( \frac{h_1 h_2}{h_3} \frac{\partial V}{\partial u} \right) \right] = 0 \quad (8-1)$$

مقادیر پارامترها در دستگاههای مختلف فرق می‌کند.

در دستگاه دکارتی داریم:

$$u_1 = x, u_2 = y, u_3 = z$$

$$h_1 = 1, h_2 = 1, h_3 = 1$$

در مختصات استوانه ای داریم:

$$u_1 = r, u_2 = \varphi, u_3 = z$$

$$h_1 = 1, h_2 = r, h_3 = 1$$

در مختصات قطبی پرامترها به صورت زیر خواهند بود:

$$u_1 = r, u_2 = \theta, u_3 = \varphi$$

$$h_1 = 1, h_2 = r, h_3 = r \sin \theta$$

در دستگاه مختصات استوانه ای معادله قبل به شکل زیر درمی آید:

$$\nabla^2 V = \frac{1}{r} \left[ \frac{\partial}{\partial r} \left( r \frac{\partial V}{\partial r} \right) + \frac{\partial}{\partial \varphi} \left( \frac{1}{r} \frac{\partial V}{\partial \varphi} \right) + \frac{\partial}{\partial z} \left( r \frac{\partial V}{\partial z} \right) \right] = 0$$

یا

$$\frac{1}{r} \frac{\partial}{\partial r} \left( r \frac{\partial V}{\partial r} \right) + \frac{\partial}{\partial} \left( \frac{1}{r^2} \frac{\partial^2 V}{\partial \varphi^2} \right) + \frac{\partial^2 V}{\partial z^2} = 0 \quad (9-1)$$

و در مختصات کروی معادله (8-1) به شکل زیر درمی آید:

$$\nabla^2 V = \frac{1}{r^2} \left[ \frac{\partial}{\partial r} \left( r \frac{\partial V}{\partial r} \right) + \frac{1}{\sin \theta} \frac{\partial}{\partial \theta} \left( \sin \theta \frac{\partial V}{\partial \theta} \right) + \frac{1}{\sin^2 \theta} \frac{\partial^2 V}{\partial \varphi^2} \right] = 0 \quad (10-1)$$

معادلات (9-1) و (10-1) در سونداز زنی و پروفیل زنی مقاومت ویژه برای به دست آوردن اطلاعاتی

از زیر سطح زمین خیلی مهم هستند [پاترا ۱۹۹۹].

با توجه به ضرورت ارزیابی توزیع پتانسیل در لایه های زمین ابتدا باید پتانسیل نرمال در سطح زمین نسبت به منشاء جریان محاسبه شود. در مختصات کروی با توجه به متقارن بودن نسبت به جهت  $\varphi$  و  $\theta$  معادله (7-1) به صورت زیر تبدیل می شود:

$$\frac{\partial}{\partial r} \left( r^2 \frac{\partial V}{\partial r} \right) = 0 \quad (11-1)$$

با انتگرالگیری داریم:

$$V = C_1 + \frac{C_2}{r} \quad (12-1)$$

به لحاظ اینکه پتانسیل به دست آمده در فاصله بی نهایت از منبع صفر است بنابراین ثابت انتگرال  $C_1 = 0$  می شود. واضح است که سطوح هم پتانسیل کروی است و خطوط میدان الکتریکی به مانند خطوط جریان شعاعی می باشد. چگالی جریان در فاصله  $r$  را می توان به صورت زیر نوشت:

$$J = -\frac{1}{\rho} \frac{\partial V}{\partial r} = \frac{1}{\rho} \frac{C_2}{r^2} \quad (13-1)$$

بنابراین شارش کل جریان از یک سطح کروی به شعاع  $r$  برابر است با:

$$4\pi r^2 J = \frac{4\pi}{\rho} C_2 \quad (14-1)$$

چون  $4\pi r^2 J$  برابر با کل جریان وارد شده در نقطه  $P$  است ثابت  $C_2$  با  $\frac{I\rho}{4\pi}$  برابر می شود. در نتیجه برای حالت نیم فضا، وقتی جریان را به زمین همگن تزریق می کنیم شارش کل جریان از یک سطح نیم کره به شعاع  $r$  خارج می شود یعنی  $4\pi r^2 = \frac{2\pi}{\rho} C_2$  که در نتیجه ثابت  $C_2$  برابر با  $\frac{I\rho}{2\pi}$  می شود.

بنابراین پتانسیل در هر نقطه از منشا جریان در زمین همگن برابر است با:

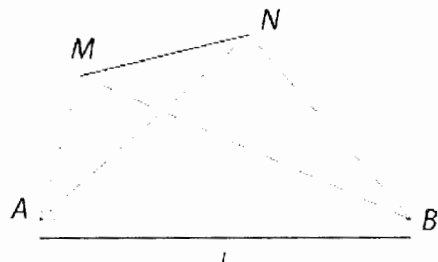
$$V = \frac{I\rho}{2\pi} \frac{1}{r} \quad (15-1)$$

## ۱-۸ اندازه گیری مقاومت ویژه

با در نظر گرفتن یک جریان مستقیم به شدت  $I$  که توسط دو الکترود نقطه ای  $A$  و  $B$  مطبق شکل (۳-۱) به زمین همگن و ایزوتrop وارد می شود. اختلاف پتانسیل بین دو نقطه  $M$  و  $N$  روی سطح، با

استفاده از رابطه (۱۵-۱) به صورت زیر به دست می آید:

$$V = \frac{I\rho}{2\pi} \left[ \left( \frac{1}{AM} - \frac{1}{BM} \right) - \left( \frac{1}{AN} - \frac{1}{BN} \right) \right] \quad (16-1)$$



شکل ۳-۱: الکترودهای نقطه‌ای A و B، الکترودهای جریان بوده و الکترودهای M و N الکترودهای پتانسیل می باشند.

در رابطه (۱۶-۱)، مقاومت ویژه زمین است، بنابراین مقاومت ویژه زمین همگن با اندازه گیری مقدار پتانسیل حاصل از جریان تزریقی روی سطح قابل محاسبه است.

آرایش‌های الکترودی مختلفی از ترتیب (A,B,M,N) برای اهداف مختلف پیشنهاد شده است. آرایش‌هایی که عموماً برای سونداز زمین مقاومت ویژه بکار می‌روند شامل آرایش متقارن و آرایش دوقطبی می‌باشند.

بنابراین در آرایش شولومبرژه مطابق شکل (۱۴-۱) :

$$\Delta V = \frac{I\rho}{2\pi} \left( \frac{4}{L-l} - \frac{4}{L+l} \right) \quad (17-1)$$

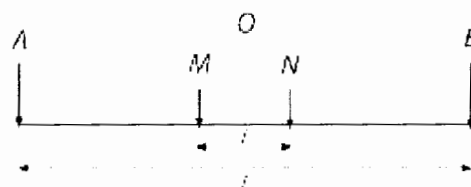
که در نتیجه :

$$\rho = \frac{\pi}{4} \frac{(L^2 - l^2)}{l} \frac{\Delta V}{I} \quad (18-1)$$

اگر  $L > 5l$  باشد می‌توان با یک خطای کمتر از ۴٪ به جای  $(L^2 - l^2)$  قرار داد. این یک امر شناخته شده در آرایه شولومبرژه است. در این حالت مقاومت ویژه به صورت زیر حاصل می‌گردد:

$$\rho = \frac{\pi L^2}{4} \frac{\Delta V}{l} \frac{1}{I} = \frac{\pi L^2}{4} \frac{E}{I} \quad (19-1)$$

که  $E = \frac{\Delta V}{l}$  تقریباً برابر شدت میدان الکتریکی در مرکز نقطه  $O$  است. بعضی اوقات آرایه شولومبرژ به عنوان گرادیانی شناخته می‌شود.



شکل ۱-۴: آرایه متقاض شولومبرژ

### ۱-۹ روش‌های تفسیر

داده‌های حاصل از سونداز مقاومت ویژه را می‌توان به دو روش تفسیر کرد:

۱. منحنی‌های کمکی<sup>۱۴</sup>

۲. مدلسازی رایانه‌ای (عددی)

### ۱-۱۰ منحنی‌های کمکی

تئوری و روش نقاط کمکی از تفسیر سونداز شولومبرژ، با کمک منحنی‌های استاندارد دو لایه ای و نقشه‌های ابرت در سال ۱۹۶۸ توسط بتچریا و پتر ارائه شد. به نتایج این قبیل تفسیرها، تفسیر ابتدایی<sup>۱۵</sup> گفته می‌شود، که این تفسیر ابتدایی یک تفسیر نسبتاً صحیح از پارامترهای لایه‌های زیرین را می‌دهد و چگونگی مطلوب بودن نتیجه با کنترل زمین‌شناسی مناسب مورد بررسی قرار می‌گیرد. لکن این روش، روش ترسیمی-تحلیلی برای تفسیر ابتدایی سوندازهای الکتریکی بوده و ذاتاً همراه با خطا است و مقادیر پارامترهای ژئوالکتریک به دست آمده از این طریق بطور کامل قابل اعتماد نیست. بنابراین برای ارزیابی داده‌ها یک معیار یا درجه‌ای برای سنجش میزان خطا لازم است. برای این منظور یعنی بررسی اعتبار نتایج تفسیر اولیه، این نتایج به عنوان ورودی به کامپیوتر داده شده و منحنی‌های سونداز ساختگی (مصنوعی) به دست آورده می‌شود. مقایسه ای بین این دو منحنی (صحرایی و مصنوعی) انجام شده و تفسیر نهایی از طریق آزمون و خطا، در صورت ضرورت، صورت می‌گیرد.

<sup>14</sup> Master curve

<sup>15</sup> Preliminary interpretation

## ۱۱-۱ مدلسازی رایانه‌ای (عددی)

مدلسازی عددی به دو دسته مدلسازی مستقیم<sup>۱۶</sup> یا پیشرو و مدلسازی معکوس<sup>۱۷</sup> تقسیم می‌شود. برای تعریف و مقایسه این دو روش می‌توان به پدیده تغییر درجه حرارت بر حسب عمق در زیر سطح زمین اشاره کرد. اگر تغییرات درجه حرارت نسبت به عمق را خطی در نظر بگیریم، می‌توان رابطه درجه حرارت  $T$  به عمق را بصورت  $T(z) = az + b$  تعریف کرد. که  $a$  و  $b$  ثابت‌های عددی هستند. در صورتیکه  $a=0.1$  و  $b=25$  در نظر گرفته شود. فرایند پیشرو درجه حرارت را با اختصاص عمق مورد نظر به راحتی به دست می‌آورد. مسئله معکوس سازی به تعیین مقادیر  $a$  و  $b$  بر اساس اندازه‌گیریهای به دست آمده درجه حرارت در اعماق مختلف می‌پردازد [Menke, 1984].

بطور کلی می‌توان مفاهیم پیشرو و معکوس را به صورت زیر تعریف کرد:

در مدلسازی پیشرو:

$d$  داده‌ها  $\rightarrow \{M\}$  پارامترهای مدل

$$d = A_s(m) \quad (20-1)$$

که  $A_s$  تابع عملگر فرایند پیشرو است، که به منبع  $s$  وابسته است.

در مدلسازی معکوس :

$\{M\}$  پارامترهای مدل  $\rightarrow \{s\}$  منابع

$$m = A_s^{-1}(d) \quad (21-1)$$

$\{s\}$  منابع،  $M$  پارامترهای مدل  $\rightarrow \{d\}$  داده‌ها

یا

$$(m, s) = A^{-1}(d) \quad (22-1)$$

که  $A^{-1}$  و  $A_s^{-1}$  توابع عملگر فرایند مدلسازی معکوس هستند.

در صورتیکه معادله (۲۲-۱) برای میدانهای الکترومغناطیس و صوتی بکار رود، معمولاً تحت نام

<sup>16</sup> Forward modeling

<sup>17</sup> Inverse modeling

مسئله پراکندگی معکوس<sup>۱۸</sup> مطرح می شود.

در بعضی از کاربردهای رئوفیزیکی، مسئله معکوس سازی به گونه ای فرمول سازی می شود که در آن توجه تنها به منبع تولید میدان است. [Zhdanov-2002] یعنی:

$$\{s \text{ منابع}\} \xrightarrow{\text{مدل}} \{d \text{ داده ها}\}$$

$$s = A^{-1}d \quad (23-1)$$

معادله (23-1) به نام مسئله معکوس سازی منبع<sup>۱۹</sup> نامیده می شود. در این حالت فرض بر این است که پارامترهای مدل (خصوصیات فیزیکی) شناخته شده اند. به عنوان مثالهایی برای این قبیل مسائل می توان به مسئله معکوس سازی گرانشی<sup>۲۰</sup> و مسئله معکوس سازی زلزله<sup>۲۱</sup> اشاره کرد. [Zhdanov-2002]

در تمام مسائل معکوس سازی سه پرسش مهم مطرح است:

۱. آیا مسئله معکوس سازی به جواب می رسد؟

۲. آیا جواب به دست آمده یکتا است؟

۳. آیا این جواب پایدار می باشد یا خیر؟

در فرایند پیشرو با فرض پارامترهای مدل، پاسخ مدل را تولید کرده و با داده های اندازه گیری شده مقایسه می شود و پس از تعیین مقدار خطأ، تعدیل و اصلاح مدل بهترین برازش با داده های اندازه گیری شده را مدل نهایی در نظر می گیرند.

در مدلسازی معکوس، با استفاده از داده های صحرایی و تبدیل آن به پارامترهای مدل، مدل اولیه را تولید کرده و با استفاده از روش پیشرو پاسخ مدل را به دست آورده و با داده های صحرایی مقایسه می کنند. و در نهایت با توجه به زمین شناسی منطقه مدلی را که بهترین برازش با داده های صحرایی دارد به عنوان مدل نهایی در نظر می گیرند. باید به این نکته توجه داشت که در روش معکوس سازی مدلهای زیادی را می توان از داده های صحرایی به دست آورد که با توجه به زمین شناسی منطقه می توان پاسخهای به دست آمده را محدود کرد، تا به مدل مطلوب دست پیدا کنیم.

<sup>18</sup> Inverse scattering problem

<sup>19</sup> Inverse source problem

<sup>20</sup> Inverse gravity problem

<sup>21</sup> Inverse seismological problem

## ۱-۱۱-۱ اصول مدلسازی معکوس

در معکوس سازی ژئوفیزیکی، به دنبال مدلی هستیم که جواب آن بیشترین شباهت را با داده های اندازه گیری شده داشته باشد. پارامترهای مدل همان کمیتهای فیزیکی هستند که از داده های اندازه گیری شده به دست می آید. پاسخ مدل مرکب از اطلاعاتی است که توسط روابط ریاضی تعریف شده برای مجموعه ای از پارامترهای مدل محاسبه می شود.

در تمام مدلهای بهینه سازی، مدل اولیه بر اساس رفتار تعاملی اصلاح می گردد، تا اختلاف بین پاسخ مدل و داده های برداشت شده به حداقل برسد. مجموعه داده های مشاهده ای توسط یک بردار ستونی تعریف می شود:

$$\vec{y} = \begin{bmatrix} y_1 \\ y_2 \\ \vdots \\ y_m \end{bmatrix} \quad (24-1)$$

که در آن  $m$  تعداد اندازه گیریها است.

پاسخ مدل بصورت زیر نمایش داده می شود:

$$\vec{f} = \begin{bmatrix} f_1 \\ f_2 \\ \vdots \\ f_m \end{bmatrix} \quad (25-1)$$

برای مسائل مقاومت ویژه، استفاده از داده های لگاریتمی مقاومت ویژه ظاهری برای داده های مشاهده ای و پاسخ مدل مرسوم است.

پارامترهای مدل بصورت بردار ستونی  $q$  نمایش داده می شود:

$$\vec{q} = \begin{bmatrix} q_1 \\ q_2 \\ \vdots \\ q_m \end{bmatrix} \quad (26-1)$$

که در آن  $n$  تعداد پارامترهای مدل است.

اختلاف بین داده های مشاهده ای و پاسخ مدل توسط بردار  $\vec{g}$  تعریف می شود:

$$\vec{g} = \vec{y} - \vec{f} \quad (27-1)$$

در روش حداقل مربعات، مدل اولیه به گونه ای اصلاح می شود که جمع مربع خطاهای  $e$  ناشی از اختلاف پاسخ مدل و داده های مشاهده ای به حداقل برسد:

$$e = \vec{g}^T \vec{g} = \sum_{i=1}^n g_i^2 \quad (28-1)$$

برای کاهش حداقل مربعات، مدل گاوس-نیوتون<sup>22</sup> برای پارامترهای مدل که منجر به کاهش مقدار حداقل مربعات می شود، مورد استفاده قرار می گیرد:

$$\vec{J}^T \vec{J} \Delta q_i = \vec{J}^T \vec{g} \quad (29-1)$$

که در آن  $\Delta q$  پارامترهای مدل،  $\vec{J}$  ماتریس ژاکوبین ( $m \times n$ ) از مشتقهای جزئی است. عناصر ماتریس ژاکوبین به صورت زیر به دست می آید:

$$J_{ij} = \frac{\partial f_i}{\partial q_j} \quad (30-1)$$

که تغییر در  $i$  امین پاسخ مدل در اثر تغییر  $j$  امین پارامتر مدل است. بعد از محاسبه تغییر بردار پارامترها، مدل جدید به دست می آید:

<sup>22</sup> Guass-newton

$$\vec{q}_{k+1} = \vec{q}_k + \Delta \vec{q}_k \quad (31-1)$$

در عمل، معادله حداقل مربعات به ندرت در معکوس سازی ژئوفیزیکی کاربرد دارد. در بعضی مواقع دترمینان ضرب ماتریس  $\bar{J}^T \bar{J} = 0$  و یا به عبارتی ضرب ماتریس  $\bar{J}^T \bar{J}$ ، یکه<sup>۲۳</sup> می شود. بنابراین معادله حداقل مربعات، پاسخی برای  $\Delta q$  ندارد. مسئله بعدی این است که ضرب دترمینان ماتریس  $\bar{J}^T \bar{J}$  ممکن است نزدیک به صفر باشد که دلیل آن ضعف مدل اولیه است که اختلاف زیادی با مدل بهینه دارد. یک روش معمول برای اجتناب از مشکل اصلاح مارکوارت - لونبرگ<sup>۲۴</sup> برای معادله گاوس - نیوتن است:

$$(\bar{J}^T \bar{J} + \lambda \bar{I}) \Delta \vec{q}_k = \bar{J}^T \vec{g} \quad (32-1)$$

که  $I$  ماتریس یکه است. فاکتور  $\lambda$  به عنوان فاکتور تعديل یا مارکوارت نامیده می شود و این روش بنام روش ریگرسیون - ریج شناخته می شود. فاکتور تعديل، بازه مقدار مؤلفه های بردار تغییر پارامتر یعنی  $\Delta q$  را به طور مؤثری مقید می کند. در معادله (۲۹-۱) روش گاوس - نیوتن تنها جمع مربعات را به حداقل می رساند، در حالیکه روش اصلاحی مارکوارت - لونبرگ می تواند ترکیبی از مقدار اختلاف بردار و تغییر پارامتر بردار را به حداقل برساند. این روش برای معکوس سازی داده های سونداز مقاومت ویژه الکتریکی با تعداد لایه های کم موثر است. در صورتیکه تعداد پارامترهای مدل مانند مدلسازی معکوس دو بعدی و سه بعدی، زیاد باشد سبب می شود تا دارای توزیع غیرعادی مقاومت ویژه، یا مناطق کاذب با مقاومت ویژه بالا یا پایین باشد. برای حل این مسئله، معادله کمترین مربعات گاوس - نیوتن با قید هموار بودن پارامترهای مدل برای به حداقل رساندن تغییر پارامترهای مدل بکار گرفته می شود، این روش حداقل مربعات هموار و محدود، به صورت زیر می باشد: [لوک ۲۰۰۰]

$$(\bar{J}^T \bar{J} + \lambda \bar{F}) \Delta \vec{q}_k = \bar{J}^T \vec{g} - \lambda \bar{F} \vec{q}_k \quad (33-1)$$

که

<sup>23</sup> Singular

<sup>24</sup> Marquardt – Levenberg

$$\vec{F} = \alpha_x \vec{C}_x^T \vec{C}_x + \alpha_y \vec{C}_y^T \vec{C}_y + \alpha_z \vec{C}_z^T \vec{C}_z \quad (34-1)$$

که  $\vec{C}_x$  و  $\vec{C}_y$  و  $\vec{C}_z$  ماتریس‌های هموار در جهت‌های  $x, y$  و  $z$  هستند.  $\alpha_x, \alpha_y$  و  $\alpha_z$  نسبت‌های وزنی برای فیلترهای هموار سازی در جهت محورهای مختصات است. یکی از ماتریس‌های هموار معمول ماتریس تفاضل مرتبه اول است، که در زیر آورده شده است:

$$\vec{C} = \begin{bmatrix} -1 & 1 & 0 & 0 & .. & .. & .. & 0 \\ 0 & -1 & 1 & 0 & .. & .. & .. & 0 \\ 0 & 0 & -1 & 1 & 0 & .. & .. & 0 \\ .. & .. & .. & .. & .. & .. & .. & 0 \\ .. & .. & .. & .. & .. & .. & .. & 0 \\ .. & .. & .. & .. & .. & .. & .. & 0 \end{bmatrix} \quad (35-1)$$

معادله (33-1) سعی دارد که مربع تغییرات فضایی یا ناهمواری داده‌های مقاومت ویژه مدل را به حداقل برساند. این روش زمانی قابل قبول است که مقاومت ویژه زیر سطحی به آرامی تغییر کند. در بعضی موارد، زمین شناسی زیر سطحی شامل مناطقی همگن با مرزهای تیز می‌باشد. برای چنین مواردی، فرمول معکوس سازی در (33-1) می‌تواند اصلاح شود، تا تغییرات مطلق در مقادیر مقاومت ویژه را به حداقل برساند (کلربات و میور<sup>25</sup>). این روش را روش مدل‌سازی معکوس می‌نامند. تکنیکهای دیگری برای اصلاح این روش وجود دارد، یکی از روش‌های ساده روش وزن دهنده حداقل مربعات است. و در نتیجه معادله (33-1) به فرم زیر در می‌آید:

$$(\vec{J}^T \vec{J} + \lambda \vec{F}_R) \Delta \vec{q}_k = \vec{J}^T R_d \vec{g} - \lambda \vec{F}_R \vec{q}_k \quad (36-1)$$

بطوریکه :

$$\vec{F}_R = \alpha_x \vec{C}_x^T R_m \vec{C}_x + \alpha_y \vec{C}_y^T R_m \vec{C}_y + \alpha_z \vec{C}_z^T R_m \vec{C}_z \quad (37-1)$$

که در روابط (36-1) و (37-1) ماتریس‌های وزن دهنده هستند.

<sup>25</sup> Claerbout & Muir

معادله (۳۶-۱) رابطه‌ای کلی است، که اگر اطلاعات زمین‌شناسی و غیره در اختیار باشد قابلیت اصلاح و تغییرات بیشتر را نیز دارد.

### ۱۲-۱ حرکت آبهای زیرزمینی

معادله مشتقات جزئی حاکم بر حرکت آب زیرزمینی در یک فضای سه بعدی به شکل زیر می‌باشد [دولتی و همکاران ۱۳۸۴]

$$\frac{\partial}{\partial x} \left( K_{xx} \frac{\partial h}{\partial x} \right) + \frac{\partial}{\partial y} \left( K_{yy} \frac{\partial h}{\partial y} \right) + \frac{\partial}{\partial z} \left( K_{zz} \frac{\partial h}{\partial z} \right) + W = S_s \frac{\partial h}{\partial t} \quad (38-1)$$

که در آن  $K_{xx}$ ،  $K_{yy}$  و  $K_{zz}$  مقادیر هدایت هیدرولیکی در جهت‌های  $x$ ،  $y$  و  $z$  می‌باشد. که معمولاً موازی با محورهای مختصات در نظر گرفته می‌شود  $[L/T]$ .

$h$ : هد هیدرولیکی  $[L]$

$W$ : مقدار آب ذخیره شده یا برداشت شده می‌باشد. در صورتیکه  $W > 0$  باشد، جریان به خارج از سیستم آب زیرزمینی می‌باشد و اگر  $W < 0$  باشد جریان به داخل سیستم می‌باشد  $[T^L]$ .  
 $S_s$ : ضریب ذخیره آبخوان می‌باشد  $[L^{-1}]$ .  
 $t$ : متغیر زمانی است  $[T]$ .

در صورتیکه این معادله با شرایط مرزی و اولیه ترکیب شود می‌تواند حرکت آب زیرزمینی را در سه بعد نشان دهد، با این فرض که هدایت هیدرولیکی در راستای محورهای مختصات باشد.  
برای حل این معادله می‌توان از روش‌های تفاضل محدود، اجزاء محدود و المان حجمی محدود استفاده کرد.

### ۱۳-۱ حرکت آلودگی در سیستم جریان آبهای زیرزمینی

زمانی که یک آلینده به آبهای زیرزمینی وارد می‌گردد این آلینده تحت تاثیر عوامل زیر در آبهای زیرزمینی حرکت می‌کند:

- انتقال همراه جریان که در نتیجه جریان آب ایجاد می‌گردد. این پدیده انتقال آلودگی را

پهنه‌فت<sup>۲۶</sup> می‌نامند.

- پراکندگی<sup>۲۷</sup> که در اثر پراکندگی مکانیکی و پخش مولکولی ایجاد می‌شود.
- تاخیر<sup>۲۸</sup> که در اثر فرایند جذب ایجاد می‌شود.
- تجزیه و کاهش در اثر واکنش‌ها<sup>۲۹</sup>

#### ۱۴-۱ انتقال همراه با جریان

حرکت آب باعث انتقال آلودگی موجود در سفره به همراه جریان و با همان سرعت آب می‌گردد این حرکت آب طبق قانون دارسی صورت می‌پذیرد که مطابق با این قانون جهت جریان از هد هیدرولیکی بیشتر به کمتر است.

$$V = -K \frac{\Delta h}{\Delta x} \quad (39-1)$$

در این رابطه  $K$  نشان دهنده ضریب هدایت هیدرولیکی،  $V$  سرعت دارسی و  $\frac{\Delta h}{\Delta X}$  گرادیان هیدرولیکی می‌باشد. میزان ماده آلاینده منتقل شده بر حسب زمان و مکان متغیر است که معادله آن به صورت زیر می‌باشد.

$$\frac{\partial C}{\partial t} = -V \frac{\partial C}{\partial x} \quad (40-1)$$

#### ۱۴-۱ پراکندگی

پراکندگی در اثر دو عامل پخش مولکولی و پرکندگی مکانیکی ایجاد می‌شود. پخش مولکولی فرآیندی است که در آن یونها یا ساختار مولکولی تحت تاثیر فعالیت جنبشی در جهت گرادیان غلظت حرکت می‌نمایند. در چنین شرایطی حرکت اجزاء از نواحی با غلظت بالا به نواحی با غلظت پایین

1-Advection  
2-Dispersion  
3-Retardation  
4-Reaction

صورت می‌گیرد که پدیده پخش مولکولی بوسیله قانون اول فیک<sup>۳</sup> بیان می‌شود:

$$F = -D_f \frac{dc}{dx} \quad (41-1)$$

در این رابطه  $F$  نشان دهنده تغییر جرم بر واحد سطح بر واحد زمان،  $D_f$  ضریب پخش و گرادیان غلظت می‌باشد.

در مواقعي که غلظت تابعی از زمان می‌باشد می‌توان از قانون دوم فیک برای بیان پدیده پخش استفاده نمود:

$$\frac{\partial c}{\partial t} = D_f \frac{\partial^2 c}{\partial x^2} \quad (42-1)$$

روابط (41-1) و (42-1) وقتی مورد استفاده قرار می‌گيرند که محیط حرکت ماده آلاينده تنها آب باشد. زمانی که ماده در محیط متخلخل حرکت می‌کند بدليل اينکه يونها باید مسیر طولانی تری را بین اجزای جامد و به علت پدیده جذب طی نمایند ضریب پخش اصلاح شده طبق رابطه (43-1) محاسبه می‌گردد [مشهدی ۱۳۸۲]:

$$D^* = W \cdot D_f \quad (43-1)$$

در این رابطه  $D^*$  ضریب پخش اصلاح شده،  $W$  (۰ <  $W$ ) ضریب تجربی است که از طریق روش‌های آزمایشگاهی به دست می‌آید.

پراکندگی مکانیکی در نتیجه تغییرات سرعت در محیط متخلخل صورت می‌پذیرد. سرعت در مرکز فضای متخلخل بیشتر از لبه‌ها می‌باشد در نتیجه انتشار و پراکندگی مکانیکی در هر دو جهت طولی و عرضی صورت می‌پذیرد که از روابط زیربه دست می‌آید:

$$D_{11} = a_l \cdot V \quad (44-1)$$

$$D_{22} = a_T \cdot V \quad (45-1)$$

در این روابط  $D_{11}$  و  $D_{22}$  به ترتیب بیانگر مقادیر پراکندگی مکانیکی طولی و عرضی،  $a_l$  و  $a_T$  به ترتیب ضرایب پراکندگی طولی و عرضی و  $V$  میانگین سرعت آب در محیط متخلخل می‌باشد. به دلیل این که پخش مولکولی و پرکندگی مکانیکی را نمی‌توان از یکدیگر جدا ساخت ضرایب پراکندگی هیدرودینامیکی طولی و عرضی،  $(D_L, D_T)$  که از روابط زیر به دست می‌آید در نظر گرفته می‌شود.

$$D_L = D_{11} + D_f = a_l \cdot V + D^* \quad (46-1)$$

$$D_T = D_{22} + D_f = a_T \cdot V + D^* \quad (47-1)$$

در این صورت با در نظر گرفتن اثرات پراکندگی و پهنه‌رفت معادله زیر به دست می‌آید که به معادله پراکندگی پهنه‌رفت<sup>۳۱</sup> معروف است:

$$D_L \frac{\partial^2 C}{\partial x^2} + D_T \frac{\partial^2 C}{\partial y^2} - V \frac{\partial C}{\partial x} = \frac{\partial C}{\partial t} \quad (48-1)$$

## ۲-۱۴-۱ تاخیر

در حین حرکت یک آلاینده در سیستم جریان آب‌های زیرزمینی امکان جذب سطحی<sup>۳۲</sup> مواد جامد آلی و غیر آلی توسط خاک وجود دارد. اثر اصلی این جذب کاهش سرعت حرکت آلودگی بوده که توسط ضریب تاخیر تخمین زده می‌شود. این فاکتور می‌تواند بر پایه ضرایب جذب یا توزیع آلودگی و بر پایه تخلخل متوسط محاسبه شود:

$$R = \left[ 1 + K_d \frac{\rho_b}{n} \right] \quad (49-1)$$

<sup>۳۱</sup> Advection-dispersion equation  
۲-Adsorption

در این رابطه  $K_d$  ضریب توزیع<sup>۳۳</sup>،  $\rho_b$  چگالی خشک خاک و  $R$  عامل تاخیر<sup>۳۴</sup> و  $n$  تخلخل متوسط خاک می‌باشد سرعت حرکت آلودگی در سفره از رابطه زیر به دست می‌آید:

$$V_C = \frac{V}{R} \quad (50-1)$$

این رابطه نشان می‌دهد که اگر مقدار فاکتور تاخیر بالا باشد ضریب جذب نیز بالا بوده و به طور عمده باعث تاخیر در حرکت آلودگی در آب‌های زیرزمینی می‌شود.

### ۳-۱۴-۱ واکنش شیمیایی

نوع و غلظت آلاینده‌های موجود در سفره ممکن است در نتیجه تاثیر واکنش‌های شیمیایی تغییر نماید بدین معنی که ممکن است برخی از مواد از بین رفته و مواد جدیدی بوجود آید. اثر واکنش شیمیایی می‌تواند مطابق رابطه (۵۱-۱) زیر باشد [مشهدی ۱۳۸۲]:

$$R_d = \frac{\rho_b}{n} \frac{\partial \bar{C}}{\partial t} - \lambda(C + \frac{\rho_b}{n} \bar{C}) \quad (51-1)$$

در این رابطه  $\bar{C}$  غلظت آلاینده جذب شده در خلل و فرج و  $\lambda$  عدد ثابت واکنش درجه یک می‌باشد. با در نظر گرفتن فرایندهای فیزیکی (پهنه‌رفت و پراکندگی) و واکنش شیمیایی موثر در انتقال، معادله اساسی حرکت آلاینده در سفره و در حالت سه بعدی به صورت زیر می‌باشد:

$$\frac{\partial}{\partial x_i} \left[ D_{ij} \frac{\partial C}{\partial x_i} \right] - \frac{\partial}{\partial x_i} (C v_i) + \frac{q_s}{n} C_0 + R_d = \frac{\partial C}{\partial t} \quad (52-1)$$

$$V_i = \frac{-K_{ij}}{n} \frac{\partial h}{\partial x_i} \quad (53-1)$$

در روابط فوق  $C$ ، نشان دهنده غلظت آلاینده حل شده در آب زیرزمینی،  $D_{ij}$  مولفه ضریب پراکندگی هیدرودینامیکی،  $V_i$  میانگین سرعت آب در جهت  $x_i$ ،  $q_s$  تغییر حجم آب در واحد حجم در

<sup>32</sup>-Distribution Coefficient  
<sup>34</sup> Retardation factor

سفره، علامت مثبت برای منبع جریان (*source*) و علامت منفی برای دریافت کننده جریان (*sink*)،  $C_0$  غلظت در منبع جریان یا دریافت کننده جریان  $n$  تخلخل متوسط خاک،  $R_d$  گزینه مربوط به واکنش شیمیایی و  $K_{ij}$  مولفه ضریب هدایت هیدرولیکی می‌باشد.

با توجه به روابط (۱-۴۹) و (۱-۵۱) رابطه (۱-۵۲) را به شکل زیر می‌توان نوشت:

$$\frac{\partial}{\partial x_i} \left[ D_{ij} \frac{\partial}{\partial x_i} \right] - \frac{\partial}{\partial x_i} [C v_i] + \frac{q_s}{n} C_0 - \lambda \left( C + \frac{\rho_b}{n} \bar{c} \right) = R \frac{\partial C}{\partial t} \quad (۱-۵۴)$$

با توجه به این که حل معادلات دیفرانسیل حاکم بر جریان آب و انتقال آلاینده در سیستم جریان آب‌های زیرزمینی در شرایط معمول مشکل می‌باشد استفاده از روش‌های عددی در حل این معادلات بسیار مفید می‌باشد که یکی از رایج‌ترین نرم افزارها در زمینه مدلسازی، نرم افزار *GMS* می‌باشد.

### ۱۵- سوابق مطالعات انجام شده و ضرورت آن

در منطقه دفن زباله‌های شهر اراک با انجام ۵۰ سونداز الکتریکی در طول ۷ پروفیل با فاصله الکترودهای فرستنده جریان حداقل ۱۰۰۰ متر به روش سونداز الکتریکی قائم انجام شده است. عملیات صحراپی این مطالعات توسط گروه ژئوفیزیک دانشگاه اراک صورت گرفته است. تعبیر و تفسیر داده‌های صحراپی به صورت دستی و با استفاده از منحنی‌های کمکی توسط آقای دکتر محمود میرزائی با همکاری آقای دکتر فریدون قدیمی و آقای سید محمد ابراهیمی انجام شده است.

اما از آنجا که تفسیر داده‌ها دستی و یک بعدی بوده، نمی‌تواند تصویر خوبی از آلودگی و گسترش آن در منطقه در اختیار ما قرار دهد. بنابراین با استفاده از روش‌های مدلسازی رایانه‌ای برای تفسیر داده‌ها، می‌توان تفسیر کامل و جامعی را برای منطقه دفن زباله‌ها انجام داد. در این تحقیق سعی شده است با استفاده از نرم افزارهای مدلسازی یک، دو و سه بعدی تغییرات مقاومت لایه‌ها و در نتیجه لایه‌بندی زمین بدست آید سپس با استفاده از نتایج حاصل از آن مدل حرکت آلودگی را بدست آورده تا بتوان حرکت آن را برای سالهای آینده پیش‌بینی کرد.

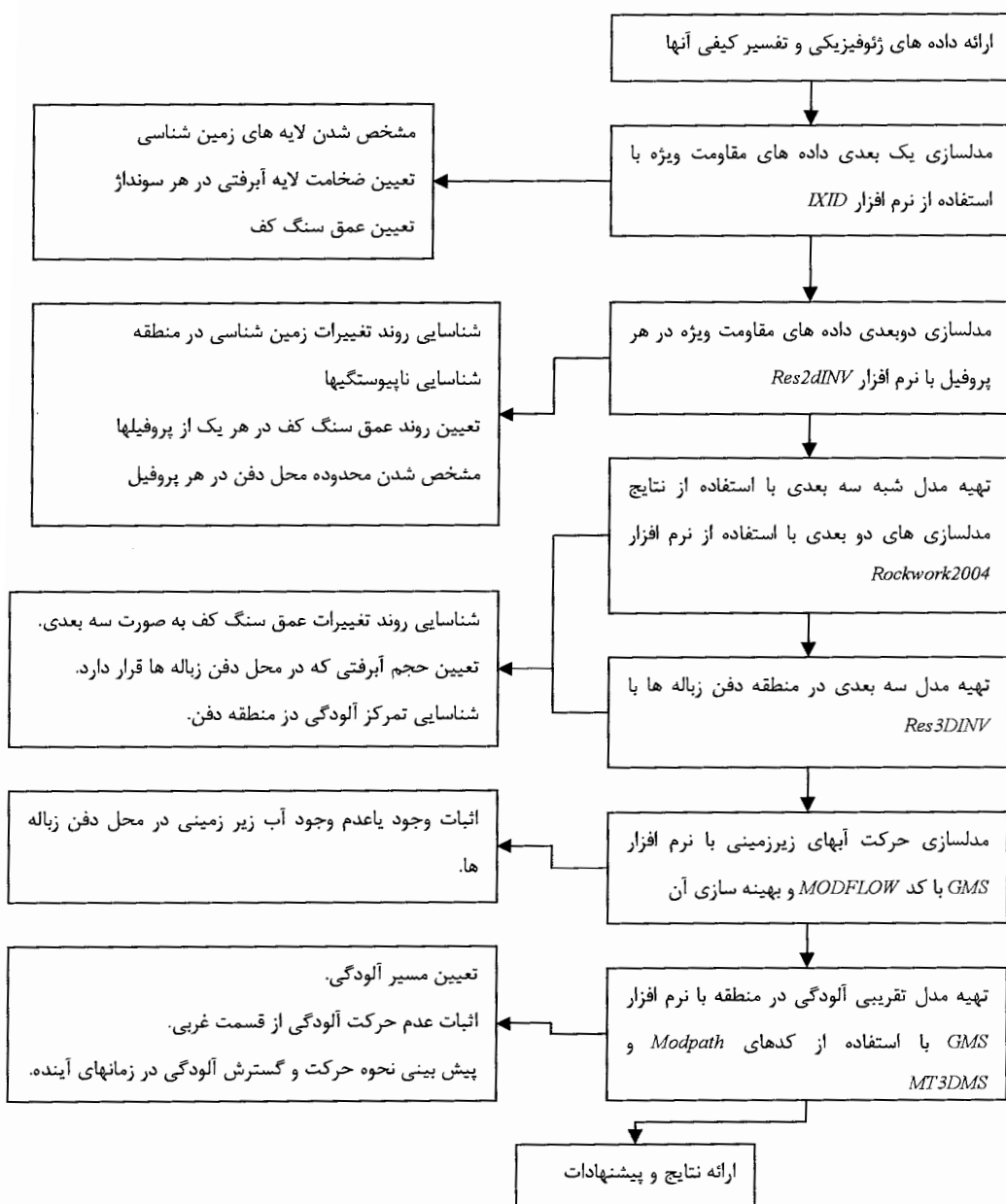
## ۱۶-۱ اهداف

هدف از انجام این مطالعات دستیابی به موارد زیراست:

۱. تفکیک لایه ها به لحاظ مقاومت الکتریکی در طول پروفیلها.
۲. تعیین ضخامت رسوبات آبرفتی در محدوده مورد مطالعه.
۳. تعیین عمق سنگ کف در امتداد پروفیلها انجام شده.
۴. شناسائی و مشخص نمودن ناپیوستگی های احتمالی.
۵. تعیین وجود و یا عدم وجود آبهای زیرزمینی و معابر عبور و جهت حرکت آنها.
۶. شناخت زون آلوده موجود، جهت حرکت و گسترش آلاینده ها.
۷. مدلسازی حرکت آلودگی و پیش بینی حرکت و گسترش زون آلوده در سالهای آینده.

## ۱۷-۱ روش تحقیق

شکل ۱-۵-۱ ، به صورت یک فلوچارت مراحل و روش انجام تحقیق انجام شده در این پایان نامه را نشان می دهد.



شکل ۱-۵-۱ : فلوچارت مراحل انجام شده در پایان نامه

## ۱۸-۱ ساختار پایان نامه

این پایان نامه مشتمل بر ۵ فصل می باشد که مطالب هر بخش در زیر آمده است:

- فصل اول کلیات مربوط به شرایط مطالعه در محل دفن زباله ها را بیان می کند. روش مقاومت ویژه و مدلسازی روی داده های ژئوفیزیکی را معرفی می نماید و عوامل موثر در انتقال آلودگی و مدلسازی آن را تشریح می نماید.
- فصل دوم به کلیاتی درباره زمین شناسی منطقه و موقعیت جغرافیایی آن، پتانسیل های آبی منطقه و بارش های جوی در منطقه اشاره دارد.

در فصل سوم داده های ژئوالکتریک مورد تفسیر یک، دو و سه بعدی و تفسیر آنها قرار می گیرند.

فصل چهارم شاكل مدلسازی کمی آب زیرزمینی در منطقه مورد مطالعه و فرایند مدلسازی کیفی حرکت آلودگی می باشد.

فصل پنجم نتایج بدست آمده در این تحقیق را بیان داشته و پیشنهاداتی نیز در جهت کمک به پیشگیری گسترش آلودگی ارائه می گردد.

## فصل دوم

### موقعیت جغرافیایی و زمین شناسی منطقه

#### ۱-۲ مقدمه

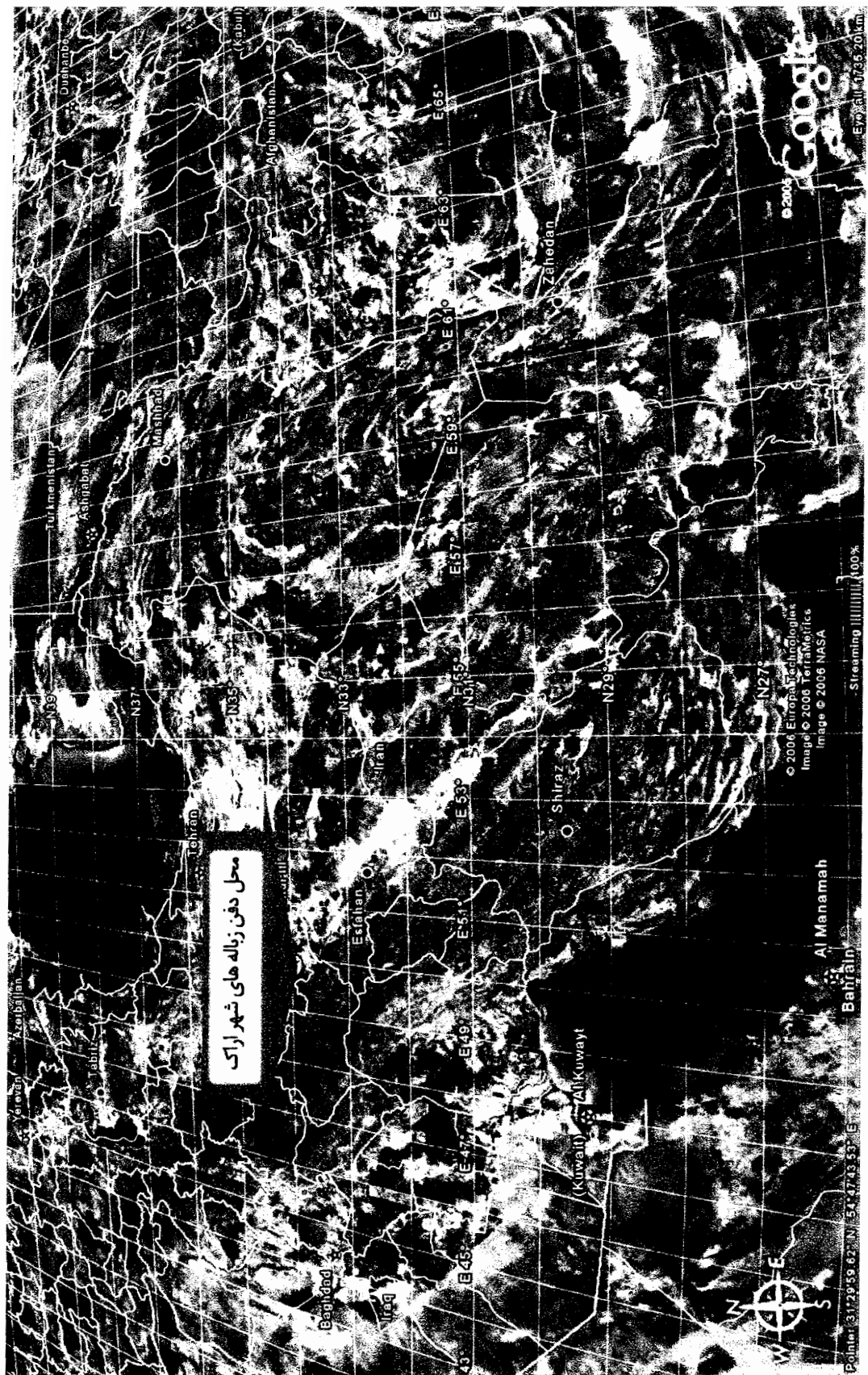
شناخت و ارزیابی دقیق منابع طبیعی موجود در هر حوزه و بررسی عوامل موثر بر آنها، ما را شناخت هر چه بهتر از منطقه یاری می کند. بنابراین در این فصل خصوصیات و ویژگیهای منطقه از جمله موقعیت جغرافیایی، زمین شناسی منطقه، هیدرولوژی و فیزیوگرافی مورد بحث قرار می گیرند. تا پیش زمینه مناسبی نسبت به منطقه جهت تحقیقات ژئوفیزیکی و تفسیر داده های آن پیدا شود.

#### ۲-۱ موقعیت جغرافیایی منطقه

حوضه آبریز سوارآباد ( محل دفن زباله ) با مساحتی برابر ۵۸ کیلومتر مربع از لحاظ تقسیمات کشوری در استان مرکزی، (شکل ۱-۲) از لحاظ تقسیمات استانی در (بخش مرکزی) شهرستان اراک دهستان امان آباد و از لحاظ مختصات *UTM* بین طولهای ۳۸۶۵۵۳/۵۲ تا ۳۹۸۲۰۲/۱۱ و عرضهای ۳۷۶۹۰۳۱/۷۴ تا ۳۷۸۵۶۳۲۰/۷۳ واقع گردیده است.

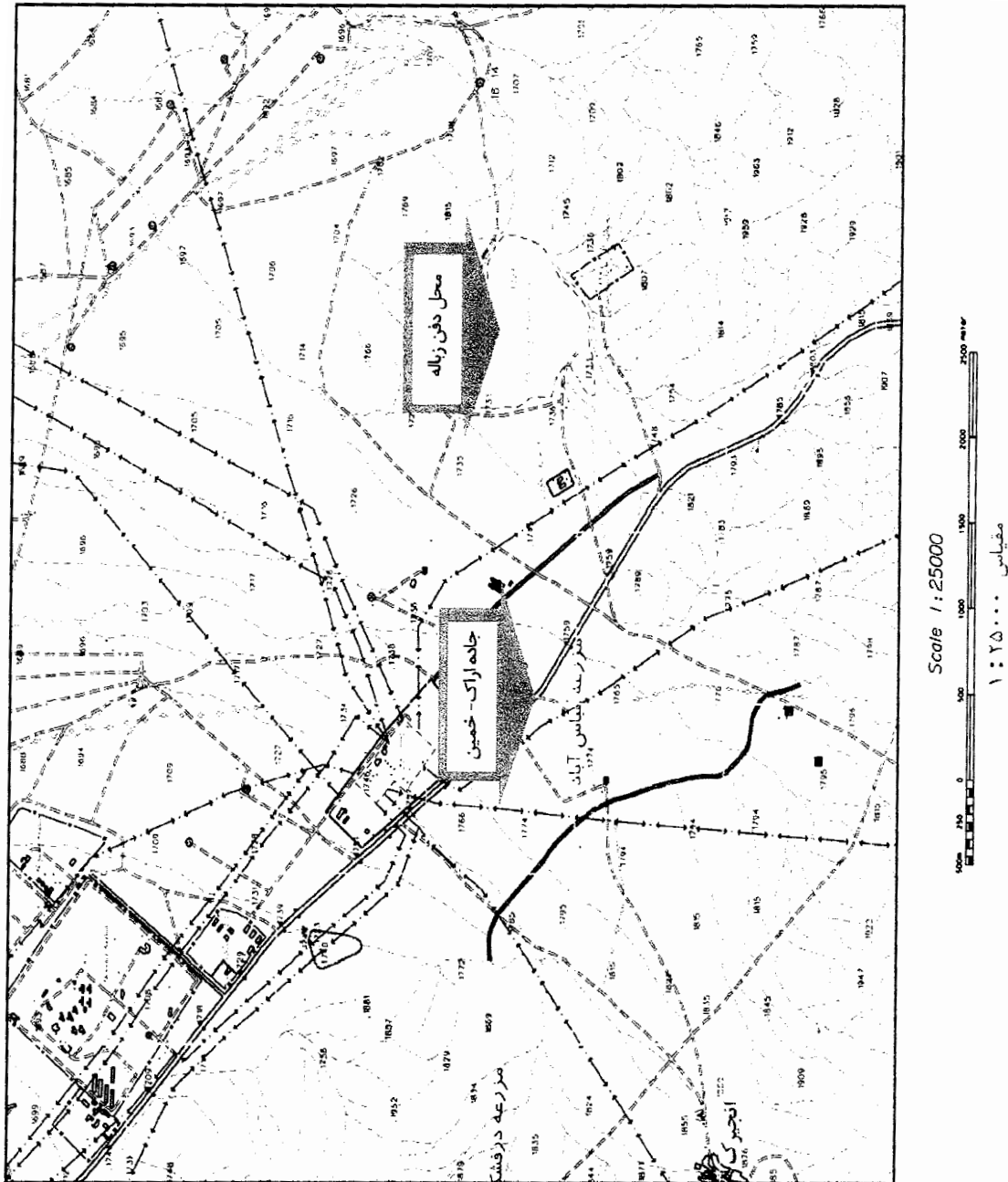
#### ۲-۲ راههای دسترسی

با توجه به واقع شدن این حوضه در نزدیکی شهر اراک، امکان دسترسی به حوضه از طریق جاده آسفالته اراک - خمین ( که از غرب حوضه عبور می کند ) و دیگر جاده های فرعی این مسیر امکان پذیر است. شکل ۲-۲، کروکی راههای دسترسی به منطقه مورد مطالعه را روی نقشه توپوگرافی نشان می دهد.



شکل ۱-۲: موقعیت محل دفن زباله‌های شهر اراک در نقشه ایران [GoogleEarth 2006]

شکل ۲-۳: راههای دسترسی به محل دفن زباله های شهر اراک [سازمان نقشه برداری ۱۳۷۷]



#### ۴-۲ زمین شناسی منطقه

حوزه آبخیز سوار آباد در بخش شمالی زون دگرگونی سنندج - سیرجان واقع شده است. واحدهای سنگی و آبرفتی آن مربوط به دوران دوم و چهارم زمین شناسی می باشند. که شامل دو واحد سنگی با سن کرتاسه، یک واحد سنگی دیگر با سن نامشخص و دو واحد آبرفتی مربوط به کواترنری است. واحدهای سنگی منطقه شامل اسلیت و سنگ آهک بلورین ( $ksl$ ) است. که در ارتفاعات منطقه گسترش

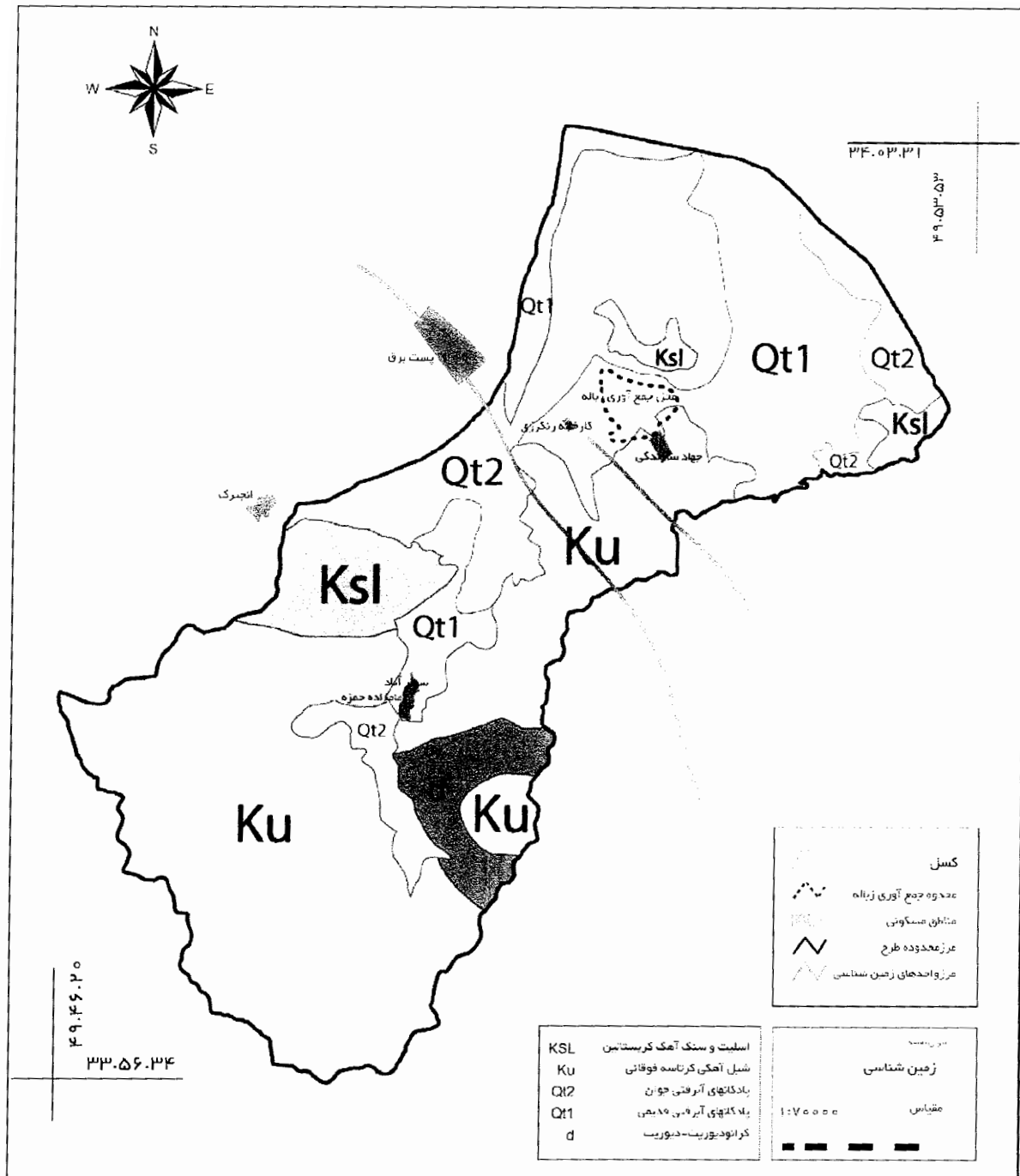
وسيعی دارند و از نظر سنی مربوط به کرتاسه میانی می باشد. واحد شیل آهکی ( $ka$ ) مربوط به کرتاسه فوقانی و واحد گرانودیوریت و دیوریت ( $d$ ) دارای سن نامشخص است واحد پادگانه های آبرفتی قدیمی ( $QtI$ ) و پادگانه های آبرفتی جوان ( $Qt2$ ) نیز با سن کواترنری بخش وسيعی از حوزه مورد مطالعه را تشکیل می دهند ژئومورفولوژی حوزه شامل سه واحد کوهستان - تپه ماهور و نهشته های آبرفتی است که در این میان واحد آبرفت بیشترین و واحد تپه ماهور کمترین مساحت را بخود اختصاص می دهد. دامنه های موجود در واحدهای ارتفاعات و تپه ماهور همگی از نوع نامنظم می باشند. با توجه به گسترش زیاد واحد آبرفتی در سطح حوضه نفوذ پذیری از وضعیت مناسبی در منطقه برخوردار است. (شکل ۳-۲)

#### ۵-۲ چینه شناسی :

واحدهای چینه ای منطقه مورد مطالعه به قرار زیر است:

#### ۱-۵-۲ واحد اسلیت و آهک متبلور ( $Ksl$ ):

این واحد سنگی شامل تناوبی از اسلیت و آهک متبلور است که در ارتفاعات غربی حوزه رخنمون دارد. این واحد از نظر سنی متعلق به کرتاسه میانی است و نمایانگر رسوبگذاری در محیط نسبتاً عمیق تا کم عمق دریا می باشد. لایه بندی از نوع لایه متوسط تا ضخیم لایه است. رنگ آن در اکثر مناطق به خاکستری و نخودی شباهت دارد. امتداد طبقات این واحد بصورت شمالغرب - جنوبشرق است و جهت شبی طبقات به سمت شمال و غرب می باشد تماس فوقانی آن با واحد شیل آهکی ( $Ku$ ) به صورت واضح است. اختلاف رنگ و اختلاف در میزان پوشش تخریبی دامنه ها بهترین مشخصه تماس می باشد.



شکل ۲-۳: زمین شناسی و نقشه واحدهای سنگی شامل محل جمع آوری زرایه شهر اراک [میرزابی، ۱۳۸۲]

### ۲-۵-۲ واحد شیل آهکی کرتاسه فوقاری (Ku)

واحد شیل آهکی یکی دیگر از واحدهای زمین شناسی حوزه است که از نظر سنی متعلق به کرتاسه فوقاری می باشد و بیانگر رسوبگذاری در محیط کم عمق دریایی است. لایه بندی در اکثر مناطق بصورت

توده ای می باشد و به ندرت لایه بندی خیلی ضخیم در آن به چشم می خورد رنگ آن خاکستری تیره تا سیاه می باشد که بیانگر وجود مواد آلی در ترکیب آن است. این امر نمایانگر رسوبگذاری در یک محیط احیایی صورت گرفته و سطح سنگهای این واحد بسیار زبر و خشن می باشد. امتداد طبقات بصورت شمالغرب - جنوبشرق است و شیب طبقات به سمت غرب و شمال می باشد. این واحد تپه ها و ارتفاعات منطقه را تشکیل می دهد.

#### ۲-۳-۵ واحد گرانودیوریت و دیوریت (d)

این واحد بخش جنوب شرق حوزه را در اطراف سوارآباد و همچنین بخشی از ارتفاعات غربی محل دفن زباله را تشکیل داده که بصورت توده ای می باشد.

#### ۲-۴-۵ واحد پادگانه های آبرفتی قدیمی (QT1)

این واحد در مناطق کوهپایه ای و دشتی حوزه بر جای گذاشته شده و شامل مجموعه ای از مواد تخریبی می باشد که حاصل فرسایش واحدهای سنگی حوزه است. ذرات تشکیل دهنده آن عمدتاً حد سیلت و رس بوده و قطعات قلوه سنگی و قطعه سنگی زاویه دار که عمدتاً از جنس اسلیت و دیوریت می باشند در داخل آن مشاهده می گردد. ذرات تشکیل دهنده آن فاقد جورشدگی و گردشگی هستند. میزان شیب توپوگرافی بسیار کم بوده و علاوه بر شیب عمومی دارای شیب جانبی نیز می باشد. از هر گونه پدیده سیمانی شدن و دیاژنز اثری مشاهده نمی گردد. این واحد از نظر سنی مربوط به کواترنری است [میرزایی ۱۳۸۲].

#### ۲-۵-۵ واحد پادگانه های آبرفتی جدید (Qt2):

این واحد جوانترین واحد زمین شناسی منطقه است و در برگیرنده مجموعه ای از رسوبات سست و منفصل از یکدیگر است که در اثر تخریب واحدهای سنگی قدیم و حمل و رسوب گذاری مجدد مواد تخریبی در مناطق کم شیب حوزه بر جای گذاشته شده است. اندازه ذرات تشکیل دهنده آن از حد رس تا قطعه سنگ متغیر است. میزان شیب توپوگرافی بسیار کم می باشد. به دلیل عدم وجود سیمان و عدم وقوع پدیده دیاژنز احتمال جابجایی آن در طی سیلابها زیاد است. این واحد از نظر سنی متعلق به کواترنری می باشد و محل دفن زباله شهر اراک بر روی این واحد قرار دارد.

## ۲-۶ نفوذپذیری و خصوصیات هیدرودینامیکی واحدهای زمین شناسی حوزه:

سهولت عبور مایعات از داخل حفره های رسوبات یا سنگها را نفوذپذیری می نامند. مقدار نفوذپذیری به اندازه حفره ها و ویسکوزیته یا غلظت مایع بستگی دارد. فاکتورهایی از قبیل اندازه و شکل دانه جورشده‌گی و فابریک نیز در میزان نفوذپذیری موثرند. هر چقدر اندازه دانه ها کاهش یابد مقدار تخلخل زیاد ولی نفوذپذیری کم می شود. با افزایش اندازه دانه ها مقدار تخلخل مفید افزایش یافته و نفوذپذیری زیاد می گردد. زیرا در رسوبات دانه ریز مجاری متصل کننده حفره ها بسیار کوچک است و فشار مؤینه زیاد در دیواره های این مجاری مانع عبور آب می گردد. از طرف دیگر هر قدر جورشده‌گی بهتر باشد تخلخل و نفوذپذیری افزایش خواهد یافت ضمن اینکه وجود ذرات زاویه دار در داخل رسوبات باعث افزایش میزان نفوذ می گردد.

عوامل دیگری از قبیل میزان شب توبوگرافی - وضعیت پوشش گیاهی منطقه، نوع نزولات آسمانی و شدت بارش نیز در میزان نفوذ موثر می باشند.

در حوزه آبخیز مورد مطالعه، با توجه به نقش هر یک از عوامل مذکور می توان واحدهای زمین شناسی را از نظر نفوذپذیری به شرح ذیل تقسیم بندی نمود.

### ۱-۶-۲ واحد اسلیت و آهک کریستالین (Ksl) :

واحد مذکور با توجه به شب نسبتاً زیاد در اکثر نقاط، خصوصیات لیتولوژیکی که شامل وجود اسلیت در ترکیب شیمیایی آن است و نیز پرشده‌گی درز و شکاف توسط مواد تخریبی، با پوشش گیاهی ضعیف، دارای نفوذپذیری ضعیف می باشد و حجم زیادی از نزولات آسمانی در سطح آن جاری شده و کمتر فرصت نفوذ می یابند.

### ۲-۶-۳ واحد شیل آهکی (Ku) :

واحد مذکور نیز در اکثر مناطق دارای شب کم بوده و از پوشش گیاهی و خاکی متوسطی نیز برخوردار است. اما بازشده‌گی درزه ها و نیز وجود حفرات اتحالی ضعیف در آن باعث گردیده که دارای نفوذپذیری ضعیف باشد به این صورت که اگر نزولات جوی به صورت بارش باران انجام پذیرد حجم محدودی از آن فرصت نفوذ پیدا می کند اما اگر نزولات آسمانی به صورت برف باشد به دلیل ذوب تدریجی میزان نفوذ افزایش یافته و در رده متوسط قرار می گیرد.

## ۲-۶-۳ واحدهای آبرفتی ( $Qt1$ - $Qt2$ )

این واحدها از شیب کم توبوگرافی برخوردارند از سوی دیگر فاقد سیمان در بین ذرات تشکیل دهنده خود می باشند و پدیده دیاژنز را نیز تحمل نکرده اند. پوشش گیاهی نسبتاً مطلوب نیز مزید بر علت گردیده تا حجم زیادی از نزولات جوی در داخل این واحدها نفوذ نموده و سفره آب زیرزمینی حوزه را به وجود بیاورد.

بنابراین نتیجه می گیریم که عمدۀ ترین پتانسیل آبی منطقه در داخل واحدهای آبرفتی دوران چهارم قرار دارد. به دلیل عدم وجود واحدهای تبخیری در حوزه و نیز عدم وجود آلاینده های مصنوعی می توان گفت که آب زیرزمینی منطقه امان آباد از کیفیت مناسبی برخوردار است [میرزایی ۱۳۸۲].

## ۷-۲ ژئومورفولوژی

ژئومورفولوژی مطالعه ناهمواریهای سطح زمین و عوامل دست اندرکار در ایجاد آنها را به عهده دارد. واحدهای ژئومورفولوژی در حوزه مورد مطالعه شامل واحد کوهستان تپه و دشت می باشد تفکیک هر کدام از واحدهای مذکور با توجه به وضعیت توبوگرافی و شیب منطقه صورت پذیرفته است. شکل ۴-۲ واحدهای ژئومورفولوژی و تیپ اراضی حوضه مورد بررسی را نشان می دهد. هر یک از واحدهای مذکور به شرح ذیل توصیف می گردد.

### ۷-۲-۱ واحد کوهستان (کد ۱)

واحد کوهستان عمدتاً در جنوب حوزه محل دفن زباله اراک قرار دارد. این واحد در برگیرنده مناطق مرتفع و پرشیب حوزه است. و دارای یک تیپ دامنه نا منظم (I) می باشد. این تیپ دارای سه رخساره به شرح ذیل است.

### ۷-۲-۱-۱ رخساره نوع اول

این رخساره در جنوب شرق حوزه قرار دارد. از نظر لیتولوژیکی عمدتاً در برگیرنده واحد دیوریتی (d) و با اهمیت کمتر واحد آهک کریستالین کرتاسه (Ksl) است. این رخساره در واحد دیوریتی (d) به صورت رخنمونهای سنگی لخت و فاقد پوشش دامنه ای تظاهر یافته است. در سایر مناطق میزان پوشش تحریبی استقرار یافته بر روی دامنه ها بسیار ناچیز می باشد. واریزه ها عمدتاً دانه درشت و زاویه دار بوده و هیچگونه اثری از تشکیل خاک مشاهده نمی گردد.

میزان شیب توپوگرافی بسیار زیاد بوده و عمدتاً حالت پرتگاهی مشاهده می‌گردد. سیستم آبراهه در این رخساره از نوع موازی با تراکم کم می‌باشد. اشکال فرسایش عمدتاً شامل فرسایش انحلالی در مناطق آهکی و فرسایش سطحی در مناطق دیگر است.

#### ۲-۱-۷-۲ رخساره نوع دوم

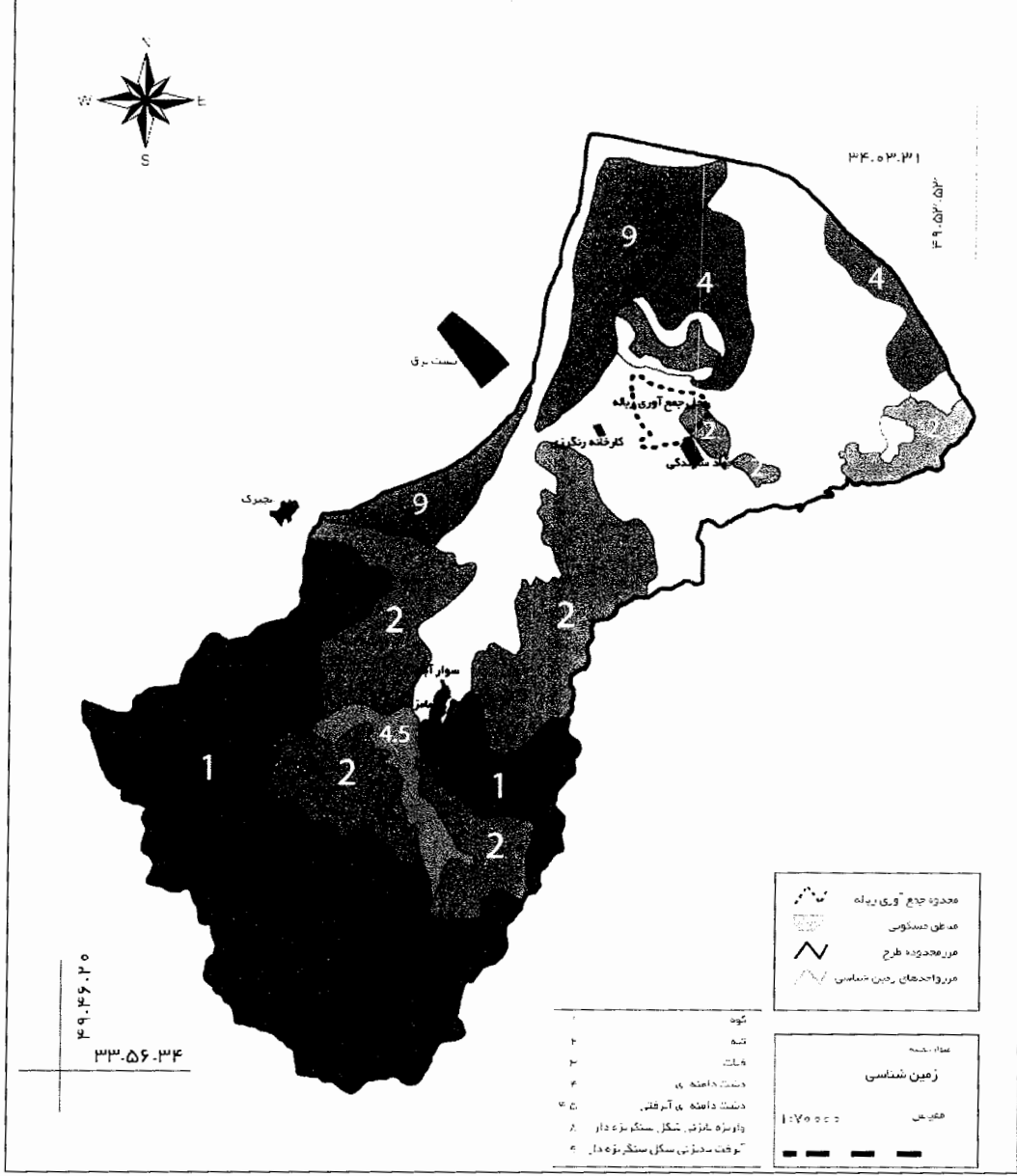
این رخساره در جنوب حوزه قابل رویت است. میزان پوشش تخریبی مستقر بر روی دامنه‌ها بین ۲۵-۵۰ درصد می‌باشد. سنگ شناسی این رخساره شامل واحد اسلیت ( $Ksl$ ) است. میزان شیب توپوگرافی در این رخساره در مقایسه با رخساره نوع اول کمتر می‌باشد. واریزه‌های موجود بر روی دامنه‌ها عمدتاً دانه درشت و زاویه دار هستند. در برخی نقاط این رخساره اثراتی از تشکیل خاک مشاهده می‌گردد. اما فاقد تکامل و عمق کافی است. سیستم آبراهه از نوع دندریتیک با تراکم متوسط است. اشکال فرسایشی عده شامل فرسایش سطحی است.

#### ۳-۱-۷-۲ واحد تپه (کد ۲)

واحد تپه ماهور گسترش محدودی در این حوزه دارد و شامل مناطق نیمه مرتفعی است که میزان شیب آن بین ۱۵-۳۰ درصد می‌باشد.

#### ۴-۱-۷-۲ رخساره با پوشش تخریبی ۵۰-۷۵ درصد

این رخساره در مناطق متعددی از حوزه مشاهده می‌گردد. میزان پوشش تخریبی بر روی دامنه در کلاس ۵۰-۷۵ درصد قرار دارد از نظر سنگ شناسی شامل واحد اسلیت ( $Ksl$ ) و شیل آهکی ( $Ku$ ) است. میزان شیب توپوگرافی بین ۱۵-۳۰ درصد می‌باشد. واریزه‌ها عمدتاً دانه ریز بوده که در میان آنها قطعات سنگی زاویه دار نیز مشاهده می‌گردد. خاک نیمه عمیق در برخی نقاط این رخساره مشاهده می‌گردد. که هنوز تکامل کافی پیدا نکرده است. فرسایش‌های غالب از نوع فرسایش سطحی است. سیستم آبراهه‌ای از نوع دندریتیک با تراکم زیاد می‌باشد.



شکل ۴-۲: واحدهای ژئومورفولوژی (تیپ اراضی) حوزه محل جمع آوری زباله امروزی شهر اراک [میرزایی، ۱۳۸۲]

## ۱-۷-۲-۵ واحد آبرفت کدهای (۳، ۴، ۹ و ۵/۴)

واحد آبرفت گسترش زیادی در سطح حوزه دارد. این واحد در برگیرنده مناطق نسبتاً مسطح و کم شیب حوزه است و در برگیرنده رسویات سیستم دوران چهارم می باشد که اجزاء تشکیل دهنده آنها کاملاً منفصل از یکدیگر هستند. اندازه اجزاء تشکیل دهنده آن در حد سیلت و رس تا قطعه سنگ متغیر است و دارای چهار رخساره تراس آبرفتی مرتفع (کد ۳) و پادگانه های آبرفتی جدی (کد ۴، ۹ و ۴/۵) هستند.

می باشد. پادگانه های آبرفتی جوان بصورت واریزه در پای دامنه واحد ارتفاعات و نیز بصورت دشت دامنه ای در جنوب حوزه به چشم می خورند رخساره تراس آبرفتی مرتفع در مقایسه با رخساره آبرفتهای جدید دارای شیب توپوگرافی بیشتری بوده و علاوه بر آن دارای شیب جانبی نیز می باشد. عمق خاک در واحد آبرفت بسیار زیاد بوده و خاک کاملاً تکامل یافته است. سیستم آبراهه از نوع موازی با تراکم کم می باشد. لازم به توضیح است که محل دفن زباله های فعلی بر روی تیپ ۳ قرار دارد.

اشکال فرسایشی متدائل شامل فرسایش سطحی، شیاری خفیف و گاهی بسیار خفیف می باشد که دو نوع اخیر در جنوب حوزه مشاهده می گردند.(شکل ۴-۲)

#### ۸-۲ زمین شناسی ساختمانی در محدوده دفن زباله

محدوده دفن زباله شهر اراک بصورت طاقدیسی است که امتداد محور طاقدیس شمال غرب و جنوب شرق است . پلانتر جنوب شرق طاقدیس مورد نظر محل فعلی جمع آوری زباله را شامل می شود یال شمال شرقی طاقدیس را واحد اسلیت ( $Ksl$ ) کرتاسه زیرین تشکیل داده که شیب لایه ها به سمت شمال شرق می باشد در داخل واحد مورد نظر توده آذرین درونی نفوذ نموده که دیوریتی و گرانودیوریتی است امتداد و شیب لایه ها بصورت  $N285$  با شیب  $75NE$  است.

یال جنوبی طاقدیس مورد نظر را که محوطه انبار جهادسازندگی را نیز شامل می شود عمدهاً متشکل از شیل آهکی کرتاسه فوقانی ( $Ku$ ) است. در این یال اسلیت ( $Ksl$ ) در اعمق قرار دارد و خیلی کم در سطح زمین رخنمون پیدا کرده است. لذا می توان گفت در یال شمالی طاقدیس به دلیل بالا آمدن توده نفوذی دیوریتی ( $d$ ) واحد اسلیتی ( $Ksl$ ) بالا آمده و در سطح زمین رخنمون پیدا کرده است. اما در یال جنوبی توده نفوذی مورد نظر در اعمق قرار دارد در یال جنوبی که به سمت سد امان آباد راه دارد گسلهای محلی سبب تغییر در شیب و امتداد طبقات شده اند. لایه های شیل آهکی ( $Ku$ ) در یال جنوبی دارای امتداد  $N277$  و شیب  $74SW$  است.

بررسی های زمین شناسی به عمل آمده نشان داد که امتداد محور طاقدیس ، امتداد گسلهای محلی شمال غرب و جنوب شرق و به سمت سد امان آباد هستند. اسلیتها همچنین دارای رخ اسلیتی می باشد اما به دلیل ریز بودن اجزاء تشکیل دهنده سنگها و خرد شدن سنگها مواد ریز دانه شکافها را پر کرده و نفوذپذیری آنها را کاهش داده اند.(شکل ۳-۲)

## ۹-۲ بررسی منابع آبی منطقه

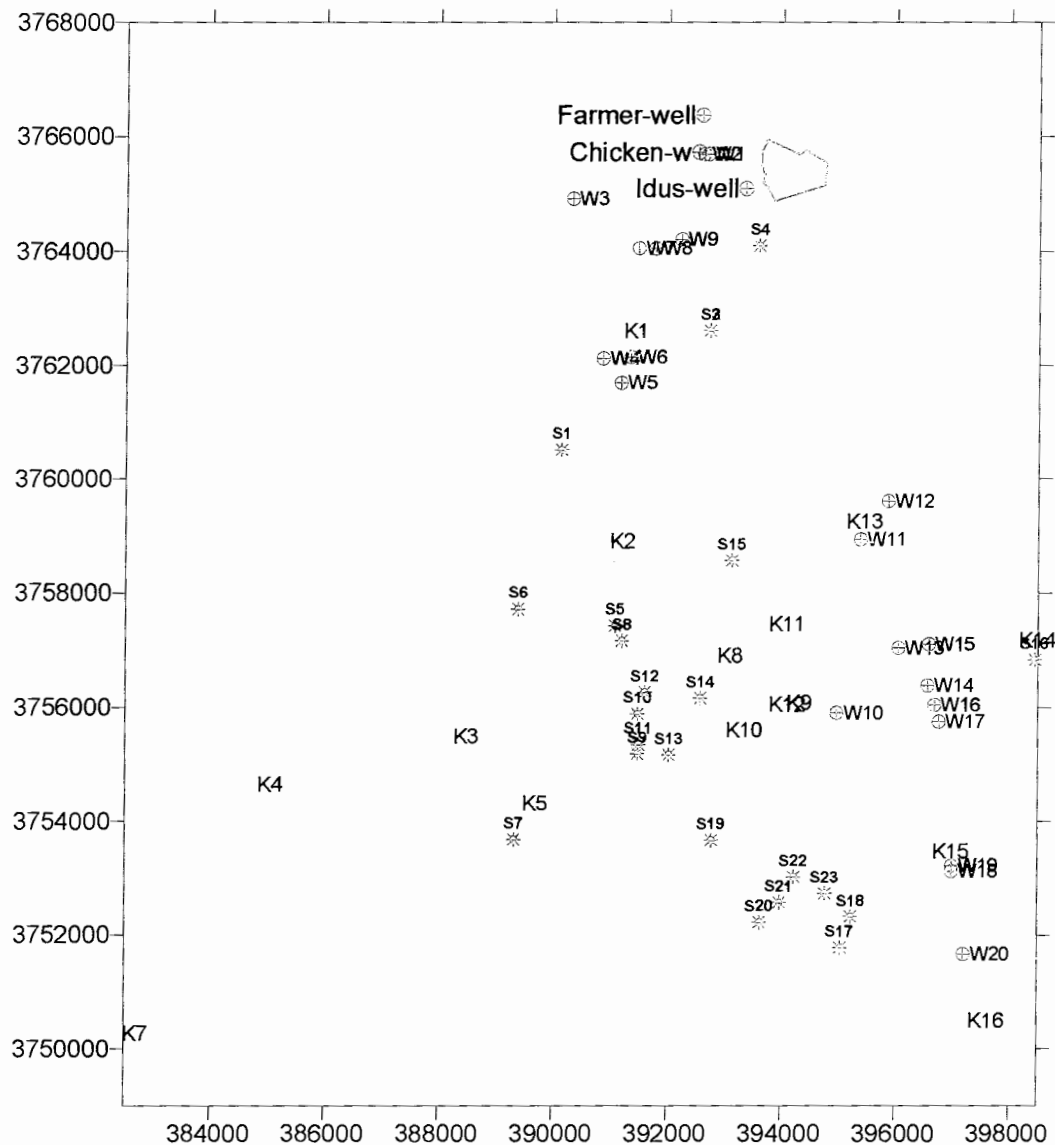
منابع تخلیه آبی حوزه سوارآباد که مشرف به محل دفن زباله می باشد را چاهها، قنوات و چشمه ها تشکیل می دهند (شکل ۲-۵). آنچه که از نظر منابع آبی مهم است وضعیت چاهها در نزدیکی محل دفن زباله می باشد. اطلاعات این چاهها در پیوست الف آمده است.

از نظر منابع آبی چاهها در دو منطقه از اطراف محل دفن زباله پراکنده اند. یکسری چاهها در محدوده دفن واقع شده که از آن جمله می توان به چاه رنگرزی، چاه کشاورزی و چاه مرغداری اشاره نمود. یکسری دیگر در خارج از محدوده دفن و در دشت امان آباد و به عبارتی زیر دست امان آباد و زیردست محل دفن زباله واقع شده که از آن جمله می توان به چاههای شرب اراك اشاره نمود.

بررسی عمق چاهها و سطح آب در چاههای منطقه نشان داد که به سمت سوارآباد و یا حوزه بالا دست محل دفن زباله عمق چاهها کم شده و به عبارتی سنگ کف بالاست [میرزایی ۱۳۸۲]. لذا در این نواحی آبرفتها از ضخامت کمی برخوردار هستند. اما چاهها در نزدیکی محل دفن و چاهها در دشت امان آباد از عمق بالایی (حتی بیش از ۱۰۰ متر) برخوردار می باشند. به عبارتی می توان گفت ضخامت آبرفت در این مناطق زیاد است. لذا بر اساس مطالعات هیدرولوژی انجام گرفته بخش اعظم رواناب های سطحی محاسبه شده به خارج از محدوده دفن زباله و یا به سمت دشت امان آباد هدایت می شوند.

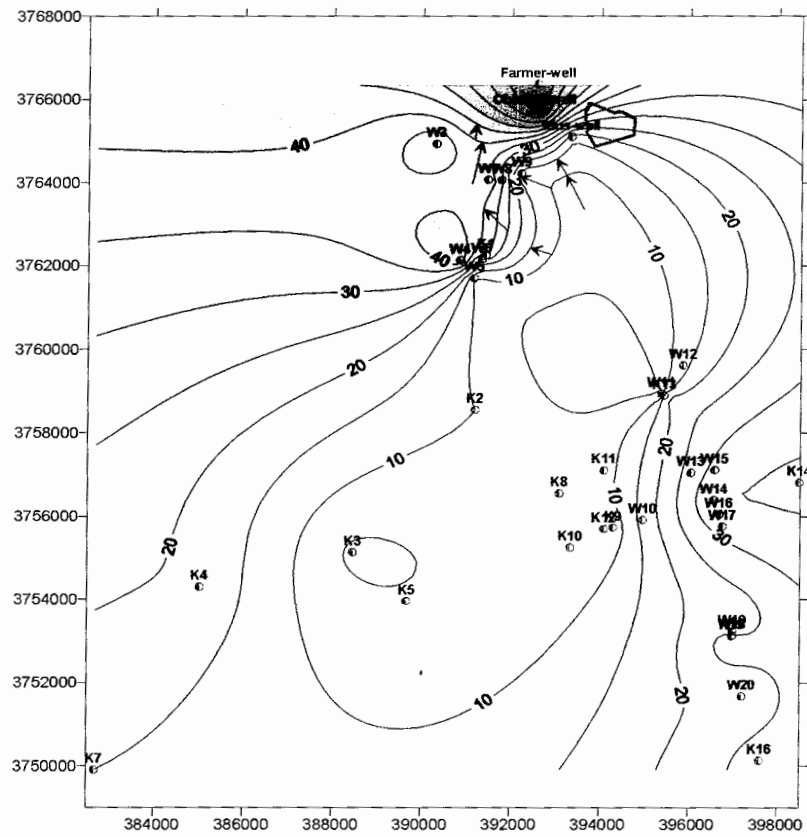
از طرفی بدلیل شیب بالای آبراهه اصلی سوارآباد تا پایین دست محل دفن زباله بدیهی است توقف رواناب حوزه سوارآباد در محل دفن زباله بسیار کم و زمان برای نفوذ کم می باشد لذا سیلانها راه خود را به خروجی دفن زباله پیدا نموده و زمان تماس آنها با محل جمع آوری زباله کم است.

بررسی نقشه ایزوپیز منابع آبی منطقه (شکل ۶-۲) خصوصاً چاهها نشان می دهد که جریان آب زیرزمینی که از سمت حوزه سوارآباد به محل دفن زباله می رسد، به سمت ایستگاه برق انجیرک است. به عبارتی می توان گفت با توجه به اینکه جهت حرکت روانابها و مسیر رودخانه سوارآباد از محل دفن زباله و به سمت آثار جهاد و آنگاه از پایین دست دفن زباله عبور می کند اما با توجه به نقشه ایزوپیز، جریان آب زیرزمینی بر عکس رواناب سطحی به سمت پست برق انجیرک می باشد. لذا آب زیرزمینی در تماس با محل دفن زباله نمی باشد. بررسی صحرایی نشان داد که دلیل برگشت آب زیرزمینی بخارط بالا بودن سنگ کف اسلیت آهکی در محل جمع آوری زباله است [میرزایی، ۱۳۸۲].



شکل ۲-۵: موقعیت چاهها (W)، قنوات (K) و چشمه ها (S) در منطقه سوار آباد

علاوه بر این، برای مدلسازی حرکت آلودگی، نیاز به اطلاعات چاه های آب و کشاورزی مربوط به منطقه امان آباد بود، تا بتوان با استفاده از این اطلاعات سطح آب زیر زمینی در منطقه را به دست آورد تا اطلاعات لازم برای مدلسازی آلودگی را تکمیل نمود. اطلاعات مربوط به این چاهها در پیوست الف آمده است.



شکل ۶-۲: نقشه ایزوفیز بررسی خطوط جریان آب با استفاده از اطلاعات چاهها و قنوات در محدوده دفن زباله شهر اراک [میرزایی ۱۳۸۲]

## ۱۰-۲ بارندگی

جهت بررسی میزان بارندگی سالیانه در سطح محدوده مورد بررسی از آمار ۱۵ ایستگاه سینوپتیک، تبخیرسنجدی (کلیماتولوژی) و بارانسنجی واقع در داخل و اطراف محدوده استفاده شده است. با بررسی های به عمل آمده مشخص شد ایستگاه سینوپتیک اراک به دلیل طول دوره آماری بیشتر و دقیق و تداومی که در قرائت آمار آن وجود دارد از آمار بسیار خوب و مطمئنی برخوردار است. لذا این ایستگاه به عنوان ایستگاه مینا برای اندازه گیری پارامترهای جوی انتخاب شده است. برای بررسی پدیده بارندگی، دوره آماری ۱۳۴۹-۱۳۵۰-۱۳۸۰-۱۳۸۱ لغایت ۳۰ ساله انتخاب شده است. در پیوست الف مشخصات ایستگاهها و متوسط بارندگی آنها آمده است. با توجه به آمار موجود متوسط بارندگی سالیانه در منطقه  $330 \text{ mm}$  باشد. جدول ۱-۲ آمار مربوط به متوسط بارندگی برای یک دوره

سی ساله را نشان می دهد.

جدول ۱-۲: متوسط بارندگی سی ساله در ایستگاههای موجود [میرزایی ۱۳۸۲]

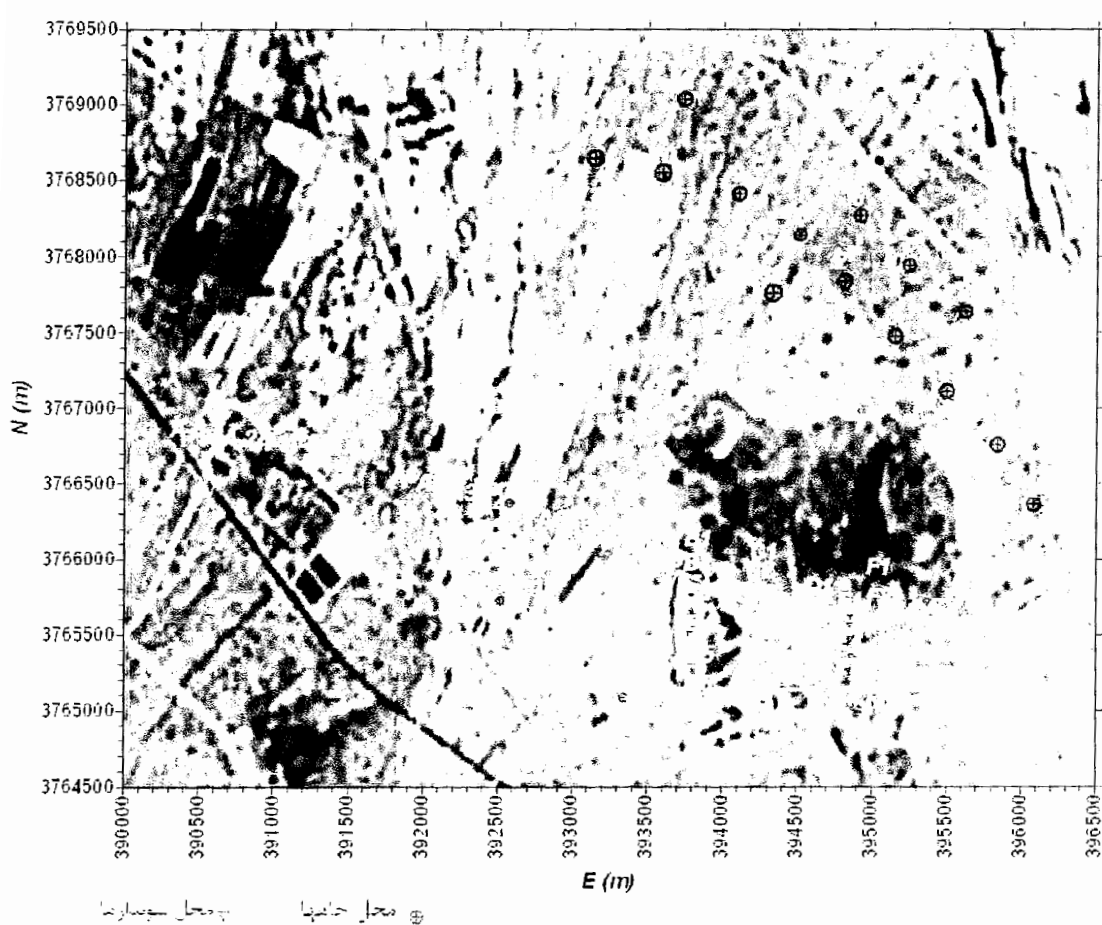
ردیف	نام ایستگاه	تعداد سال آماری موجود	متوسط بارندگی سی ساله (mm)	ارتفاع از سطح دریا (m)
۱	سینوپتیک اراک	۳۰	۳۲۹/۴	۱۷۰
۲	امور آب اراک	۱۴	۳۴۲/۲	۱۷۸
۳	شمس آباد	۳۰	۳۶۰/۹	۲۱۹
۴	موچان	۱۶	۴۰۷/۱	۲۱۰
۵	مالک آباد	۱۶	۲۳۹/۵	۱۸۷
۶	مشک آباد	۱۴	۲۲۲/۲	۱۶۹
۷	گوار	۳۰	۳۲۱/۸	۱۹۷
۸	داود آباد	۳۰	۲۱۰/۴	۱۶۶
۹	دودهک	۳۰	۱۷۷/۴	۱۴۵
۱۰	محلات	۱۶	۲۵۵/۹	۱۷۳
۱۱	آشتیان	۳۰	۲۴۹/۹	۲۰۸
۱۲	راهجرد	۱۶	۲۱۴/۵	۱۷۰
۱۳	نانگرد	۱۶	۲۰۶/۹	۱۷۲
۱۴	عمارت	۲۵	۴۱۲/۴	۲۱۰
۱۵	ساروق	۳۰	۲۴۵/۰	۱۸۰

### فصل سوم

#### ارائه و تفسیر داده های زئوفیزیکی

##### ۱-۳ ارائه داده ها

در منطقه مورد نظر تعداد ۵۰ سونداز مقاومت ویژه با آرایه شلومبرژه بر روی یک سری پروفیل های موازی توسط گروهی به سرپرستی دکتر میرزایی در سال ۸۰ و ۸۱ صورت گرفته است [میرزایی ۱۳۸۲]. محل سوندازها بر روی نقشه ماهواره ای منطقه در شکل ۱-۳ آمده است.



شکل ۱-۳: تصویر ماهواره ای منطقه مورد مطالعه و محل سوندازهای برداشت شده

در شکل ۲-۲ و شکل ۳-۲ نمایی از منطقه دفن زباله آمده است.



شکل ۲-۳: نمایی از منطقه دفن زباله



شکل ۳-۳: نمایی از غرب منطقه دفن زباله ها

مختصات جغرافیایی و ارتفاع محل هر سونداز که با استفاده از *GPS* دستی برداشت شده است، در پیوست الف آمده است.

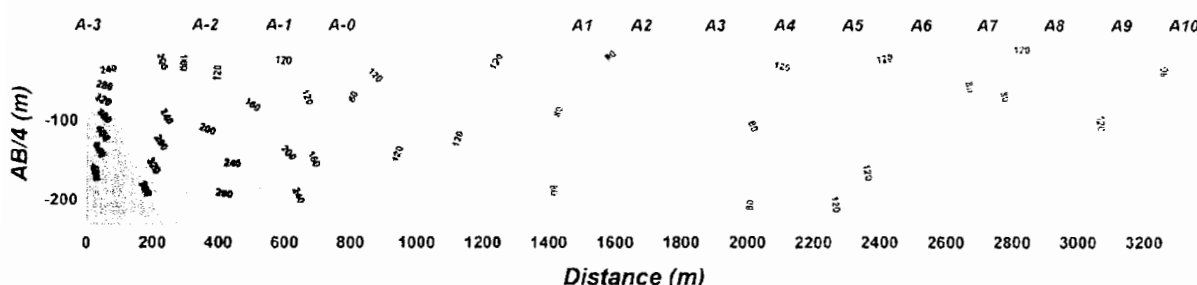
پروفیل *A* برای شناسایی رسوبات منطقه طراحی شده است، تا عمق و نوع رسوبات در منطقه مشخص شود. پروفیلهای *F E D C B* جهت مطالعات لنوفیل در یک شبکه تقریباً مستطیلی به طول ۱۲۰۰ متر و عرض ۱۰۰۰ متر در محل دفن زباله ها طراحی شده اند. همچنین پروفیل *G* جهت کنترل گسترش آبودگی در نظر گرفته شده است، که آیا آبودگی در این سمت غرب محل دفن زباله هاگسترش داشته یا خیر؟

### ۲-۳ تفسیر کیفی داده های مقاومت ویژه

در ابتدا قبل از پردازش و تفسیر داده های مقاومت ویژه روند کلی داده ها در هر پروفیل به طور کیفی مورد ارزیابی می گیرد. برای این کار اطلاعات مقاومت ویژه ظاهری مربوط به هر یک از پروفیلهای جداگانه توسط نرم افزار *Excel* بر حسب نصف فاصله الکترودهای جریان رسم شده اند. همچنین با استفاده از نرم افزار *Surfer* نیز شبه مقاطع مقاومت ویژه ظاهری ترسیم گردیده اند.

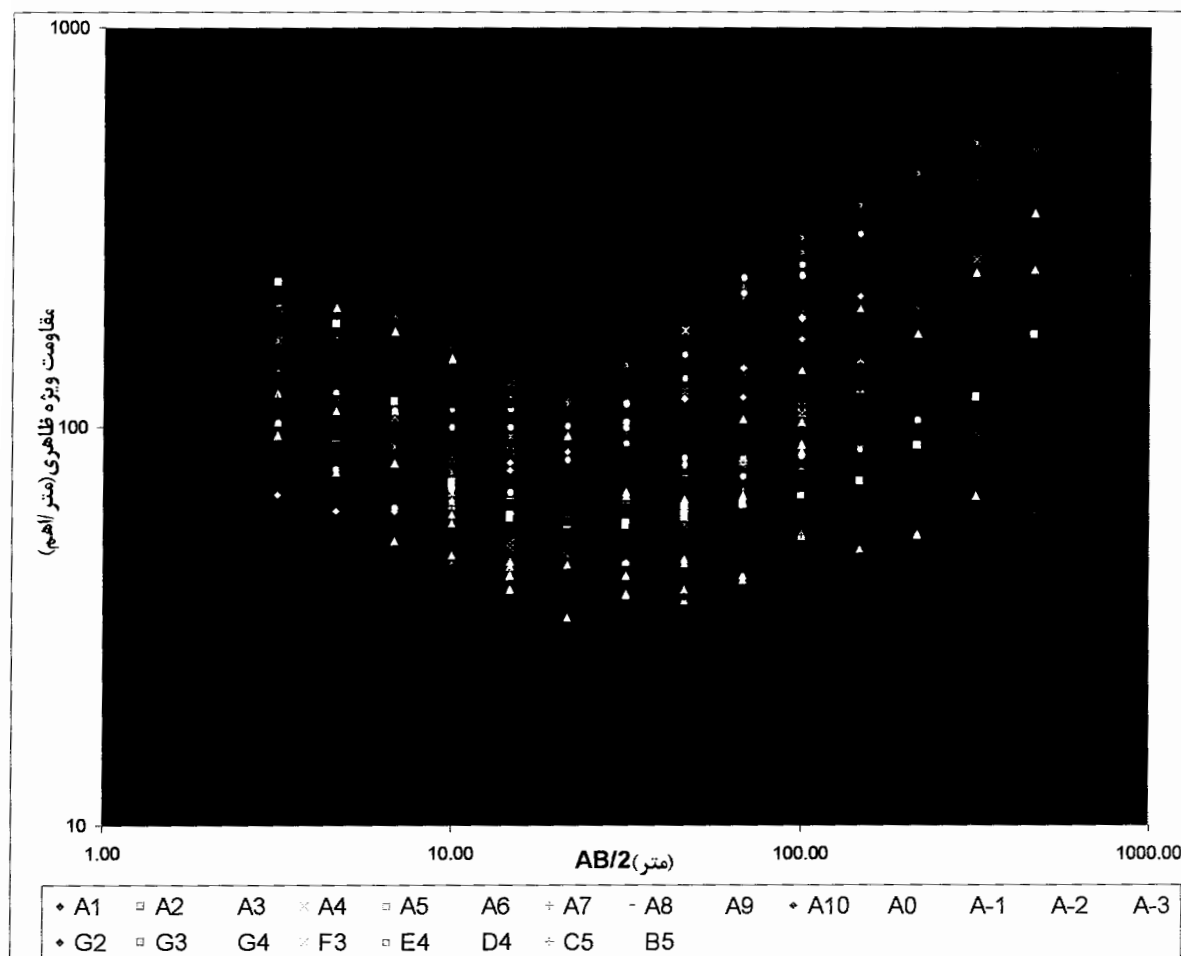
### ۱-۲-۳ پروفیل *A*

بر اساس اطلاعات حاصل از برداشتهای صحرائی در راستای پروفیل *A* شبه مقطع مقاومت الکتریکی ظاهری پروفیل *A* به دست آمده است. هم چنانکه در شکل ۱-۳ دیده می شود راستای این پروفیل تقریباً شمال غربی - جنوب شرقی می باشد. با توجه به شکل ۴-۳ و شکل ۵-۳ مقاومت ویژه ظاهری از سونداز *A-3* تا *A-0* از مقادیر مقاومتی بالا به سمت مقادیر پایین کاهش یافته است که نشان می دهد که سنگ کف به سمت غرب از عمق بیشتری برخوردار است.



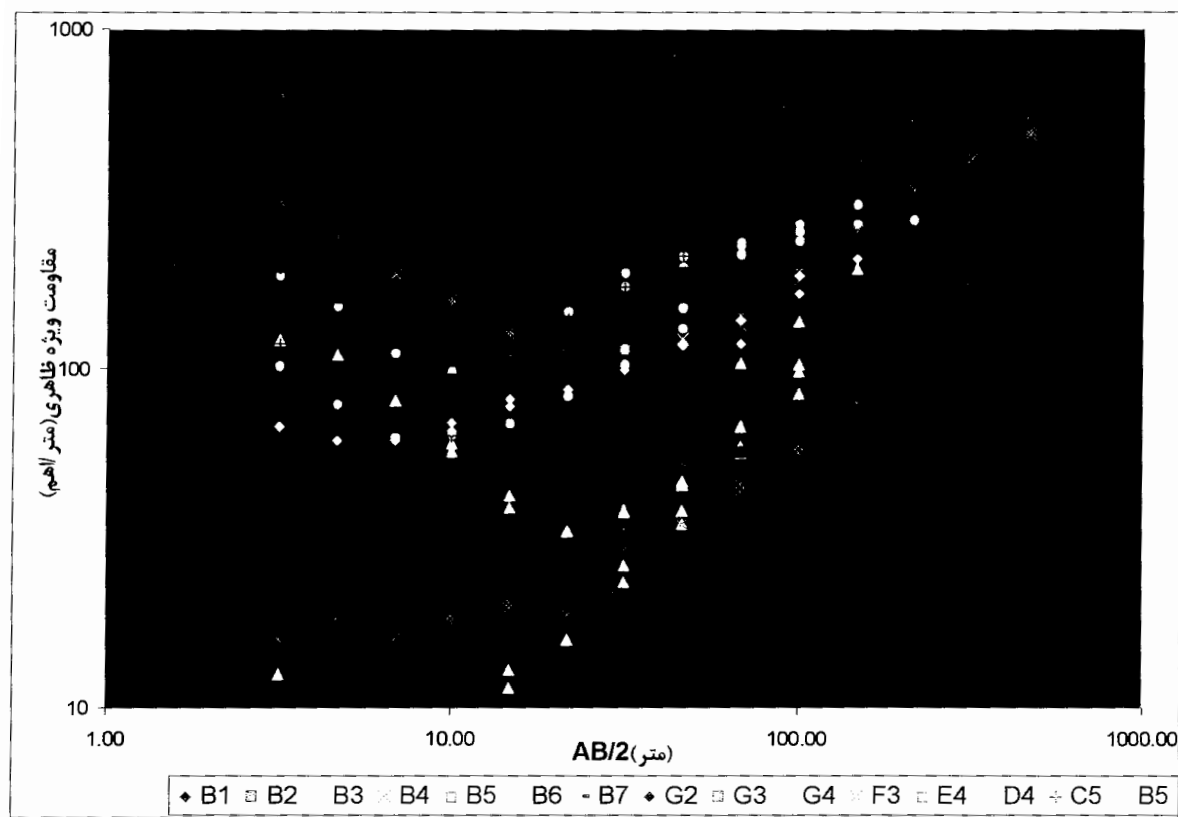
شکل ۴-۳ شبه مقطع مقاومت ویژه پروفیل *A*

از موقعیت سوندazer A-0 به سمت جنوب شرقی یعنی شوندazer A10 اگرچه ناحیه های کوچکی با مقاومت ویژه ظاهری بالاتر بصورت عدی هایی رویت می شوند ولی روند کلی، کاهش مقدار مقاومت های ویژه ظاهری از مرکز به سمت سوندazer A10 می باشد. ولی آن چه که مسلم است اختلاف قسمت شرقی با غربی در این می باشد که مقدار مقاومت های ویژه ظاهری در قسمت شرقی بطور کلی کمتر از قسمت غربی است که می تواند ناشی از تاثیر تفاوت نوع سنگ کف درنا حیه شرقی نسبت به ناحیه غربی باشد.



شکل ۳-۵: نمودار تغییرات مقاومت ویژه ظاهری بر حسب نصف فاصله الکترود های جریان  $AB/2$  در پروفیل A

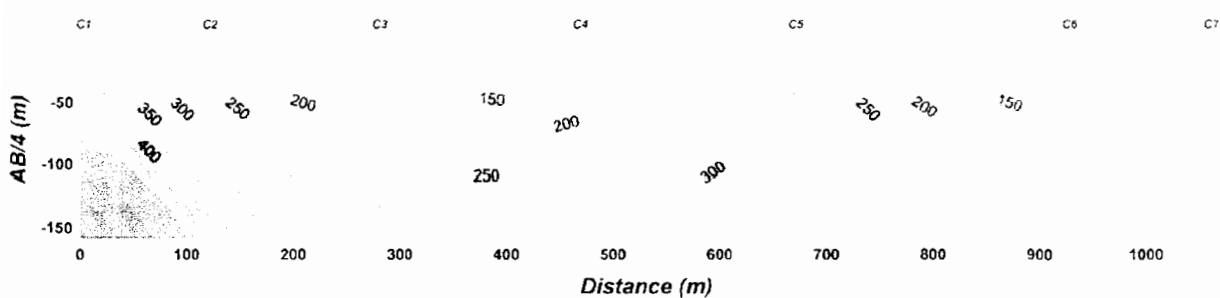
همچنین با توجه به شکل ۳-۵ ظاهرا سوندazer A-3 از یک روند ۲ لایه، سوندazer های A-2, A-1 و A-0 از یک روند ۳ لایه و بقیه از روند ۴ لایه تبعیت می کنند.



شکل ۷-۳: نمودار تغییرات مقاومت ویژه ظاهری بر حسب نصف فاصله الکترود های جریان  $AB/2$  در پروفیل  $B$

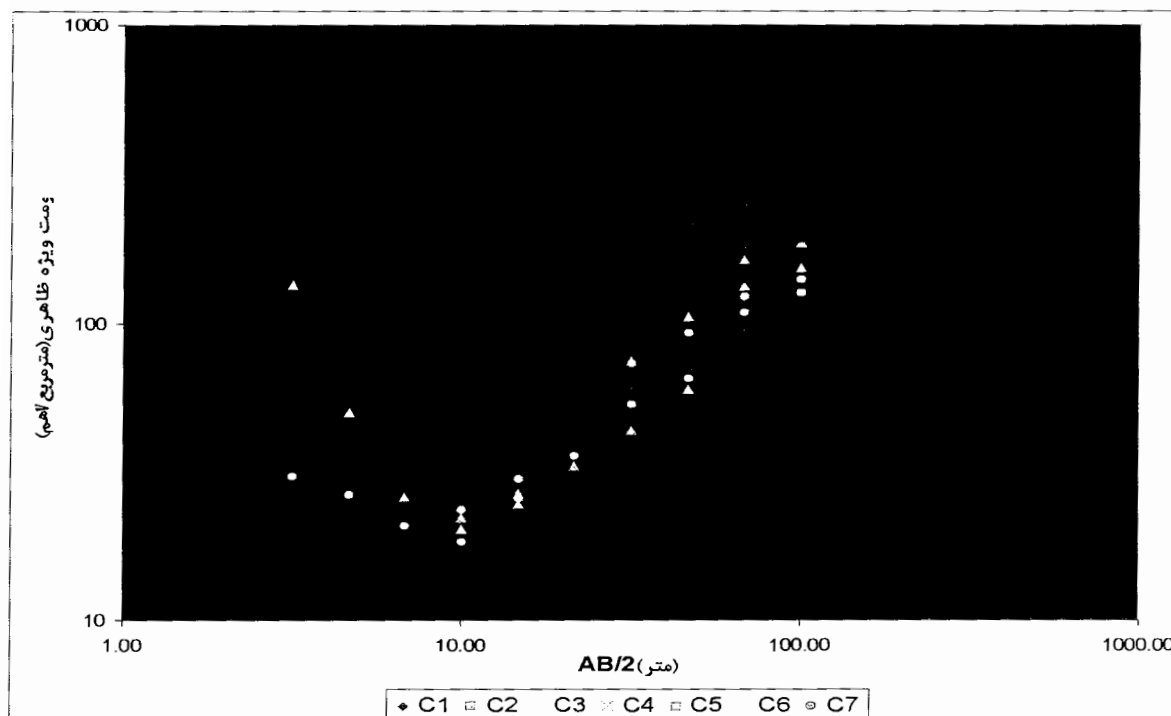
### ۳-۲-۳ پروفیل $C$

هم چنانکه از شکل ۱-۳ ملاحظه می گردد راستای این پروفیل شمالی-جنوبی بوده و در محدوده محل دفن زباله ها برداشت گردیده است. همانگونه که شکل ۸-۳ نشان می دهد مقاومت های ویژه بالا در محل سوندای  $CI$  ناشی از تاثیر اثر سنگ کف می باشد زیرا محل برداشت این سوندای نزدیک تشکیلات آهکی بوده است.



شکل ۸-۳: شبیه مقطع مقاومت ویژه پروفیل  $C$

در سطح از سونداز  $C1$  بطرف سونداز  $C5$  کاهش مقاومت مشاهده می گردد که ناشی از تأثیر اثر زباله در این ناحیه از پروفیل می باشد. در محدوده سونداز  $C5$  بالا آمدگی نا گهانی خطوط با مقاومت ویژه بالا می تواند ناشی از بالا آمدگی سنگ کف یا اثرگسل باشد. از محل این سونداز بطرف جنوب در سطح دوباره مقاومت ویژه کاهش یافته و ضخامت لایه آبرفتی که با زباله ها جانشین گردیده تا حدی افزایش می یابد. در شکل ۹-۳ سونداز  $C7$  نیز روند مقاومت ویژه افزایش دارد، اما افزایش آن به اندازه سونداز  $C1$  نمی باشد، که احتمالا نوع جنس لایه ها متفاوت می باشد.



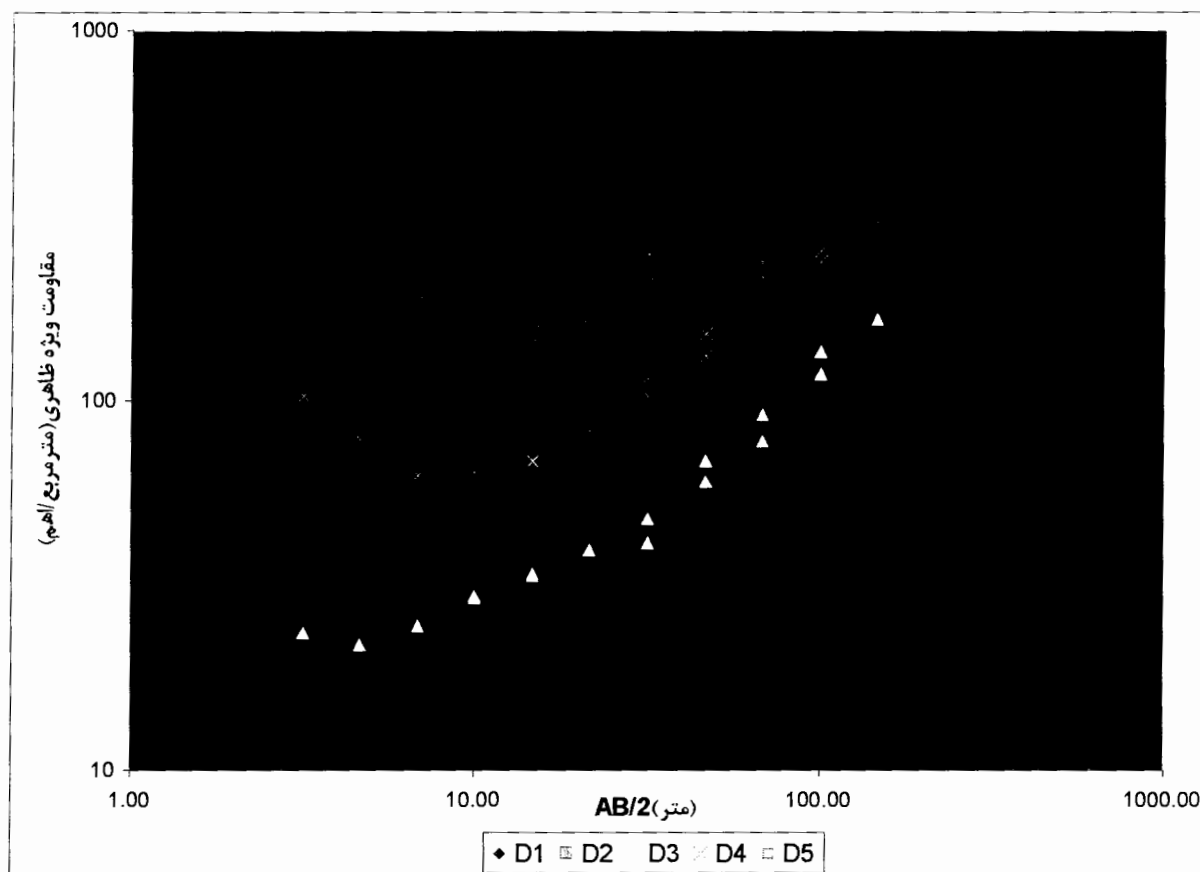
شکل ۹-۳: نمودار تغییرات مقاومت ویژه ظاهری بر حسب نصف فاصله الکترود های جریان  $AB/2$  در پروفیل  $C$

#### ۴-۲-۳ پروفیل $D$

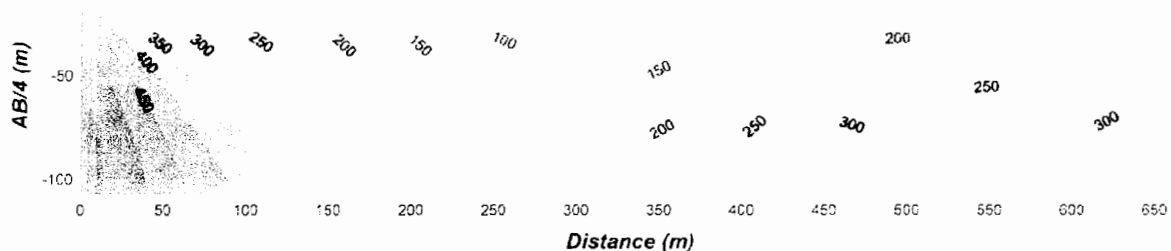
راستای این پروفیل نیز شمالی جنوبی می باشد. قسمتی از این پروفیل از محل دفن زباله عبور نموده است. با مشاهده نقشه خطوط هم مقاومت ویژه ظاهری (شکل ۱۱-۳) ملاحظه می شود که سنگ کف نزدیک سطح زمین می باشد و مقاومت آن در ناحیه شمالی بالاتر از ناحیه جنوبی می باشد. کمترین مقاومت ویژه در ناحیه سونداز  $D3$  بوده که ناشی از تأثیر زباله های دفن شده در این

قسمت می باشد و هم چنین شکل خطوط تراز مقاومت ویژه در این قسمت بیانگر عمیق تریدن رسوبات دراین قسمت نسبت به سایر قسمتهای این پروفیل می باشد که البته خاکبرداری شده و با زباله ها جانشین گردیده است.

همچنین با توجه به شکل ۰ در تمام سونداژها به جز  $D1$  و  $D5$  از یک روند سه لایه تبعیت می کنند و سونداژهای  $D1$  و  $D5$  از یک روند ۴ لایه تبعیت می کنند. (شکل ۱۱-۳ شکل ۱۰-۳)



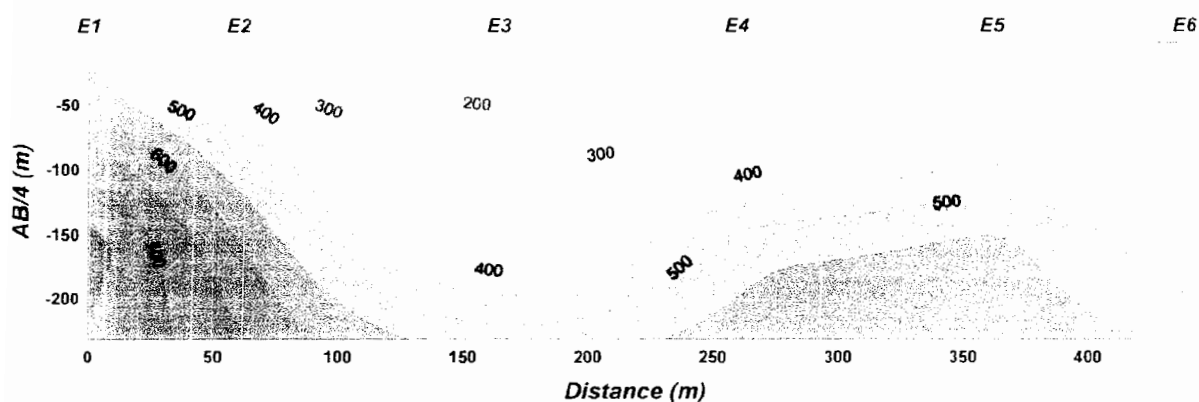
شکل ۱۰-۳: نمودار تغییرات مقاومت ویژه ظاهری بر حسب نصف فاصله الکترود های جریان  $AB/2$  در پروفیل  $D$



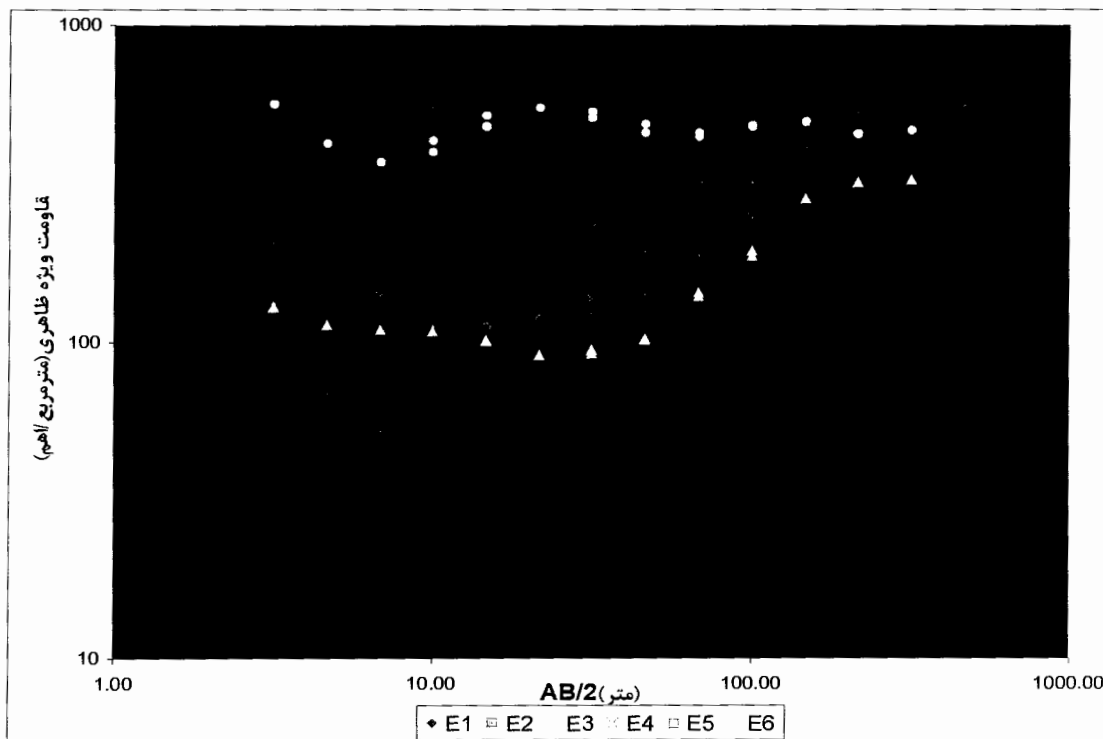
شکل ۱۱-۳: شبیه مقطع مقاومت ویژه پروفیل  $D$

### ۱۲-۵ پروفیل E

این پروفیل که شامل ۶ سونداز می باشد در راستای شمالی-جنوبی برداشت گردیده است. این پروفیل تقریباً بر روی تشکیلات سنگ بستر قرار دارد که مقاومت های ویژه مربوط به بخش شمالی بالاتر از بخش جنوبی می باشد. در کدام نقشه مشاهده می گردد که در محل سوندازهای E2، E3 و E4 اندکی مقاومت ویژه کاهش می یابد که ناشی از تاثیر لایه کم ضخامت آبرفتی در این قسمت می باشد که هم اکنون ممکن است با زباله ها جاگزین گردیده شده باشد (شکل ۱۳-۳ و شکل ۱۲-۳).



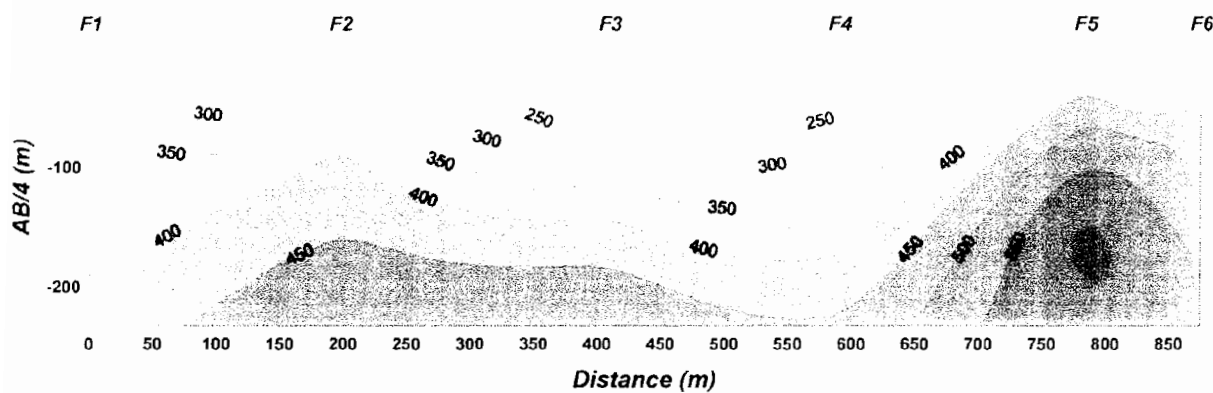
شکل ۱۲-۳: شبیه مقطع مقاومت ویژه پروفیل E



شکل ۱۳-۳: نمودار تغییرات مقاومت ویژه ظاهری بر حسب نصف فاصله الکترود های جریان AB/2 در پروفیل E

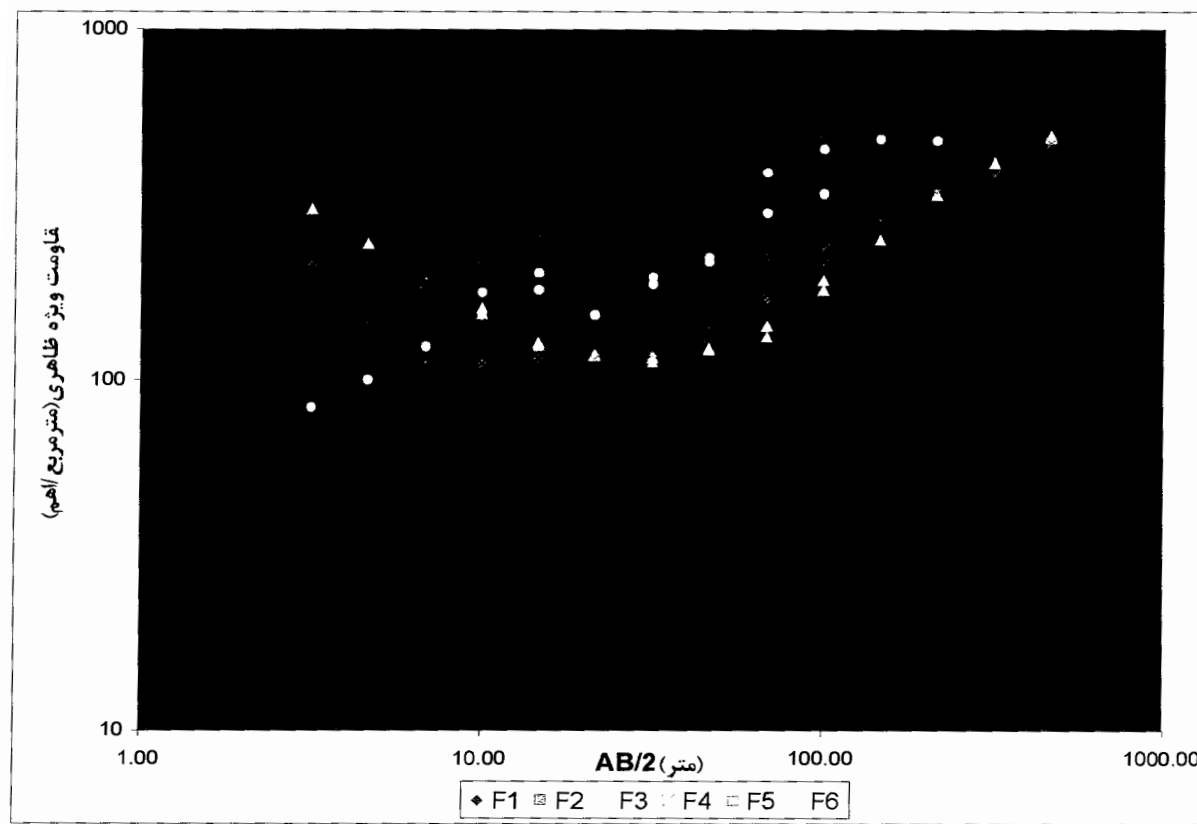
### ۱۴-۳ پروفیل F

این پروفیل نیز شامل ۶ سونداز در راستای شمالی-جنوبی بوده تقریباً روی تشکیلات برداشت گردیده است. نقشه خطوط مقاومت ویژه از محدوده سونداز  $F1$  تا  $F4$  تقریباً روند افزایش مقاومت از سطح به عمق را نشان می‌دهد. البته در نزدیک سطح محدوده‌های عدسی گونه‌ای با مقاومت‌های پایین‌تر مشاهده می‌گردد که ناشی از زون‌های آبرفتی کم عمق با ضخامت کم در این قسمت‌ها می‌باشد.



شکل ۱۴-۳: شبیه مقطع مقاومت ویژه پروفیل F

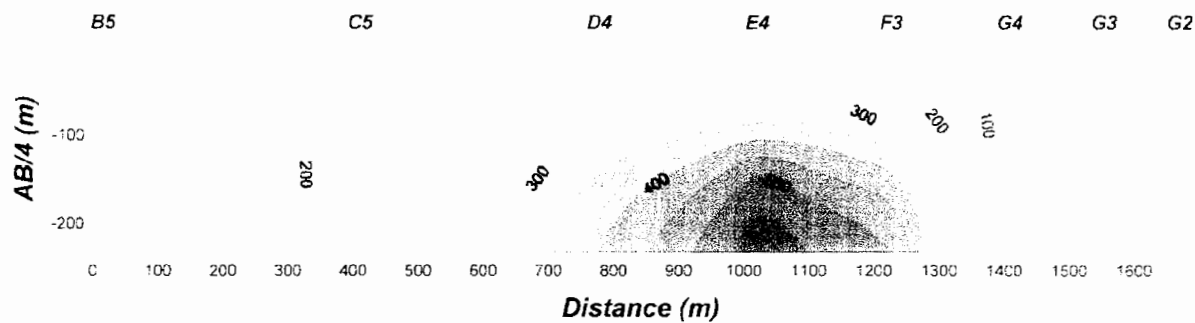
شکل منحنی‌های مقاومت ویژه در محدوده سوندازهای  $F5$  و  $F6$  حکایت از بالا آمدگی یک توده سنگ بستر با مقاومت بالاتر می‌باشد که می‌توان این محل را به یک زون شکسته نیز نسبت داد. با توجه به شکل ۱۵-۳ تمام سوندازها در ابتدا یک روند رو به کاهش را دارند، در حالیکه در سونداز  $F6$  از ابتدا یک روند رو به افزایش دارد، که می‌تواند به دلیل بالا آمدن سنگ کف و کاهش ضخامت لایه آبرفتی باشد.



شکل ۱۵-۳: نمودار تغییرات مقاومت ویژه ظاهری بر حسب نصف فاصله الکترود های جریان  $AB/2$  در پروفیل  $F$

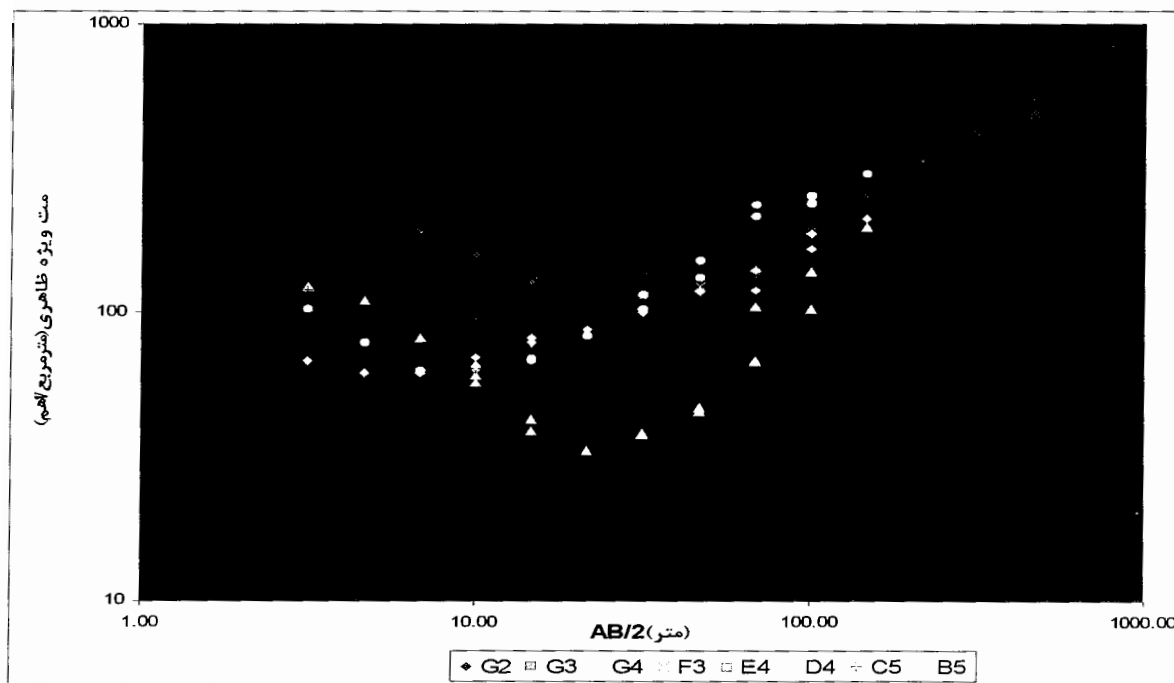
#### ۷-۲-۳ پروفیل GFEDCB

با استفاده از سوندazer های  $G2, G3, G4, E4, F3, D4, C5, B5$  پروفیلی تقریباً عمود بر پروفیلهای قبلی رسم شده است که جهت آن شرقی، غربی می باشد.



شکل ۱۶-۳: شبیه مقطع مقاومت ویژه پروفیل GFEDCB  
همانطور که در شکل ۱۶-۳ دیده می شود، سنگ کف در وسط پروفیل بالا آمده و ضخامت لایه آبرفتی کاهش نشان می دهد. کاهش مقاومت در سوندazer های  $G2, G3$  و  $G4$  ناشی از زونهای آبرفتی در

منطقه بوده نه تاثیر آلاینده ها، در حالیکه کاهش مقاومت در سوندازهای *B5* و *C5* ناشی از تاثیر محل دفن زباله بوده است، همچنین در این قسمت عمق سنگ کف افزایش داشته است(شکل ۱۷-۳).



شکل ۱۷-۳: نمودار تغییرات مقاومت ویژه ظاهری بر حسب نصف فاصله الکترود های جریان  $AB/2$  در پروفیل GFEDCB

### ۳-۳ تفسیر دستی داده ها

داده های ژئوفیزیکی منطقه مورد بررسی قبل<sup>۳۵</sup> مورد تفسیر دستی قرار گرفته اند [میرزایی ۱۳۸۲] که از این تفاسیر به عنوان مدل اولیه برای مدل سازی یک بعدی و دو بعدی استفاده شده است.

### ۳-۴ مدلسازی و تفسیر با نرم افزار IXID

نرم افزارهای مدلسازی یک بعدی مقاومت ویژه بسیارند که می توان به *VES Resix ResID* و *IXID* اشاره کرد. که در بین این نرم افزارها *IXID* [اینترپکس<sup>۳۵</sup> ۲۰۰۵] به علت کارایی و دقت بالاتر جهت مدلسازیهای یک بعدی انتخاب شده است.

نرم افزار *IXID* نسخه جدید از سری محصولات شرکت *Interpex* می باشد، که تحت سیستم عامل

<sup>35</sup> Interpex

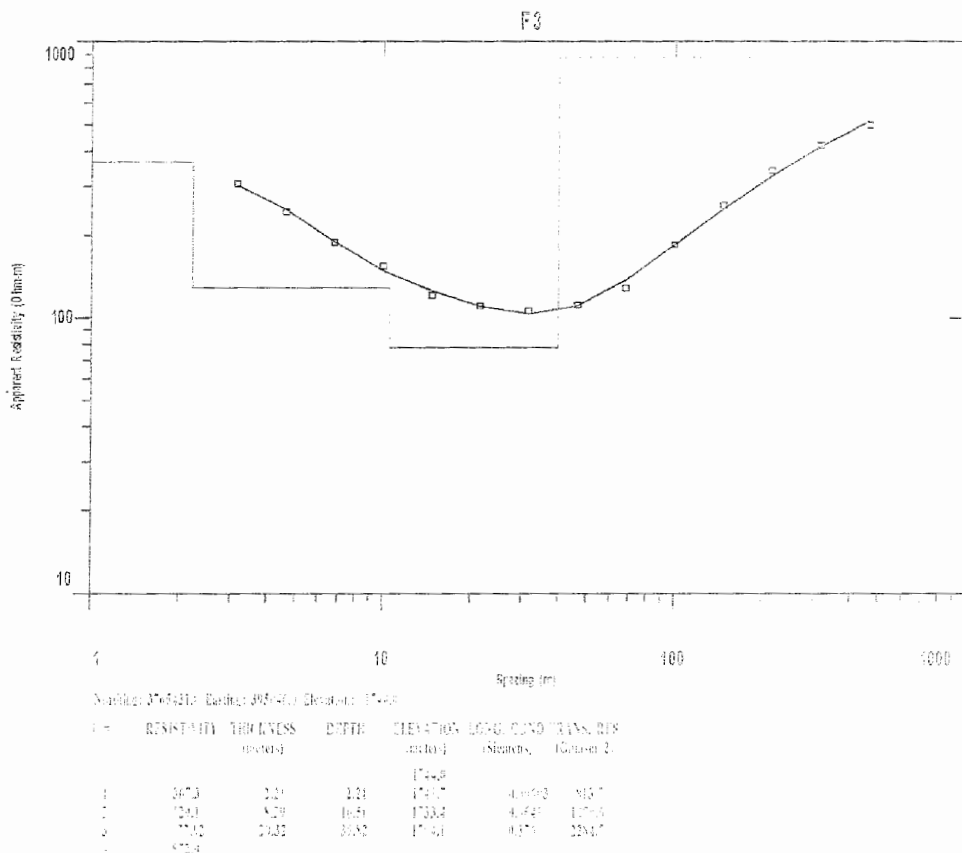
ویندوز کار می کند. این نرم افزار، نسخه تکمیلی نرم افزار ResixIp است که امکانات بیشتری در آن لحاظ شده است.

در این نرم افزار می توان به راحتی داده ها را وارد کرد. علاوه بر داده های مقاومت ویژه می توان داده های مربوط به برداشت‌های الکترومغناطیس (*MT, TEMT, EM conductivity sounding*) را به نرم افزار داد و مدل سازی نمود.

در قسمت مقاومت ویژه می توان نوع سوندazer زنی را نیز مشخص نمود. پس از ورود اطلاعات می توان مدل اولیه شامل مقاومت ویژه و ضخامت هر لایه را وارد کرد، پس از مدلسازی نیز می توان با تغییر اندازه مقاومت ویژه و ضخامت لایه ها بطور همزمان بر روی مدل به بهترین جواب ممکن با توجه به اطلاعات زمین شناسی دست یافت. همچنین در این نرم افزار می توان تمام مدلهای مشابه به مدل نمایش داده شده را مشاهده کرد و بازه تغییرات لایه ها و مقاومت ویژه را مشاهده کرد.

یکی دیگر از قابلیتهای این نرم افزار مدلسازی هموار است که به طور خودکار بر اساس داده های ورودی مدلسازی می کند که شاید چندان به مدل زمین شناسی منطقه تطابق نداشته باشد، اما خطای مدلسازی آن از مدلسازی پارامتری کمتر است. همچنین می توان در این نرم افزار مختصات سوندazerها و آزمیوت آنها را وارد کرد تا نرم افزار موقعیت سوندazerها را نسبت به هم نمایش دهد، و یک شبیه مقطع دو بعدی از داده های یک بعدی نیز به دست آورد. از طرفی این نرم افزار تمام داده های مربوط به سوندazerهای مختلف را به طور خودکار در خود با نام سوندazer مربوطه ذخیره سازی می کند.

در مدلسازی های انجام شده معمولاً لایه اول از مقاومت بالایی برخوردار است که در بعضی مکانها ناشی از لایه هوا زده سطحی و در بعضی دیگر در اثر بالا آمدن سنگ کف می باشد. به عنوان مثال در نزدیکی سوندazer *B1* بیرون زدگی سنگ کف سبب شده تا لایه اول از مقاومت بالایی برخوردار باشد. و در سوندazer *B6* در اثر هوازدگی قسمت بالایی لایه، مقاومت بالایی دارد و با افزایش فواصل سوندazer مقاومت ویژه کاهش یافته است. در شکل ۱۸-۳ نمونه ای از مدلسازیها آمده است و بقیه مدلسازیها را می توانید در پیوست ب ملاحظه کنید.



شکل ۱۸-۳: سوندایز F3 که لایه اول به علت هوازدگی قسمت سطحی به صورت دو لایه در نظر گرفته شده است، ضخامت لایه هوازده در حدود یک متر است.

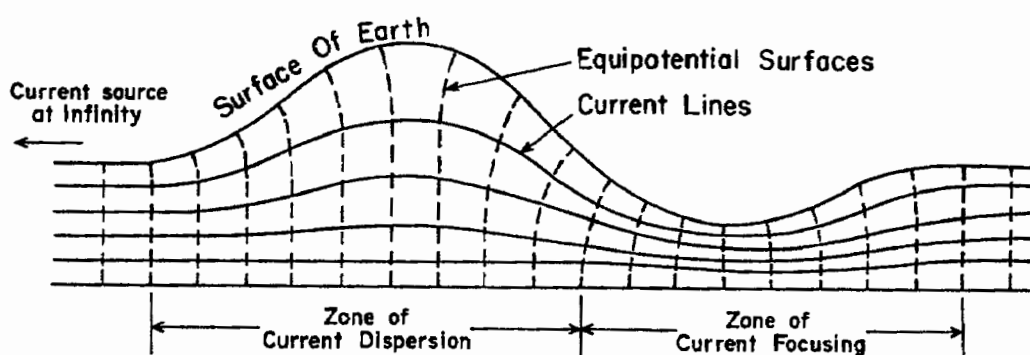
### ۳-۵ مدل سازی و تفسیر با نرم افزار Res2DINV

با توجه به وجود ۱۰ پروفیل در راستای برداشت و عمود بر راستای برداشت، داده ها در قالب ۱۰ فایل به نرم افزار RES2DINV [لوک ۲۰۰۰] داده شد و مدل های حاصل با اطلاعات زمین شناسی مقایسه گردیدند و سپس با ایجاد تغییرات در پارامتر های مختلف، مدل هایی که بیشترین انطباق را با اطلاعات زمین شناسی و مدل های یک بعدی ذکر شده داشتند، انتخاب شدند.

### ۳-۶ توپوگرافی و تصحیح اثرات آن توسط نرم افزار RES2DINV

توپوگرافی بر روی مقاومت ویژه اثر دارد، زیرا باعث تمکز جریان در زیر دره ها و واگرایی جریان در

زیر تپه ها می گردد (شکل ۱۹-۳). در نتیجه باعث انحراف خطوط هم پتانسیل می شود. از این رو می تواند باعث ایجاد آنومالی کاذب شود و یا ممکن است باعث پوشش<sup>۳۶</sup> اثر یک آنومالی واقعی گردد [فوکس و همکارانش، ۱۹۸۰]. بنابراین زمانی که توپوگرافی شدید باشد بایستی اثرات آن را تصحیح کرد. نرم افزار RES2DINV با استفاده از روش اجزاء محدود تصحیح توپوگرافی را انجام می دهد و زمانی که فایل داده شده به آن حاوی اطلاعات مربوط به توپوگرافی منطقه باشد، بطور پیش فرض روش المان محدود را بکار خواهد برد. چرا که این روش مدل سازی را در موقعی که تغییرات شدید توپوگرافی وجود داشته باشد با دقت بیشتری انجام می دهد.



شکل ۱۹-۳: تاثیر توپوگرافی بر روی سطوح هم پتانسیل و خطوط جریان [فوکس و همکارانش، ۱۹۸۰]

### ۷-۳ تفسیر نتایج مدل سازی های یک و دو بعدی

در این بخش به بررسی و تفسیر نتایج مدل سازی پرداخته شده است. از آنجا که عملکرد گسل باعث جابجا شدن لایه ها می گردد و در نتیجه تغییرات ناگهانی در مقاومت ویژه مشاهده می گردد، در شبه مقاطع دو بعدی حاصل از کنار هم قرار دادن نتایج مدل سازی یک بعدی سوندazer های هر پروفیل هر جا که جابجایی در لایه ها دیده شده و یا اینکه با تغییرات قابل ملاحظه (شدید) مقاومت ویژه در راستای جانبی مواجه بودیم محل های احتمالی یا شکستگیها ارتباط داده شده و با خط چین سیاه رنگ مشخص شده است. در ادامه قسمتی از پروفیلهای سوندazerها همراه با تفسیر آن آمده است، و بقیه در پیوست ب گنجانده شده است.

<sup>36</sup> Mask

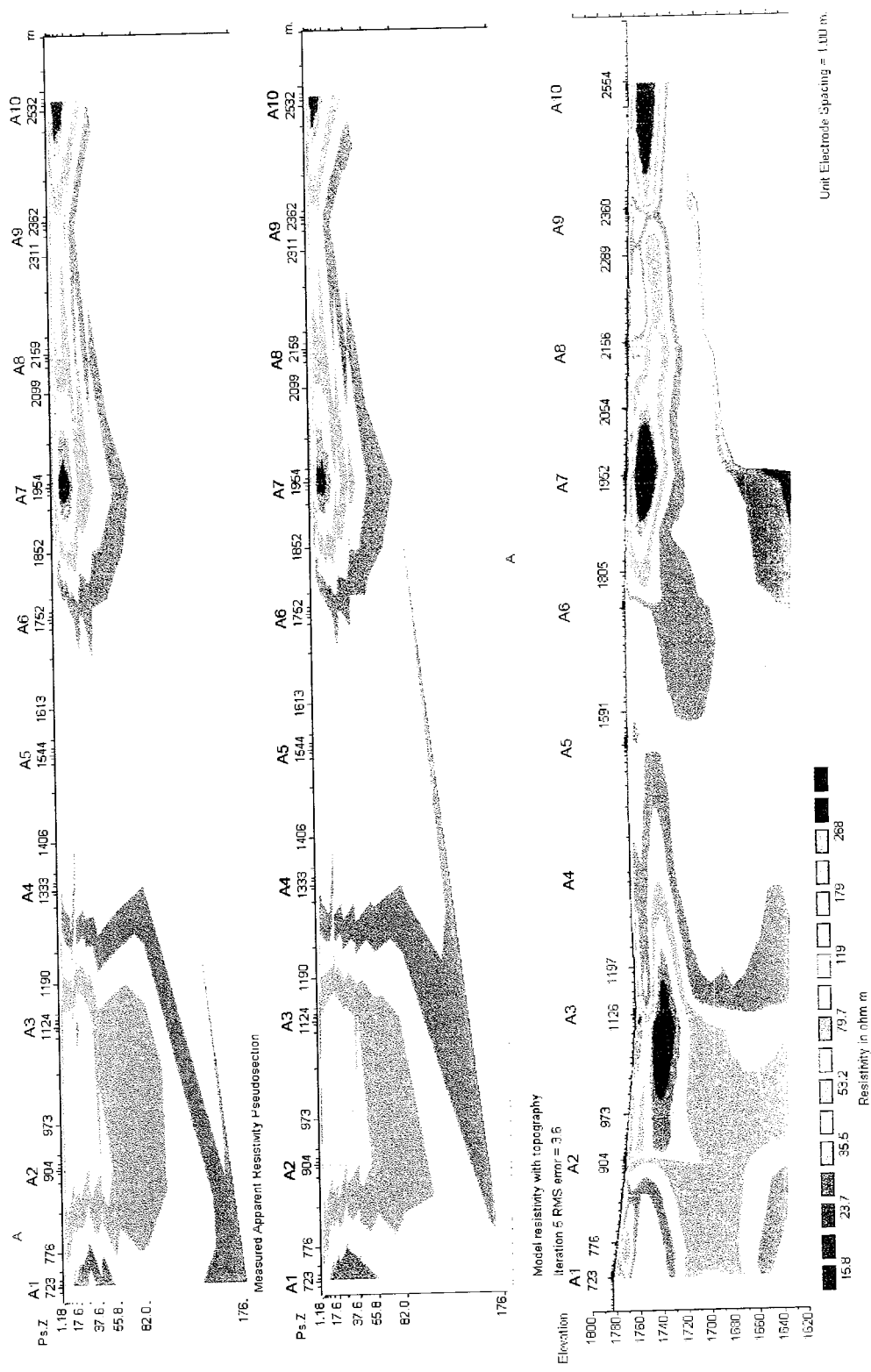
### ۱-۷-۳ پروفیل A

این مقطع (شکل ۲۰-۳) از نتایج سوندazهای  $A_5, A_4, A_3, A_2, A_1, A-0, A-1, A-2, A-3$ ،  $A_1, A_2, A_3, A_4, A_5$  و  $A_6, A_7, A_8, A_9$  و  $A_{10}$  (۱۴ سوندaz) رسم شده است. لایه های تفکیک شده بر اساس جنس آنها عبارت است از:

الف) لایه آبرفتی ماسه ای شنی: حداکثر ضخامت این رسوبات آبرفتی ۱۹۰ متر در محل سوندaz  $A_1$  و حداقل آن ۱۰ متر در محل سوندaz  $A_3$  است. مقاومت ویژه آن از حداقل ۲۵ اهم متر در محل سوندaz  $A_{10}$  تا حداقل ۱۵۰ اهم متر در محل سوندazهای  $A_4$  و  $A_5$  متغیر است.

ب) لایه اسلیت آهکی: لایه اسلیت آهکی دارای حداکثر ضخامت حدود ۶۰ متر به سمت سوندazهای  $A_4$  و  $A_5$  و حداقل ضخامت برابر ۲۰ متر به سمت سوندaz  $A-0$  و در محل سوندaz  $A_1$  است. مقاومت ویژه آن از حداقل ۹۰ اهم-متر در محل سوندaz  $A_1$  تا حداقل ۳۰۰ اهم-متر در محل سوندaz  $A_{10}$  تا  $A_8$  متغیر است. لازم به توضیح است این لایه سنگ کف آبرفتها را در محدوده سوندazهای  $A_1$  تا  $A_8$  تشکیل می دهد.

پ) لایه دیوریتی و سنگ آهک متببور: این لایه عمدتاً قاعده اسلیت های آهکی را از محل سوندaz  $A_1$  تا  $A_{10}$  (به سمت جنوب شرق) تشکیل می دهد. مقاومت لایه دیوریتی بالاتر از ۴۰۰ اهم متر است اما لایه سنگ آهک متببور از ۴۰۰ تا ۹۰۰ اهم متر تغییرات دارد.



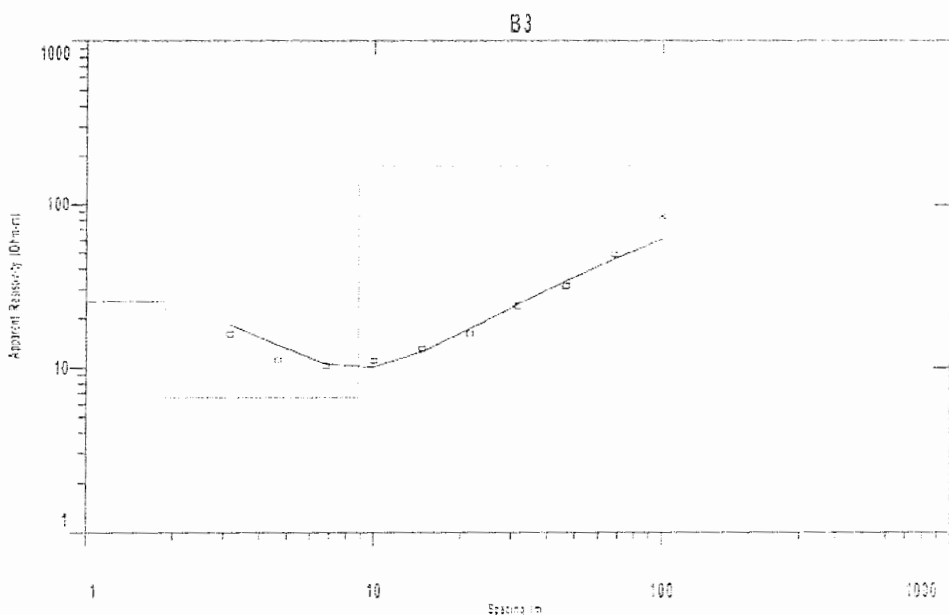
شکل ۳-۰۲: مدل دو بعدی بروفل A همراه شبه مقطع مقاومت ویژه ظاهری حاصل از مدل و داده های صحرابی

### ۲-۷-۳ پروفیل B

شکل ۲۱-۳ مدل یک بعدی سونداز B3 را که با نرم افزار IXID تهیه شده است، نشان می دهد. نتایج حاصل از مدلسازی دو بعدی پروفیل B در شکل ۲۲-۳ نشان داده شده است. مقطع نشان داده شده در شکل ۲۲-۳ از نتایج سوندازهای B1 ، B2 ، B3 ، B4 ، B5 و B7 رسم شده است. لایه های تفکیک شده بر اساس جنس لایه ها عبارت است از :

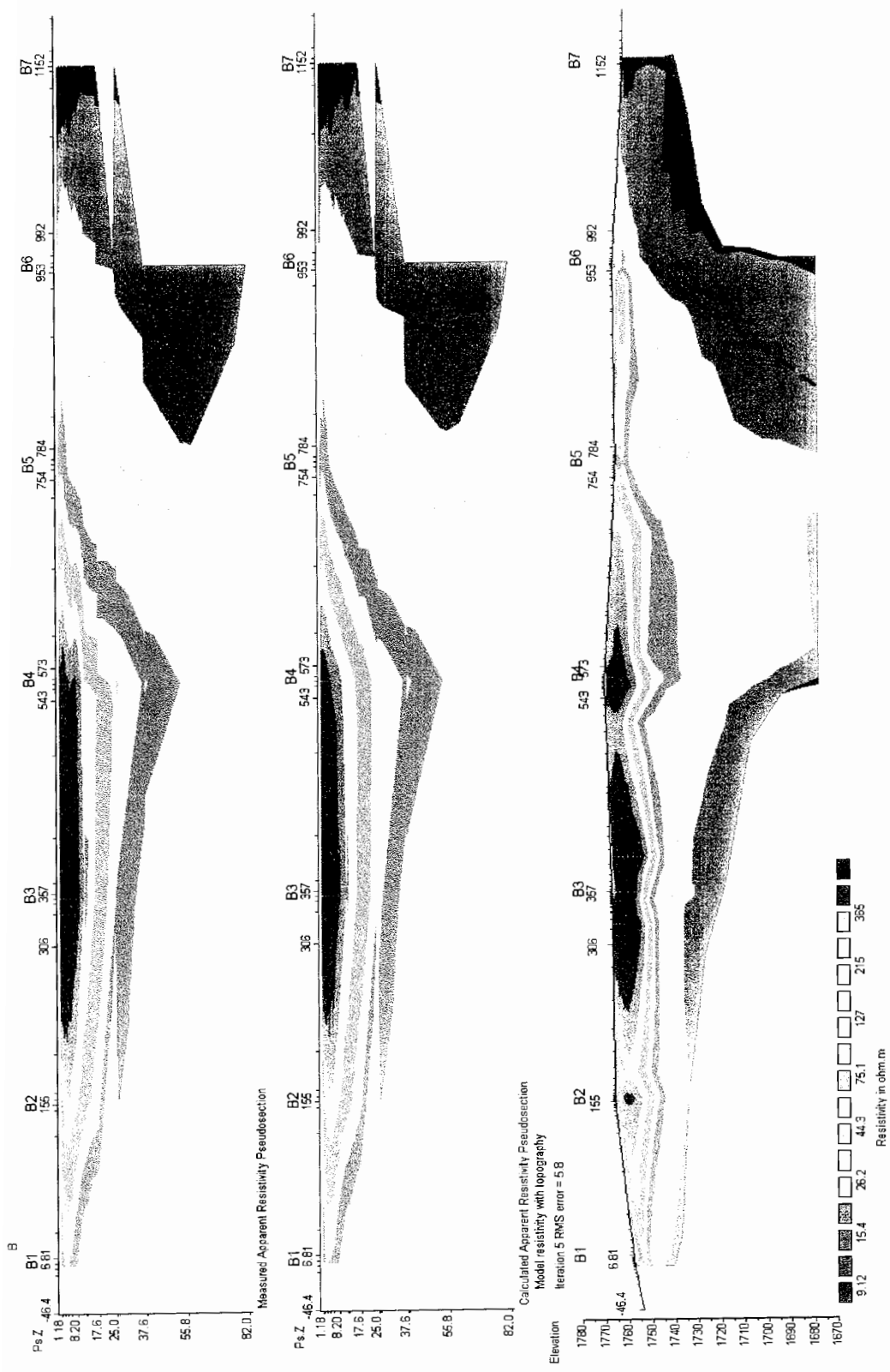
لایه آبرفتی ماسه ای شنی: این لایه دارای حداکثر ضخامت حدود ۱۲ متر در محل سونداز B2 بوده و حداقل ضخامت آن حدود ۳ متر در محل سونداز B7 است. مقاومت ویژه آن از حداقل ۱۰ اهم- متر در محل سونداز B3 تا ۲۹۰ اهم- متر در محل سونداز B6 متغیر است.

لایه سنگ کف اسلیت آهکی و دیوریتی: قاعده آبرفتهای مقطع مورد نظر را در محل بین سونداز B5 و B6 و محل سونداز های B2 و B1 را با کنタکت گسلی توده نفوذی دیوریتی با مقاومت حداقل ۲۶۰ اهم متر تا حداکثر ۶۰۰ اهم متر و قاعده آبرفت ها را در محل سونداز های B2 تا B5 اسلیت آهکی با حداقل مقاومت ویژه ۱۲۰ اهم- متر و حداکثر ۱۸۰ اهم- متر تشکیل داده است. بدیهی است حداقل عمق سنگ کف در منطقه حدود ۳ متر در محل سونداز B7 و حداکثر عمق آن در محل سونداز B2 برابر ۱۲ متر است.



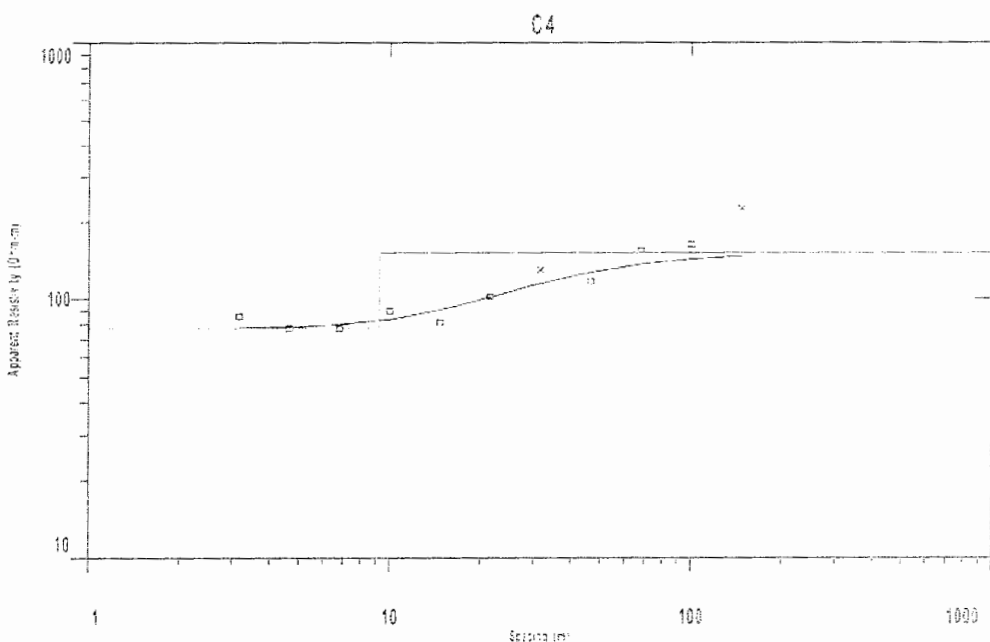
شکل ۲۱-۳: مدل یک بعدی سونداز B3 با استفاده از نرم افزار IXID

شکل ۳-۲۳: مدل دوبعدی بروفیل B همراه شبه مقطع مقاومت و پرده ظاهری حاصل از مدل و داده‌های صحرایی



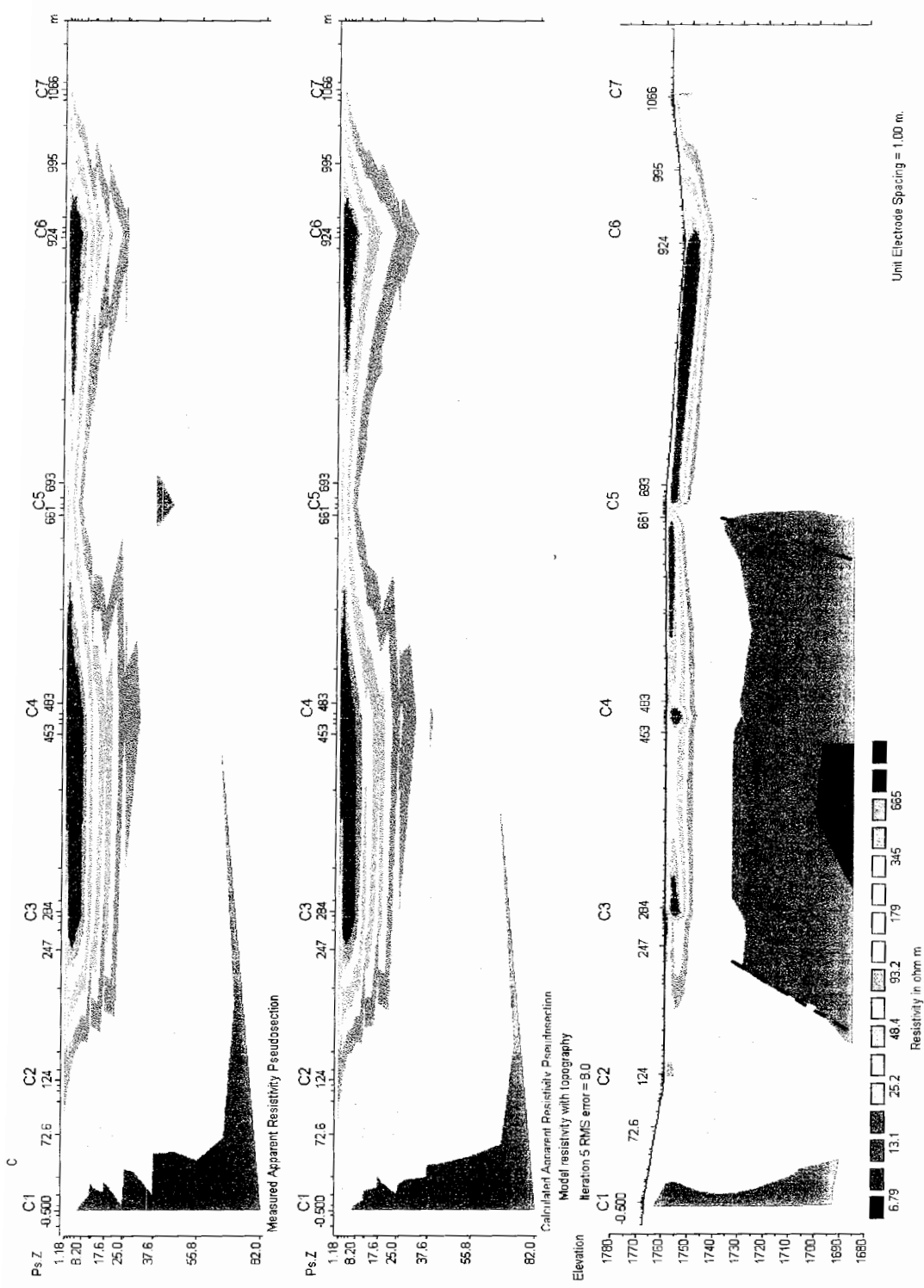
### ۳-۷-۳ پروفیل C

این مقطع (شکل ۲۴-۳) از نتایج سوندazerهای  $C1$ ,  $C2$ ,  $C3$ ,  $C4$ ,  $C5$ ,  $C6$  و  $C7$  رسم شده است. لایه های تفکیک شده بر اساس جنس لایه ها عبارت است از: لایه آبرفتی ماسه ای شنی: متوسط ضخامت آن حدود ۱۰ متر و حداقل ضخامت آن ۳ متر در محل سونداز  $C7$  می باشد. مقاومت ویژه آن از حداقل ۱۸ اهم متر در محل سوندazerهای  $C6$  و  $C7$  کمتر است. آن ۲۷۰ اهم متر در محل سونداز  $C1$  متغیر است. لایه سنگ کف اسلیت آهکی و دیوریتی: قاعده آبرفتها را در محل سونداز  $C3$  و  $C4$  آهک اسلیتی با طیف مقاومتی ۱۳۰ تا ۱۶۰ اهم متراست. در محل سوندazerهای  $C3$  و  $C5$  شکستگی وجود دارد که تغییرات مقاومت آن از ۳۰۰ اهم-متر تا ۶۰۰ اهم-متر است.



شکل ۲۳-۳: مدل یک بعدی سونداز  $C4$  با استفاده از نرم افزار IXID

شکل ۳-۴: مدل دوبعدی بروفیل C همراه شبه مقطع مقاومت و پژوه ظاهروی حاصل از مدل و داده های صحرایی



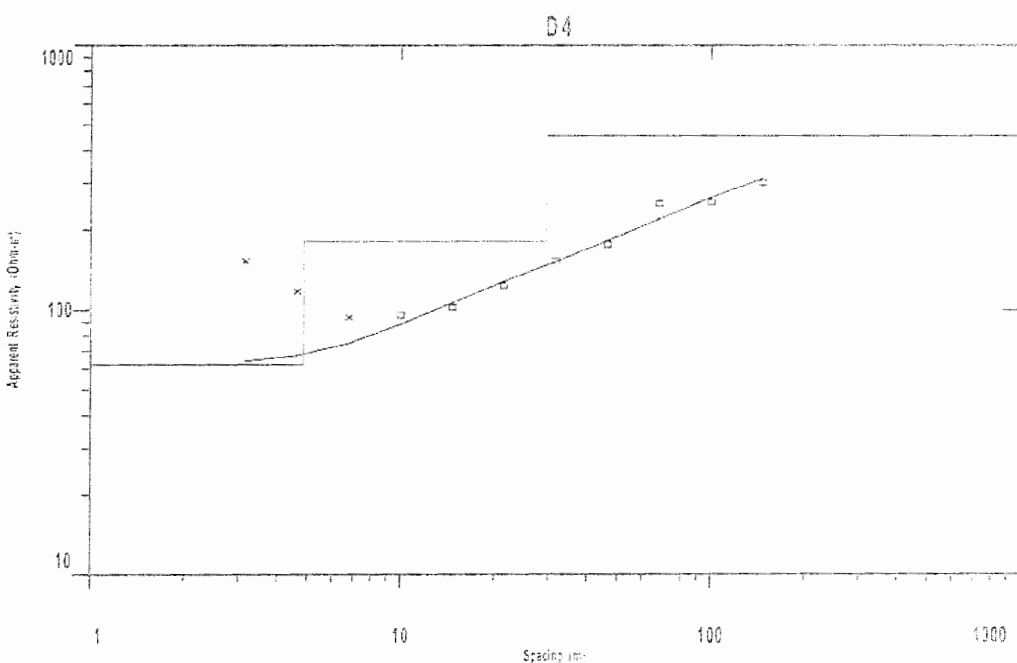
#### ۴-۷-۳ پروفیل D

این مقطع (شکل ۲۶-۳) از نتایج سوندazerهای  $D_1$ ،  $D_2$ ،  $D_3$ ،  $D_4$  و  $D_5$  رسم شده است لایه های تفکیک شده بر اساس جنس لایه ها عبارت است از :

لایه آبرفتی ماسه ای شنی : ضخامت متوسط آن ۷ متر می باشد و حداقل ضخامت آن یک متر در محل سونداز های  $D_1$  و  $D_2$  است مقاومت ویره آن از حداقل ۲۰ اهم متر در محل سونداز  $D_3$  تا حداقل ۶۰ اهم متر در سونداز  $D_4$  متغیر است.

لایه اسلیت آهکی : این لایه سنگ کف آبرفتی فوق را تشکیل می دهد حداقل مقاومت آن ۵۵ اهم متر در محل سونداز  $D_3$  و حداقل مقاومت آن ۳۶۰ اهم متر در محل سونداز  $D_4$  است. این لایه در محل بین سونداز های  $D_2$  و  $D_3$  و  $D_4$  و  $D_5$  همچنین محل بین  $D_4$  و  $D_5$  گسلی است.

لایه دیوریتی: قاعده اسلیت آهکی را در عمق متوسط ۲۵ متری دیوریت تشکیل داده که گسله می باشد و مقاومت آن از حداقل ۵۰۰ اهم متر در محل سونداز های  $D_2$  و  $D_5$  و حداقل ۷۰۰ اهم متر در محل سونداز  $D_4$  متغیر است.



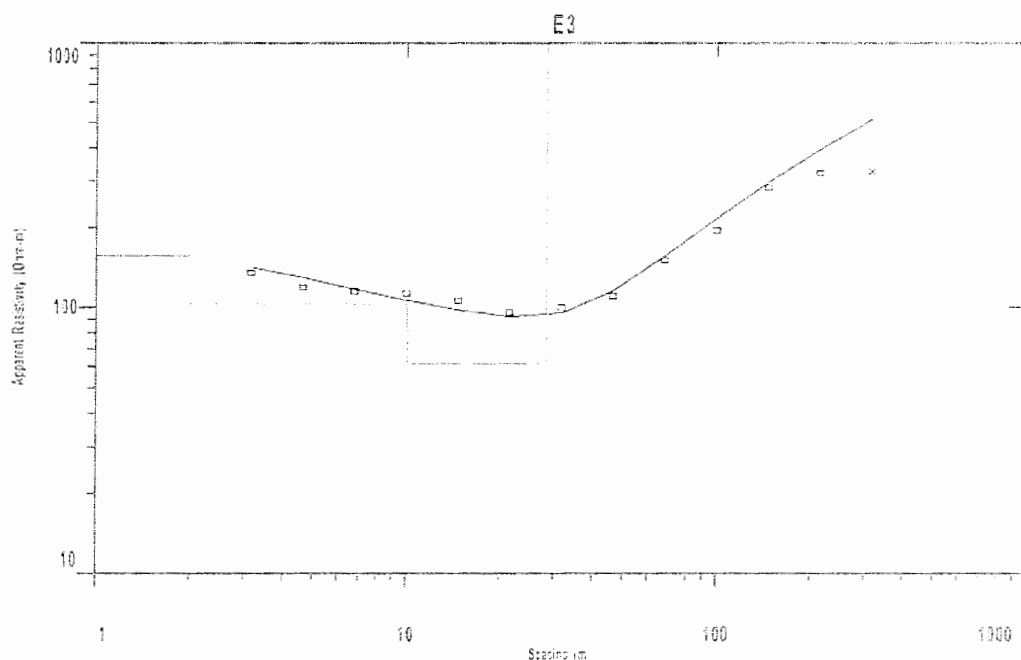
شکل ۲۵-۳: مدل یک بعدی سونداز  $D_4$  با استفاده از نرم افزار *IXID*



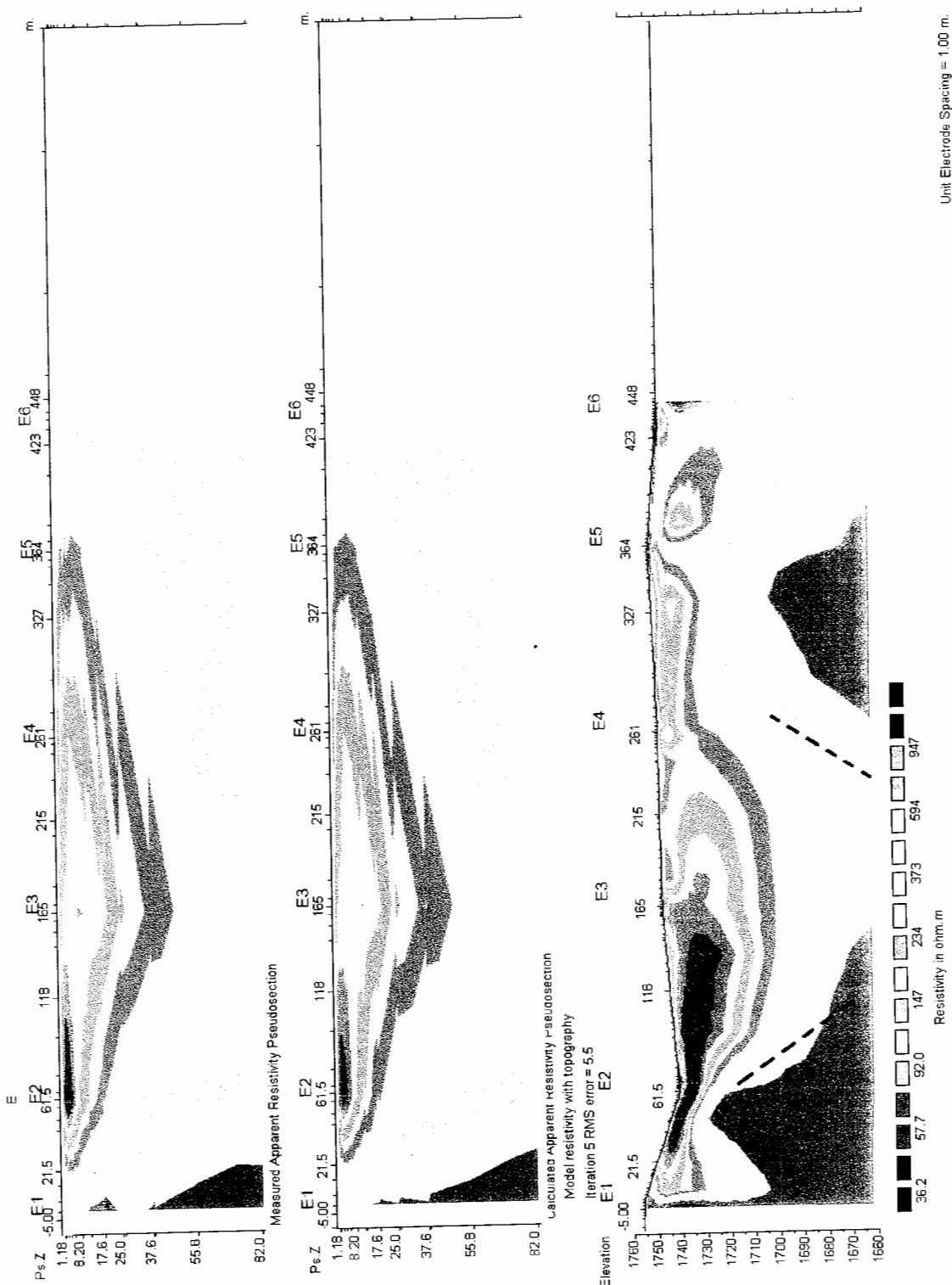
شکل ۳-۶-۲: مدل دوبعدی پروفیل D همراه شبه مقطع مقاومت و بروز ظاهری حاصل از مدل و داده های صحرابی

### ۵-۷-۳ پروفیل E

این مقطع (شکل ۲۸-۳) از نتایج سوندازهای  $E1$ ،  $E2$ ،  $E3$ ،  $E4$  و  $E5$  (شکل ۲۷-۳) رسم شده است لایه های تفکیک شده بر اساس جنس لایه ها عبارت است از:  
لایه آبرفتی ماسه ای شنی: ضخامت متوسط آن ۱۰ متر و مقاومت ویژه آن از حداقل ۴۶ اهم متر در محل سونداز  $E2$  تا حداقل ۳۵۰ اهم-متر در محل سونداز  $E1$  متغیر است.



شکل ۲۷-۳: مدل یک بعدی سونداز  $E3$  با استفاده از نرم افزار *IXID*



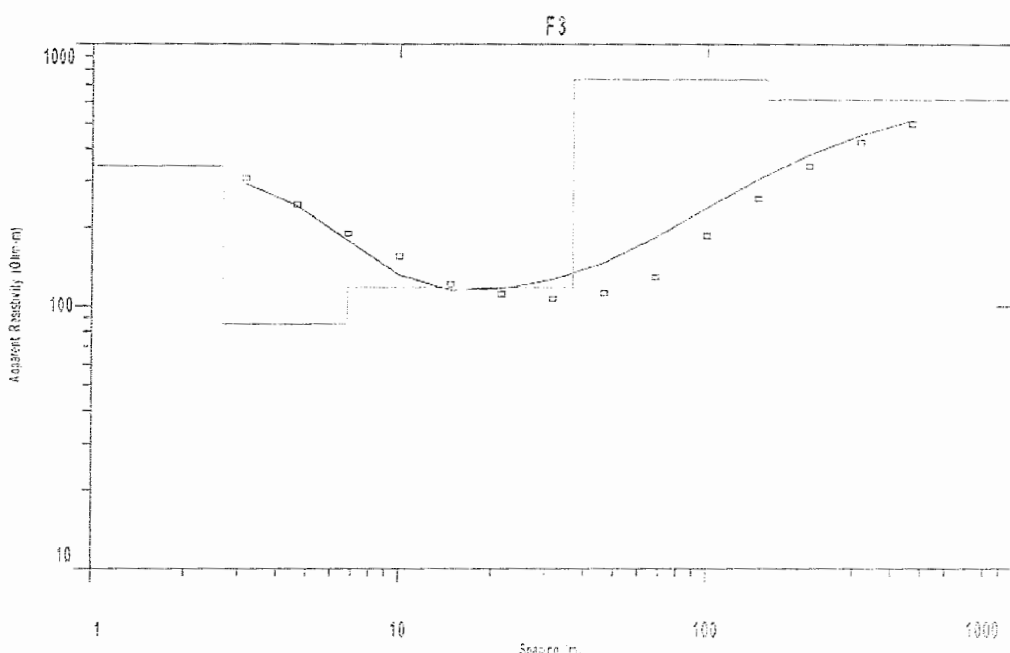
شکل ۳-۲۸: مدل دو بعدی پروفیل  $E$  همراه شبه مقطع مقاومت و پژوهه ظاهری حاصل از مدل و داده های صحابی

**لایه اسلیتی و دیوریتی :** این لایه سنگ کف آبرفت های منطقه را در عمق متوسط ۱۰ متری شامل می شود. مقاومت آن از حداقل ۷۰ اهم متر در محل سوندazer E3 تا حداکثر ۶۲۰ اهم متر متغیر است در محل سوندazer های E1 تا E3 و E5 و همچنین E6 سنگ کف آبرفت های فوق را دیوریت با حداقل مقاومت ویژه ۱۱۰۰ اهم متر در محل سوندazer E2 تا حداکثر ۱۸۰۰ اهم متر در محل سوندazer E1 تشکیل داده است.

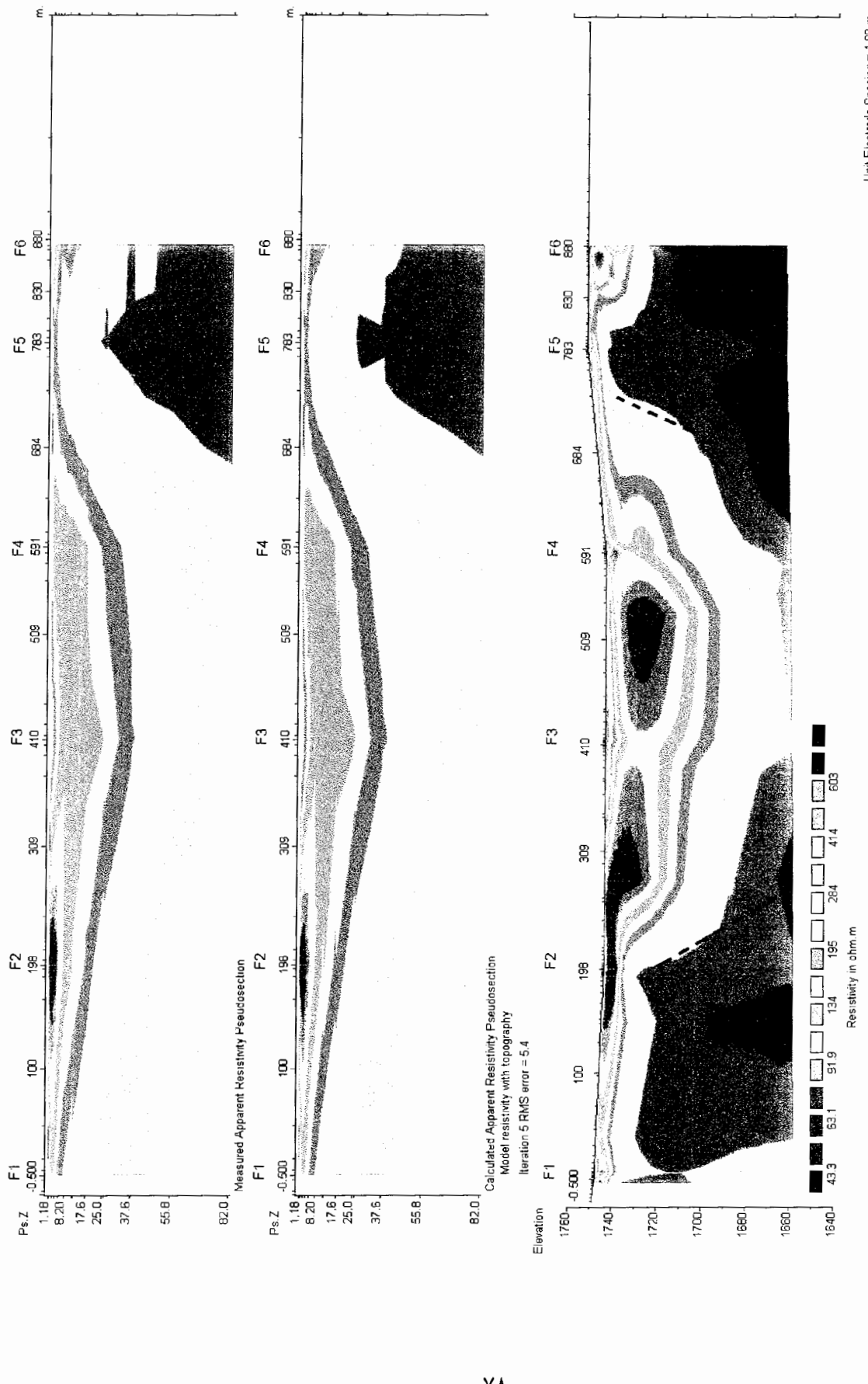
**لایه آهک اسلیتی :** قاعده اسلیت ها و دیوریت ها را آهک در عمق متوسط ۲۵ متر شامل می شود. مقاومت ویژه آن از حداقل ۳۶۰ اهم متر در محل سوندazer E6 تا حداکثر ۱۲۰۰ اهم متر در محل سوندazer E3 متغیر است.

### F-۷-۳ پروفیل

این مقطع (شکل ۲۹-۳) از نتایج سوندazer های F1 ، F2 ، F3 ، F4 ، F5 ، F6 و F7 (شکل ۲۹-۳) ترسیم شده است لایه های تفکیک شده بر اساس جنس لایه ها عبارت است از :  
**لایه آبرفتی ماسه ای شنی :** ضخامت متوسط آن ۱۰ متر و مقاومت ویژه آن از حداقل ۵۰ اهم- متر در محل سوندazer F2 تا حداقل ۱۲۰ اهم- متر در محل سوندazer F5 متغیر است.



شکل ۲۹-۳: مدل یک بعدی سوندazer F3 با استفاده از نرم افزار IXTD



شکل ۳-۳۰: مدل دو بعدی بروفیل  $F$  همراه شبه مقطع مقاومت و پرده ظاهری حاصل از مدل و داده های صحرابی

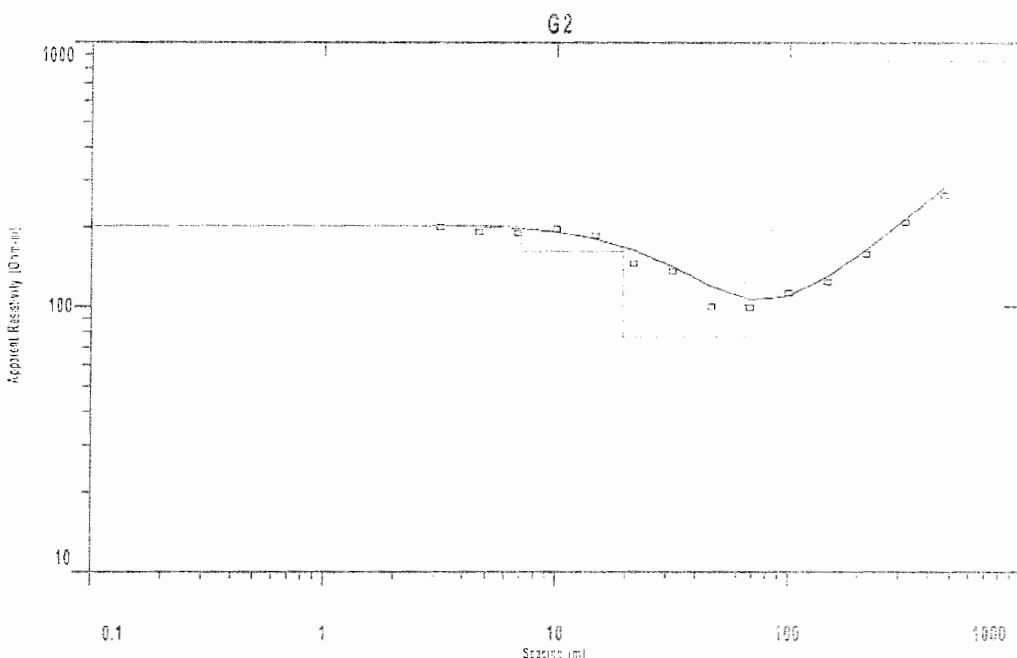
لایه اسلیت آهکی: این لایه سنگ کف آبرفت های مورد نظر را شامل می شود ضخامت متوسط آن ۳۰ متر و مقاومت ویژه آن از حداقل ۱۲۰ اهم-متر تا حداکثر ۴۶۰ اهم-متر در محل سونداز  $F1$  متغیر است.

لایه دیوریتی: قاعده اسلیت های آهکی را توده نفوذی دیوریتی شامل شده که در عمق ۴۰ متری قرار دارد حداقل مقاومت آن ۵۲۰ اهم متر در محل سونداز  $F4$  و حداکثر مقاومت آن ۹۰۰ اهم متر در محل سونداز  $F2$  است در کل لایه های مورد نظر گسل خورده می باشد ضمناً اسلیت آهکی قاعده دیوریتها را نیز شامل شده و به نظر می رسد توده نفوذی در داخل اسیلت ها نفوذ کرده است.

### ۷-۷-۳ پروفیل $G2$

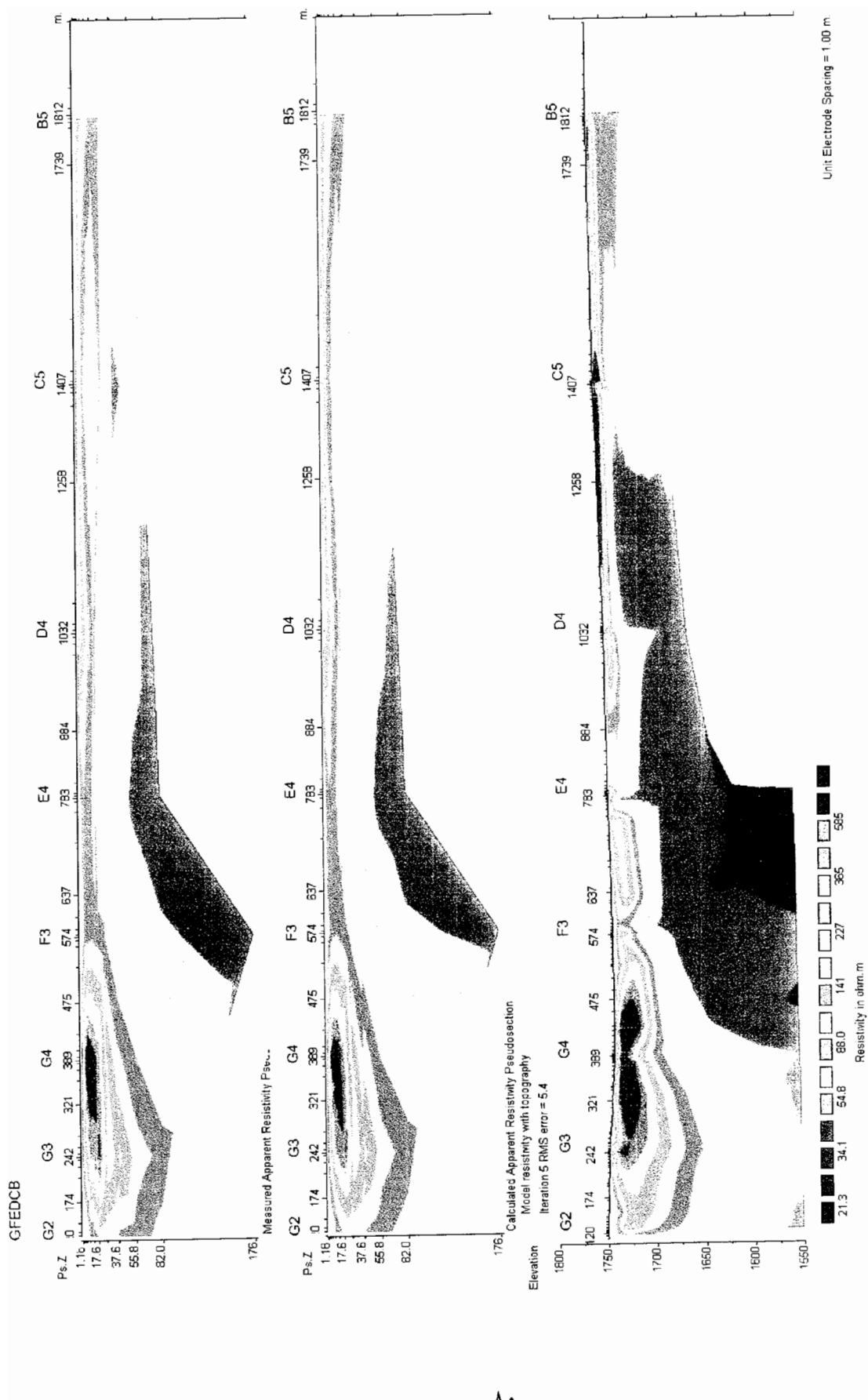
این مقطع (شکل ۳۲-۳) از نتایج سوندازهای  $G1$ ،  $G2$ ،  $G3$  و  $G4$  (شکل ۳۱-۳) ترسیم شده است لایه های تفکیک شده بر اساس جنس لایه ها عبارت از:

لایه آبرفتی ماسه ای شنی: این لایه دارای حداقل ضخامت ۴۰ متر در محل سونداز  $G4$  و حداکثر ضخامت ۱۴۰ متر در محل سونداز  $G1$  است مقاومت ویژه آن از حداقل ۳۵ اهم-متر در محل سونداز  $G4$  تا حداکثر ۱۳۰ اهم-متر در محل سونداز  $G1$  متغیر است.



شکل ۳۱-۳: مدل یک بعدی سونداز  $G2$  با استفاده از نرم افزار  $LXID$

شکل ۳-۳۲: مدل دو بعدی پروفیل C همراه شبه مقطع مقاومت ویره ظاهری حاصل از مدل و داده های صحرابی



لایه اسلیت آهکی: سنگ کف آبرفت های فوق را شامل شده که عمق آن در محل سوندazer G1 در ۱۴۰ متری و به سمت سوندazer G4 کم شده و به ۴۰ متری می رسد. مقاومت ویژه آن از حداقل ۹۰ اهم-متر در محل سوندazer G4 تا حداقل ۳۰۰ اهم متر در محل سوندazer G1 متغیر است.

لایه دیوریتی: این توده نفوذی قاعده اسلیت های آهکی را شامل شده که مقاومت ویژه آن از حداقل ۵۰۰ اهم متر در محل سوندazer G4 تا حداقل ۹۰۰ اهم-متر در محل سوندazer G1 شامل می شود.

### ۸-۳ مدل شبیه سه بعدی محل دفن زباله ها

برای اینکه بتوان روند تغییرات داده های مقاومت ویژه را در محل دفن زباله ها با توجه به داده های مدلسازی دو بعدی بهتر مشخص کرد، با استفاده مدلهای دو بعدی پروفیلهای B, C, D, E و F شبیه مقطع سه بعدی از منطقه با استفاده از نرم افزار Rockwork2004 [راک ویر<sup>۳۷</sup> ۲۰۰۴] ارائه شد، تا روند تغییرات مقاومت ویژه که نشان دهنده ساختارهای مختلف زمین شناسی محل دفن و همچنین شمای کلی از آن ساختارها می باشد را به تصویر بکشد.

روند کار به این صورت بود که مدلهای دو بعدی حاصل از پروفیلهای ذکر شده در بالا توسط نرم افزار Res2DINV به شکل رقومی در آورده شدند. داده های رقومی شده به فرمت XYZ ذخیره شدند و با استفاده از نرم افزار Excel داده های پروفیلهای مختلف با توجه به مختصات پروفیلها در یک فایل قرار گرفتند. سپس این فایل به عنوان ورودی به نرم افزار Rockwork2004 داده شد که توسط این نرم افزار مدل شبیه سه بعدی داده ها (شکل ۳۳-۳) حاصل گردید. با استفاده از این نرم افزار مقاطع عمودی (شمالي-جنوبی یا شرقی-غربی) یا افقی نیز حاصل شد که در زیر بعضی از این مقاطع آورده شده اند. با بررسی این شبیه مقطع سه بعدی (۰) به طور وضوح مکانهای با مقاومت ویژه پایین که بین ۰ تا ۳۰ اهم-متر متغیر می باشند، با رنگهای آبی پررنگ دیده می شوند که این مکانها تشکیلات دانه ریز رسی می باشند که به نظر می رسد شیرابه های تشکیل شده در آنها جذب شده و تا حدی باعث پایین آمدن مقاومتهای ویژه در این نواحی گردیده اند که بیشتر در محل دفن زباله ها قرار می گیرند. در محل سوندazerهای B2, B3, B4, B5, B6, C5 و D4 به وضوح این مقاومتهای پایین دیده می شوند.

<sup>۳۷</sup> Rockware

با نگاه در عمق که در دیواره های مقطع رویت می شود ناپیوستگیها با تغییر مقاومتهای ویژه موضعی، به وضوح مشاهده و تفسیر می گردد.



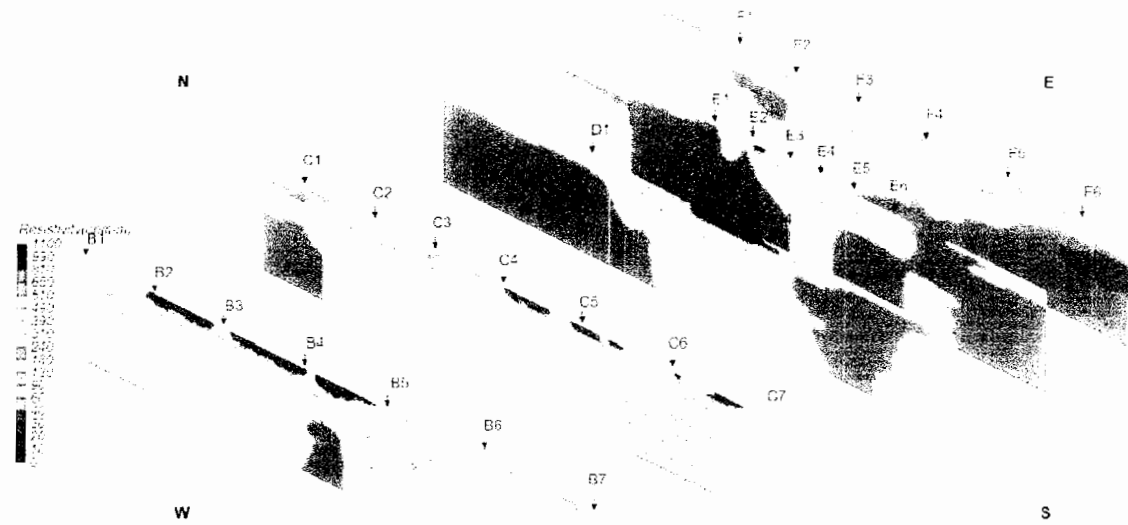
شکل ۳۳-۳: مدل شبیه سه بعدی از محل دفن زباله های شهر اراک

در شکل ۳۴-۳ که با استفاده از نرم افزار Rockwork2004 تهیه شده است، حجم آبرفتی که در محل دفن زباله ها قرار دارد و دارای محدوده مقاومتی ۱۰ تا ۱۰۰ اهم - متر است، نشان داده شده است، که این نرم افزار حجم آن را ۱۰،۰۰۰،۰۰۰ متر مکعب برآورد کرده است.

با استفاده از نرم افزار Rockwork2004 شبیه مقطع دو بعدی در مکان پروفیلها زده شد. که در شکل ۳۵-۳ ملاحظه می کنید. با ملاحظه این مقاطع عرضی استخراج شده، مناطق آلوده شده رسی که عمق آنها کمتر از ۲۰ متر می باشد باز به وضوح در مقطع عرضی *B* در محل سوندازهای *B2*, *B3* و *B4* و همینطور در مقطع *C* در محل سوندازهای *C4* و *C5* و در مقطع عرضی *D* در محل سوندازهای *D3* و *D4* رویت می باشند. در شکل ۳۵-۳ شکستگیها به طور کیفی، به شکل ناپیوستگیهای مقاومت ویژه ظاهری مشاهده می گردد.



شکل ۳۴-۳: حجم تقریبی آبرفت در محل دفن زباله های ارak



شکل ۳۵-۳: محل مقطع تقریبی پروفیلهای که از مدل شبیه سه بعدی به دست آمده است

### ۹-۳ عمق سنگ کف

از روی مقاطع هم عمق (افقی) تهیه شده در سطح محل دفن زباله (شکل ۳۶-۳) می‌توان ترکیبات دانه ریز رسی همراه با شیرابه‌های جذب شده در آن را با رنگهای آبی تنید ( مقاومتهای کمتر از ۳۰ اهم متر)، مشاهده نمود. مقطع افقی دوم در عمق ۲۰ متر انتخاب شده است که ناپدید شدن نواحی کم عمق رسی را نشان می‌دهد، که قبلاً ذکر شد. عمق سنگ کف در محل دفن زباله‌ها کمتر از ۲۰ متر می‌باشد که در اینجا به خوبی نبود تشکیلات دانه ریز و آلووده شده را نشان می‌دهد.

سایر مقاطع، تشکیلات مختلف سنگ بستر را نشان می‌دهد. که منعکس کننده ترکیبات آهکی مختلف با مقاومت ویژه متفاوت می‌باشد. همچنین از سطح به عمق مقاومت تشکیلات سنگ کف افزایش می‌یابد.

### ۱۰-۳ مدلسازی و تفسیر با استفاده از نرم افزار *RES3DINV*

از آنجا که تمام ساختارهای زمین شناسی در طبیعت سه بعدی هستند، برداشت سه بعدی و تفسیر مدل سه بعدی آن از لحاظ تئوری می‌تواند نتایج دقیق تری را به همراه داشته باشد [لوک ۲۰۰]. برداشت سه بعدی و تفسیر آن برای یک منطقه بسیار وسیع هزینه بالایی دارد. بنابراین برداشت سه بعدی به اندازه برداشت‌های دو بعدی و یک بعدی رایج نمی‌باشد.

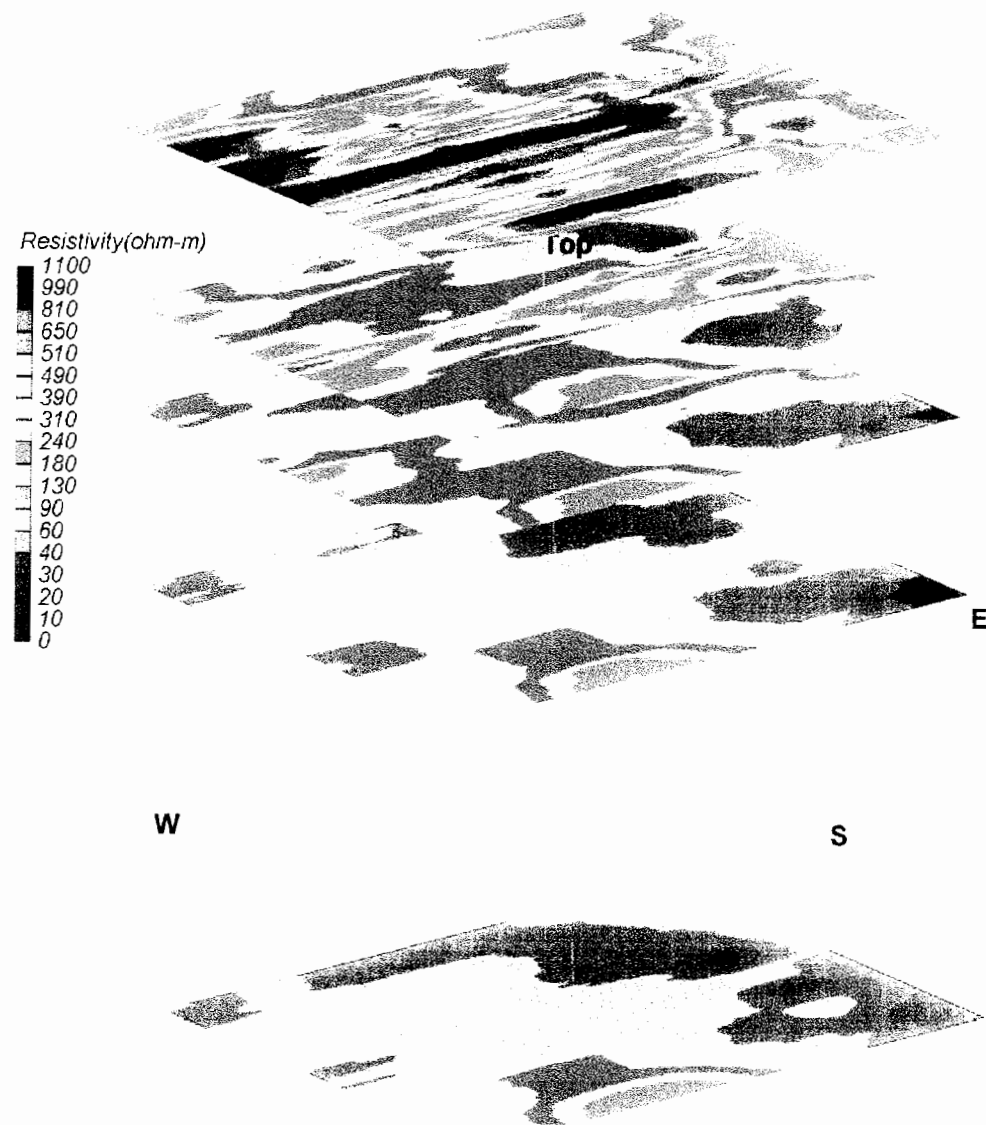
برای مدلسازی سه بعدی داده‌های برداشت شده، از نرم افزار *Res3DINV* استفاده شده است. نرم افزار *RES3DINV* یک نرم افزار مدلسازی سه بعدی است که می‌تواند داده‌های برداشت شده سه بعدی مقاومت ویژه را به صورت سه بعدی مدلسازی کند [لی و اولدنبرگ ۱۹۹۲<sup>۳۸</sup>]. البته باید توجه داشت که با استفاده از این نرم افزار می‌توان داده‌های یک بعدی و دو بعدی را نیز مدلسازی نمود اما دقیق آن از داده‌های برداشت شده سه بعدی کمتر است.

در ادامه روند مدلسازی سه بعدی داده‌ها شرح داده شده است.

### ۱۰-۱ آرایه‌های مورد استفاده در برداشت سه بعدی

آرایه‌های قطبی-قطبی، قطبی-دوقطبی و دوقطبی-دوقطبی معمولاً برای برداشت‌های سه بعدی

مورد استفاده قرار می گیرند زیرا بقیه آرایه ها پوشش ضعیفی در شبکه برداشت دارند. در شکل ۳۷-۳ نمونه هایی از برداشت‌های سه بعدی نشان داده شده است.

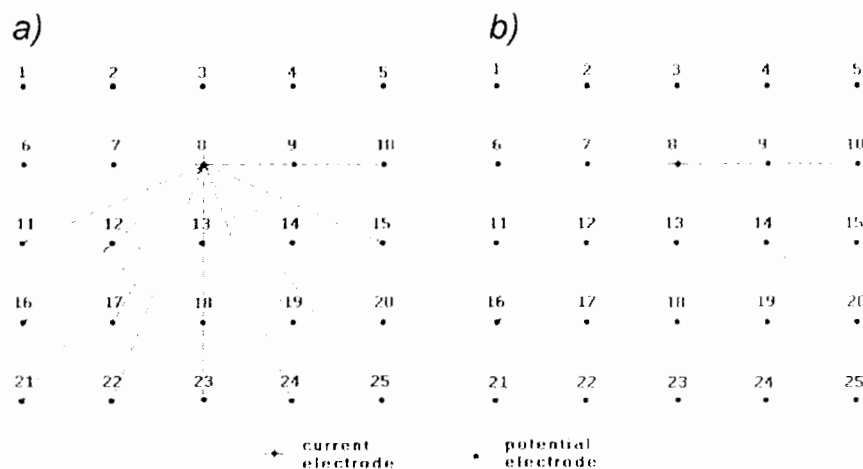


شکل ۳۶-۳: مقاطع افقی از شبه مقطع سه بعدی که تغییرات مقاومت ویژه را با افزایش عمق نشان می دهد.

---

<sup>38</sup> Li and Oldenburg

شکل ۳-۷-۳ نمونه ای از آرایش برداشت سه بعدی با استفاده از الکترودهای چندگانه با ۲۵ نقطه را نشان می دهد. برای راحتی کار معمولاً الکترودها در یک شبکه مربعی مانند شکل ۳-۸-۳ با فواصل یکسان در راستاهای  $x$  و  $y$  در نظر گرفته می شوند. البته می توان از یک شبکه با فواصل الکترودی غیر یکسان نیز استفاده نمود.

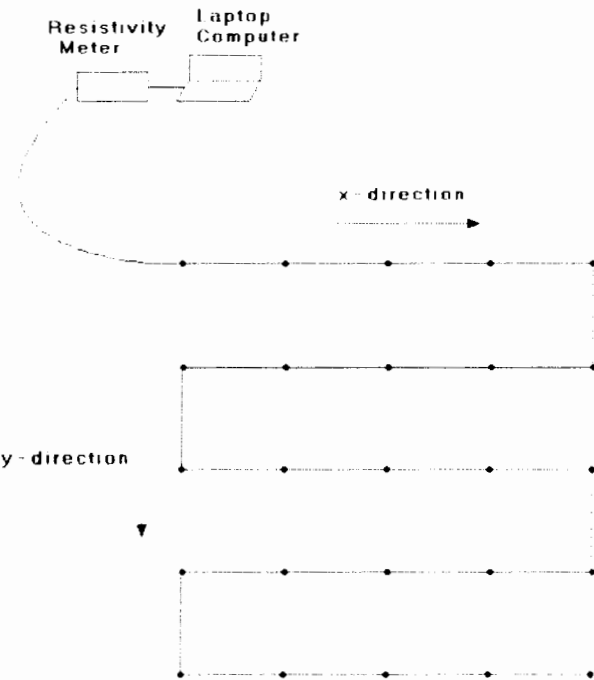


شکل ۳-۷-۳: دو نمونه از برداشت‌های سه بعدی، پوشش برداشت *a* از برداشت *b* کامل‌تر است [لوک ۲۰۰۲]

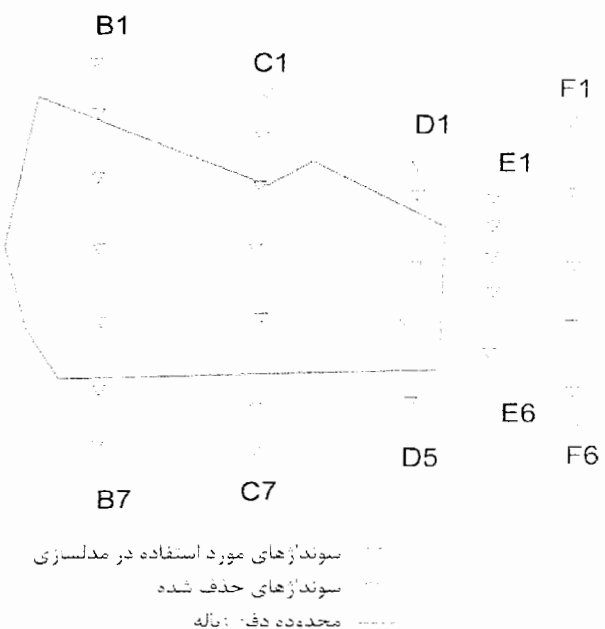
با استفاده از برداشت‌های یک بعدی و دو بعدی نیز می توان مدلسازی سه بعدی انجام داد، البته در این حالت پوشش نقاط کمتر از برداشت سه بعدی می باشد.  
باتوجه به مطالب ذکر شده، در محل دفن زباله ها نیز امکان مدلسازی سه بعدی داده ها با استفاده از پروفیلهای *B*, *C*, *D*, *E* و *F* وجود دارد، زیرا تمام این پروفیلهای شمالی-جنوبی می باشند و می توان نقاط برداشت را در یک شبکه تعریف کرد.

### ۱۱-۳ شبکه بندی داده ها

یک روش برای شبکه بندی داده های یک بعدی، استفاده از نرم افزار *Res2DINV* است. زیرا این نرم افزار می تواند پروفیلهای موازی را تبدیل به داده های سه بعدی جهت مدلسازی با نرم افزار *Res3DINV* کند، که البته مراحل آن در زیر به طور مختصر توضیح داده شده است.

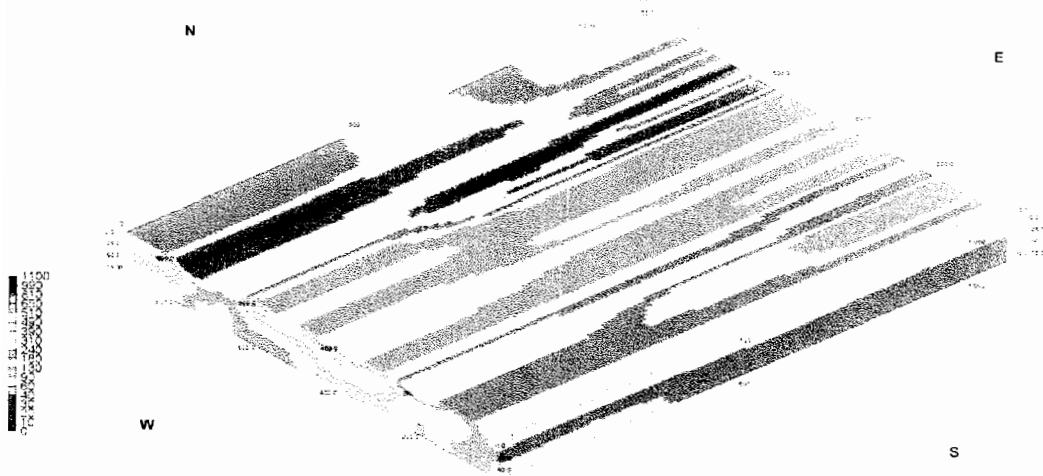


شکل ۳-۳: نمونه ای از آرایش الکترودی که برای برداشت‌های سه بعدی مورد استفاده قرار می‌گیرد [لوک ۲۰۰۲].



شکل ۳-۴: سوندرازهای استفاده شده در مدلسازی سه بعدی

همانطور که در شکل ۳۹-۳ ملاحظه می کنید، می توان با حذف یک سری از داده ها در خطوط برداشت، یک شبکه مربعی ساخت. به همین منظور سوندازهای  $B_1$ ,  $C_1$ ,  $B_7$ ,  $C_7$ ,  $E_5$  و  $F_6$  از پروفیلها حذف شدند. البته پروفیل  $F$  به علت اینکه تعداد نقاط داده ای افزایش می یافتد و نرم افزار قادر به دریافت اطلاعات نبود، از مدلسازی حذف شد. پس از حذف تعدادی از سوندازهای سوندazer  $B_6$  به عنوان مبدا مختصات در نظر گرفته شد و مختصات بقیه با توجه به فاصله آنها از سوندazer  $B_6$  تعیین شد. پس از آن، هر یک از خطوط برداشت همانند داده هایی که برای مدلسازی دو بعدی آماده شده بودند، فرمت یافته و با استفاده از نرم افزار *Res2DINV* فایلهای ساخته شده، تبدیل به یک فایل سه بعدی شد. با توجه به اینکه محاسبات مربوط به چنین فایل سه بعدی ای که از یک شبکه  $449 \times 4$  نقطه ای تشکیل شده، با استفاده از رایانه معمولی امکان پذیر نبود، بنابراین با استفاده از یک رایانه با دو پردازنده *Opteron 250* انجام شد. زمان مدلسازی برای هر بار به طور تقریبی یک شبانه روز به طول می انجامید. بنابراین تهیه مدل بهینه دو هفته بطول انجامید. بعد از مدلسازی سه بعدی نرم افزار *Res3DINV* با استفاده از نرم افزار *Rockwork2004* نمای سه بعدی آن نیز تهیه شد، تا بتوان محدوده دفن زباله ها، عمق سنگ کف و روند تغییرات لایه ها را هر چه بهتر توسط مدل سه بعدی نشان داد.



شکل ۳۹-۴: مدل سه بعدی داده های مقاومت ویژه محل دفن زباله های شهر اراک

باید به این نکته توجه داشت که به علت عدم توانایی نرم افزار برای بزرگتر نمودن شبکه بندی از یک سوی و عدم برداشت سه بعدی داده ها از سوی دیگر سبب شده تا نتیجه مطلوبی از مدلسازی سه بعدی حاصل نشود، اما این مدل تا حدودی با شبه مقطع سه بعدی همخوانی دارد.

## فصل چهارم

### مدل سازی حرکت آلودگی

#### ۱-۴ مقدمه

پس از آنکه اطلاعات مربوط به سنگ کف، ضخامت آبرفت توسط مدلسازی‌های ژئوالکتریکی استخراج گردید، از این اطلاعات برای تکمیل اطلاعات لازم در مدلسازی حرکت آلودگی استفاده شد، تا بدینوسیله حرکت تقریبی آلودگی و گسترش زون آلوده را در سالهای آینده پیش بینی نماید.

#### ۲-۴ شبیه سازی کمی منطقه

برای توصیف حرکت آلودگی در منطقه ابتدا شبیه سازی جریان آب زیر زمینی در منطقه ضروری است، تا بتوان با استفاده از آن مدل آلودگی اجرا گردد. برای این منظور از نرم افزار *GMS*، جهت مدلسازی سه بعدی استفاده شده است.

#### ۳-۴ طراحی مدل

جهت مدلسازی آب زیرزمینی در منطقه مراحل زیر را باید انجام داد:

#### ۱-۳-۴ محدوده انتخابی از لحاظ مختصات *UTM*

در ابتدا محدوده مورد نظر از لحاظ مختصات *UTM* مشخص شد و به نرم افزار معرفی شدکه بین طولهای ۳۸۸۸۳۵ و ۳۹۹۸۷۵ و عرضهای ۳۷۶۴۲۳۷ و ۳۷۸۰۶۴۶ قرار دارد که مساحت آن در حدود ۱۸۲۶۱۰۶۲۰ مترمربع می باشد. این منطقه از شمال به دریاچه میقان و از جنوب به ارتفاعات پایین دست محل دفن زباله محدود می شود. باید خاطر نشان کرد که این منطقه مستطیلی به طور کامل در مدلسازی مورد استفاده قرار نگرفته و قسمتهایی از آن به صورت سلولهای غیر فعال از مدلسازی حذف شده اند. همچنین از آنجا که اطلاعات دقیقی از لایه های زمین شناسی در کل منطقه موجود نمی باشد، بنابراین لایه های آبرفتی منطقه بصورت یک لایه در نظر گرفته شده است.

### ۴-۳-۲ شبکه بندی آبخوان

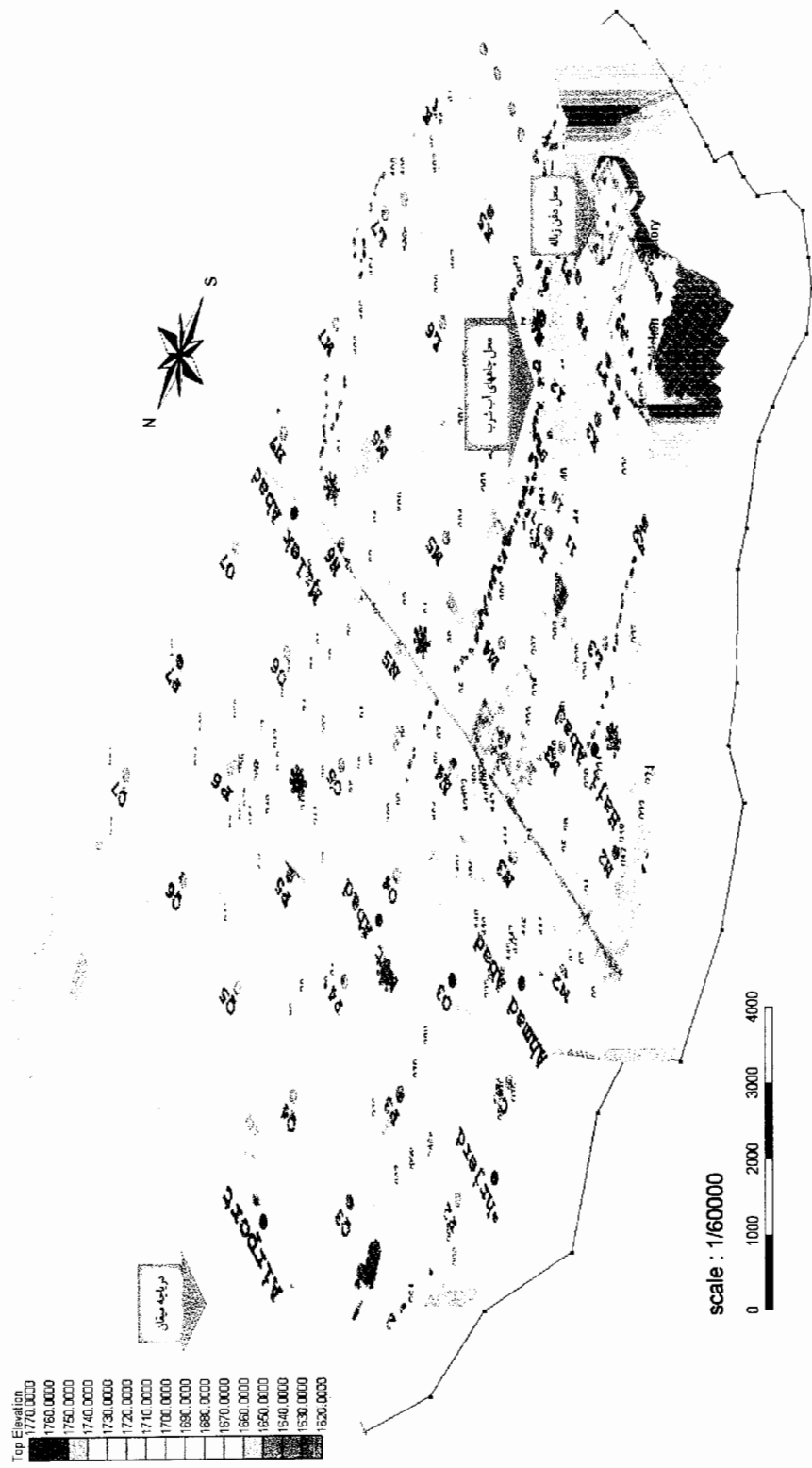
برای مدلسازی منطقه به روش عددی، باید منطقه را شبکه بندی کرد. به هر یک از اجزای این شبکه، سلول<sup>۳۹</sup> می‌گویند. طول و عرض این سلولها تقریباً یکسان و در حدود ۱۰۰ متر در نظر گرفته شد و عمق آن بر اساس اختلاف بین توپوگرافی و سنگ کف تعیین شد. در نتیجه منطقه مورد نظر به ۱۸۰ ردیف و ۱۰۰ ستون تقسیم شد. یکی از دلایل انتخاب سلولهایی با اندازه ۱۰۰ متر، نزدیک بودن چاهها به یکدیگر بود. اگر سلولها بزرگ‌تر انتخاب می‌شدند، ممکن بود بیش از یک عدد چاه در یک سلول قرار گیرد. شکل ۲-۴ مدل سه بعدی اجزا محدود جهت انجام مدلسازی انتقال آلودگی را در منطقه نشان می‌دهد.

### ۴-۳-۳ تعیین توپوگرافی و ارتفاع سنگ کف

ارتفاع سنگ کف در نقاط برداشت مقاومت ویژه در منطقه دفن زباله و دشت امان آباد تعیین گردید. همچنین توپوگرافی در هر یک از نقاط برداشت اندازه گیری شد. در چاههای کشاورزی و آب شرب نیز علاوه بر مختصات آنها، مقدار پمپاژ و توپوگرافی در این نقاط به دست آمد.(شکل ۱-۴)

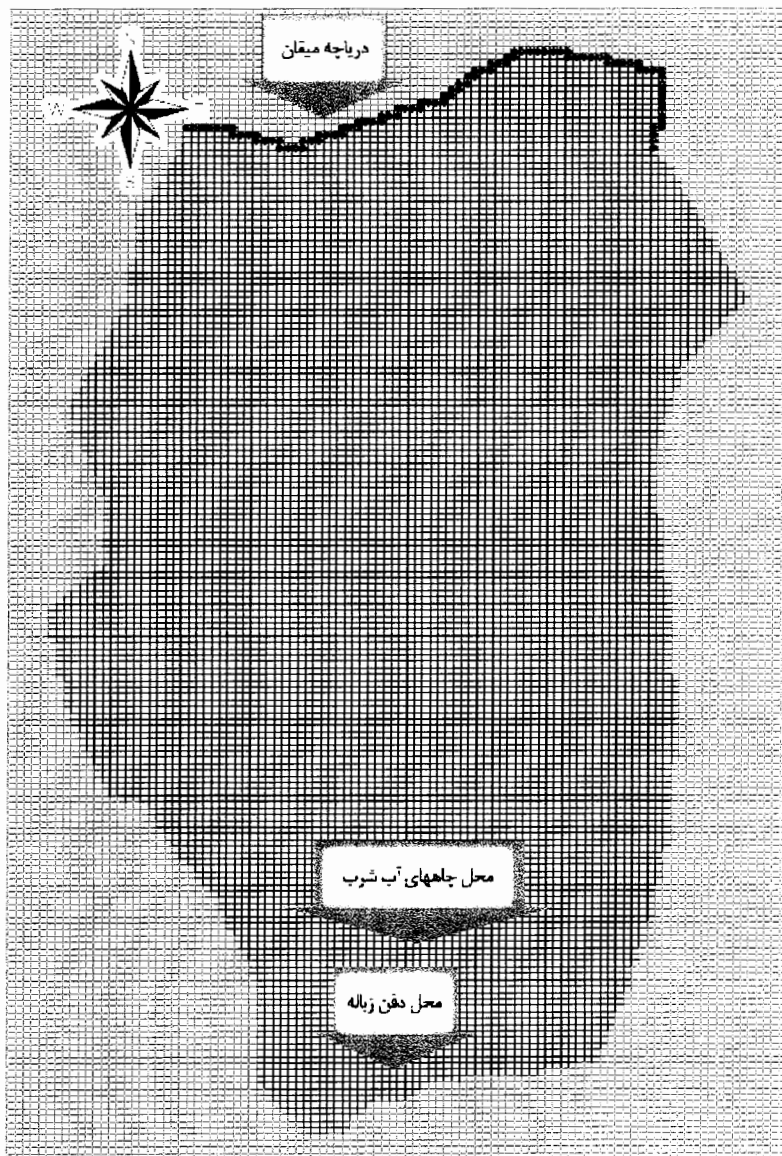
<sup>39</sup> Cell

شکل ۴-۱: نمایش توپوگرافی و محدوده مدلسازی، محدوده دفن زباله از ارتفاع بیشتری نسبت به منطقه



#### ۴-۳-۴ شرایط مرزی

برای حل معادله مشتقات جزئی حرکت آب زیرزمینی نیاز به شرایط مرزی در منطقه داریم، بنابراین دریاچه میقان، با سطح آب ثابت و ارتفاعات پایین دست محل دفن زباله ها به عنوان مرزهای مدلسازی در نظر گرفته شد. همچنین بین محل دفن زباله ها و محل چاههای آب شرب بیرون زدگی سنگ کف به صورت سلولهای غیر فعال از مدل حذف شده اند(شکل ۲-۴).



شکل ۲-۴: محدوده مدلسازی، سلولهای سیاه رنگ قابل هستند و سلولهای قرمز رنگ غیر قابل هستند.

#### ۴-۳-۵ شرایط اولیه

برای مدلسازی نیاز به وارد نمودن اطلاعات اولیه داریم. بنابراین اطلاعات مربوط به چاهها در سال ۱۳۷۸ به عنوان مبنا در نظر گرفته شد.

#### ۴-۳-۶ پارامترهای ورودی

با توجه به آزمایشات انجام شده در منطقه هدایت هیدرولیکی در منطقه به طور متوسط ۳۴ متر در روز تعیین شد [میرزایی ۱۳۸۲]. که این مقدار در نزدیکی دریاچه میقان کمتر و نزدیک چاههای آب شرب بیشتر در نظر گرفته شد که در زمان بهینه سازی این ضرایب اصلاح شد.

#### ۴-۳-۷ ورودی و خروجی منطقه

در منطقه امان آباد حدود ۸۰۰ حلقه چاه وجود دارد که ۱۴ حلقه آن، چاههای آب شرب اراک هستند. اما از آنجائیکه منطقه مورد نظر کوچکتر از منطقه امان آباد می باشد و چاههایی که پمپاژ آنها در روز بسیار کم است و تاثیر چندانی در مدلسازی ندارند، از داده ها حذف شدند، تعداد این چاهها به ۱۷۴ حلقه رسید.

میزان تغذیه به طور کلی در حدود ۳۳۰ میلی متر در سال برآورد شده است.

#### ۴-۳-۸ اجرای مدل

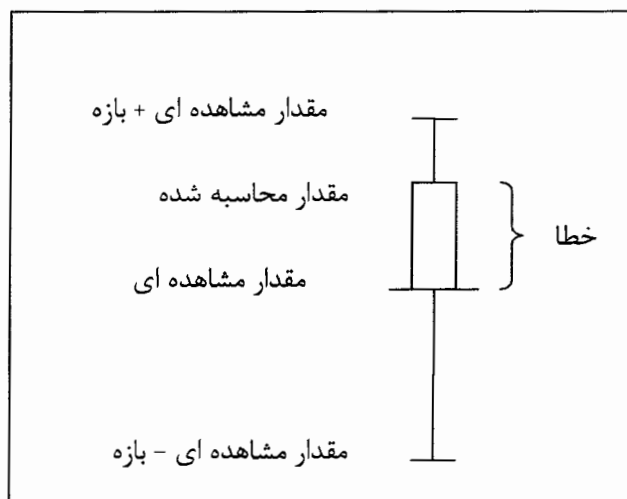
پس از آنکه تمام اطلاعات به نرم افزار *GMS* داده شدند. مدل منطقه با استفاده از کد *MODFLOW* اجرا شد و نتایج به دست آمده از مدل با داده های صحرابی مقایسه شد. اما نتایج و پیش بینی های مدل تطابق خوبی با واقعیت نداشت، بنابراین مدل اجرا شده باید بهینه سازی شود.

#### ۴-۳-۹ بهینه سازی مدل

از آنجا که تعداد چاههای پیزومتر در منطقه محدود به ۳ عدد می باشد. بنابراین استفاده از روش معکوس سازی با کد *Pest* در نرم افزار *GMS* مقدور نبود. از این رو بهینه سازی به صورت دستی صورت گرفت.

همانطور که در شکل ۴-۴ نشان داده شده است در صورتیکه چاههای پیزومتر در محدوده سبز رنگ

باشند، نشان دهنده تطابق خوب بین مدل و شرایط واقعی است و هر چه قدر که اندازه آن کوچکتر باشد خطأ کمتر است. در صورتیکه مقدار محاسبه شده از بازه ای که در اطراف مقدار مشاهده ای تعریف شده است بیشتر باشد نرم افزار این مقدار را ابتدا با رنگ زرد برای اختلاف کم و سپس با رنگ قرمز برای اختلاف بالا نشان می دهد.



شکل ۳-۴ نحوه محاسبه خطأ در چاههای پیزومتری

در شکل ۴-۴ منحنی های هم تراز سطح آب زیرزمینی در منطقه رسم شده اند که در نزدیکی چاههای آب شرب منحنی های بسته دیده می شود که ناشی از برداشت بی رویه از این چاهها می باشد.

#### ۴-۴ مدلسازی کیفی حرکت آلوودگی

همانطور که گفته شد، محل دفن زباله های شهر اراک در پایین دست (در ارتفاع بالاتر) چاههای آب شرب قرار دارد. بنابراین پیش بینی حرکت هاله آلوودگی و جهت آن در منطقه بسیار حائز اهمیت است. بنابراین مدلسازی حرکت آلوودگی می تواند ما را در این امر باری رساند تا تمهیدات لازم را برای پیشگیری از آلووده شدن آبهای شرب منطقه انجام دهیم. روش مدل حرکت آلوودگی به این صورت است که پارامترهای آلوودگی (غلظت، ضرایب پخش و...) به مدل داده می شود. و با استفاده از مدل MT3DMS مدل سه بعدی حرکت آلوودگی تهیه شد و جهت و مقدار آلوودگی در زمان حال و سالهای

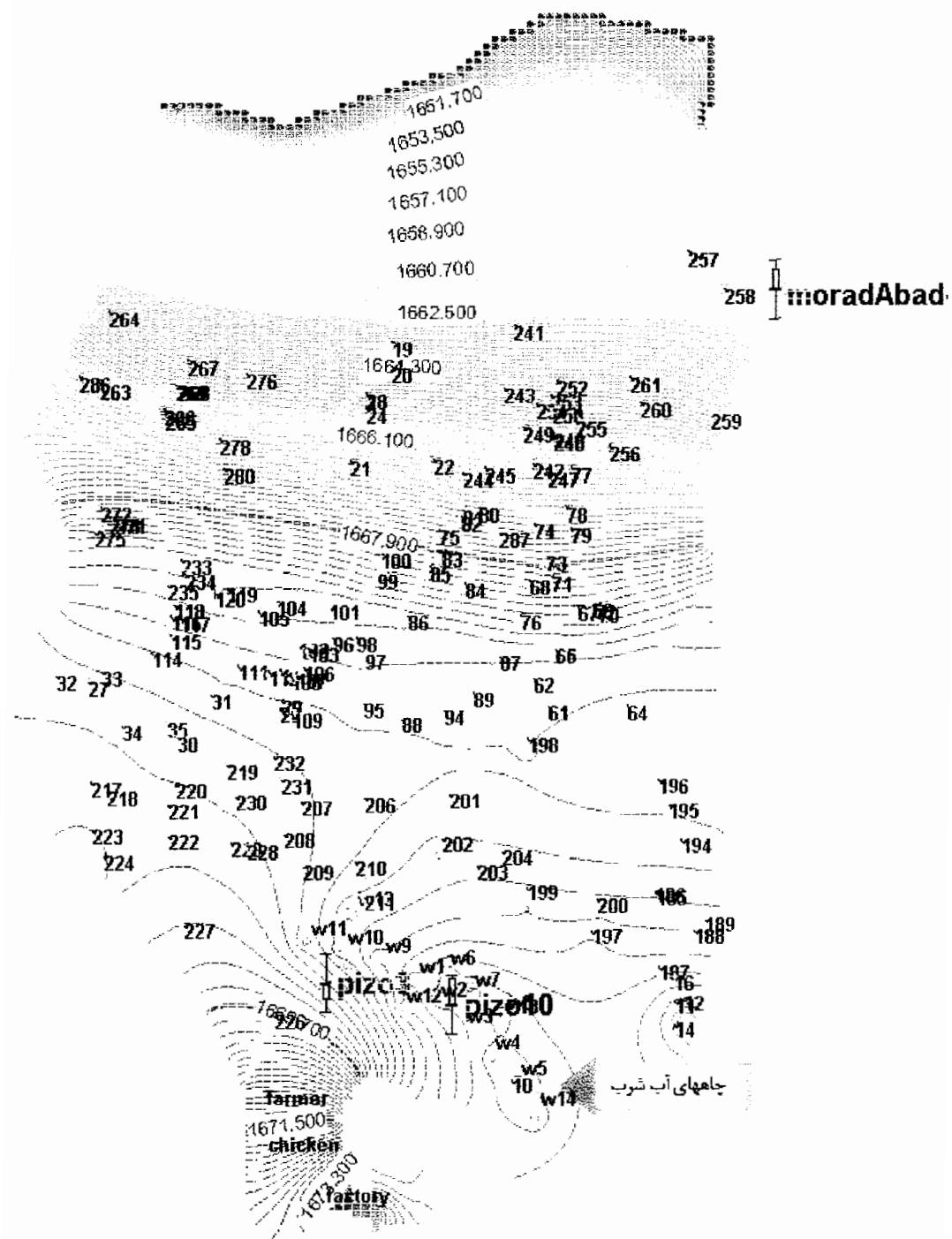
آینده به دست آمد [چان میا او ۱۹۹۴].

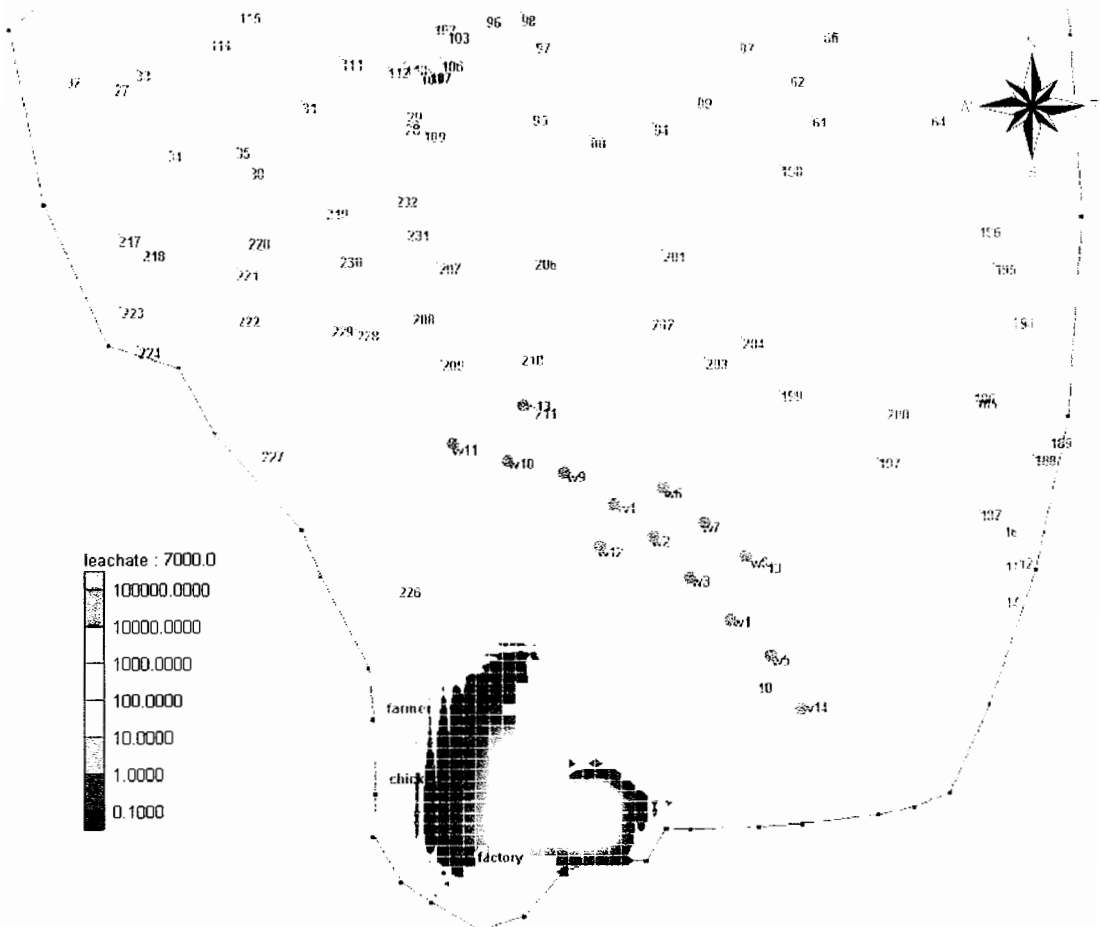
از آنجا که این آلودگی در چاه رنگرزی دیده شده است و از طرف شرق هیچ حرکت آلودگی دیده نشده، می توان گفت که پیش بینی مدل صحیح بوده است.

جدول ۱-۴: مقادیر پارامترهای ورودی مدل کیفی

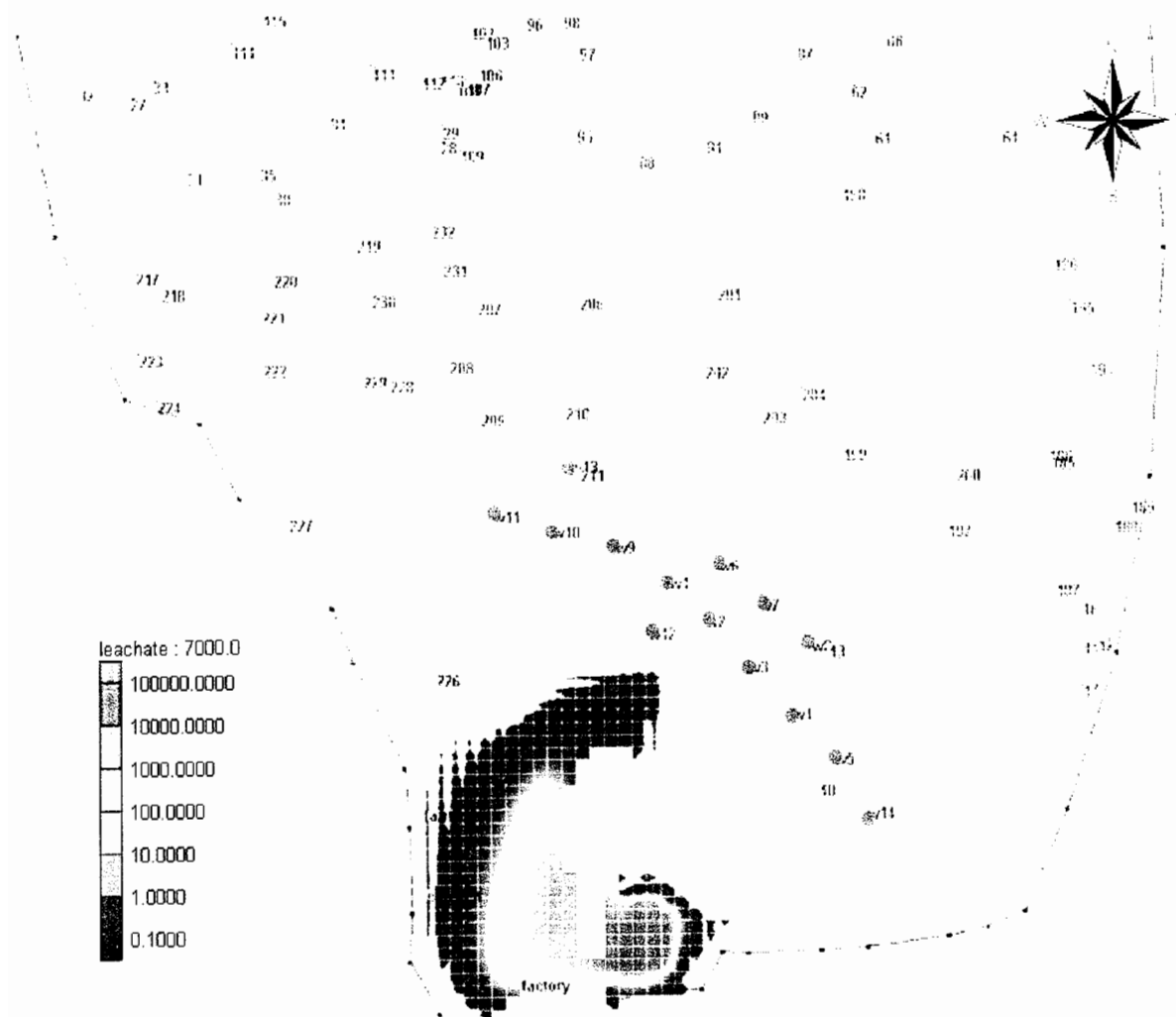
پارامتر	مقدار
ضریب پراکندگی طولی	۱۲ متر
ضریب پراکندگی عرضی	۴ متر
ضریب پراکندگی عمقی	۱/۲ متر
غلظت آلینده ها در محل دفن زباله	۳۷۲۰۰ میلی گرم بر لیتر
حجم حجمی خاک	۲/۵ گرم بر سانتیمتر مکعب

<sup>40</sup> Chunmiao Zheng



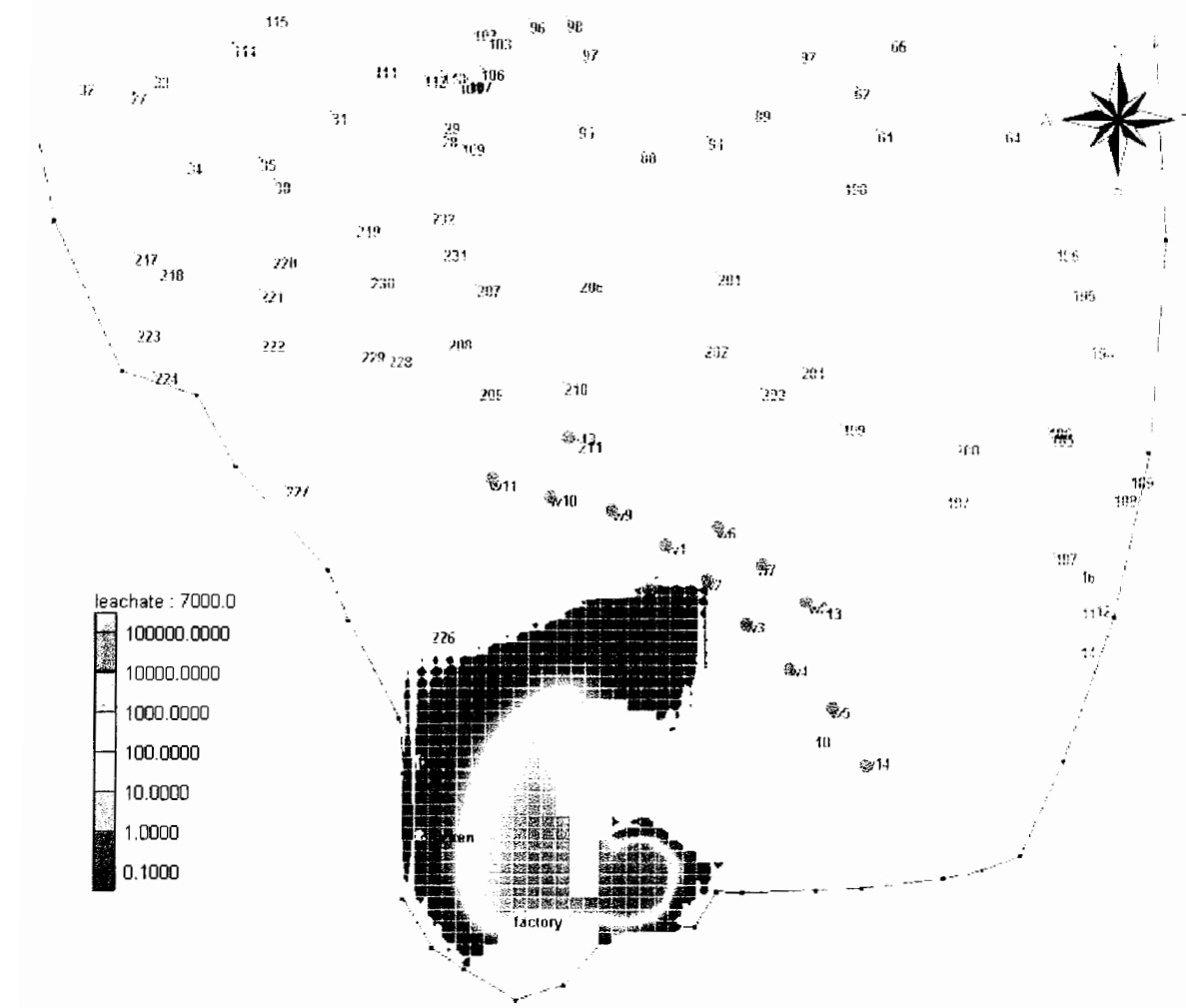


شکل ۴-۵: حرکت آبودگی پس از ۲۲ سال از ابتدای انباشت زباله



شکل ۴-۶: حرکت آلوگی پس از ۴۶ سال از ابتدای انباشت زباله

همانطور که در شکل ۷-۴ دیده می‌شود، این آلودگی می‌تواند به چاههای آب شرب منطقه برسد و سبب آلودگی این چاهها شود.



شکل ۷-۴: حرکت آلدگی پس از ۶۶ سال از ابتدای انباشت زباله

## فصل پنجم

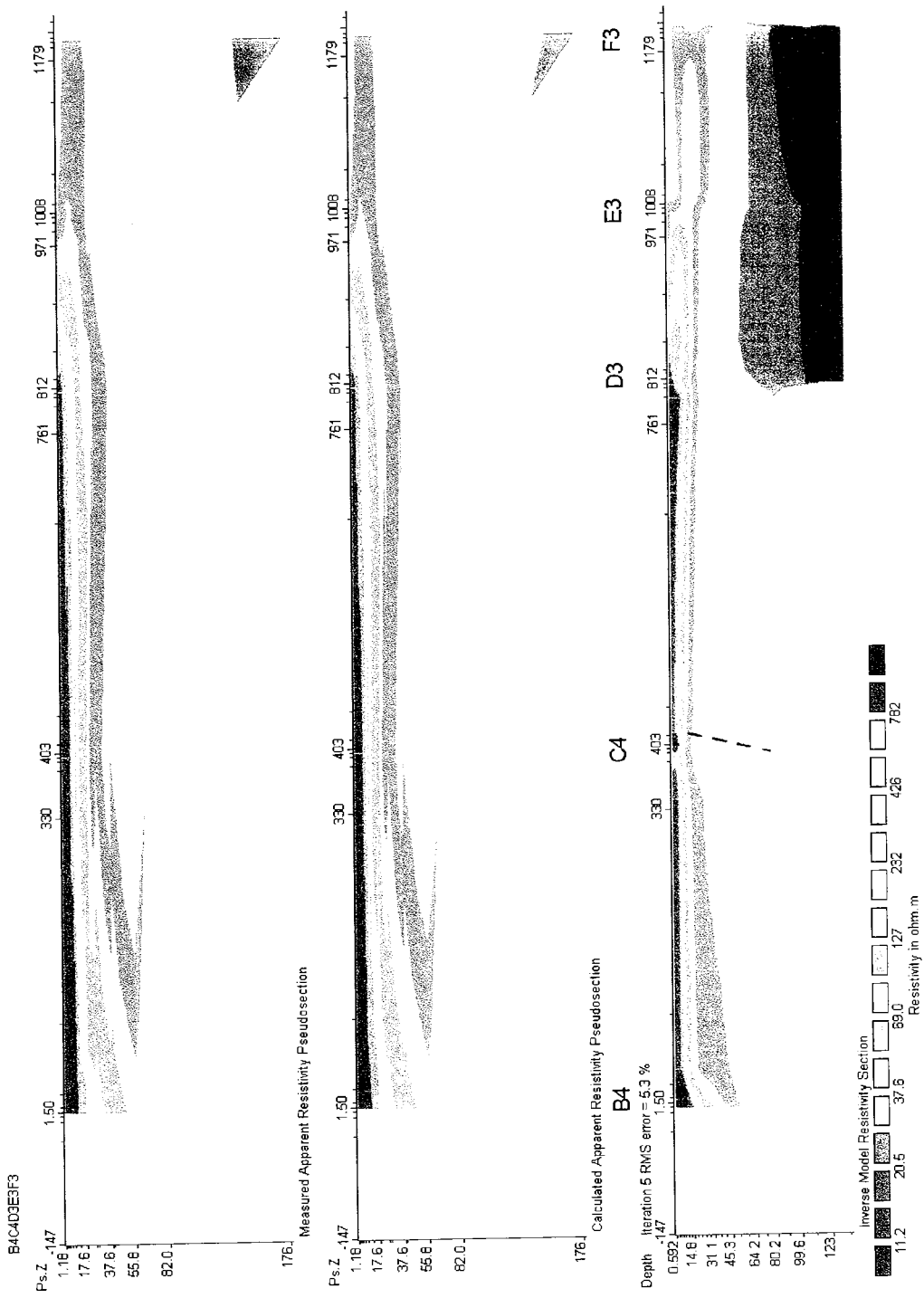
### نتیجه گیری و پیشنهادات

#### ۱-۵ نتیجه گیری

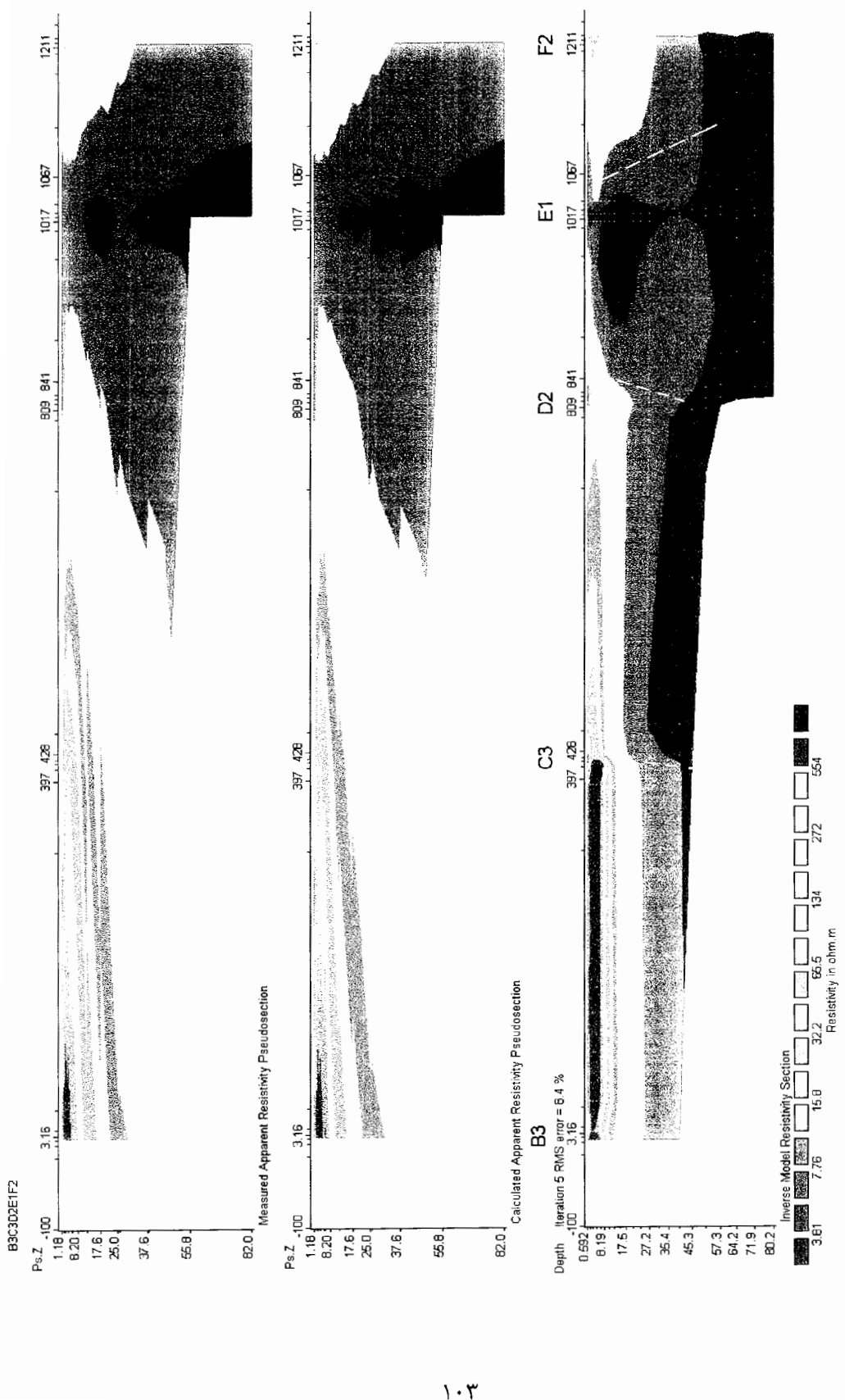
از بررسی مدل‌های مقاومت ویژه و پیش‌بینی حرکت آلودگی در جهات متفاوت از محل دفن زباله شهر اراک نتایج ذیل حاصل گردید:

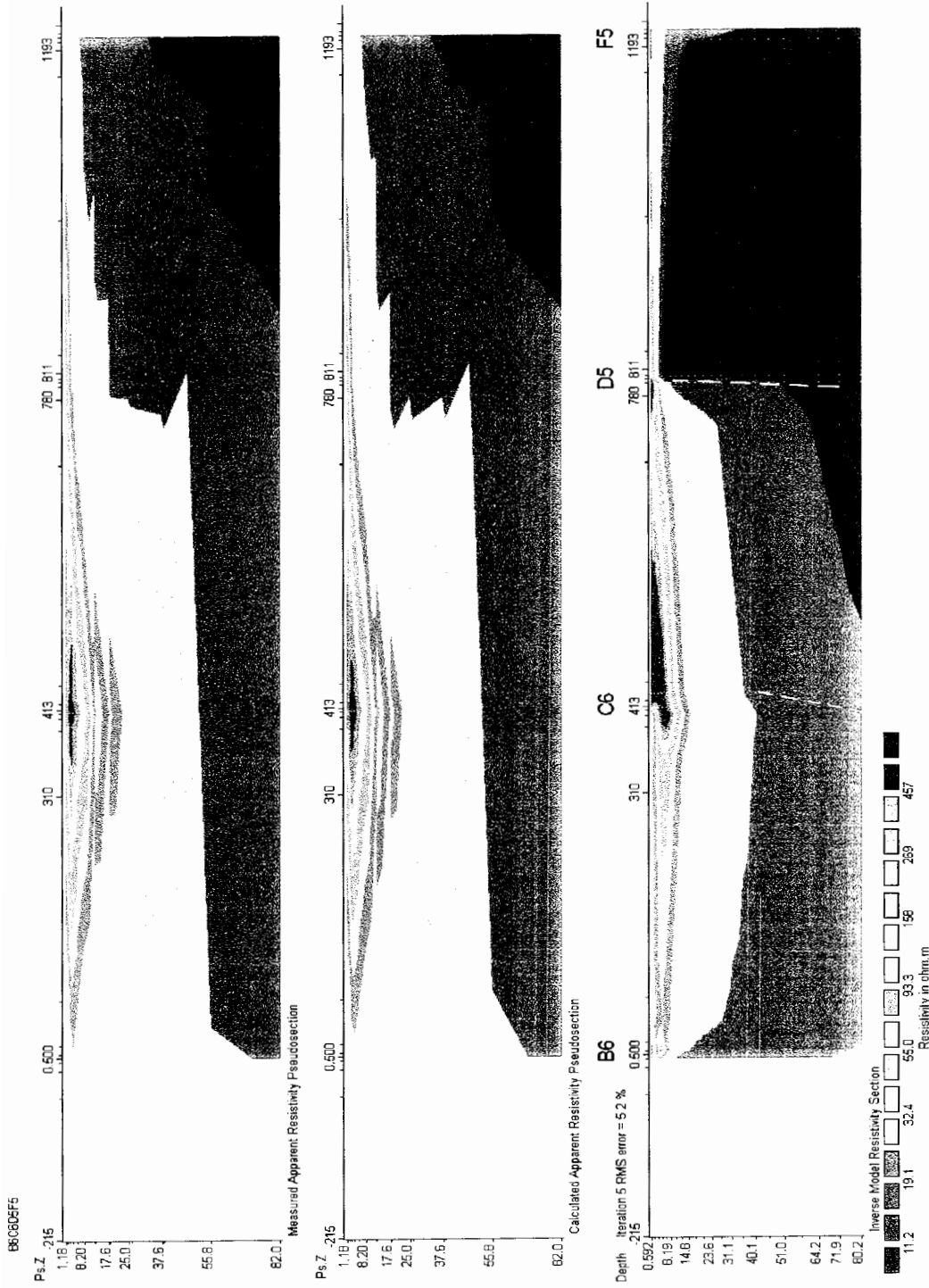
۱. عمق آبرفت در محل دفن زباله فعلی شهر اراک بطور متوسط ۲۰ متر می‌باشد.
۲. سنگ کف آبرفت‌های منطقه که امروزه بر اساس خاکبرداری و گود کنی زباله‌های شهر اراک در آن دفن می‌شوند از نوع اسلیت آهکی می‌باشند.
۳. قاعده اسلیت‌های آهکی را توده‌های نفوذی دیوریتی شامل شده که در جهات مختلف اسلیت‌های آهکی را قطع نموده اند (شکل ۲-۵ و شکل ۳-۵).
۴. به سمت غرب (نزدیکی جاده آسفالتی اراک-خمین) ضخامت اسلیت‌های آهکی زیاد شده و توده‌های نفوذی در اعمق زیاد (بیش از ۱۲۰ متری) قرار می‌گیرند. به سمت شرق (به سمت سد امان آباد) توده‌های نفوذی بالا آمده و در عمق ۲۰ متری سطح زمین قرار می‌گیرند.
۵. گسل‌های متعدد سنگ کف اسلیت آهکی و توده نفوذی دیوریتی را قطع کرده اند اما بدلیل ریز بودن اسلیت‌های آهکی مواد ریز دانه شکافهای درزه‌ها و گسل‌ها را پر نموده اند.
۶. بدلیل گسل خوردگی اسلیت‌های آهکی و دیوریتها در محل سونداز C4 افتادگی شدید در آبرفت‌ها صورت گرفته که ضخامت آبرفت بطور ناگهانی از ۲۰ متر به ۱۰۰ متر می‌رسد (شکل ۱-۵).
۷. بدلیل گسل خوردگی در اسلیت‌های آهکی غرب محل دفن زباله (محل چاه رنگرزی) ضخامت آبرفت بطور ناگهانی افزایش می‌یابد و از ۳۰ متر در محل سونداز A10 به ۱۸۰ متر در محل سونداز A1 می‌رسد.

شکل ۵-۱: پروفیل  $B4C4D3E2F3$  افتادگی شدید آبرفتها در



شکل ۵-۵: پروفیل B3C3D2E1F2 افتادگی آبرفتیها در C3

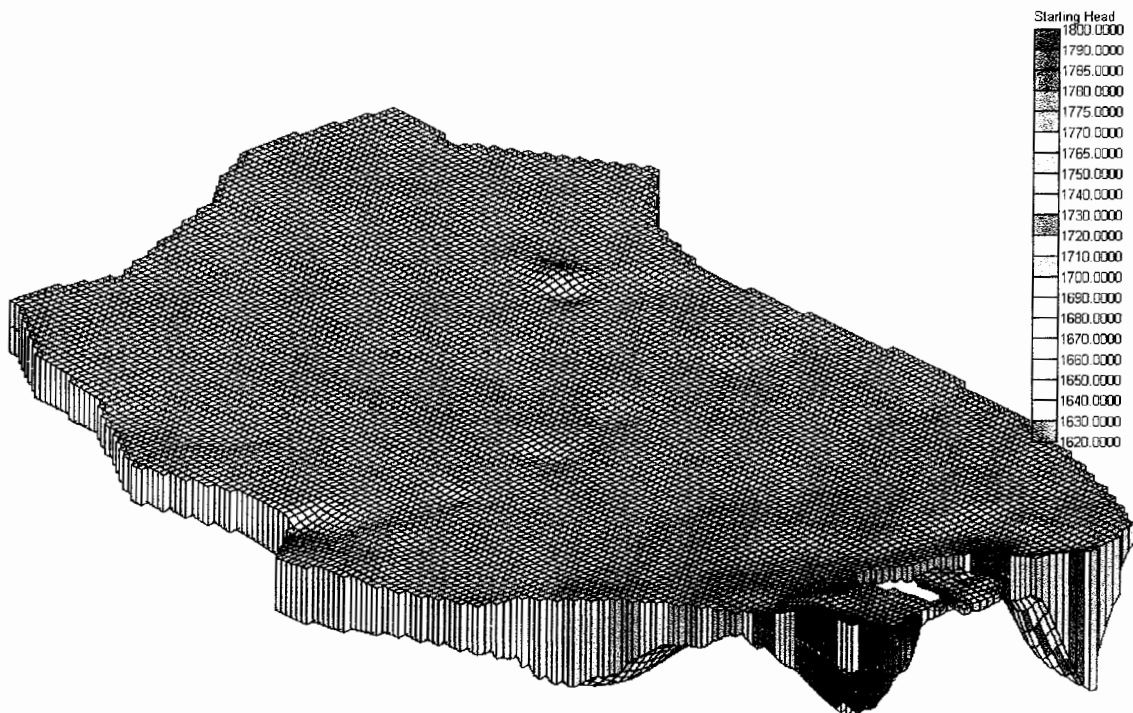




شکل ۵-۳: پروفیل B6C6D5F5، افزایش عمق آبرفت از سومندای D5

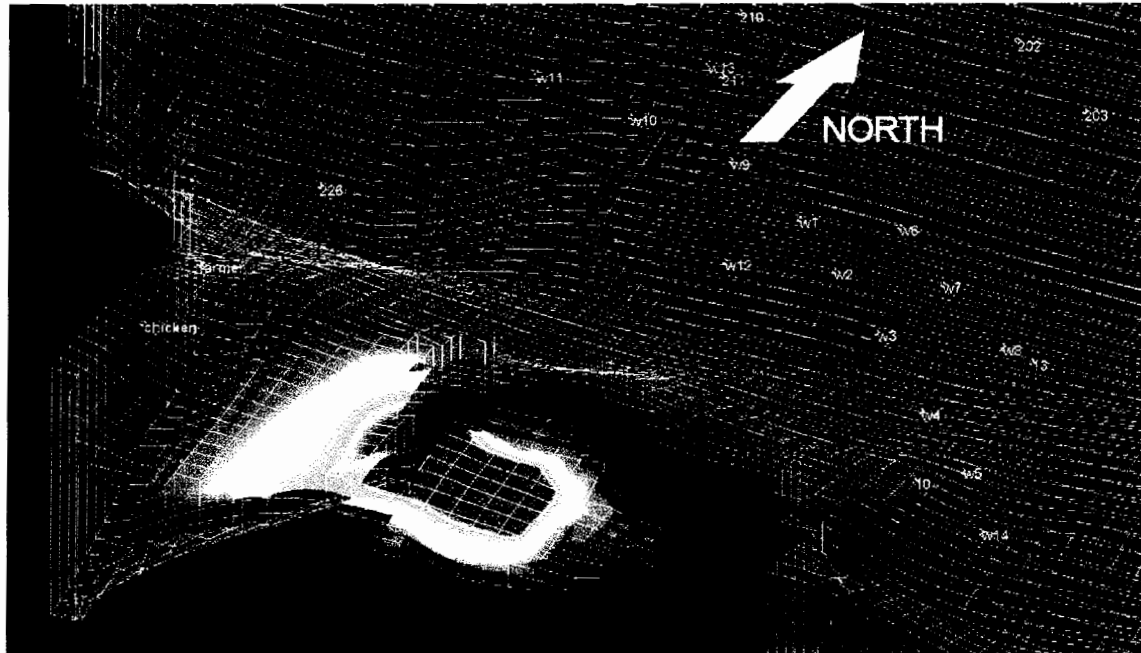
۸ این بررسی نشان می دهد اسلیتهای اهکی به عنوان سد طبیعی در محل دفن زباله های فعلی شهر اراک بوده که جهت آب زیرزمینی حوزه سوارآباد را به سمت پست برق انجیرک هدایت می کند و

مانع برخورد آب زیرزمینی به محل دفن زباله های فعلی می شود. به عبارتی محل دفن زباله های فعلی فاقد آب زیرزمینی است. و تنها آبهای سطحی فرو رو و بارش های جوی شیرابه های حاصل از محل دفن زباله ها را به اعمق بیشتر و یا حتی ممکن است به منابع آب زیرزمینی هدایت کند

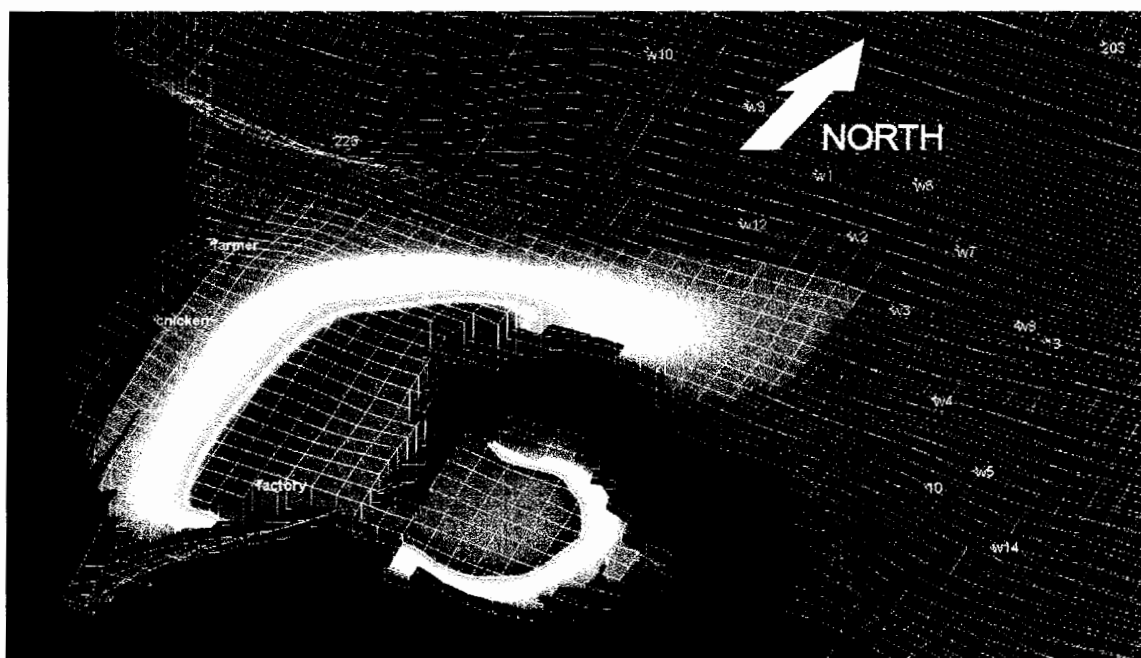


شکل ۴-۵: نمایش سطح آب زیرزمینی در منطقه به صورت سه بعدی

۱۰. مسیر حرکت آلودگی از سمت غربی محل دفن زباله ها صورت می گیرد.
۱۱. جهت حرکت آلودگی ابتدا به سمت غرب، سپس به سمت شمال یعنی محل چاههای آب شرب می باشد(شکل ۵-۵ و شکل ۶-۵).
۱۲. طبق پیش بینی آب چاههای شرب منطقه در حدود ۴۰ سال دیگر آلوده می شوند(شکل ۶-۵).



شکل ۵-۵: نمایش مسیر حرکت آلدگی از سمت غرب در ۲۰ سال آینده



شکل ۵-۶: پیش بینی حرکت آلدگی در ۴۰ سال آینده

## ۲-۵ پیشنهادات

چون این منطقه از دیدگاه زیست محیطی و تاثیر بر روی آب زیرزمینی بسیار منطقه حساسی است مطالعات بیشتر در منطقه چه از لحاظ ژئوفیزیکی و چه از لحاظ هیدرولوژیکی می‌تواند ما را در پیشگیری از آلودگی منابع آب‌های زیرزمینی یاری کند.

۱. از آنجا که داده‌های اندازه‌گیری شده در منطقه به صورت یک بعدی برداشت شده است، بنابراین مدلسازی سه بعدی این داده‌ها از دقت خوبی برخوردار نخواهد بود، بنابراین پیشنهاد می‌شود که در منطقه دفن زباله، برداشت سه بعدی داده‌ها انجام شود.

۲. معمولاً در مناطق دفن زباله برداشت‌ها در زمانهای مختلف صورت می‌گیرد، اما به علت نبود امکانات کافی جهت برداشت، در منطقه دفن زباله‌های شهر اراک این امر صورت نگرفت. بنابراین برداشت مجدد در همان نقاط اندازه‌گیری شده قبلی می‌تواند در شناسایی حرکت آلودگی ما را بیشتر یاری کند.

۳. برای شناسایی بهتر گسترش آلودگی در منطقه بهتر است از روش‌های ژئوفیزیکی دیگر در منطقه استفاده گردد.

۴. برای مدل سازی دقیق‌تر حرکت آلودگی بهتر است ضرایب هیدرولیکی و هیدرو دینامیکی آبخوان در لایه‌های مختلف تعیین شود، همچنین آمار آبراهه‌های فصلی نیز در مدل اعمال شود.

## منابع

- پوی، م.س، ۱۳۷۶، مهندسی محیط زیست، جلد اول، انتشارات دانشگاه صنعتی سهند، ص ۷۷-۱۱.
- دولتی، ف، ۱۳۸۴، بیوتکنولوژی، ژئوشیمی زیست محیطی و مدیریت پسابها، انتشارات دانشگاه صنعتی شاهروд، ص ۱۳۱-۱۱۹.
- شمسایی، ۱۳۸۳، هیدرولیک جریان آب در محیط های متخلخل (کاربرد مدلهای ریاضی و کامپیوتری).
- کردوانی، پرویز، ۱۳۷۴، ژئوهیدرولوژی، انتشارات دانشگاه تهران، ص ۲۸۴-۲۶۹.
- کاپلیر د، مترجم: النصاری، ع، ۱۳۷۶، چاه پیمایی در هیدرژئولوژی، چاپ اول، انتشارات دانشگاه یزد، مرکز انتشارات دانشگاه علم و صنعت ایران.
- مشهدی، ۱۳۸۳، پایان نامه کارشناسی ارشد: بهینه‌سازی سیستم رفع آلودگی (پمپاژ و تصفیه) در آب‌های زیرزمینی با استفاده از الگوریتم ژنتیک.
- مرادزاده، ع، ۱۳۸۰، چاه پیمایی برای مهندسین، انتشارات دانشگاه شاهرود، ص ۲-۱.
- میرزایی، م، ۱۳۸۲، گزارش محل دفن زباله های شهر اراک، اداره کل امور آب استان مرکزی.
- یوسفی راد، م، ۱۳۸۰، گزارش زمین شناسی منطقه امان آباد، اداره کل امور آب استان مرکزی.

Benson, R. C., and R. A. Glaccum. 1979a. Radar Surveys for Geotechnical Site Assessment. In: Geophysical Methods in Geotechnical Engineering, Specialty Session,

American Society of Civil Engineers, Atlanta, Georgia. P. 161-178.

Benson, R. C., and R. A Glaccum. 1979b. Remote Assessment of Pollutants in Soil and Groundwater. In: Proceedings of the Hazardous Material Risk Assessment, Disposal and Management Conference, Miami Beach, Florida. P. 188-194.

Chunmiao Zheng, P. Patrick Wang, 1999, A Modular Three-Dimensional Multispecies Transport Model for Simulation of Advection, Dispersion, and Chemical Reactions of Contaminants in Groundwater Systems, University of Alabama,

GMS5.0, help document

Lock, M.H., 2000, Electrical imaging surveys for environmental and engineering studies, P. 1-60.

Lock, M.H., 2002, res2dinv ver. 3.50, Geotomo software, p. 1-112

Mooney, H.M., 1980, Handbook of engineering geophysics , volume 2, First Edition, Bison instruments, inc. and Minneapolis, Minnesota, P. 1 – 31.

Milson, J, 2003, Field Geophysics, Third edition, Wiley, P. 83-115

Patra, H.p. and Nath, S. k., 1999, schulombrger geoelctric sounding in ground water (principle, interpretation, application ), Reservde, P. 35-65.

Telford, W. M., L. P. Geldart, R. E. Sheriff, and D. A. Keys. 1976. Applied Geophysics. Cambridge University Press, New York.

[www.googleEarth.com](http://www.googleEarth.com)

[www.interpax.com](http://www.interpax.com)

[www.rockware.com](http://www.rockware.com)

[www.ems-i.com](http://www.ems-i.com)

Zhdanov, M.S, 2002, Geophysical theory and regularization problems, First edition, Elsevier, P. 2-4

## پیوست الف: موقعیت سوندرازها و آمار مربوط به چاههای، قنوات و چشمه‌های

### منطقه سوارآباد

درجول الف - ۱ موقعیت سوندرازهای ژئوالکتریک آمده است. در جداول جدول الف - ۲، جدول الف - ۳، جدول الف - ۴ و جدول الف - ۵ نیز به ترتیب آمار چاههای، قنوات و چشمه‌های منطقه امان آباد آورده شده‌اند.

جدول الف - ۱: موقعیت و محل سوندرازها

سوندراز	طول جغرافیایی	عرض جغرافیایی	ارتفاع
A1	391874	3766450	1783
A2	392046	3766397	1771
A3	392261	3766337	1761
A4	392456	3766263	1764
A5	392657	3766213	1765
A6	392855	3766153	1765
A7	393043	3766083	1762
A8	393235	3766022	1759
A9	393429	3765962	1757
A10	393604	3765889	1755
B1	393839	3766027	1758
B2	393835	3765871	1766
B3	393833	3765675	1767
B4	393847	3765469	1770
B5	393849	3765258	1765
B6	393840	3765068	1766
B7	393839	3764876	1761
C1	394276	3765939	1767
C2	394252	3765822	1759
C3	394251	3765662	1759
C4	394245	3765474	1759
C5	394250	3765271	1760
C6	394247	3765013	1753
C7	394241	3764879	1758
D1	394655	3765710	1765
D2	394652	3765648	1753
D3	394653	3765436	1757
D4	394624	3765258	1751
D5	394641	3765047	1756
E1	394855	3765612	1756
E2	394848	3765552	1741
E3	394850	3765448	1747
E4	394852	3765353	1748
E5	394843	3765252	1751
E6	394845	3765175	1747
F1	395047	3765840	1764
F2	395047	3765643	1748
F3	395046	3765431	1744
F4	395048	3765250	1744
F5	395048	3765056	1744
F6	395050	3764965	1753
G1	395592	3765611	1737
G2	395474	3765577	1751
G3	395361	3765540	1749
G4	395197	3765548	1749
H2	395252	3765424	1743

جدول الف - ۲ : آمار چاههای منطقه سوار آباد بر اساس آماربرداری سال ۱۳۷۷ [میرزاي ۱۳۸۲]

ردیف	X	Y	محل	سال حفر	عمق چاه	سطح آب	آبدهی(متر روز)
۱	۳۹۲۶۸۳	۳۷۶۵۶۹۳	سوار آباد	۱۳۷۶	۷۲	۶۴	-
۲	۳۹۲۶۱۳	۳۷۶۵۶۹۳	سوار آباد	۱۳۷۳	۷۶	۶۸	۲۰
۳	۳۹۰۳۰۹	۳۷۶۴۹۹۲	سوار آباد	۱۳۷۵	۸۵	۳۰	۱۳۰
۴	۳۹۰۸۵۰	۳۷۶۲۱۲۰	سوار آباد	۱۳۷۷	۷۹	۴۴	-
۵	۳۹۱۱۶۹	۳۷۶۱۶۸۹	سوار آباد	۱۳۶۴	۲۱	۹	-
۶	۳۹۱۳۳۶	۳۷۶۲۱۴۰	سوار آباد	۱۳۷۶	۴۲	۲۲	-
۷	۳۹۱۴۷۰	۳۷۶۴۰۶۰	سوار آباد	۱۳۶۰	۷۰	۲۸	۱۰/۱۵
۸	۳۹۱۷۷۰	۳۷۶۴۰۵۵	سوار آباد	۱۳۶۹	۵۸	۳۲	۶/۶۰
۹	۳۹۱۲۲۱۷	۳۷۶۴۲۱۶	سوار آباد	۱۳۷۱	۳۳	۱۱	۲۷/۰
۱۰	۳۹۴۹۷۲	۳۷۵۵۹۱۶	جمالکه	۱۳۵۷	۲۹	۱۷	۲۱/۰
۱۱	۳۹۵۲۸۰	۳۷۵۸۱۹۳۵	جمالکه		۹	۴	۰/۱۵
۱۲	۳۹۵۸۶۶	۳۷۵۹۶۰۸	جمالکه		۸		
۱۳	۳۹۶۰۵۱	۳۷۵۷۰۴۵	جمالکه	۱۳۷۱	۲۹	۲۷	۱/۰
۱۴	۳۹۶۵۶۶	۳۷۵۶۳۸۹	گیلی	۱۳۷۳	۷۰	۳۵	
۱۵	۳۹۶۵۸۸	۳۷۵۷۱۰۹	گیلی	۱۳۴۹		۱۲۵	۸/۰
۱۶	۳۹۶۶۹۱	۳۷۵۸۰۵۳	گیلی				
۱۷	۳۹۶۷۶۷	۳۷۵۸۷۶۲	گیلی	۱۳۷۶		۲۵	
۱۸	۳۹۶۹۹۶	۳۷۵۲۱۳۲	گیلی	۱۳۷۵		۱۸	
۱۹	۳۹۷۰۰۰	۳۷۵۲۲۳۰	گیلی	۱۳۷۵		۳۵	۲۰
۲۰	۳۹۷۲۱۲	۳۷۵۱۶۷۲	گیلی	۱۳۵۶		۲۰	۸/۰

جدول الف - ۳ : آمار قنوات منطقه سوار آباد بر اساس آماربرداری سال ۱۳۷۷ [میرزاي ۱۳۸۲]

ردیف	X	Y	محل	نام قنات	عمق مادر چاه(متر)	طول قنات (متر)	آبدهی(متر بروز)
۱	۳۹۱۴۳۰	۳۷۶۲۲۵۰	سوار آباد	هموار	۳۰	۱۷۰۰	-
۲	۳۹۱۲۰۰	۳۷۵۸۵۵۰	سوار آباد	مودر	۱۰	۶۰۰	۱۸/۰
۳	۳۸۸۴۷۰	۳۷۵۵۱۱۲۲	نورعین	کهریز پایین	۴		۹
۴	۳۸۵۰۴۱	۳۷۵۴۲۹۶	ارکوین	ارکوین	۱۹	۱۸۰۰	۲۶
۵	۳۸۹۶۸۰	۳۷۵۲۹۵۳	نورعین	کهریز ۵۵	۵۵		۳
۶	۳۸۵۸۸۷	۳۸۴۴۰۹۷	اورتکل	چمن بالا	۶	۳۰۰	۱
۷	۳۸۲۶۹۵	۳۷۴۹۹۰۵	قاسم آباد	باش کهریز	۱۵	۲۵۰	۷
۸	۳۹۳۱۰۰	۳۷۵۶۵۵۰	جمالکه	قروه	۱۰	۶۰۰	۵
۹	۳۹۴۳۱۰	۳۷۵۸۷۳۰	جمالکه	علی آباد	۷	۴۰۰	۲
۱۰	۳۹۳۲۵۰	۳۷۵۸۵۲۵۰	جمالکه	چاه کوره	۶	۴۰۰	۴
۱۱	۳۹۴۱۰۱	۳۷۵۷۱۰۰	جمالکه	شب کور	۸	۴۵۰	۲
۱۲	۳۹۴۱۰۰	۳۷۵۸۵۷۰	جمالکه	شب کور	۶	۳۵۰	۲
۱۳	۳۹۵۴۴۱	۳۷۵۸۸۹۰	گیلی	محمد آباد	۲۰	۷۵۰	۷۵۰
۱۴	۳۹۸۴۸۶	۳۷۵۶۸۱۵	رودباران		۵۵	۳۶	۲۶
۱۵	۳۹۶۹۸۴	۳۷۵۳۱۱۳	گیلی	پایین		۲۰	۲۱
۱۶	۳۹۷۶۰۹	۳۷۵۰۱۳۰	گیلی	قنات بالا	۲۸	۲۸	۹۵

جدول الف - ۴: آمار چشمه های منطقه سوار آباد بر اساس آماربرداری سال ۱۳۷۷ (آینده بر حسب لیتر بر ثانیه)

ردیف	X	Y	محل	نام چشمه	نوع چشمه	آینده
۱	۲۹۰۱۵۰	۳۷۶۰۵۰۰	سوار آباد	چشمه	شکافی و درزی	۲/۵
۲	۳۹۲۷۵۰	۳۷۶۲۶۰۰	سوار آباد	چشمه قنات اشرف آباد	شکافی و درزی	۵۱۰
۳	۳۹۲۷۵۰	۳۷۶۲۶۰۰	سوار آباد	چشمه قنات اشرف آباد	شکافی و درزی	۵۱۰
۴	۳۹۲۶۱۰	۳۷۶۴۱۰۰	سوار آباد	شاطر	شکافی و درزی	۰/۵
۵	۳۹۱۱۰۰	۳۷۵۷۴۱۰	سوار آباد	دیبی مودر	شکافی و درزی	۲/۵
۶	۳۸۹۴۰۰	۳۷۵۷۷۰۰	سوار آباد	مهندی بلاغی	شکافی و درزی	۱/۵
۷	۳۸۹۳۳۵	۳۷۵۲۶۶۰	نورعین	نورعین	کارستیک	۰/۵
۸	۳۹۱۲۲۰	۳۷۵۷۱۵۰	جمالکه	سلطان سیر	شکافی و درزی	۲/۱
۹	۳۹۱۵۰۰	۳۷۵۵۱۷۲	جمالکه	دره وزم	شکافی و درزی	۱
۱۰	۳۹۱۵۰۰	۳۷۵۵۸۷۳	جمالکه	قروه سرا	شکافی و درزی	۱
۱۱	۳۹۱۵۲۰	۳۷۵۵۲۳۰	جمالکه	اوشنزار	شکافی و درزی	۱
۱۲	۳۹۱۶۲۵	۳۷۵۶۲۵۰	جمالکه	مهنادی	شکافی و درزی	۱
۱۳	۳۹۲۰۵۰	۳۷۵۵۱۵۰	جمالکه	واخد	شکافی و درزی	۱/۲
۱۴	۳۹۲۶۰۰	۳۷۵۶۱۵۰	جمالکه	جعفر	شکافی و درزی	۱/۵
۱۵	۳۹۳۱۵۰	۳۷۵۸۵۵۰	جمالکه	دره غور	شکافی و درزی	۰/۷
۱۶	۳۹۸۴۷۷	۳۷۵۶۸۱۷	رودباران	دوقوز چای	شکافی و درزی	۰/۵
۱۷	۳۹۵۰۷۰	۳۷۵۱۷۵۰	گیلی	محمد	شکافی و درزی	۰/۷
۱۸	۳۹۵۲۵۰	۳۷۵۲۳۰۰	گیلی	عزت	شکافی و درزی	۱/۰
۱۹	۳۹۲۸۰۰	۳۷۵۳۶۵۰	گیلی	دره زرد	شکافی و درزی	۰/۷
۲۰	۳۹۲۶۵۰	۳۷۵۲۲۰۰	گیلی	دره بیشه	گسلی	۲/۰
۲۱	۳۹۴۰۰۰	۳۷۵۲۵۵۰	گیلی	آغل دره	شکافی و درزی	۱/۰
۲۲	۳۹۴۲۵۰	۳۷۵۳۰۰۰	گیلی	محمد جعفر	شکافی و درزی	۰/۷
۲۳	۳۹۴۸۰۰	۳۷۵۲۷۱۰	گیلی	میرزایی	شکافی و درزی	۰/۷

جدول الف - ۵: آمار چشمه های منطقه امان آباد بر اساس آماربرداری سال ۱۳۸۰

آینده(مترب روز)	ارتفاع(متر)	x	y	آینده(مترب روز)	ارتفاع(متر)	x	y	آینده(مترب روز)
-55	1668.3	391250	3772270	-600	392508	3765809	1780	مرغداری
-55	1668	391254	3772511	-1296	392498	3766407	1760	کشاورزی
-58	1668	391374	3772488	-3896	395985	3766389	1689.909	w14
-79	1668	391297	3772650	-3896	395729	3766791	1684.558	w5
-1312	1669	391974	3772858	-3896	395399	3767121	1681.048	w4
-162	1668.6	391823	3772805	-11	395052	3767469	1694.667	w3
-274	1682.5	397441	3768955	-3896	395546	3767624	1687.971	w8
-274	1682.5	397430	3769001	-3896	394713	3767807	1692.393	w2
-282	1687	397484	3768013	-3896	395143	3767926	1688.028	w7
-132	1685	397937	3768481	-3896	394823	3768219	1687.609	w6
-123	1684.6	398072	3768621	-3896	394264	3767725	1686.489	w12
-312	1680	397758	3769640	-3896	394429	3768100	1688.979	w1
-252	1678.8	397604	3770092	-3896	394008	3768366	1687.655	w9
-236	1677.5	397470	3770415	-3896	393514	3768475	1689.199	w10
-2611	1683	396627	3768465	-3896	393047	3768594	1689.812	w11
-545	1676	395807	3770941	-3896	393651	3768960	1685.894	w13

ادامه جدول الف-٥

10	395615	3766562	1698.292	-808		199	395807	3769028	1679.5	-1049
11	397695	3767574	1690	-3800		200	396700	3768873	1682	-452
12	397808.74	3767601.98	1690	-3477		201	394820	3770220	1676.5	-586
13	395695	3767574	1688	-532		202	394728	3769650	1677	-2408
14	397691	3767271	1693	-625		203	395175	3769307	1678.4	-425
16	397680	3767871	1689	-682		204	395485	3769480	1678.6	-529
18	393731	3775340	1666	-400		206	393743	3770168	1676	-841
19	394060	3776010	1665	-121		207	392937	3770125	1675	-447
20	394056	3775689	1666	-63		208	392711	3769704	1679	-71
21	393536	3774480	1667.5	-132		209	392961	3769306	1683.5	-310
22	394595	3774493	1668	-244		210	393624	3769355	1682.5	-167
23	393738	3775337	1666	-115		211	393739	3768900	1686	-68
24	393731	3775158	1666	-192		217	390247	3770377	1675.5	-60
27	390211	3771663	1672	-96		218	390448	3770250	1674.5	-107
28	392657	3771317	1672	-175		219	391988	3770599	1671	-833
29	392670	3771420	1672	-71		220	391336	3770352	1672	-145
30	391345	3770950	1670.7	-1112		221	391239	3770085	1671.5	-523
31	391782	3771498	1670.7	-85		222	391247	3769690	1673.5	-370
32	389803	3771732	1672	-997		223	390271	3769771	1679.7	-1726
33	390384	3771789	1672.5	-68		224	390411	3769431	1681.5	-1537
34	390650	3771100	1670	-67		226	392603	3767389	1712	-1381
35	391230	3771130	1670.5	-167		227	391449	3768548	1696.5	-405
61	396074	3771351	1675.5	-266		228	392247	3769571	1678.5	-304
62	395883	3771701	1674.9	-164		229	392035	3769601	1676	-685
64	397074	3771351	1674.2	-203		230	392107	3770194	1672.5	-145
65	396168	3772070	1672.5	-132		231	392674	3770414	1673	-562
66	396170	3772071	1672.5	-115		232	392576	3770699	1671.7	-118
67	396444	3772625	1671.7	-178		233	391381	3773223	1667.5	-60
68	395824	3772951	1671.6	-156		234	391440	3773040	1667.7	-60
69	396635	3772668	1672.2	-178		235	391222	3772898	1668	-60
70	396710	3772602	1672.2	-208		241	395610	3776228	1666.5	-871
71	396108	3773003	1672.7	-392		242	395869	3774447	1668	-175
72	396662	3772631	1672.2	-318		243	395491	3775411	1665	-745
73	396040	3773260	1669.7	-419		244	394971	3774320	1668	-460
74	395876	3773663	1669	-518		245	395245	3774391	1668	-838
75	394664	3773601	1669	-167		246	396125	3774798	1667	-140
76	395709	3772514	1673.4	-274		247	396049	3774325	1668	-85
77	396346	3774391	1668	-214		248	396119	3774830	1667	-205
78	396285	3773874	1668	-268		249	395730	3774904	1667	-55
79	396347	3773611	1669	-197		250	396110	3775159	1666	-249
80	395171	3773882	1669	-137		251	396105	3775163	1666	-197
81	394973	3773842	1668.5	-60		252	396169	3775512	1665	-474
82	394944	3773771	1668.5	-107		253	396094	3775324	1665.5	-134
83	394706	3773319	1669.4	-55		254	395906	3775210	1665.6	-82
84	395000	3772923	1671.2	-197		255	396399	3774981	1667	-260
85	394558	3773132	1670.3	-126		256	396834	3774673	1667	-408
86	394276	3772503	1672.4	-222		257	397822	3777162	1665	-510
87	395459	3771986	1675.2	-79		258	398294	3776685	1665.5	-504
88	394211	3771187	1674.7	-134		259	398128	3775086	1668	-507

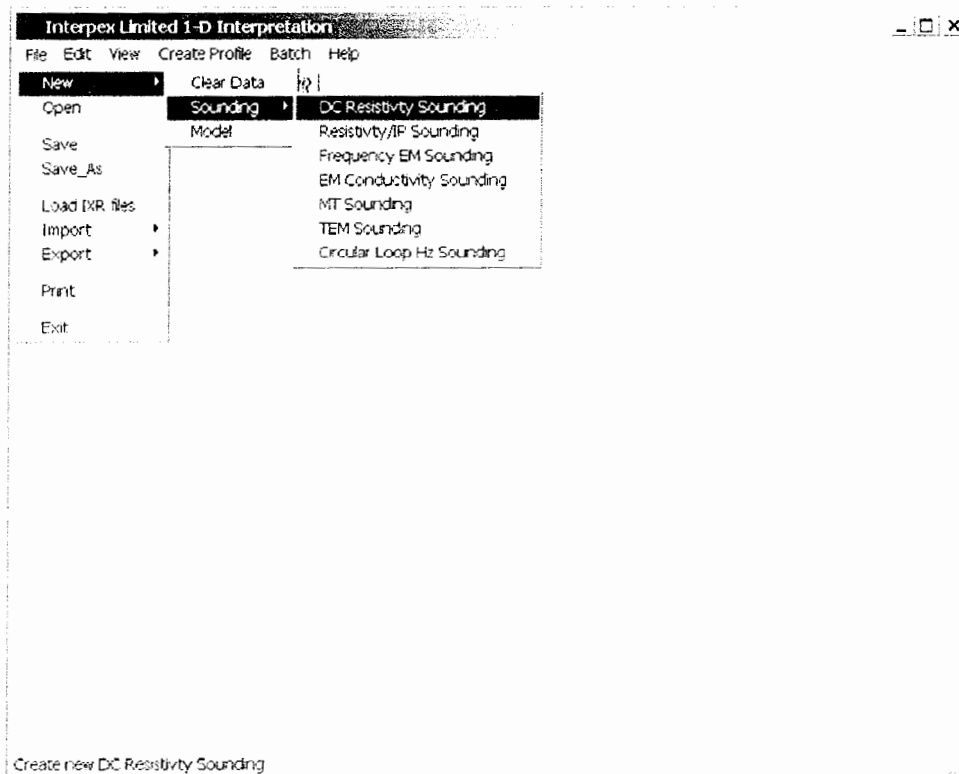
ادامه جدول الف-٥

89	395109	3771521	1676	-518		260	397233	3775226	1666	-638
94	394744	3771293	1675.8	-329		261	397089	3775541	1664.5	-455
95	393725	3771384	1673.7	-1277		263	390341	3775474	1660	-104
96	393333	3772227	1672.8	-85		264	390461	3776409	1662	-112
97	393747	3771997	1673	-414		265	391184	3775076	1661	-104
98	393624	3772232	1672.8	-153		266	391157	3775138	1661	-132
99	393897	3773035	1671	-241		267	391456	3775776	1661	-252
100	393933	3773298	1670.6	-356		268	391357	3775455	1662	-132
101	393280	3772645	1672	-123		269	391322	3775456	1662	-203
102	392890	3772158	1672.7	-142		271	390558	3773753	1667.6	-90
103	393011	3772092	1673	-123		272	390366	3773890	1668	-101
104	392608	3772703	1671.5	-60		273	390481	3773743	1667	-110
105	392371	3772568	1670.8	-863		274	390473	3773756	1667	-82
106	392953	3771852	1673	-145		275	390292	3773570	1668	-441
107	392854	3771752	1673	-88		276	392210	3775597	1664	-877
108	392779	3771744	1672.8	-101		278	391865	3774765	1665	-397
109	392800	3771250	1672.8	-164		280	391932	3774383	1666	-567
110	392652	3771815	1672.5	-501		286	390082	3775571	1662	-104
111	392109	3771870	1671	-468		287	395442	3773560	1669	-255
112	392500	3771800	1672	-260						

## پیوست ب: روش کار ، نمونه فایل و مدل ساخته شده *RESIX IP*

در اینجا روش استفاده از نرم افزار *IXID* جهت مدلسازی داده های مقاومت ویژه شرح داده می شود. و مدلهای ساخته شده توسط این نرم افزار در ادامه آمده است.

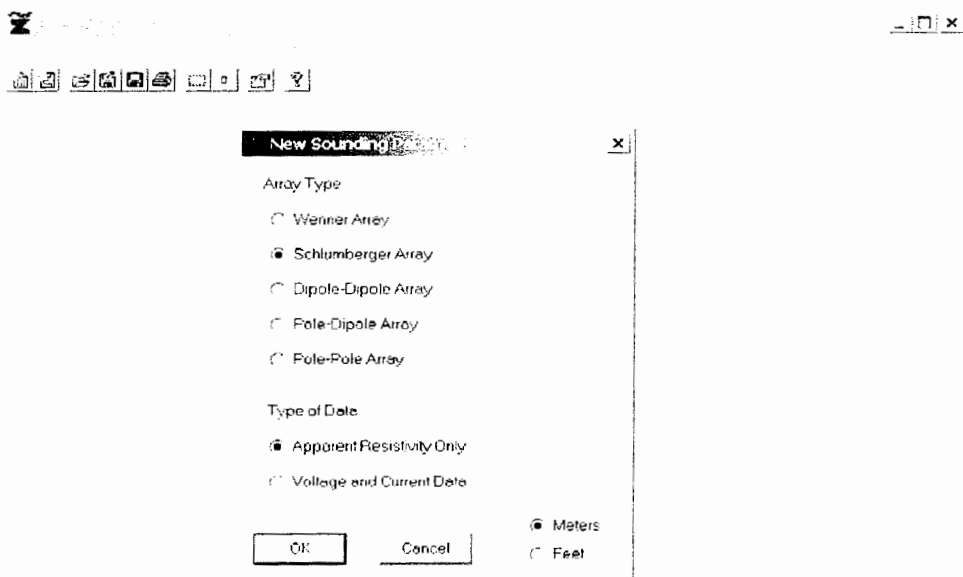
این نرم افزار به علت اینکه در سیستم عامل ویندوز قابل اجرا است، در عین کارایی بالای آن نرم افزار، کار با آن بسیار ساده می باشد. این نرم افزار علاوه بر مدلسازی یک بعدی داده های مقاومت *IXID*، داده های مربوط به *EM* و *IP* را نیز مدلسازی می کند (شکل ب - ۱: صفحه اصلی برنامه *MT EM Conductivity sounding Frequently EM sounding JP* که داده های مقاومت ویژه، *TEM sounding sounding* را می تواند مدلسازی یک بعدی کند).



شکل ب - ۱: صفحه اصلی برنامه *IXID* که داده های مقاومت ویژه، *IP*، *Frequently EM sounding*، *JP* را می تواند مدلسازی یک بعدی کند.

برای وارد کردن داده های مقاومت ویژه همانطور که در شکل ب ۱- صفحه اصلی *EM Conductivity Frequently EM sounding JP* برنامه *IXID* که داده های مقاومت ویژه، *TEM sounding MT sounding sounding* را می تواند مدلسازی یک بعدی کند. دیده می شود در قسمت *DC Resistivity sounding File → sounding* نوع آرایه، مقاومت ویژه ظاهری، فاصله بین الکترودهای پتانسیل *MN* و فاصله الکترودی *AB/2* را همراه با مشخصات دیگر وارد می کنیم(شکل ب ۲-).

بعد از آن صفحه ای باز می شود که داده های مقاومت ویژه بر حسب فواصل الکترودی رسم شده اند. در اینجا می توان یک مدل اولیه برای مدلسازی به نرم افزار داد، تا بر اساس زمین شناسی منطقه بتوان نتیجه مطلوبی را به دست آورد.



شکل ب ۲- : تعیین نوع آرایه ای که داده ها با آن برداشت شده است.

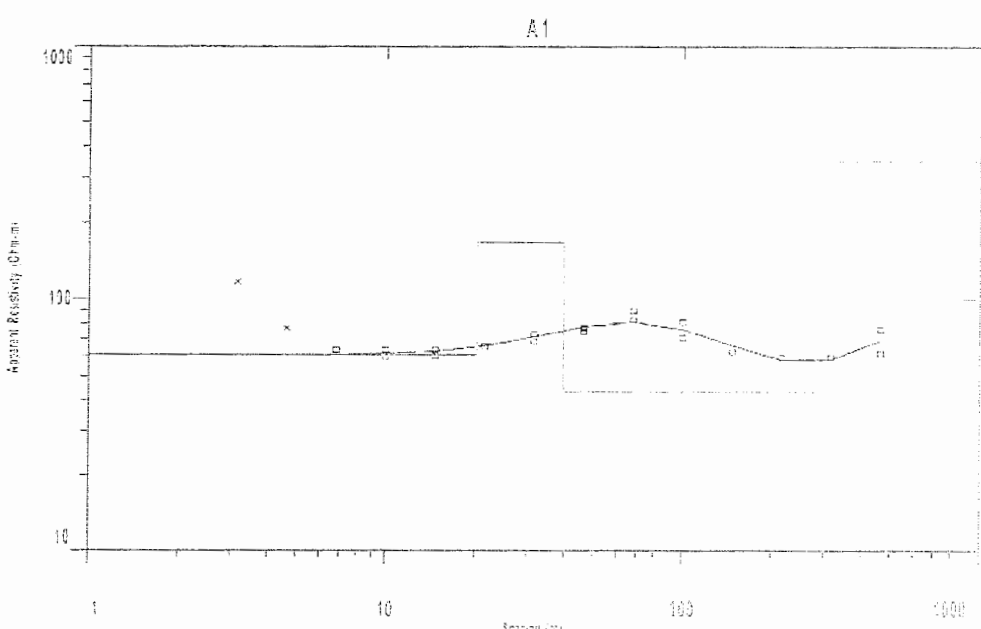
پس از آنکه مدل اولیه داده شد، می توان معکوس سازی را آغاز کرد، در این نرم افزار می توان تنها، یکبار یا با تعداد دفعات تکرار بالا جهت کاهش خطای معکوس سازی کرد. پس از معکوس سازی نیز می توان بطور همزمان بر روی مدل ضخامت لایه و مقاومت آن را تغییر داد، اما باید به مقدار

خطا توجه داشت تا زیاد افزایش پیدا نکند. پس از آنکه مدل دلخواه حاصل شد می توان آن را در نرم افزار ذخیره کرد.

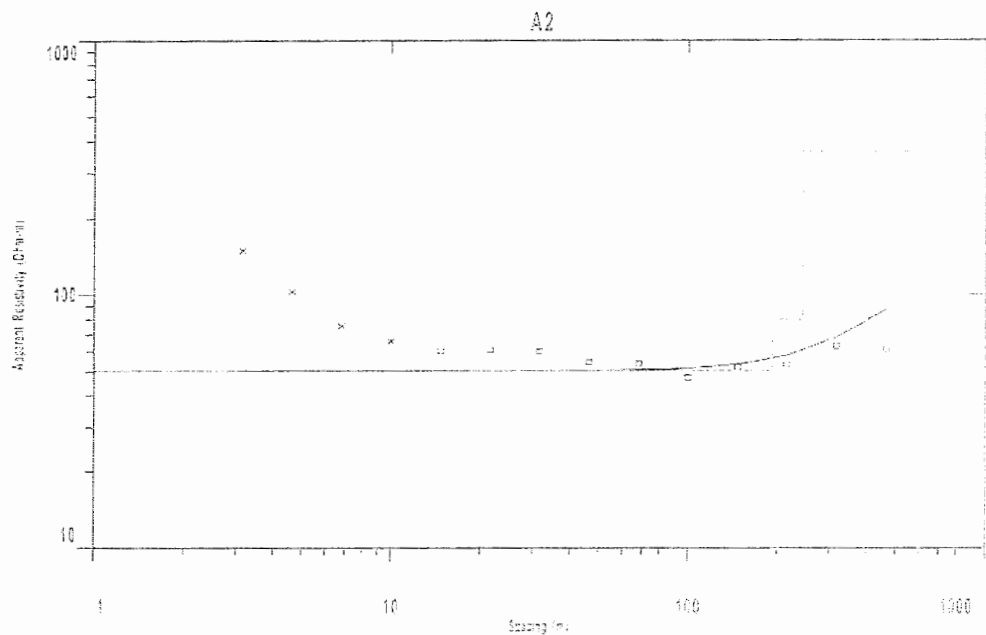
### مدل های ساخته شده نرم افزار IXID

در زیر مدلهای ساخته شده توسط این نرم افزار همرا با اطلاعات مربوط به لایه ها آورده شده است.

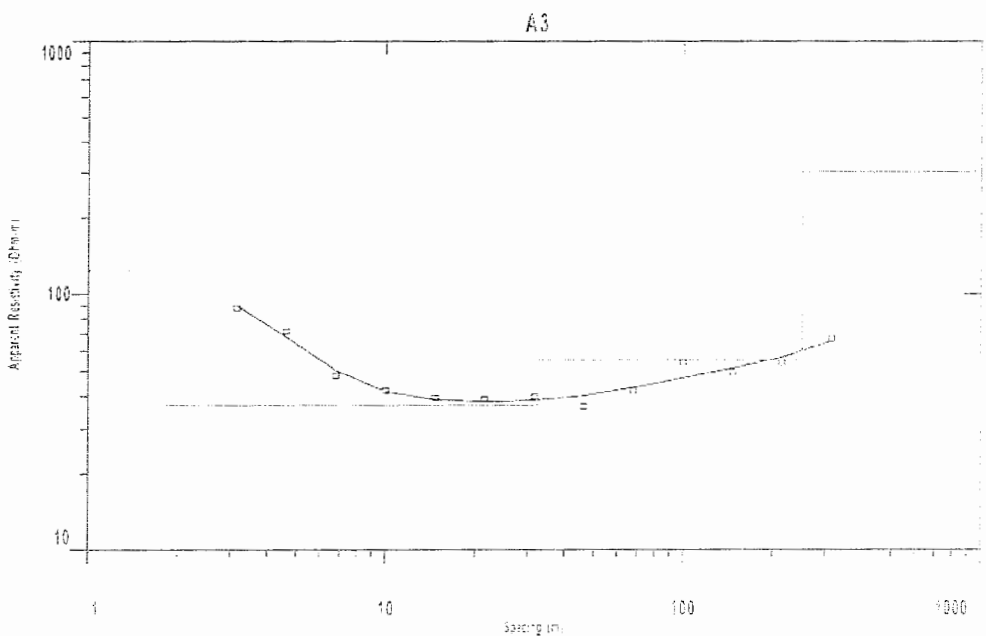
در تمام اشکال آورده شده در ذیل نقاطی که به صورت ضربدر نشان داده شده است، حذف شده اند. یعنی در مدلسازی داده ها به علت مغایرت با زمین شناسی منطقه از آنها استفاده نشده است، تا خطای حاصل از مدلسازی کاهش یابد.



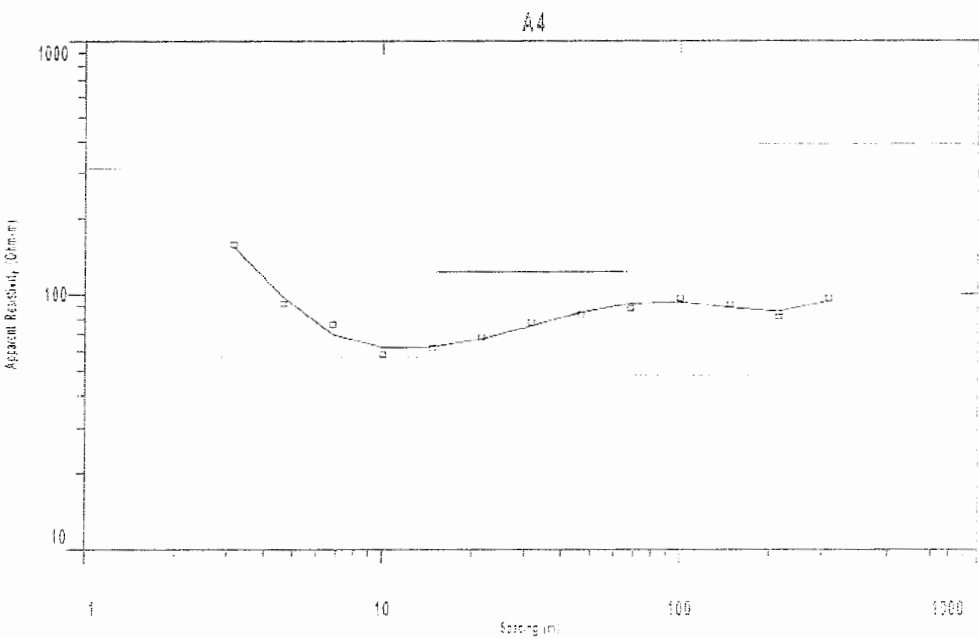
شکل ب-۳ : مدل یک بعدی سوندای A1 حاصل از معکوس سازی داده های مقاومت ویژه ظاهری توسط نرم افزار IXID



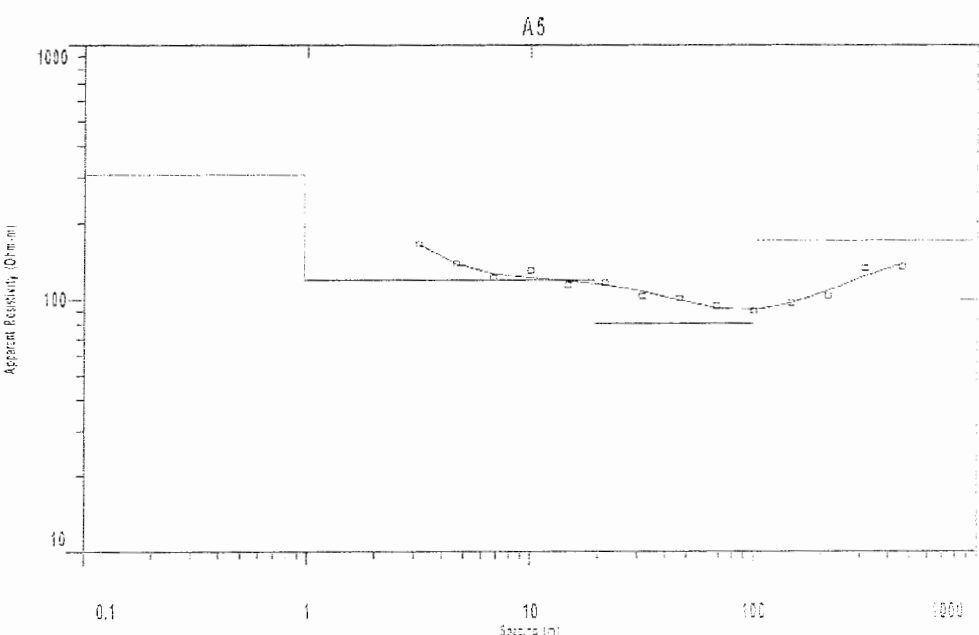
شکل ب- ۴: مدل یک بعدی سوندایز A2 حاصل از معکوس سازی داده های مقاومت ویژه ظاهری توسط نرم افزار IXID



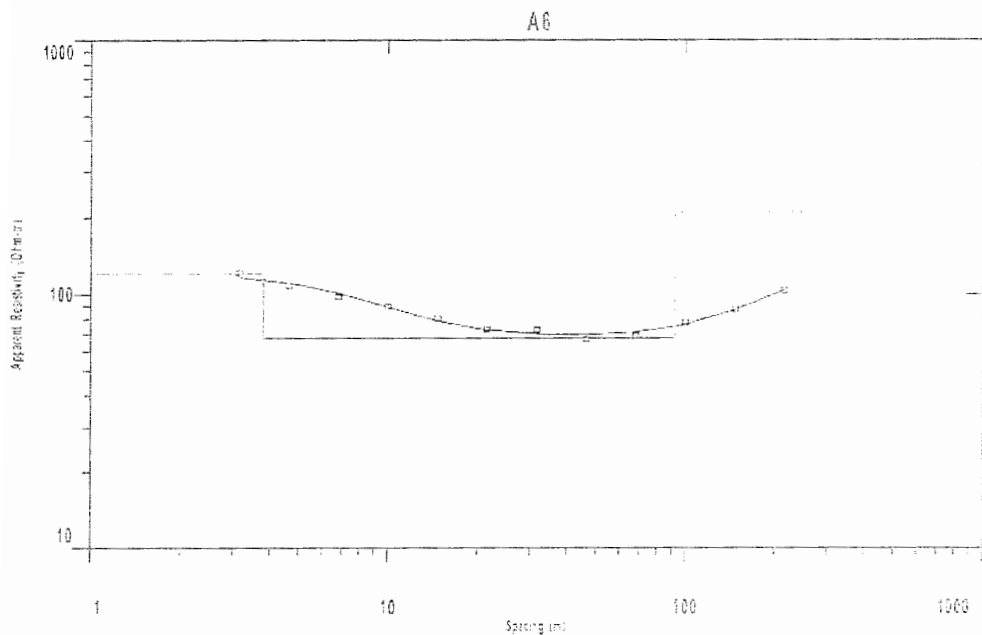
شکل ب- ۵: مدل یک بعدی سوندایز A3 حاصل از معکوس سازی داده های مقاومت ویژه ظاهری توسط نرم افزار IXID



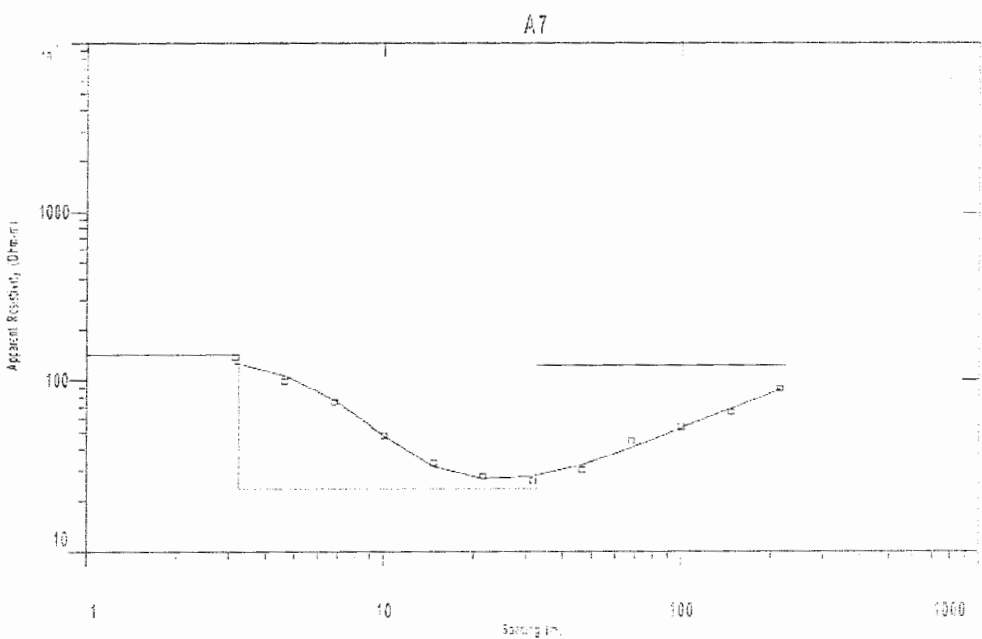
شکل ب-۶: مدل یک بعدی سونداز A4 حاصل از معکوس سازی داده های مقاومت ویژه ظاهری توسط نرم افزار *IXID*



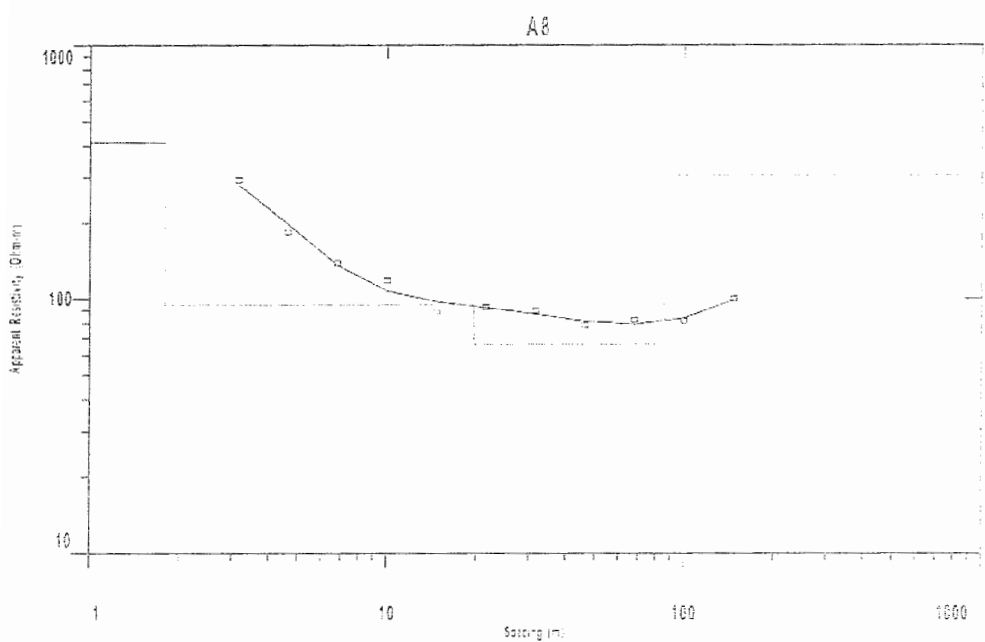
شکل ب-۷: مدل یک بعدی سونداز A5 حاصل از معکوس سازی داده های مقاومت ویژه ظاهری توسط نرم افزار *IXID*



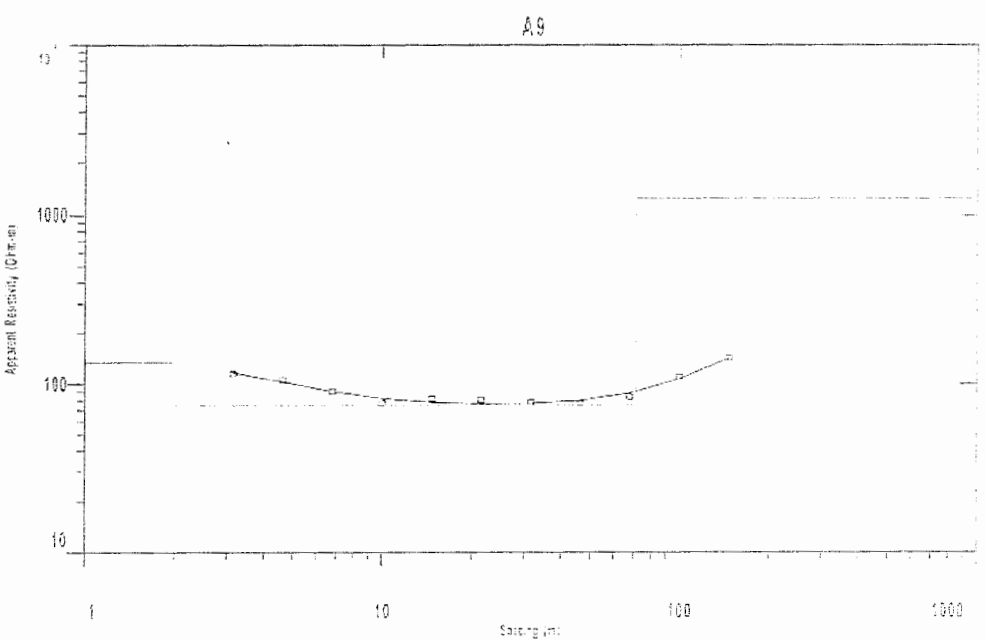
شکل ب-۸ : مدل یک بعدی سوندایز ۴۶ حاصل از معکوس سازی داده های مقاومت ویژه ظاهری توسط نرم افزار *IXID*



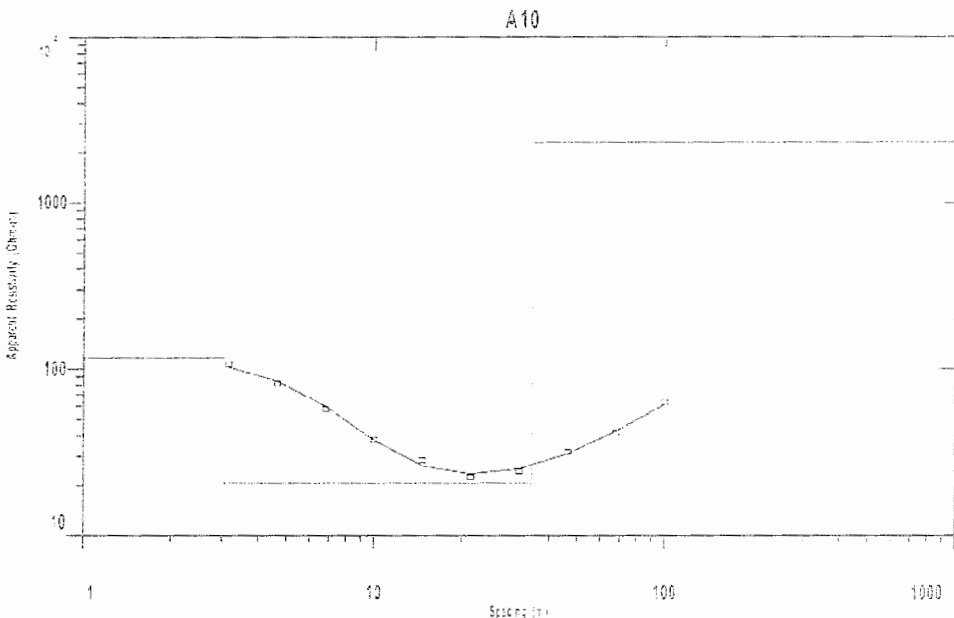
شکل ب-۹ : مدل یک بعدی سوندایز ۴۷ حاصل از معکوس سازی داده های مقاومت ویژه ظاهری توسط نرم افزار *IXID*



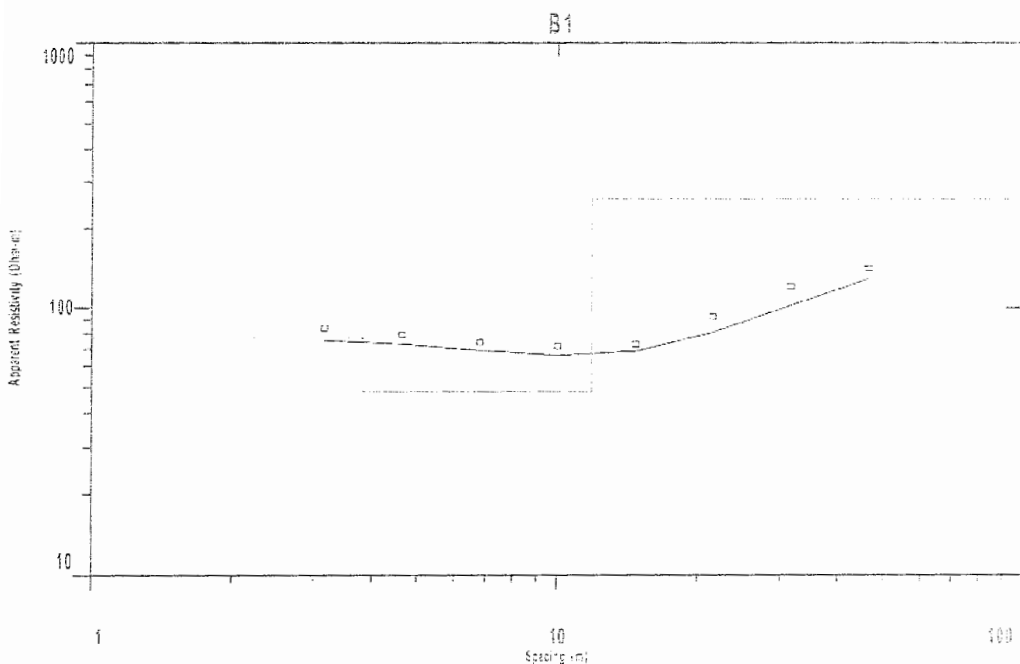
شکل ب - ۱۰ : مدل یک بعدی سونداز A8 حاصل از معکوس سازی داده های مقاومت ویژه ظاهری توسط نرم افزار *IXID*



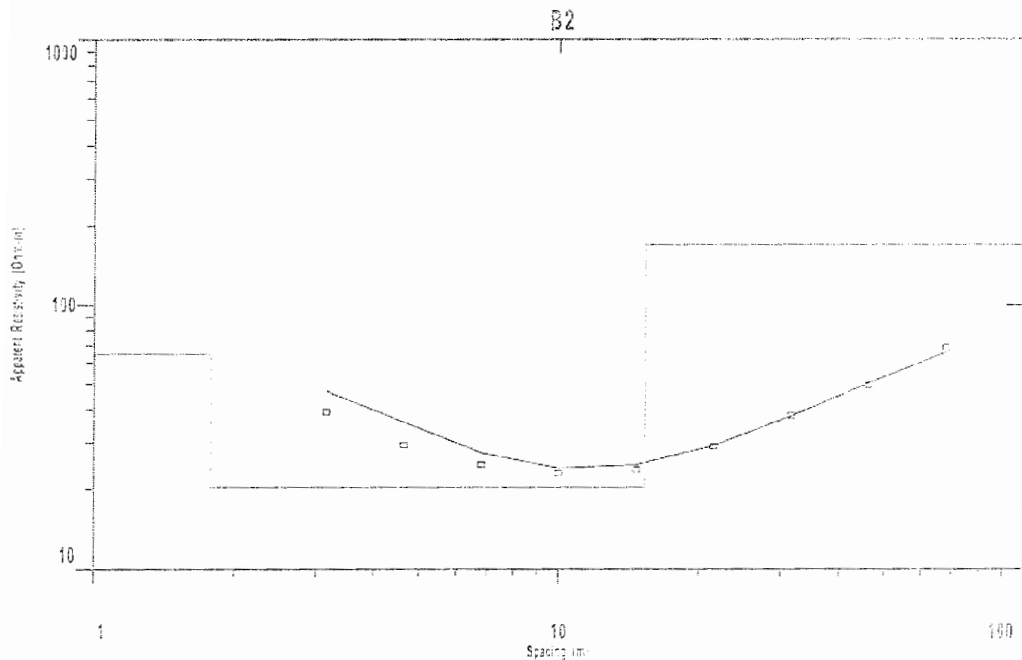
شکل ب - ۱۱ : مدل یک بعدی سونداز A9 حاصل از معکوس سازی داده های مقاومت ویژه ظاهری توسط نرم افزار *IXID*



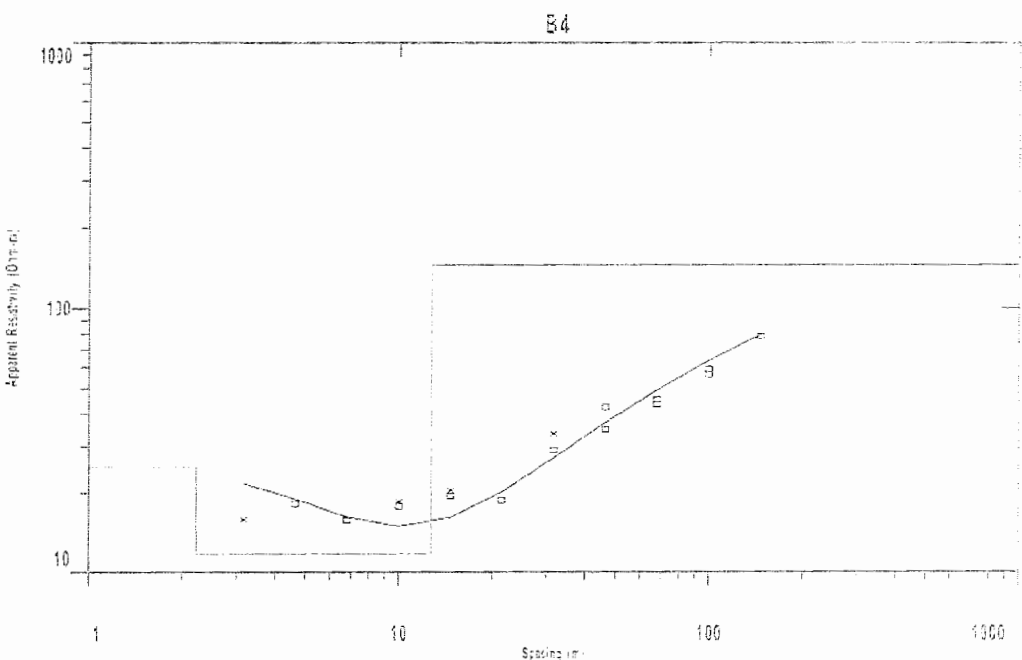
شکل ب- ۱۲ : مدل یک بعدی سونداز A10 حاصل از معکوس سازی داده های مقاومت ویژه ظاهری توسط نرم افزار IXID



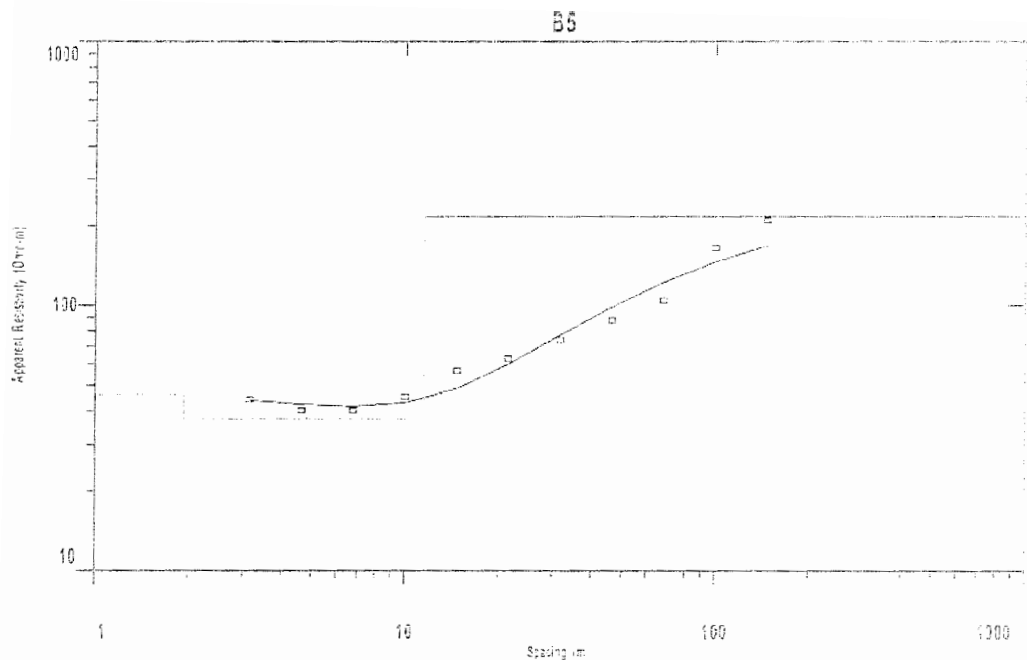
شکل ب- ۱۳ : مدل یک بعدی سونداز B1 حاصل از معکوس سازی داده های مقاومت ویژه ظاهری توسط نرم افزار IXID



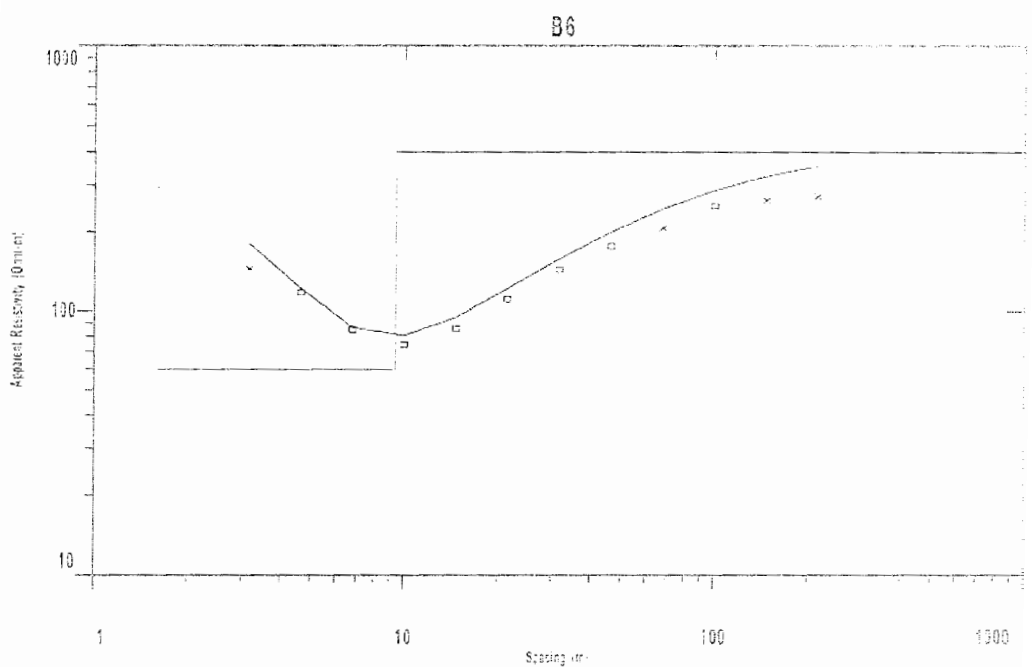
شکل ب-۱۴ : مدل یک بعدی سوندای B2 حاصل از معکوس سازی داده های مقاومت ویژه ظاهری توسط نرم افزار IXID



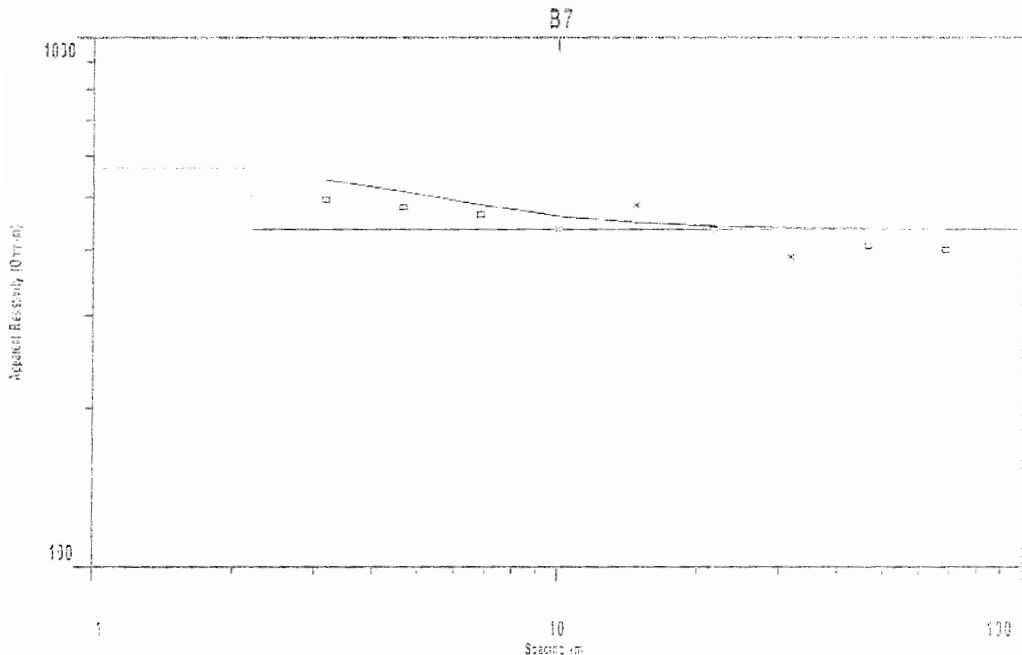
شکل ب-۱۵ : مدل یک بعدی سوندای B4 حاصل از معکوس سازی داده های مقاومت ویژه ظاهری توسط نرم افزار IXID



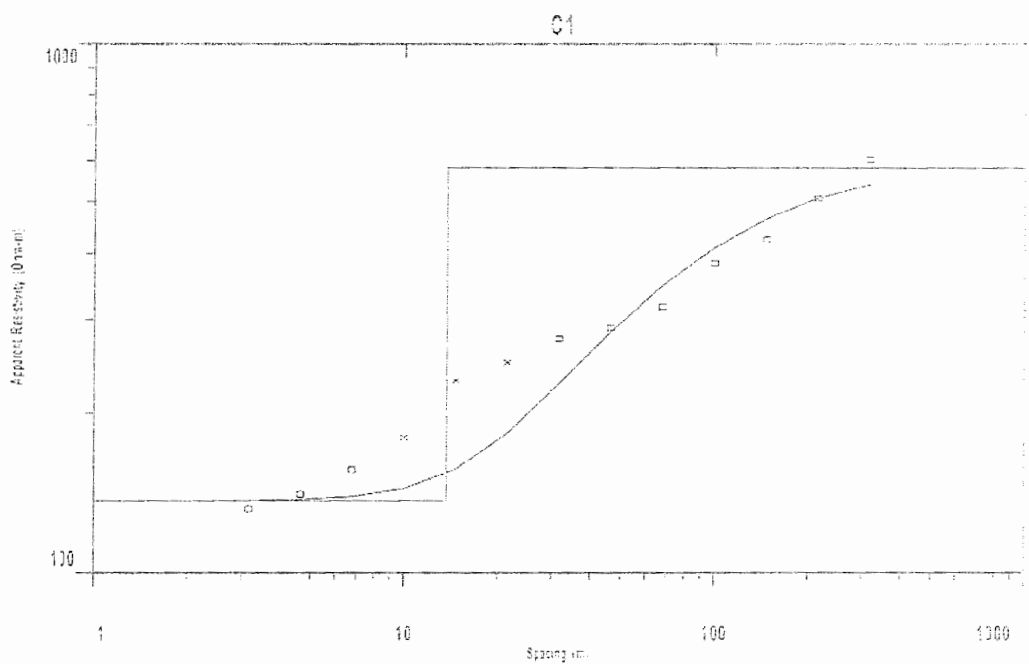
شکل ب-۱۶ : مدل یک بعدی سوندایز B5 حاصل از معکوس سازی داده های مقاومت ویژه ظاهری توسط نرم افزار IXID



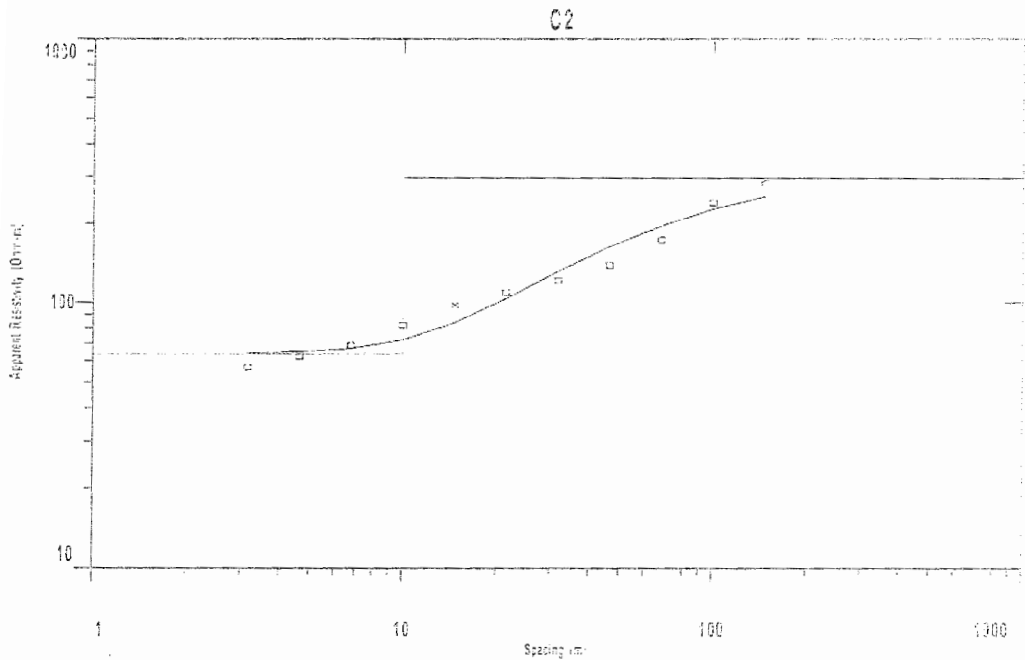
شکل ب-۱۷ : مدل یک بعدی سوندایز B6 حاصل از معکوس سازی داده های مقاومت ویژه ظاهری توسط نرم افزار IXID



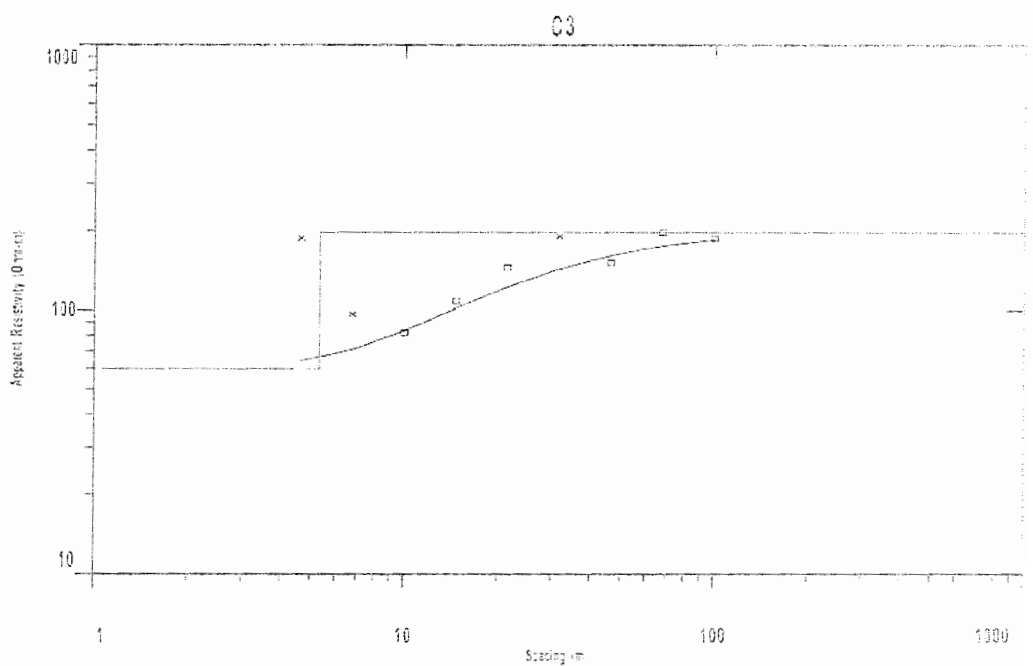
شکل ب-۱۸- مدل یک بعدی سونداز B7 حاصل از معکوس سازی داده های مقاومت ویژه ظاهری توسط نرم افزار IX1D



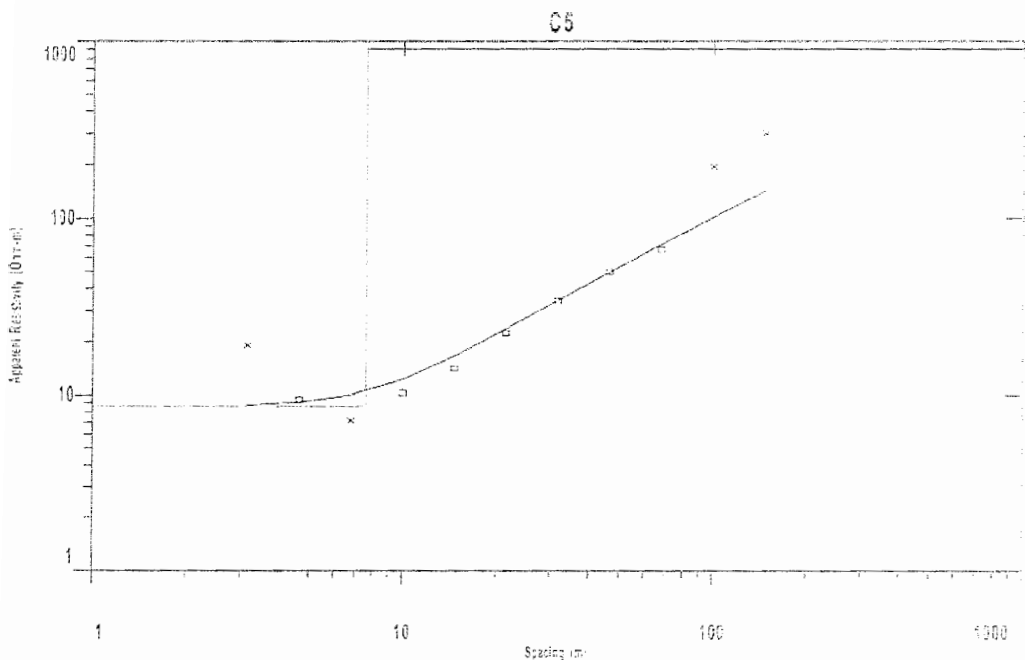
شکل ب-۱۹- مدل یک بعدی سونداز C1 حاصل از معکوس سازی داده های مقاومت ویژه ظاهری توسط نرم افزار IX1D



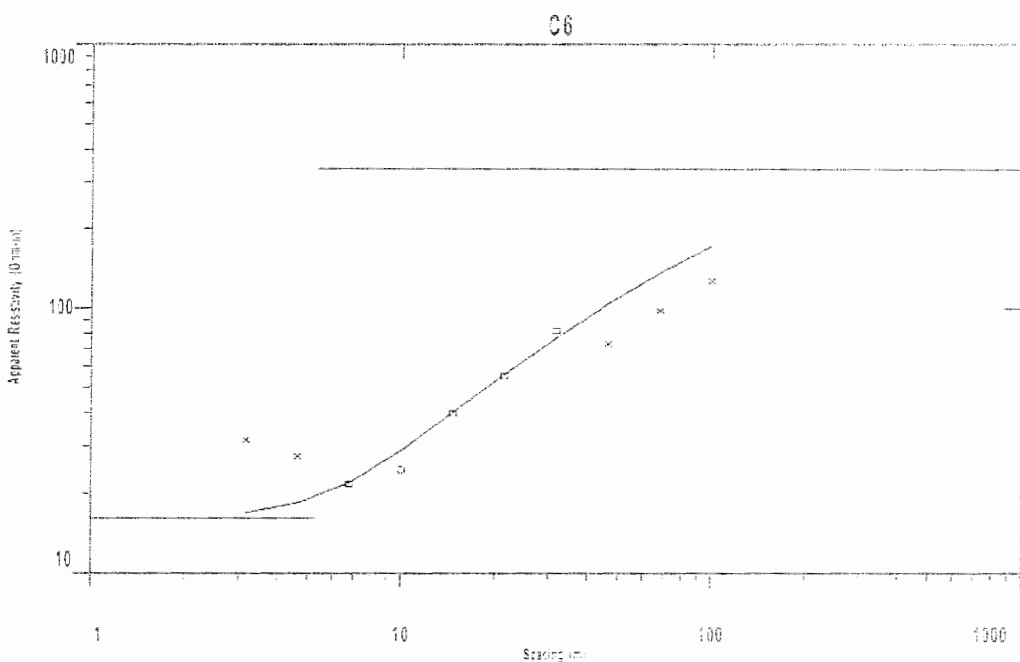
شکل ب - ۲۰ - مدل یک بعدی سوندایز C2 حاصل از معکوس سازی داده های مقاومت ویژه ظاهری توسط نرم افزار IX1D



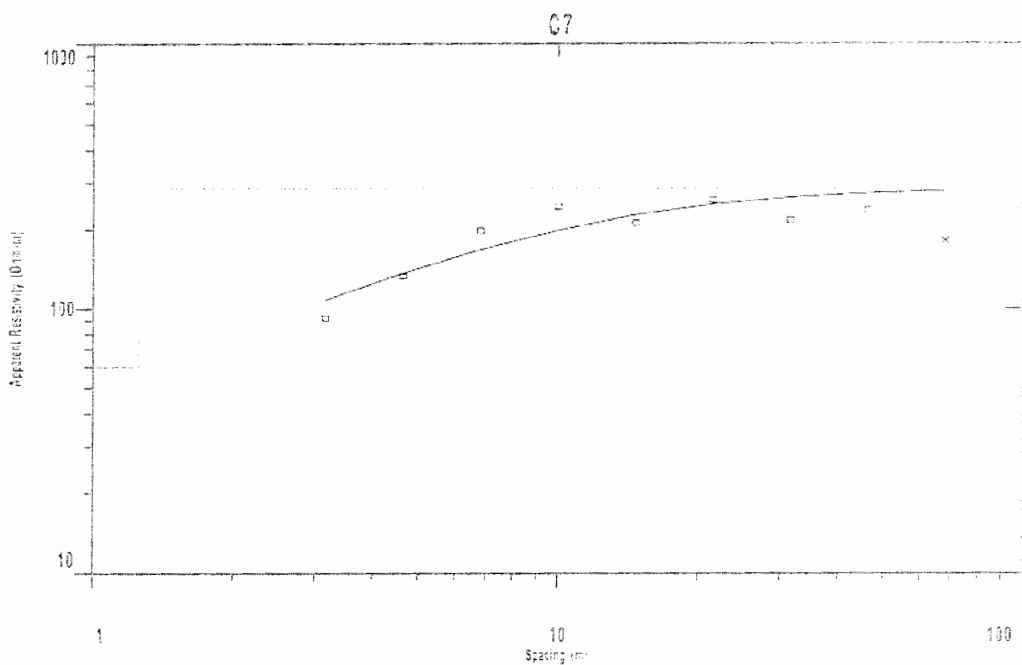
شکل ب - ۲۱ - مدل یک بعدی سوندایز C3 حاصل از معکوس سازی داده های مقاومت ویژه ظاهری توسط نرم افزار IX1D



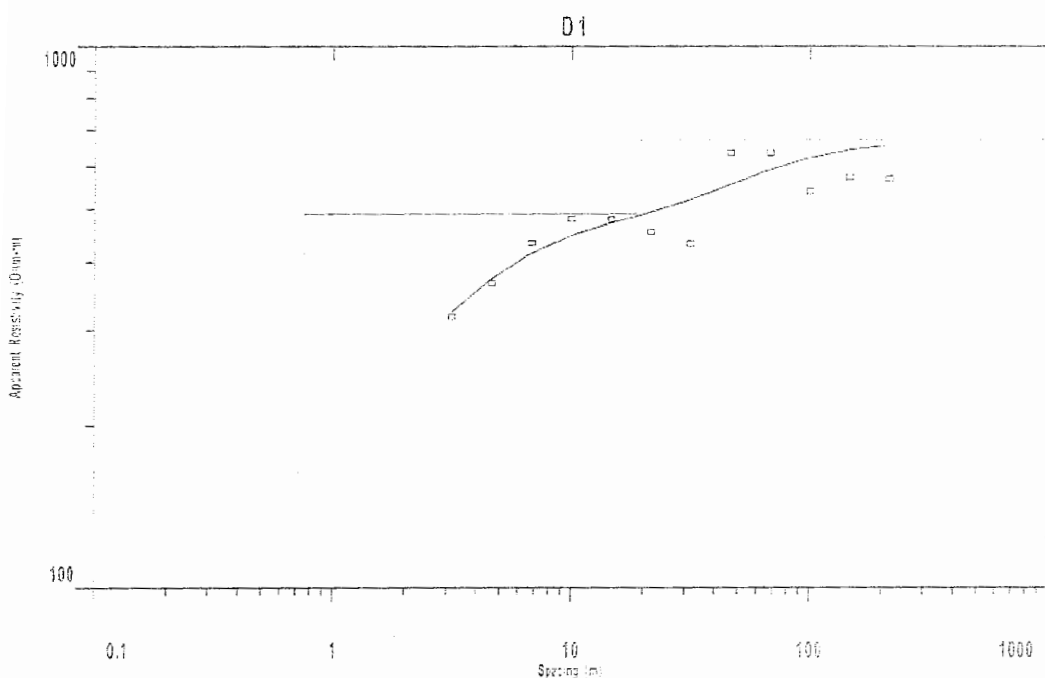
شکل ب- ۲۲- مدل یک بعدی سونداز C6 حاصل از معکوس سازی داده های مقاومت ویژه ظاهری توسط نرم افزار IX1D



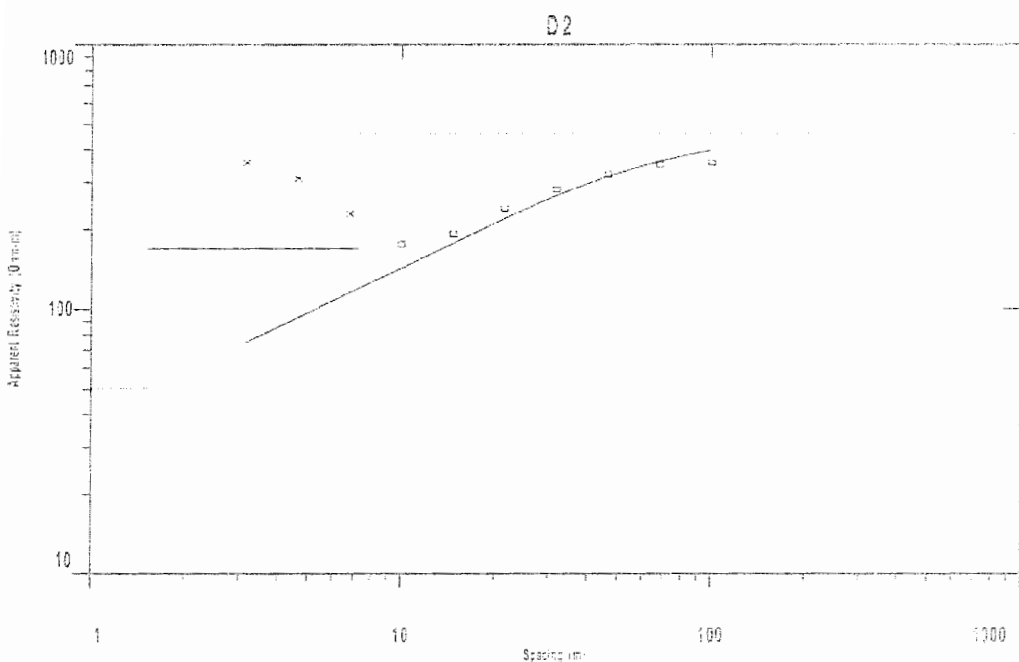
شکل ب- ۲۳- مدل یک بعدی سونداز C6 حاصل از معکوس سازی داده های مقاومت ویژه ظاهری توسط نرم افزار IX1D



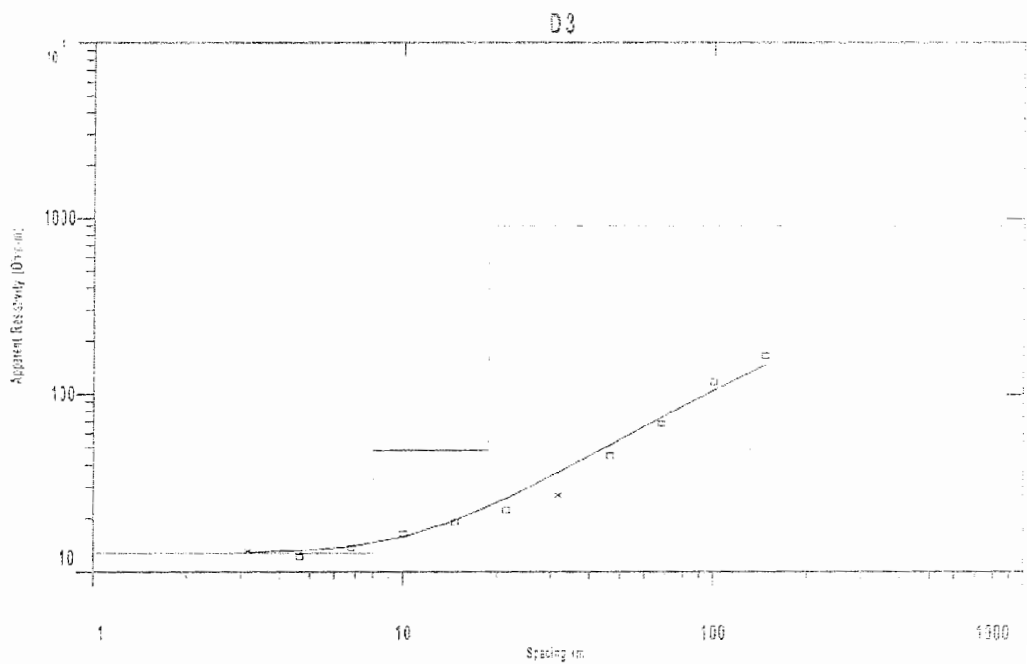
شکل ب-۲۴- مدل یک بعدی سوندایز C7 حاصل از معکوس سازی داده های مقاومت ویژه ظاهری توسط نرم افزار IX1D



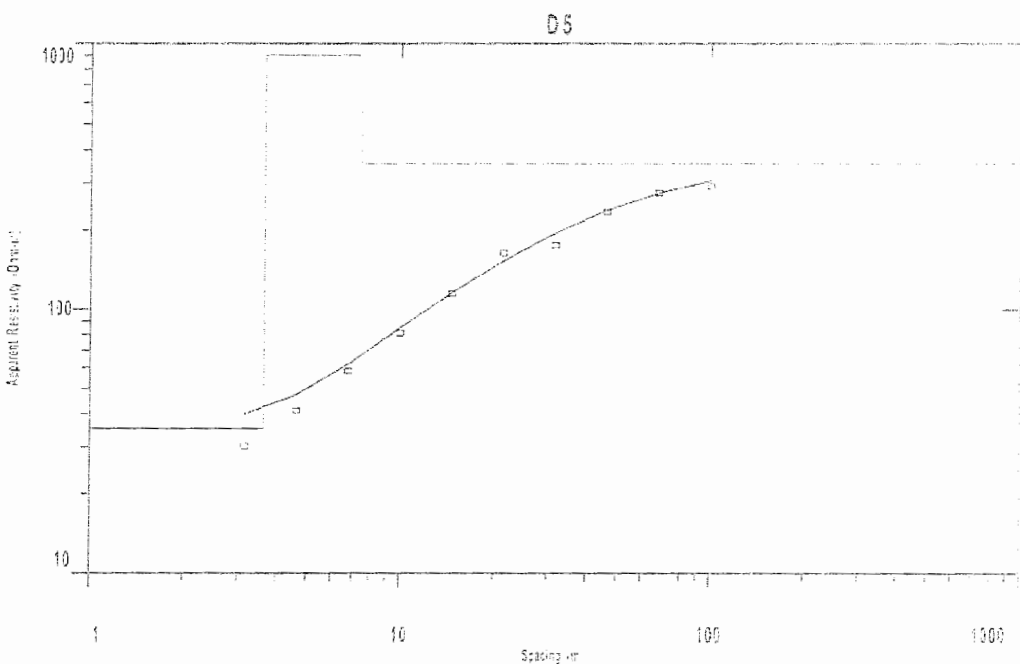
شکل ب-۲۵- مدل یک بعدی سوندایز D1 حاصل از معکوس سازی داده های مقاومت ویژه ظاهری توسط نرم افزار IX1D



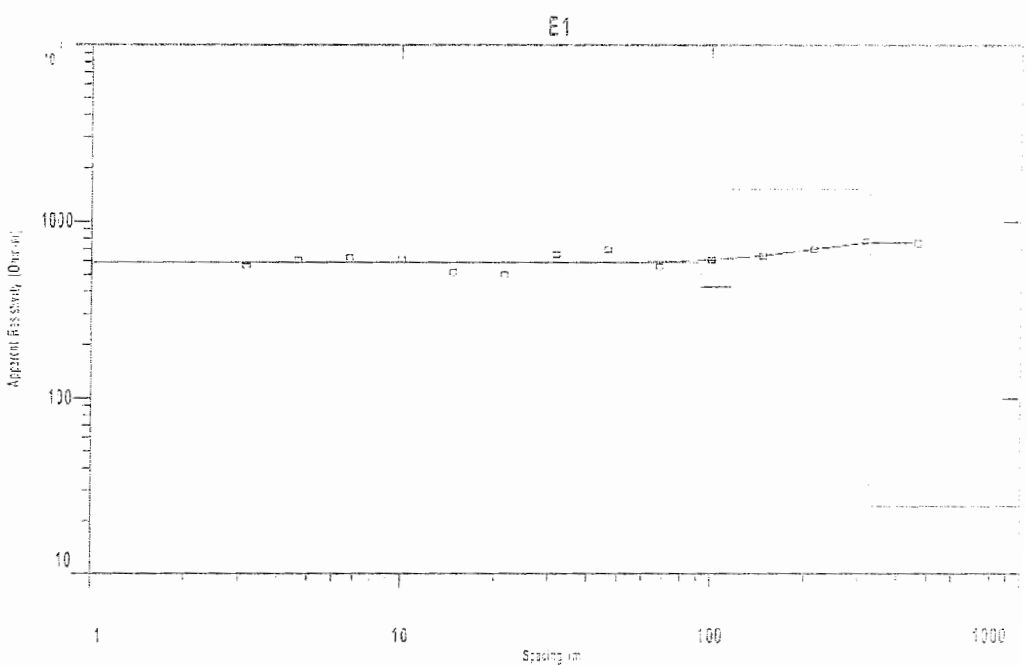
شکل ب- ۲۶- مدل یک بعدی سوندای D2 حاصل از معکوس سازی داده های مقاومت ویژه ظاهری توسط نرم افزار IX1D



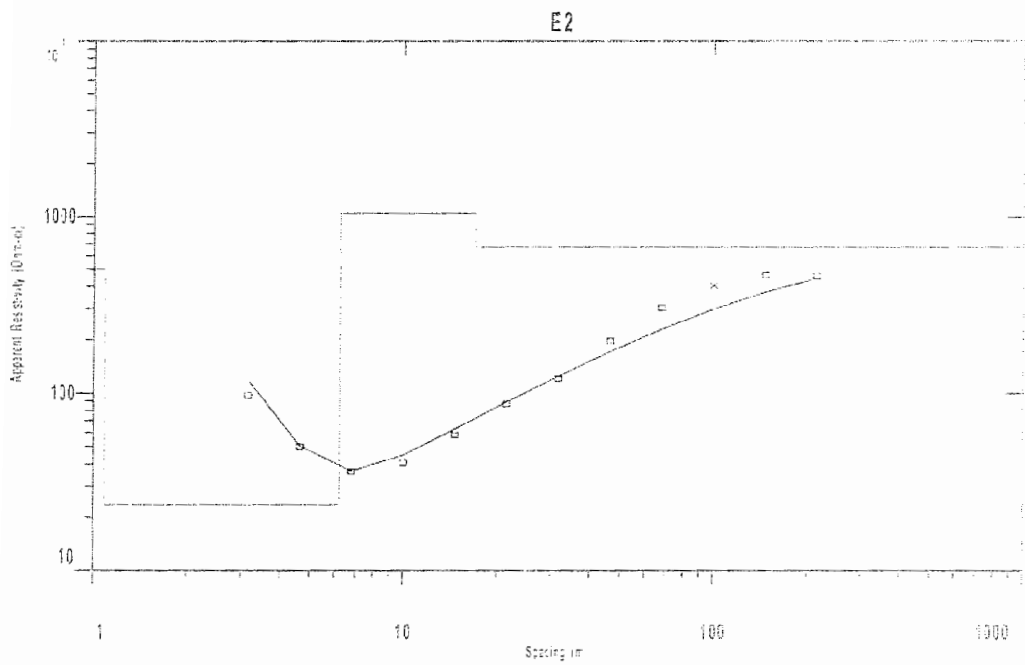
شکل ب- ۲۷- مدل یک بعدی سوندای D3 حاصل از معکوس سازی داده های مقاومت ویژه ظاهری توسط نرم افزار IX1D



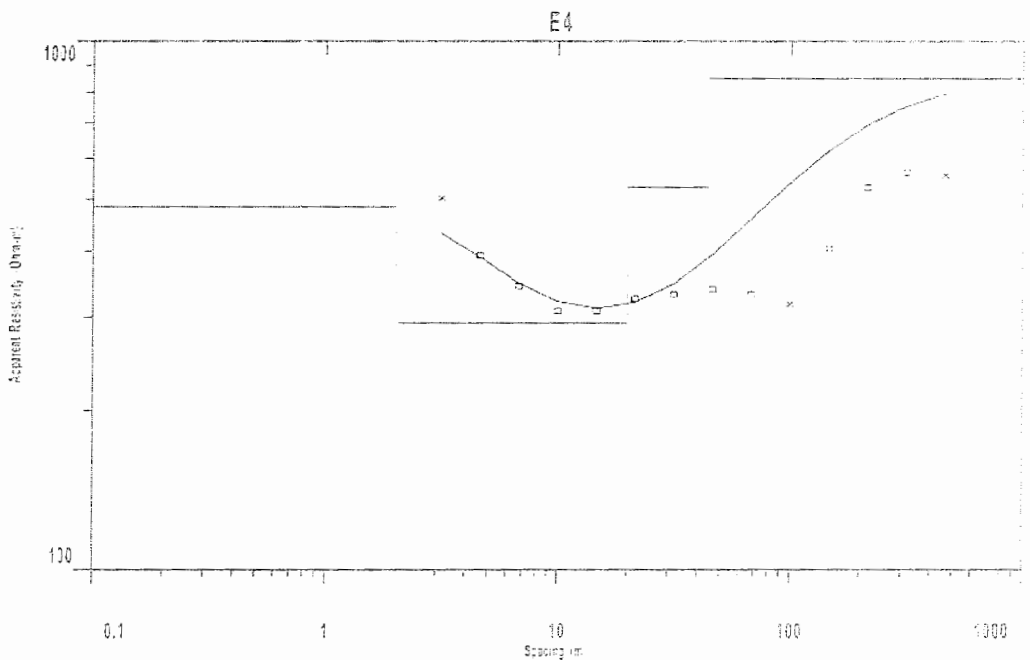
شکل ب-۲۸- مدل یک بعدی سونداز D5 حاصل از معکوس سازی داده های مقاومت ویژه ظاهری توسط نرم افزار IXID



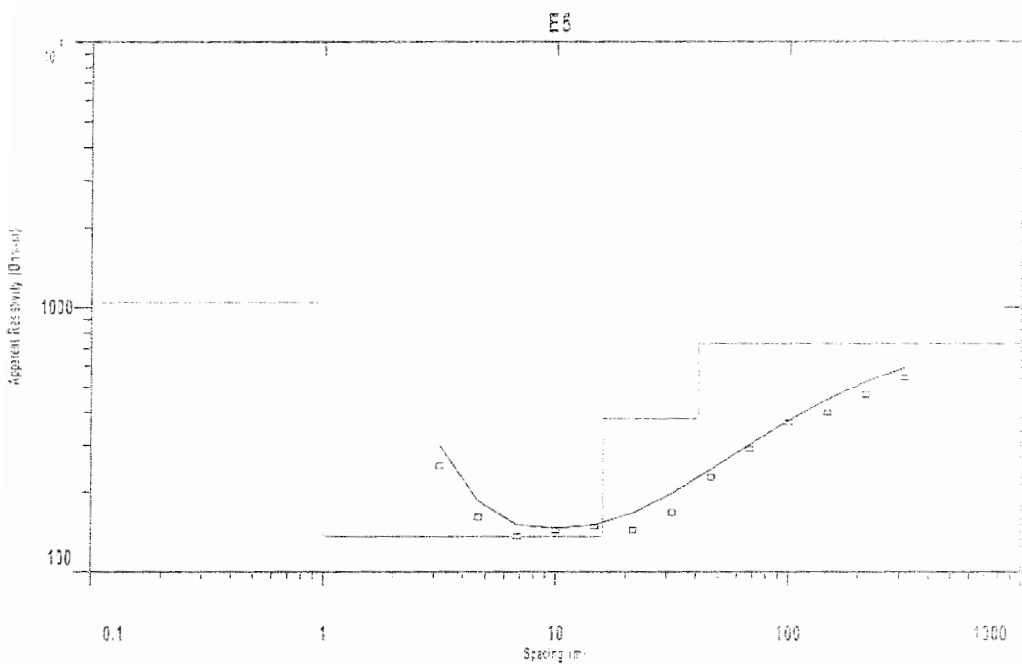
شکل ب-۲۹- مدل یک بعدی سونداز E1 حاصل از معکوس سازی داده های مقاومت ویژه ظاهری توسط نرم افزار IXID



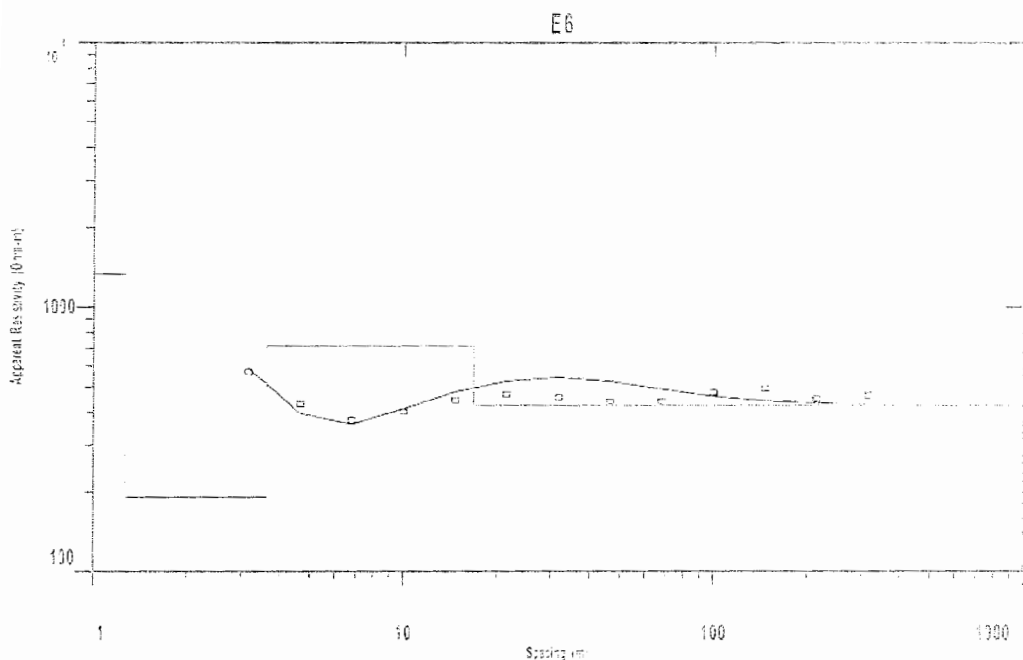
شکل ب - ۳۰ - مدل یک بعدی سوندای E2 حاصل از معکوس سازی داده های مقاومت ویژه ظاهری توسط نرم افزار IX1D



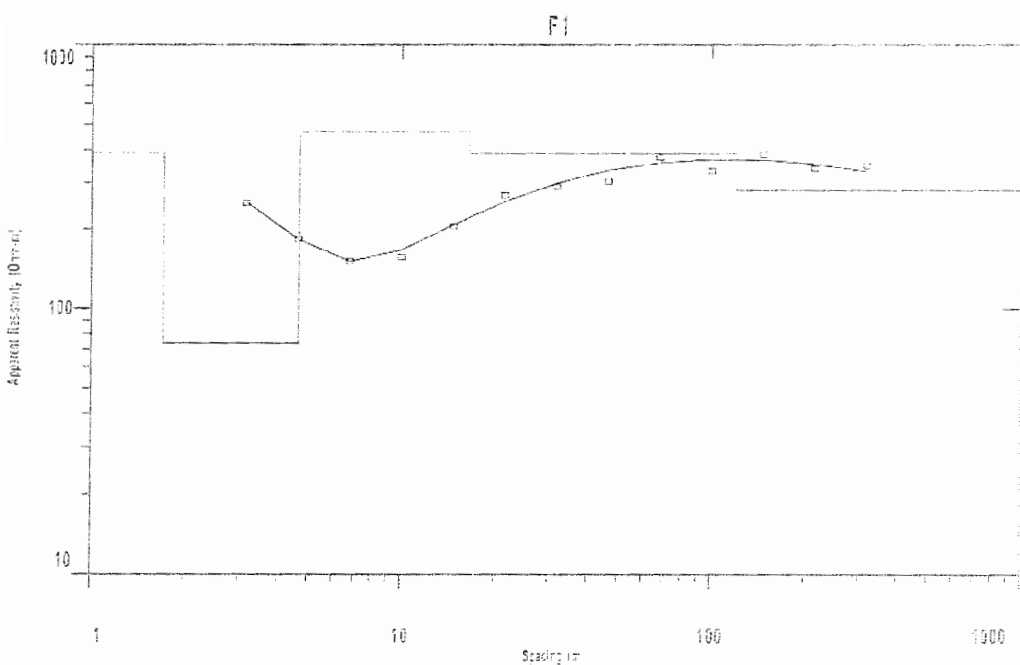
شکل ب - ۳۱ - مدل یک بعدی سوندای E4 حاصل از معکوس سازی داده های مقاومت ویژه ظاهری توسط نرم افزار IX1D



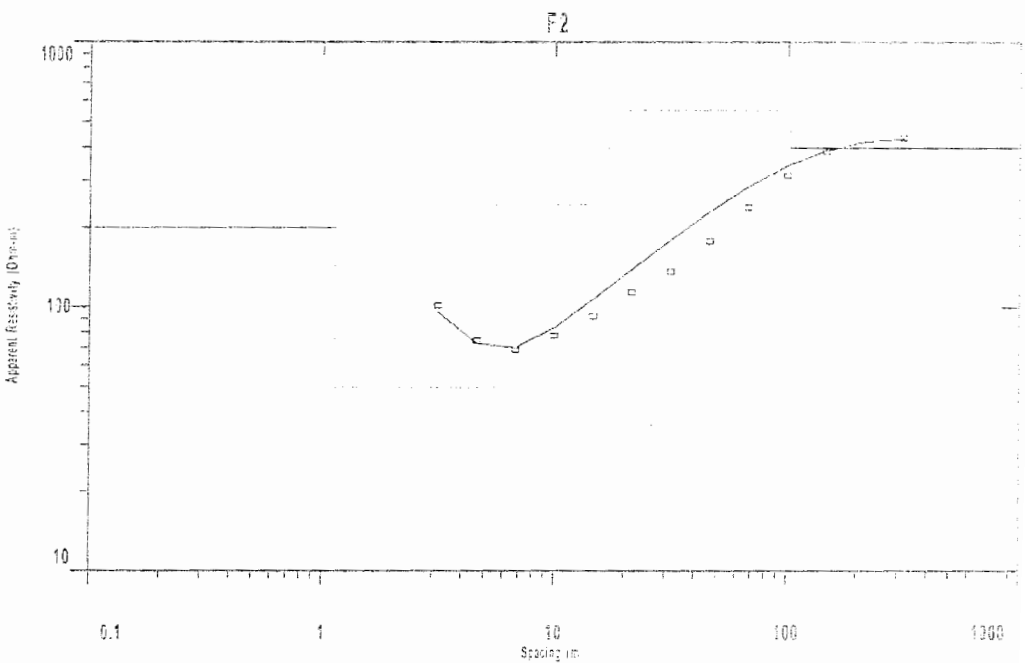
شکل ب- ۳۲- مدل یک بعدی سوندای E5 حاصل از معکوس سازی داده های مقاومت ویژه ظاهری توسط نرم افزار IX1D



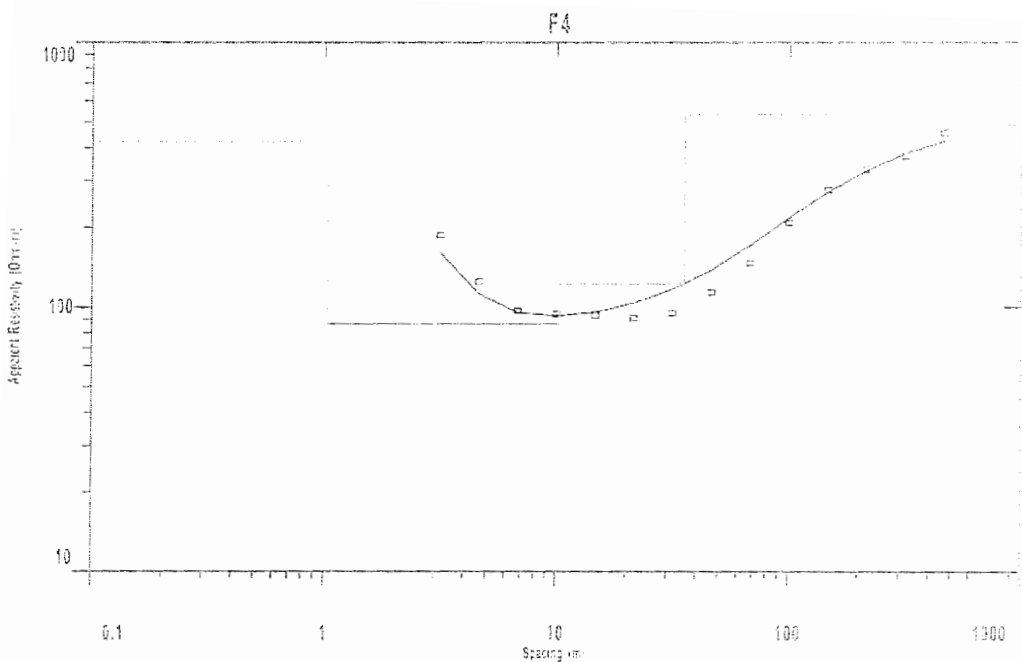
شکل ب- ۳۳- مدل یک بعدی سوندای E6 حاصل از معکوس سازی داده های مقاومت ویژه ظاهری توسط نرم افزار IX1D



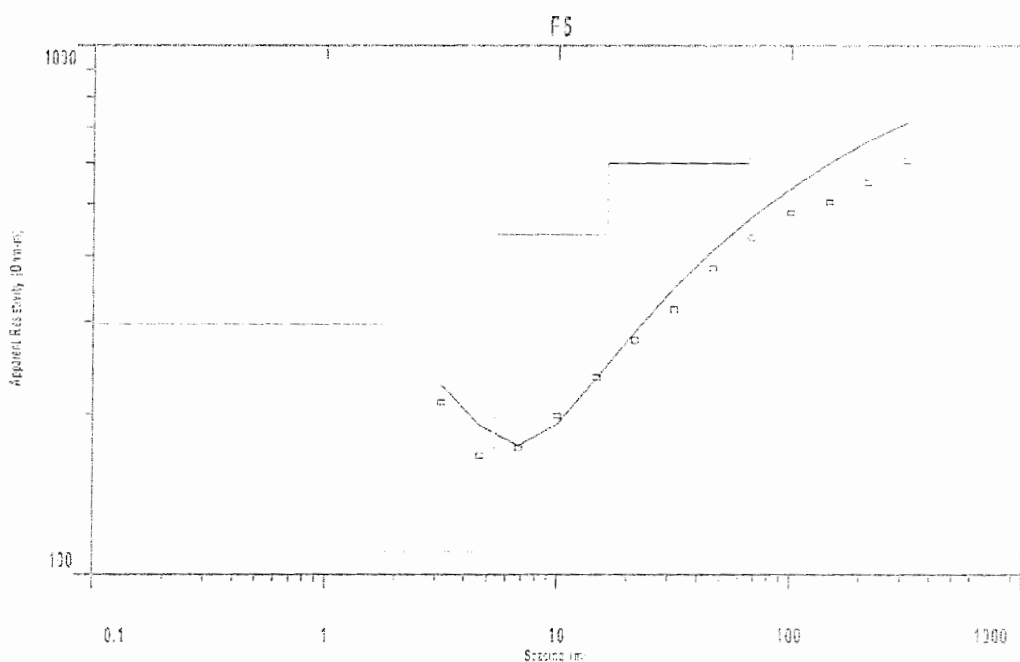
شکل ب- ۳۴ : مدل یک بعدی سونداز F1 حاصل از معکوس سازی داده های مقاومت ویژه ظاهری توسط نرم افزار IX1D



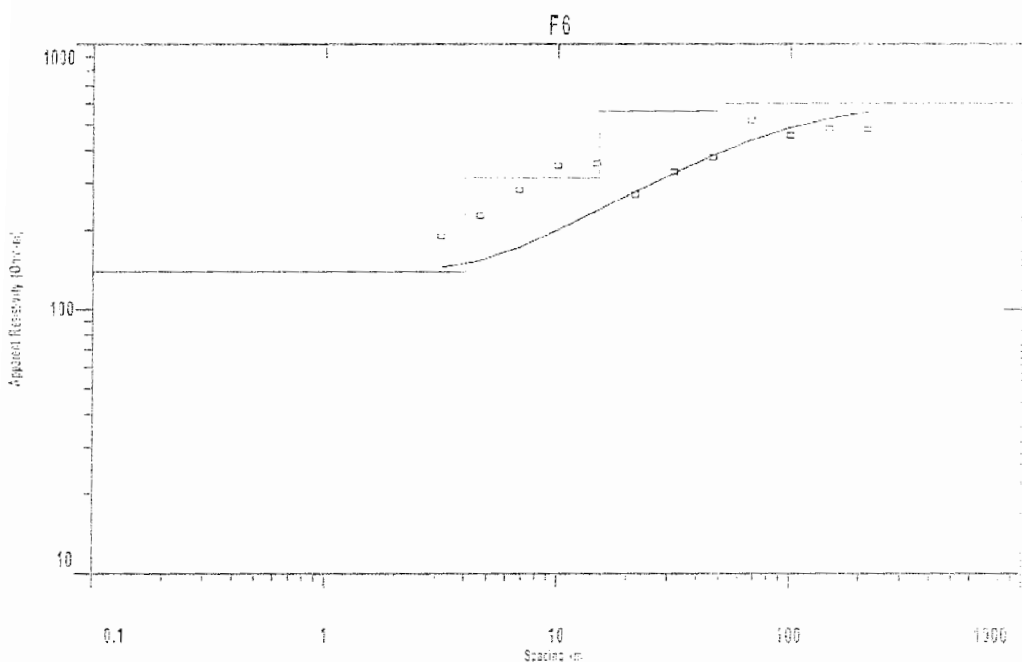
شکل ب- ۳۵ : مدل یک بعدی سونداز F2 حاصل از معکوس سازی داده های مقاومت ویژه ظاهری توسط نرم افزار IX1D



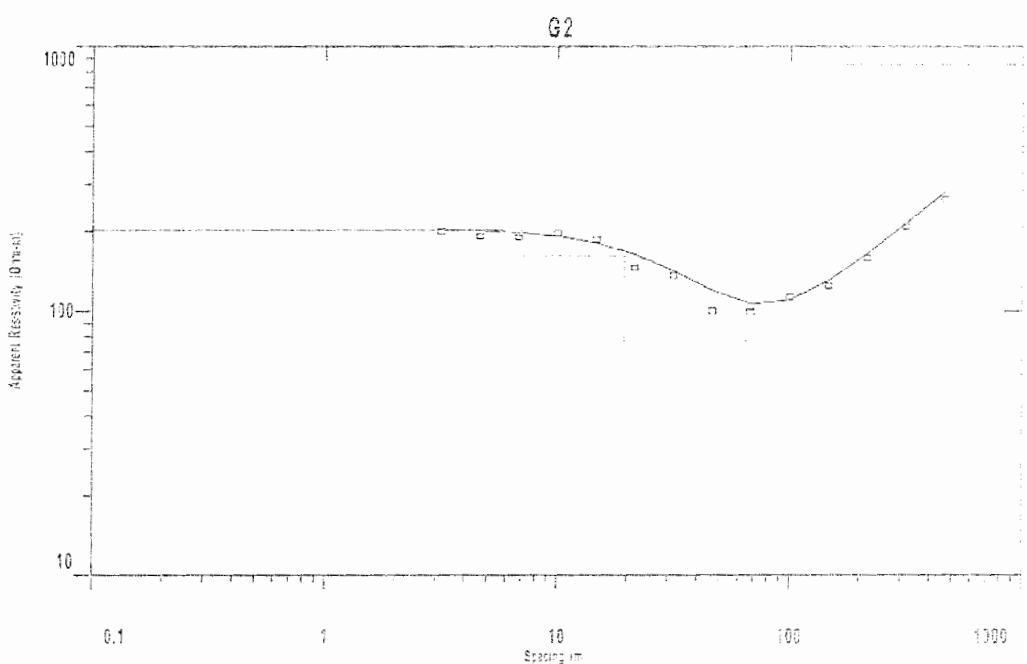
شکل ب- ۳۶- : مدل یک بعدی سوندایز F4 حاصل از معکوس سازی داده های مقاومت ویژه ظاهری توسط نرم افزار IXID



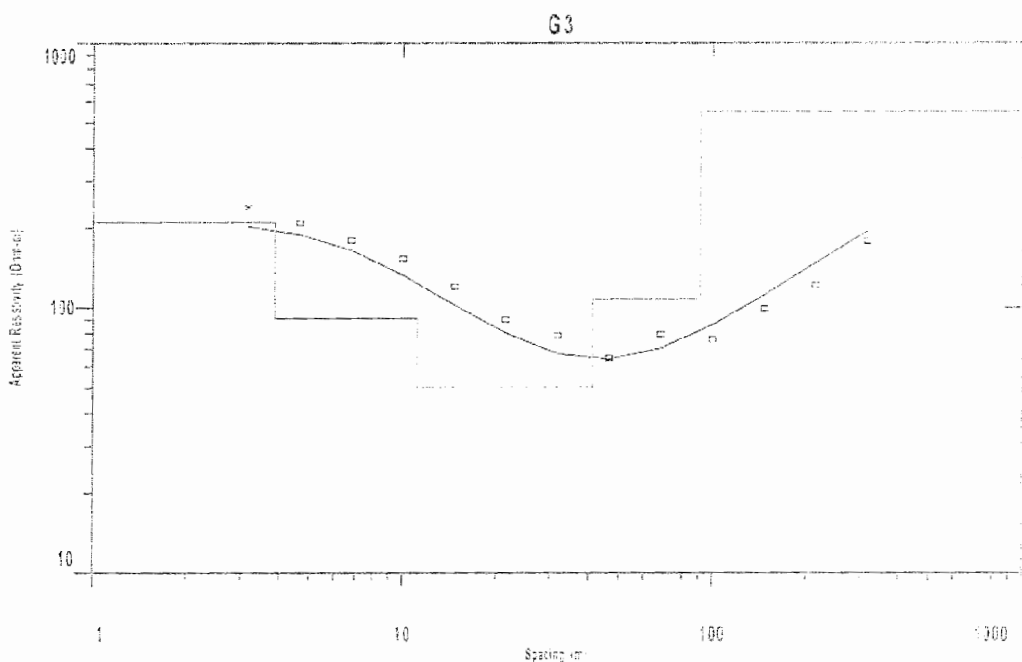
شکل ب- ۳۷- : مدل یک بعدی سوندایز F5 حاصل از معکوس سازی داده های مقاومت ویژه ظاهری توسط نرم افزار IXID



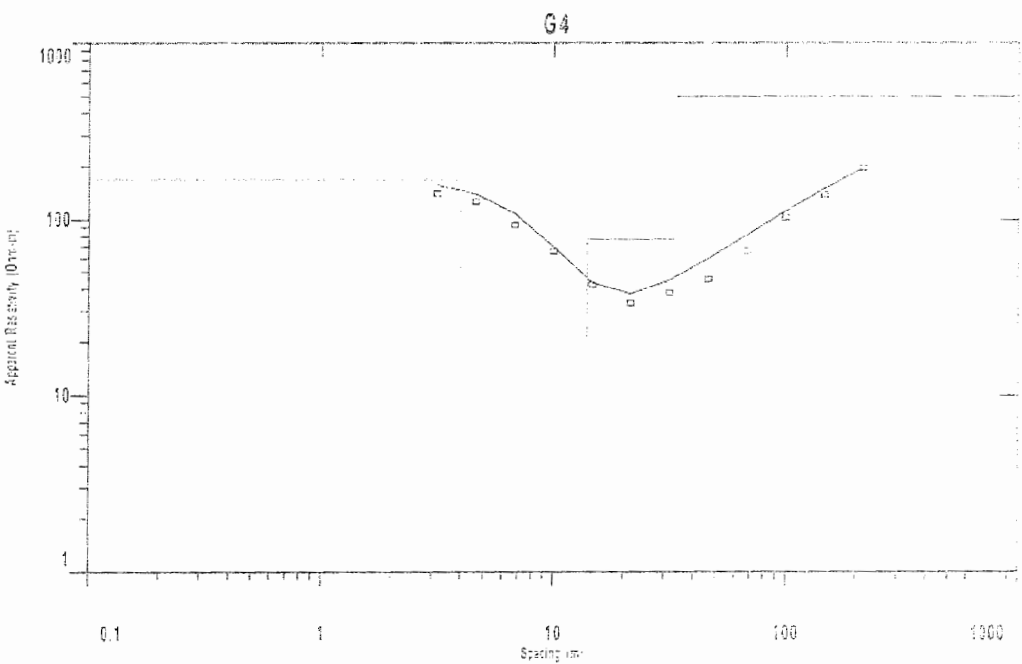
شکل ب- ۳۸ : مدل یک بعدی سونداز F6 حاصل از معکوس سازی داده های مقاومت ویژه ظاهری توسط نرم افزار IX1D



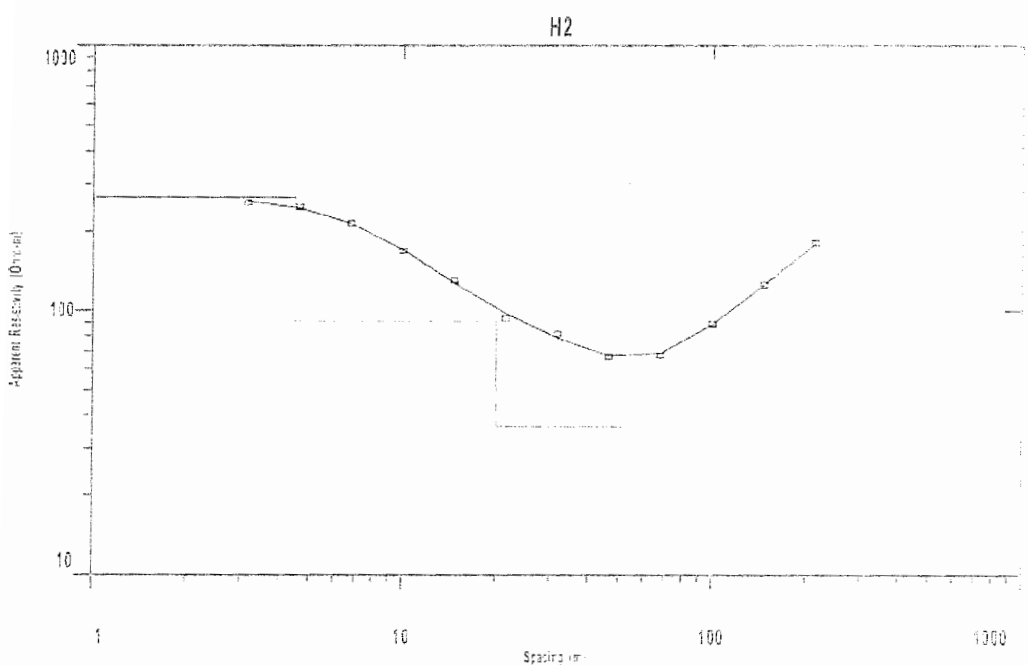
شکل ب- ۳۹ : مدل یک بعدی سونداز G2 حاصل از معکوس سازی داده های مقاومت ویژه ظاهری توسط نرم افزار IX1D



شکل ب - ۴۰ - مدل یک بعدی سوندایز G3 حاصل از معکوس سازی داده های مقاومت ویژه ظاهری توسط نرم افزار IX1D



شکل ب - ۴۱ - مدل یک بعدی سوندایز G4 حاصل از معکوس سازی داده های مقاومت ویژه ظاهری توسط نرم افزار IX1D



شکل ب-۴۲ : مدل یک بعدی سوندایز H2 حاصل از معکوس سازی داده های مقاومت ویژه ظاهری توسط نرم افزار IXID